



UNIVERZITET U NIŠU  
MAŠINSKI FAKULTET U NIŠU



**Jelena D. Petrović**

**Magnetno hidrodinamička strujanja i  
prenos topline u poroznim sredinama**

doktorska disertacija

Niš, 2019





UNIVERSITY OF NIŠ  
FACULTY OF MECHANICAL  
ENGINEERING IN NIŠ



Jelena D. Petrović

# Magnetohydrodynamic Flow and Heat Transfer in Porous Media

doctoral dissertation

Niš, 2019



## **PODACI O DOKTORSKOJ DISERTACIJI**

**Mentor:** dr Živojin M. Stamenković, docent, Univerzitet u Nišu, Mašinski faklутet u Nišu

**Naziv:** **Magnetno hidrodinamička strujanja i prenos toplote u poroznim sredinama**

**Rezime:** Cilj ove disertacije je definisanje odgovarajućih matematičkih modela kojima se opisuje strujanje i prenos toplote u poroznoj sredini uopštenjem klasičnog Navier-Stokes-ovog modela kako bi se modelirao uticaj osobina porozne sredine. Imajući u vidu značaj izučavanja magnetno hidrodinamičkih (MHD) strujanja kako teorijski tako i primenjeni, analizirano je MHD strujanje i prenos toplote jednog i dva fluida u kanalima unutar kojih je sredina porozna.

U **prvom poglavlju** disertacije nakon pregleda istraživanja obrazložen je motiv i predmet, a zatim su definisani ciljevi istraživanja. U **drugom poglavlju** je izvršeno matematičko modeliranje problema MHD strujanja, transporta mase i toplote. U **trećem poglavlju** se razmatraju, prvo, slučaj MHD strujanja, prenosa mase i toplote u horizontalnom poroznom kanalu u kome struji jedan fluid. Uzet je uticaj spoljašnjeg homogenog magnetnog polja upravnog na zidove kanala i uticaj spoljašnjeg homogenog električnog polja. U **četvrtom poglavlju** se razmatra strujanje dva fluida koji se ne mešaju u kanalu čiji su zidovi dve horizontalne izolovane ploče. Ploče su na konstantnim a različitim temperaturama. U **petom poglavlju** razmatraju se četiri različita modela MHD strujanja, transporta mase i toplote. U **šestom poglavlju** ovog rada istraživano je MHD strujanje dva fluida i prenos toplote u kanalu nagnutom u odnosu na horizontalnu ravan. U **sedmom poglavlju** su urađene numeričke simulacije korišćenjem savremenog softvera Ansys CFX. Simulacije su date za dva razmatrana modela. Prvi je horizontalni kanal u kome je porozna sredina, a zatim su dati rezultati numeričkih simulacija i za kosi kanal takođe sa poroznom sredinom. U svim poglavljima određivani su rasporedi brzine, temperature i pritiska i to uvek u zatvorenom obliku.

**Naučna oblast:** Mašinsko inženjerstvo - Teorijska i primenjena mehanika fluida

**Naučna disciplina:** Magnetno hidrodinamička strujanja fluida

**Ključne reči:** porozna sredina, MHD, EMHD, strujanje fluida, prenos topline, CFD, ANSYS

**UDK:** 537.84:536.24]:532.546(043.3)

**CERIF klasifikacija:** P 240, T 210

**Tip odabrane licence:** CC BY-NC-ND

## DATA ON DOCTORAL DISSERTATION

**Doctoral Supervisor:** dr Živojin M. Stamenković, assistant professor, Univerzity of Niš,  
Faculty of Mechanical Engineering

**Title:** Magnetohydrodynamic Flow and Heat Transfer in Porous Media

**Abstract:** The aim of this dissertation is to define mathematical models that describe flow and heat transfer in porous media by generalizing the classical Navier-Stokes model in order to model the influence of porous media properties. Considering the importance of both theoretical and applied research of magnetohydrodynamic (MHD) flow, the dissertation includes the analysis of MHD one-fluid and two-fluidflow and heat transfer within channels containing a porous medium.

The first chapter begins with the research overview, followed by the explanation of what motivated the research, the introduction of the subject matter, and the definition of research objectives. The second chapter deals with the mathematical modelling of MHD flow and mass and heat transfer. The third chapter first discusses a case of MHD one-fluid flow and mass and heat transfer in a horizontal porous channel. The fourth chapter considers the flow of two non-mixing fluids in a channel with two horizontal insulated plates serving as walls. The plates are at constant but different temperatures. The fifth chapter considers four different models of MHD flow and mass and heat transfer. The sixth chapter investigates MHD two-fluid flow and heat transfer in a channel inclined in relation to the horizontal plane. The seventh chapter presents numerical simulations conducted using a modern software tool called Ansys CFX. The simulations are provided for two analyzed models. The first one involves a horizontal channel containing a porous medium, while the second one involves an inclined channel containing a porous medium. The distributions of velocity, temperature, and pressure

were determined in all chapters, always in closed form.

**Scientific Field:** Mechanical Engineering - Theoretical and applied fluid mechanics

**Scientific Discipline:** Magnetohydrodynamic fluid flow

**Key Words:** porous medium, MHD, EMHD, fluid flow, heat transfer, CFD, ANSYS

**UDC:** 537.84:536.24]:532.546(043.3)

**CERIF** P 240, T 210

**Classification:**

**Creative Commons**

**License Type:**

|   |           |
|---|-----------|
| <b>1. Uvod</b>  | <b>13</b> |
| 1.1 Istoriski pregled istraživanja  | 14        |
| 1.2 Istraživanja strujanja u poroznim sredinama   | 18        |
| 1.3 Peristaltički transpot i porozna sredina  | 25        |
| 1.4 Biomehanika fluida u poroznim sredinama   | 26        |
| 1.5 MHD strujanja u poroznim sredinama  | 28        |
| 1.6 Predmet istraživanja u disertaciji  | 43        |
| <b>2. Matematički model</b>   | <b>48</b> |
| 2.1 Geometrijske karakteristike poroznih materijala   | 48        |
| 2.2 Karakteristike strujanja u poroznim sredinama   | 50        |
| 2.3 Zapreminska osrednjavanje   | 52        |
| 2.4 Makroskopska jednačina kontinuiteta   | 57        |
| 2.5. Makroskopska jednačina impulsa   | 58        |
| 2.6 Makroskopska energijska jednačina   | 61        |
| 2.7 Osnovne jednačine elektromagnetike  | 66        |
| <b>3. MHD strujanje fluida i prenos topote u poroznoj sredini između horizontalnih ploča</b>                          | <b>68</b> |
| 3.1 MHD strujanje i prenos topote u poroznoj sredini između dve horizontalne nepokretne ploče                         | 68        |
| 3.1.1 Matematički model   | 69        |
| 3.1.2 Raspored brzine strujanja fluida  | 73        |
| 3.1.3 Raspored bezdimenziione temperature   | 77        |
| 3.2 MHD strujanje fluida i prenos topote u poroznoj sredini između dve horizontalne ploče od kojih je gornja pokretna | 81        |
| 3.2.1 Matematički model   | 82        |
| 3.2.2 Raspored brzine strujanja fluida  | 83        |
| 3.2.3 Raspored bezdimenziione temperature   | 86        |
| 3.3 Poiseuille-ovo MHD strujanje u poroznoj sredini sa uticajem indukovanih magnetnih polja                           | 89        |
| 3.3.1 Matematički model   | 90        |
| 3.3.2 Rasporedi bezdimenziione uzdužne brzine i bezdimenziione indukcije indukovanih magnetnih polja                  | 93        |
| 3.3.3 Raspored bezdimenziione temperature   | 105       |
| 3.4 Poiseuille-Couette-ovo MHD strujanje u poroznoj sredini sa uticajem indukovanih magnetnih polja                   | 113       |
| 3.4.1 Matematički model   | 114       |

---

|   |            |
|---|------------|
| 3.4.2 Rasporedi bezdimenziione uzdužne brzine i bezdimenziione magnetne indukcije indukovanih magnetnih polja                 | 115        |
| 3.4.3 Rasporedi bezdimenziione temperature  | 128        |
| 3.5 MHD strujanje i prenos topote između horizontalnih elektroprovodnih ploča sa uticajem indukovanih magnetnih polja         | 134        |
| 3.5.1 Matematički model   | 135        |
| 3.5.2 Analiza rezultata   | 139        |
| <b>4. Poiseuille-Couette-ovo MHD strujanje dva fluida i prenos topote u poroznoj sredini</b>                                  | <b>150</b> |
| 4.1 Poiseuille-ovo MHD strujanje dva fluida i prenos topote u poroznoj sredini  | 150        |
| 4.1.1 Matematički model   | 151        |
| 4.1.2 Rasporedi brzine, temperature i pritiska u kanalu   | 153        |
| 4.1.3 Analiza rezultata   | 156        |
| 4.2 Poiseuille-Couette-ovo MHD strujanje dva fluida i prenos topote u poroznoj sredini u horizontalnom kanalu                 | 164        |
| 4.2.1 Matematički model   | 165        |
| 4.2.2 Rasporedi brzine, temperature i pritiska u kanalu   | 167        |
| 4.2.3 Analiza rezultata   | 168        |
| <b>5. Kombinovano konvektivno MHD strujanje u poroznoj sredini</b>  | <b>176</b> |
| 5.1 Kombinovano konvektivno MHD strujanje u poroznoj sredini između nagnutih paralelnih ploča                                 | 176        |
| 5.1.1 Matematički model   | 177        |
| 5.1.2 Rasporedi bezdimenziione uzdužne brzine, bezdimenziione temperature i bezdimenziione pritiska                           | 180        |
| 5.1.3 Analiza rezultata   | 183        |
| 5.2 Kombinovano konvektivno MHD strujanje u poroznoj sredini između nagnutih paralelnih ploča od kojih je gornja pokretna     | 192        |
| 5.2.1 Matematički model   | 193        |
| 5.2.2 Rasporedi bezdimenziione uzdužne brzine, bezdimenziione temperature i bezdimenziione pritiska                           | 194        |
| 5.2.3 Analiza rezultata   | 195        |
| 5.3 Kombinovano konvektivno MHD strujanje u poroznoj sredini između nagnutih paralelnih ploča sa indukovanim magnetnim poljem | 203        |
| 5.3.1 Matematički model   | 204        |
| 5.3.2 Rasporedi bezdimenziione uzdužne brzine i bezdimenziione magnetne indukcije indukovanih magnetnih polja                 | 207        |

---

## Sadržaj

---

|   |            |
|---|------------|
| 5.3.3 Rasporedi bezdimenzione temperature i pritiska  | 212        |
| 5.3.4 Analiza rezultata   | 218        |
| 5.4 Kombinovano konvektivno MHD strujanje u poroznoj sredini između nagnutih paralelnih ploča od kojih je gornja pokretna sa indukovanim magnetnim poljem | 234        |
| 5.4.1 Matematički model   | 235        |
| 5.4.2 Rasporedi bezdimenzione uzdužne brzine, magnetne indukcije indukovanih magnetnih polja, temperature i pritiska                                      | 236        |
| 5.4.3 Analiza rezultata   | 241        |
| <b>6. Kombinovano konvektivno MHD strujanje dva fluida u poroznoj sredini</b>   | <b>248</b> |
| 6.1 Kombinovano konvektivno MHD strujanje dva fluida u poroznoj sredini između nagnutih paralelnih ploča  | 248        |
| 6.1.1 Matematički model   | 249        |
| 6.1.2 Rasporedi brzine, temperature i pritiska u kanalu   | 251        |
| 6.1.3 Analiza rezultata   | 253        |
| <b>7. Numeričke simulacije</b>  | <b>269</b> |
| 7.1 Izbor softvera za simulacije  | 269        |
| 7.2 Formiranje modela i mreže za simulacije   | 270        |
| 7.3 Rezultati numeričkih simulacija za horizontalni porozni kanal   | 274        |
| 7.4 Rezultati numeričkih simulacija za kosi porozni kanal   | 280        |
| <b>8. Zaključak</b>   | <b>288</b> |
| 8.1 Zaključak poglavlja 3   | 288        |
| 8.2 Zaključak poglavlja 4   | 292        |
| 8.3 Zaključak poglavlja 5   | 293        |
| 8.4 Zaključak poglavlja 6   | 295        |
| 8.5 Zaključak poglavlja 7   | 296        |
| <b>Literatura</b>   | <b>297</b> |
| <b>Biografija autora</b>  | <b>320</b> |

## Sadržaj

---

# 1.Uvod

Porozna sredina je heterogeni sistem koji se sastoji od čvrste matrice (skeleta, nosača) sa svojim šupljinama (porama), relativno malih dimenzija u poređenju sa karakterističnim dimenzijama matrice, ispunjenih fluidom. Ova sredina se može tretirati kao kontinuum pravilnim sagledavanjem uloge svake faze (čvrste i fluidne) pri transportu kroz ovaj sistem faza.

Imajući u vidu gornju definiciju porozne sredine lako se zaključuje da postoje prirodne (stene, sedimenti, šljunak, pesak, glina, drvo, kardiovaskularni sistem, ljudska pluća, žučni kanal, žučna kesa, jednjak, gastrointestinalni trakt, reproduktivni trakt...) i veštačke (tečni kompoziti, izolacija reaktora, MHD generatora i akumulatora, skladišta podzemnih voda, porozna ležišta, peristaltičke pumpe...) porozne sredine.

Zbog velike prisutnosti poroznih sredina u prirodi rano su započeta njihova istraživanja, najpre eksperimentalna, a onda i teorijska. Henry Darcy je 1855. i 1856. godine rukovodio ekipom koja je eksperimentalno ispitivala strujanje vode kroz pesak. Koristeći ove eksperimente došli su do rezultata da je brzina strujanja vode kroz pesak proporcionalna gradijentu pritiska, a koeficijent proporcionalnosti je propustljivost peska čija vrednost zavisi od karakteristika fluida (viskoznosti, temperature...). Ovaj rezultat je objavljen u radu Darcy [1] i postao je poznat kao Darcy-jev zakon. Iako je Darcy-jev zakon inicijalno razvijen za opisivanje strujanja kroz pesak, od tada je generalizovan u različite situacije i danas se široko koristi.

Iako je Darcy-jev zakon ustanovljen eksperimentalnim istraživanjima njegovo publikovanje je praktično omogućilo i iniciralo teorijska istraživanja strujanja fluida u poroznoj sredini. Detaljno je preispitivan Darcy-jev model i ustanovljeno je da nije dovoljno dobar za strujanje tečnosti sa velikim brzinama i

gasova sa vrlo velikim i vrlo malim brzinama i da je u porama brzina veća od Darcy-jeve brzine za onoliko puta kolika je recipročna vrednost poroznosti sredine.

Ovim su strujanja fluida u poroznim sredinama podeljena na Darcy-jeva tj. ona za koje je zadovoljen Darcy-jev zakon i ne-Darcy-jeva za koja on nije zadovoljen. Bilo je potrebno formirati kriterijum koji će omogućiti razdvajanje strujanja u poroznim sredinama na ove dve vrste. Logično je bilo da se za to iskoriste Reynolds-ov i Forchheimer-ov broj, što je i učinjeno, ali ovim nisu dobijeni dosledni rezultati, što se pripisuje različitim verzijama definisanja ovih kriterijuma. Zhengwen Zeng i Reid Grigg [2] su izvršili revidiranje Forchheimer-ovog broja, koji uzima u obzir istovremeno hidrauličke karakteristike viskoznog i inercijalnog režima strujanja i predložili ga kao kriterijum za identifikaciju ne-Darcy-jevog strujanja u poroznim sredinama. Fizički, ovaj revidirani Forchheimer-ov broj ima prednost u jasnom značenju i široj primenljivosti.

## 1.1 Istorijski pregled istraživanja

Dalje, u ovom poglavlju, više u obliku istorijskog pregleda, daju se neki važniji rezultati istraživanja u ovoj oblasti i rezultati drugih istraživanja koji su direktno uticali na razvoj ove oblasti u vremenskom periodu od 1800. do 1990. godine. Za ovaj pregled koristi se, uglavnom, materijal koji je dao M. Kaviany [3] i koji je ovaj period podelio na potperiode, kako sam kaže, sasvim proizvoljno, što znači da bi i neka druga podela bila sasvim prihvatljiva.

U prvih pedeset godina posmatranog vremenskog perioda postignuti su sledeći značajni rezultati: 1805. godine Young je izvršio kategorizaciju razdelnih površi između dva fluida u kontaktu i uveo površinske napone [4]; 1806. godine Laplace je istražio stanje statičke ravnoteže za proizvoljnu tačku razdelne površi dva fluida u kontaktu [4]; Navier 1827, Stokes 1845, Poisson 1931, Saint Venant 1943. godine izveli su jednačinu impulsa za kretanje viskoznog fluida, koja je

## Poglavlje 1

---

poznata kao Navier-Stokes-ova jednačina [5]; 1829. godine Graham je istražio difuziju mase u gasovima [6]; Hagen 1839. i Poiseuille 1840. godine izveli su jednačinu za strujanje fluida u cevi [5].



Henry Darcy  
(1803-1858)

U periodu od 1850. do 1875. godine postignuti su sledeći rezultati: 1855. godine Fick je uspostavio vezu između gradijenta koncentracije i fluksa difuzije [6]; 1856. godine Darcy [1] je formulisao svoj poznati zakon koji daje vezu između brzine strujanja i gradijenta pritiska u poroznoj sredini; Maxwell je 1859. godine odredio raspodelu brzine u gasovima, a 1860. godine difuziju mase binarnog gasa koristeći molekularnu teoriju [6]; Maragoni je 1872. godine izučio termokapilarnu konvekciju koja je poznata kao Marangoni-jev efekat [7]; 1878. godine Gibbs je izučio termodinamički tretman razdelne površi između tečnosti i njenog isparenja (pare) [4].

Iz poslednje četvrтине devetnaestog veka zapažaju se sledeća istraživanja: Maxwell-ova efektivna provodljivost 1873. [8]; 1883. godine Reynolds je izvršio eksperiment kojim se utvrđuje režim strujanja [9] i odredio izraz za otpor strujanju.

U prvih deset godina dvadesetog veka izdvajaju se sledeća istraživanja: Prandtl-ova teorija graničnog sloja 1904. godine [10]; 1909. godine Kundsen je eksperimentalno istraživao strujanje razređenih gasova u poroznim sredinama [11].



Jean Leonard Marie Poiseuille  
(1797-1869)

Iz perioda drugih deset godina dvadesetog veka zapažaju se sledeća istraživanja i rezultati: 1911. godine Griffith-ova zapažanja o istovremenoj hidrodinamičkoj disperziji i molekularnoj difuziji [12]; 1914. godine Prandtl-ov eksperiment spoljašnjeg strujanja [5]; 1916. godine Langmur-ov postulat o adsorpciji koji govori o dinamičkoj ravnoteži brzina dolaska i odlaska molekula na površ [13].

U periodu treće decenije dvadesetog veka izdvaja se Tollmien-ovo određivanje kritične vrednosti Reynolds-ovog broja za strujanje fluida preko ravne ploče iz 1921. godine [5].

U toku četvrte decenije dvadesetog veka izdvajaju se sledeća istraživanja: jednačina propustljivosti zasnovana na određenom području koju su formirali Carman 1937. godine i Kozeny 1927. godine [14]; zatim Muskat-ovo istraživanje dvofaznog strujanja u poroznim sredinama sa efektivnim propustljivostima za svaku fazu koje su uradili Muskat i Meres 1936. godine i Muskat i saradnici 1937. godine [15].

U petoj deceniji dvadesetog veka izdvajaju se sledeća istraživanja i rezultati: Leverett [16] je 1941. godine uveo funkciju smanjenja idealnog kapilarnog pritiska za korelaciju sa kapilarnim pritiskom; Buckley-Leverett-ova

teorija frontalnog pomeranja za nestalna dvofazna strujanja sa iznenadnom promenom zasićenosti ulaza 1942. godine [17]; Brinkman-ova modifikacija Darcy-jevog zakona i uvođenje efektivne viskoznosti 1947. godine [18,19].

U šestoj deceniji dvadesetog veka zapažaju se sledeća istraživanja i rezultati: 1952. godine Ergun je Darcy-jev zakon proširio članom koji predstavlja mikroskopski inercijski efekat [20]; Grootenhuis i saradnici su 1952. godine [21] izvršili merenje efektivne topotne provodljivosti sinterovanih metala; Baron [22] je 1952. godine uveo transferzalnu i uzdužnu disperziju u poroznu sredinu; Scheidegger [23] je 1954. godine dao statistički postupak za određivanje brzine disperzije; hidrodinamičku disperziju u cevima izučavali su Taylor [24] 1953. godine i Aris [25] 1956. godine; De Josselin De Jang [26] 1958. i Saffman [27] 1959. godine proučavali su mehaničku i hidrodinamičku disperziju u poroznim sredinama.

U toku sedme decenije dvadesetog veka zapažena su sledeća istraživanja: 1961. godine Luikov [28] je istraživao strujanje i prenos topote dvofaznog strujanja u poroznoj sredini; Chen i Churchill [29] su 1963. godine izvršili merenje karakteristika vlaknaste i penaste izolacije; Weekman i Myers [30] su 1965. godine odredili prvu korelaciju za ukupnu topotnu provodljivost i tenzor za dvofazno strujanje u poroznoj sredini; 1967. godine Beavers i Joseph [31] su razmatrali semiempirijsku razdelnu površ (porozna-ravna površ) kao granični uslov; Mason [32] i Slattery [33] su 1967. godine formirali konstitutivne jednačine za difuziju gasova u poroznim sredinama.

U osmoj deceniji dvadesetog veka izdvajaju se sledeća istraživanja: Horn [34] je 1971. godine iskoristio tehniku generalizacije Aris-ove [25] momentne analize za određivanje koeficijenta disperzije; 1970. godine Slattery [33] i 1973. godine Whitaker [35] analizirali su dvofazno strujanje u poroznoj sredini korišćenjem zapreminskog osrednjavanja jednačina u tački; Sondergeld i Turcotte [36] su 1977. godine eksperimentalno istraživali isparavanje sloja tečnosti koji se zagreva odozdo.

Devetu deceniju dvadesetog veka obeležila su sledeća istraživanja i rezultati: Brenner [37] je 1980. godine primenio Horn-sovu [34] generalnu analizu disperzije na prostorno periodičke strukture; Brewster i Tien [38] su 1982. godine istraživali mapiranje nezavisnog naspram zavisnog radiacionog rasejanja za neapsorbujuće razređene suspenzije; 1984. godine Carbonell i Whitaker [39] su formulisali i numerički rešili tenzor disperzije za dvodimenzionalnu sredinu; 1985. godine Koch i Brady [40] i 1989. godine Koch i saradnici [41] su koristili približnu hidrodinamičku teoriju zasnovanu na čestici za određivanje tenzora disipacije; 1991. godine Singh i Kaviany [42] su izučavali "gubitak" topotne energije pri prenosu topote zračenjem.

## 1.2 Istraživanja strujanja u poroznim sredinama

Istraživanja u poslednjoj deceniji XX veka i početkom XXI veka nastavljaju se u oblastima: opšte karakteristike i modeliranje poroznih materijala, prinudna konvekcija u poroznoj sredini, strujanja indukovana prinudnom konvekcijom i vibracijama, viskozna disipacija, turbulencija u poroznoj sredini, geotermalna proizvodnja, sagorevanje i biokonvekcija u poroznoj sredini što se može zaključiti i iz monografije koju je publikovao Vafai [43] 2005. godine.

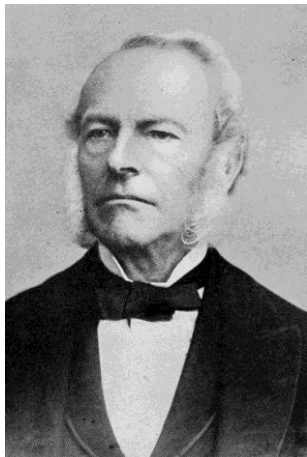
Tako je 1991. godine Nield [44] izrazio izvesnu sumnju u Brinkman-Farchheimer-ovu jednačinu da ona može adekvatno da modelira strujanje u poroznoj sredini i na razdelnoj površi. Pokazao je da određeni pojmovi koji se često koriste u jednačini zahtevaju modifikaciju i da postoje problemi kada se ova jednačina koristi za određene granične uslove.

Fogler [45] je 1992. godine objavio monografiju u kojoj ima dovoljno podataka o katalitičkim i inertnim reaktorima, filtriranju, sušenju, uređajima za

## Poglavlje 1

---

smanjenje zagađenja vazduha pri sagorevanju proizvoda, adsorbciji/desorbciji na površima itd.



Sir George Gabriel Stokes  
(1819-1903)

Godine 1993. Alberto i saradnici [46] su dali opšti pristup rasutoj i površinskoj difuziji korišćenjem zapreminskog osrednjavanja. Ova analiza je pored zapreminskog osrednjavanja obuhvatila i površinsko osrednjavanje. Formulisan je i problem zatvaranja odgovarajućeg sistema jednačina. Sračunavanja su izvedena pomoću Chang-ove jednačine za čeliju, što je dovodilo do Maxwell-ovog modela.

Quintard i Whitaker [47] su 1994. godine razvili matematički model za homogene porozne sredine korišćenjem metode zapreminskog osrednjavanja. Makroskopske jednačine uključuju tenzor disperzije na koji utiču proces prenosa mase, dodatni konvektivni transport i maseni fluks.

Vafai i Kim [48] su 1995. godine, u svom radu, analizirali nekoliko teorijskih tačaka koje se odnose na impulsnu jednačinu za poroznu sredinu. Pokazali su da je u izvornom radu predloženo nekoliko nebitnih činjenica. Razdelnu površ porozna sredina/čist fluid najbolje je opisati Brinkman-Forchheimer-ovom jednačinom tj. proširenom Darcy-jevom jednačinom i

kontinuitetom brzine i naponu. Efekat varijacije poroznosti nije uticajan za matricu sa visokom poroznošću, ali ga treba uzeti u obzir za gustu poroznu sredinu.

Godine 1996. Khalouf i saradnici [49] su numerički proučavali konvektivne oscilacije u poroznoj sredini. Sredina je dvodimenzionalna, ispunjena zasićenom poroznom supstancijom i izložena je linearnim harmonijskim oscilacijama u vertikalnom pravcu. Formulacija je zasnovana na Darcy-Boussinesq-ovom modelu. Darcy-Boussinesq-ove jednačine su rešene korišćenjem pseudo-spektralne Chebyshev-ljeve metode kolokacije.

Malashetty i Padmavathi [50] su 1997. godine izučavali stabilnost tečnog zasićenog horizontalnog sloja zagrejanog odozdo, pri čemu je vremenski promenljiva sila potiska generisana gravitacionom modulacijom. Analizirana je linearna stabilnost kako bi se pokazalo da gravitaciona modulacija može značajno da utiče na granice stabilnosti sistema. Za sračunavanje kritičnih vrednosti Reyleigh-ovog broja i talasnog broja koristi se metoda zasnovana na maloj amplitudi modulacije. Utvrđeno je da niske frekvencije talasa mogu imati značajan uticaj na stabilnost sistema.

Wood i Whitaker [51] su 1998. godine razmatrali model biofilma pretpostavljajući da je on kontinuum. Izučavane su intracelularna i ekstracelularna faza korišćenjem metode zapreminskog osrednjavanja i dobijene su transportne jednačine za biofilm. Ovo je omogućilo identifikaciju tri režima. Prvi je jedno-jednačinski model koji važi kada je zadovoljen princip lokalne masene ravnoteže; drugi je dvo-jednačinski model koji nije ograničen principom lokalne masene ravnoteže; a treći je pseudo-jednačinski model. Data su i ograničenja koja identifikuju granice validnosti ova tri modela.

Godine 1999. Nield i saradnici [52] razmatrali su strujanje nestišljivog fluida u kanalu između paralelnih ploča. Termički granični uslovi su simetrični, sa uniformnim topotnim fluksom. Pretpostavljeno je da je Peclet-ov broj dovoljno veliki kako bi se mogla zanemariti aksijalna termička provodljivost.

Tashtoush [53] je 2000. godine uveo analitičko rešenje za efekat viskozne disipacije za mešovito konvektivno strujanje i prenos toplote, oko izoternskog vertikalnog zida ugrađenog u Darcy i ne-Darcy poroznu sredinu sa uniformnom brzinom slobodne struje. Analiziran je efekat viskozne disipacije, u oba režima, za spoljašnja strujanja istih i suprotnih smerova.

Istraživanja su intenzivna i početkom XXI veka. Istražuju se i ranije uočeni problemi, a otvaraju se i novi savremeniji problemi. Tako su Kuznetsov i Nield [54] 2001. godine istraživali uticaj poprečne varijacije propustljivosti i toplotne provodljivosti na potpuno razvijenu prinudnu konvekciju u kanalu paralelnih zidova i kružnom kanalu ispunjenom zasićenom poroznom supstancijom. Analiza je analitička, a sprovedena je na Darcy-jevom modelu za slučaj da je na granicama stalni toplotni fluks i stalna temperatura. Razmatra se slučaj sredine sa tri i dva sloja sa susednim čvrstim slojem.

Celli i saradnici [55] su istraživali 2002. godine dvodimenzionalni prinudno konvektivni granični sloj u poroznoj sredini. Prepostavljeno je da su čvrsta i fluidna faza podložne lokalnoj toplotnoj neravnoteži. Usvojene su dve jednačine za transport toplote, po jedna za svaku fazu. Za dovoljno velike brzine osnovne struje, termička polja su opisivana korišćenjem aproksimacija graničnog sloja, a dobijeni sistem paraboličkih diferencijalnih jednačina analiziran je analitički i numerički. Pokazano je da su efekti lokalne termičke neravnoteže najizraženiji u okolini prednje zaustavne tačke, ali se smanjuju sa povećanjem rastojanja od zaustavne tačke i lokalna termička ravnoteža se postiže na velikim rastojanjima.

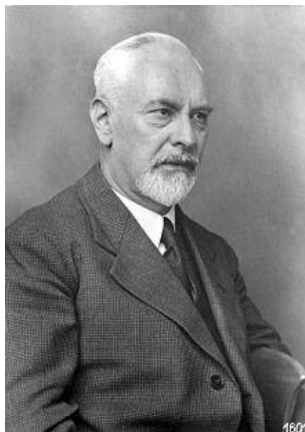
Nield i saradnici [56] su 2003. godine primenili modifikovanu Graetz-ovu metodologiju za istraživanje termičkog razvoja prinudne konvekcije u kanalu sa paralelnim zidovima koji je ispunjen zasićenom poroznom supstancijom. Zidovi kanala se održavaju na konstantnim temperaturama. Analiziran je Brinkman-ov model, a uzeti su u obzir efekti aksijalne toplotne provodljivosti i viskozne disipacije. Analiza je dovela do izraza za lokalni Nusselt-ov broj, kao funkciju

## Poglavlje 1

---

uzdužne bezdimenziione koordinate, Darcy-jevog broja, Peclet-ovog broja i Brinkman-ovog broja.

Duval i saradnici [57] su 2004. godine zapazili da je za strujanje fluidnog para sa promenom faze u poroznoj sredini, pretpostavka lokalne termičke ravnoteže previše restriktivna i ne može biti važeća. Zato su oni u ovom radu, koristeći metodu zapreminskog osrednjavanja, došli do makroskopskog matematičkog modela sa tri temperature, uzimajući u obzir termičku ravnotežu između tri faze. Dobijen je izraz za makroskopsku brzinu isparavanja u zavisnosti od makroskopskih temperatura i svojstava fluida. Dobijeni rezultati su upoređeni sa rezultatima simulacije i dobijeno je njihovo dobro poklapanje što potvrđuje valjanost ove metode i predlaže je za praktičnu primenu.



Ludwig Prandtl  
(1875-1953)

Borujerdi i Nazari [58] su 2005. godine istraživali kriterijume za validnost pretpostavke lokalne termičke ravnoteže. Istraživali su na primeru strujanja fluida i prenosa topline u kanalu, između dve paralelne ploče, ispunjenog zasićenom poroznom supstancijom, sa neuravnoteženim graničnim uslovima. Model od dve jednačine koristi se za opisivanje transporta energije fluida i čvrste supstancije. Razvijena je numerička metoda konačnih zapremina za rešavanje simultanih energijskih jednačina, a ne-Darcy-jevi efekti se razmatraju u jednačini impulsa.

## Poglavlje 1

---

Predložena je pogodna bezdimenziona jednačina za širok spektar Peclet-ovih brojeva i topotne provodnosti. Ova jednačina prikazuje temperatursku razliku između čvrstih i fluidnih faza.

U ovom periodu veliki broj istraživača, a neki od njih su Aregba sa saradnicima [59], Bihercz i Beke [60], Aregba i Nadeau [61], bavili su se istraživanjem sušenja debelih slojeva prehrambenih proizvoda. Razmatrali su zrnaste proizvode, kao što su pirinač, žitarice, kukuruz. Prepostavljali su da je brzina zagrejanog vazduha konstantna.

Bennamon i Belhamri [62] su 2008. godine razmatrali sušenje voća, konkretno grožđa. Sebi su postavili dva glavna cilja, prvi je da prouče ponašanje sloja grožđa osušenog u prinudnom konvektivnom sušaču. Problem su izučavali korišćenjem Darcy-jevog zakona, a brzina vazduha nije konstantna. Drugi cilj je bio da se utvrdi uticaj spoljašnjih uslova, kao što su brzina, temperatura i vlažnost, na ponašanje različitih osušenih slojeva.

Problemi sa višefaznim strujanjem i prenosom toplote i višekomponentnim transportom mase javljaju se u više naučnih i inženjerskih disciplina i važni su u praksi, na primer, u eksploataciji i transportu nafte. Značajan broj ovih problema, od praktičnog interesa, su neustaljeni. Neustaljenost može biti izazvana promenom brzine slobodne struje ili temperaturom površi ili i jednim i drugim. Umavati i saradnici [63] su 2009. godine izučavali nestacionarno oscilatorno strujanje i prenos toplote u horizontalnom kanalu kompozitno porozne sredine. Preko beskonačno dugačkog horizontalnog kompozitnog kanala odvija se nestacionarno laminarno strujanje viskoznog fluida. Strujanje je modelirano pomoću Darcy-Brinkman-ove jednačine. U energijsku jednačinu su uključene viskozna i Darcy-jeva disipacija. Dobijene parcijalne diferencijalne jednačine rešene su analitički korišćenjem dve harmonijske i neharmonijske funkcije za oba regionala kanala.

U literaturi mnogi istraživači izučavaju ponašanje fluida prepostavljajući da su svojstva fluida i karakteristike porozne sredine nepromenljive veličine. Međutim, u većini realnih situacija svojstva fluida se menjaju sa promenom

temperature i koncentracije. Pokazano je da varijacije poroznosti i propustljivosti porozne sredine maksimalno utiču na fluide i na prenos toplote kroz poroznu sredinu.

Astanina [64] i saradnici su 2015. godine numerički istraživali neustaljenu prirodnu konvekciju, sa viskoznošću koja zavisi od temperature, unutar kvadratnog poroznog kanala. Vertikalni zidovi kanala su na konstantnim, ali različitim, temperaturama, dok su horizontalni zidovi adijabatski. Matematički model je formulisan jednačinama u bezdimenzionom obliku sa bezdimenzionom strujnom funkcijom i bezdimenzionom temperaturom. Za rešavanje dobijenih jednačina korišćene su implicitne šeme konačnih razlika. Analiziran je uticaj Reyleigh-ovog broja, Darcy-jevog broja, parametra varijacije viskoznosti i bezdimenzionog vremena na transport mase i toplote.

Babu i saradnici [65] su 2018. godine istraživali numerički dvostruko difuziono mešovito konvektivno strujanje nestišljivog viskoznog fluida kroz vertikalnu grejnu ploču ugrađenu u ne-Darcy-jevu poroznu sredinu pod uticajem promenljivih karakteristika fluida. Jednačine su modelirane za strujanje u dvostrukom difuzionom graničnom sloju. Analizirali su brzinu strujanja, temperaturu, koncentraciju, trenje, intenzitet prenosa mase i toplote za različite fizičke parametre. Dobijeni rezultati su upoređeni sa rezultatima u ranije objavljenim radovima i utvrđeno je da su u saglasnosti do šest decimalnih mesta tačnosti.

Hamdan i Kamel [66] su 2011. godine izučavali strujanje fluida kroz ravne propustljive porozne slojeve. Propustljivost je smatrana promenljivom i korišćeni su oblici promene propustljivosti koje su ranije predložili Rees i Pop [67], Alloni i saradnici [68], Hassanien i saradnici [69] i Nield i Kuznetsov [70].

Zaytoon i saradnici [71] su 2016. godine razmatrali strujanje kroz konačan kanal ograničen odozdo poroznim slojem koji je konačne ili beskonačne dubine. U poroznom sloju važi Darcy-jeva jednačina pod pretpostavkom promenljive propustljivosti. Određen je oblik promenljive propustljivosti kako bi se ostvarila

kontinuirana promena rasporeda brzine preko kanala i sloja, a da se ne koristi koncept klizanja.

## 1.3 Peristaltički transport i porozna sredina

Peristaltički transport je poznat transport fluida koji je izazvan progresivnim talasom kontrakcije ili ekspanzije područja duž uzdužne cevi koja sadrži fluid. Ideju o peristaltičkom transportu sa matematičke tačke gledišta prvi je koristio Lathem [72] još 1966. godine. Zbog velikih primena u fiziologiji i industriji, problemi peristaltičkog strujanja su bili predmet izučavanja velikog broja istraživača, a i danas su vrlo aktuelni. Tako je Haroun [73] 2007. godine izučavao peristaltički transport fluida četvrtog stepena u nagnutom asimetričnom kanalu uzimajući u obzir dugu talasnu dužinu.

Hayat i saradnici [74] su 2008. godine razmatrali efekte klizanja na peristaltičko strujanje viskoznog fluida u poroznoj sredini. U ovom modelu korišćena je aproksimacija velike talasne dužine.

Mekheimer i Elmabond [75] su 2008. godine teorijski istraživali peristaltički transport kroz poroznu sredinu u anulusu ispunjenom nestišljivim njutnovskim fluidom. Unutrašnja cev je uniformna i kruta, dok spoljašnja epruveta ima sinusoidni talas koji se prostire niz zid. Ispituje se strujanje u referentnom talasnem okviru koji se kreće brzinom talasa. Određeni su efekti porozne sredine i endoskopa na brzinu, promena pritiska duž pravca strujanja i sile trenja na spoljašnjem i unutrašnjem zidu.

Vajravelu i saradnici [76] su 2016. godine izučavali peristaltički transport nenjutnovskog fluida u asimetričnom kanalu koji je izazvan sinusnim peristaltičkim talasima na fleksibilnim zidovima kanala. Koriste se aproksimacije velike talasne dužine i malog Reynolds-ovog broja. Nelinearne jednačine razmatranog problema rešene su metodom perturbacije. Jedan od zaključaka, na osnovu dobijenih

rezultata, je da karakteristike strujanja otkrivaju mnoga zanimljiva ponašanja koja zahtevaju dalje istraživanje fenomena nenjutnovskog fluida, posebno peristaltičkih strujnih fenomena.

Selvi i saradnici [77] su 2017. godine istraživali efekat prenosa toplote na peristaltički transport Jeffrey fluida u nagnutom poroznom sloju. Problem je formulisan pod pretpostavkom velikih talasnih dužina i malih Reynolds-ovih brojeva. Za rešavanje nelinearnih parcijalnih diferencijalnih jednačina koristi se metoda perturbacije. Dobijeni rezultati pokazuju da je uticaj parametra nagiba i parametra propustljivosti na protok značajan. Temperatura se povećeva sa povećanjem parametra nagiba. Diskutovan je i fenomen zaustavljanja.

## 1.4 Biomehanika fluida u poroznim sredinama

Aktuelna su istraživanja strujanja krvi u organima životinja i ljudi. Tako su Khaled i Vafai [78] 2003. godine istraživali strujanje i prenos toplote u biološkim tkivima. Njihov glavni koncept je bio transport u poroznim sredinama koristeći masenu difuziju i različite modele konvektivnog strujanja, kao što su Darcy-jev i Brinkman-ov model. Analizirali su i transport energije u tkivima. Utvrđili su da je teorija poroznih sredina u biološkim tkivima najefikasnija jer sadrži manje pretpostavki u odnosu na različite biotoplotne modele.

Fu-quan i saradnici [79] su 2007. godine proučavali strujanje krvi u tkivima koristeći model porozne sredine. Prednost ovog modela u odnosu na druge je istraživanje celokupnih strujnih karakteristika i može se koristiti za proučavanje krvotoka kod unutrašnjih organa životinja. Ovde data metoda je nov koristan pristup za izučavanje biomehanike fluida.

Mehmod i saradnici [80] su 2012. godine ispitivali karakteristike neustaljenog dvodimenzionalnog strujanja krvi u obolenom poroznom arterijskom segmentu sa fleksibilnim zidovima. Poroznu sredinu predstavlja lumen koji sadrži

## Poglavlje 1

---

trombove, holesterol i masne pločice. Zapaženo je da se smanjenjem propustljivosti strujanje veoma usporava, dok se pad pritiska i napon na zidu povećavaju.

Sankar i Nagar [81] su 2013. godine istraživali strujanje Herschel-Bulkley i Casson fluida za strujanje krvi u cevima ispunjenim homogenom poroznom supstancijom sa konstantnom i sa promenljivom propustljivošću. Zapaženo je da su protok i napon smicanja veći u slučaju promenljive propustljivosti za oba fluida.

Peyrounette i saradnici [82] su 2018. godine učinili jedan hibridni pristup modelu strujanja krvi u većem obimu u mikrocirkulaciji mozga. Sloj kapilara, tretiran je kao porozna sredina i modeliran je pomoću homogenog kontinuma. Veća arterijska i venska stabla, koja se ne mogu homogenizovati, tretiraju se kao mreža međusobno povezanih cevi sa detaljnim prikazom njihove prostorne organizacije. Glavni doprinos ovog rada je kreiranje odgovarajućeg modela spajanja na razdelnoj površi ove dve komponente. Pokazano je da ovaj hibridni model vrlo precizno opisuje strujanje krvi na velikim opsezima i daje značajno smanjenje računarskog vremena u odnosu na klasične mreže. Ovaj rad predstavlja važan korak ka velikim simulacijama cerebralnog strujanja krvi i predstavlja osnovu za uvođenje dodatnih nivoa složenosti u budućnosti.

## 1.5 MHD strujanja u poroznim sredinama

Istraživanja strujanja fluida i prenosa toplote u poroznim sredinama pod uticajem spoljašnjeg magnetnog polja, javljaju se počev od osamdesetih godina prethodnog veka. Ova istraživanja su svakako podstaknuta MHD strujanjima i transportom toplote u poroznim sredinama koja se pojavljuju u više inženjerskih procesa, kao što su kompaktni izmenjivači topline, metalurgija, livenje, filtracija tečnih metala, hlađenje nuklearnih reaktora, upravljanje fuzijom itd. Na dalje, u ovom uvodu, hronološki se navode neka od mnogobrojnih istraživanja dostupnih u literaturi.

Godine 1982. Raptis i Kafousias [83] su teorijski istraživali slobodnu konvekciju i transport mase viskoznog, nestišljivog i elektroprovodnog fluida koji struji kroz poroznu sredinu. Sredina je ograničena polu-beskonačnom, vertikalnom, poroznom pločom kroz koju se uduvava/isisava fluid i na koju deluje upravno homogeno magnetno polje. Toplotni fluks na ploči je konstantan.

Raptis i Perdikis [84] su 1983. godine razmatrali dvodimenzionalno, nestacionarno, slobodno konvektivno strujanje nestišljivog, viskoznog, elektroprovodnog fluida kroz poroznu sredinu. Porozna sredina je ograničena beskonačnom vertikalnom pločom, na koju upravno deluje homogeno spoljašnje magnetno polje. Problem se razmatra u bezindukcionej aproksimaciji. Raptis [85] je 1986. godine razmatrao nestacionarno slobodno konvektivno strujanje elektroprovodnog fluida kroz poroznu sredinu ograničenu vertikalnom poroznom pločom. Brzina slobodne struje fluida varira oko srednje konstantne vrednosti. Temperatura ploče je konstantna. Kumar i Prasad [86] su 1989. godine analitički istraživali karakteristike izvora topline pri slobodnom konvektivnom strujanju i transportu mase nestišljivog, viskoznog, elektroprovodnog fluida kroz poroznu sredinu pored beskonačne, vertikalne, neprovodne ploče. Normalno na ploču deluje spoljašnje homogeno magnetno polje, a ona se impulsivno dovodi u stanje kretanja.



Osborne Reynolds  
(1842-1912)

Ram i Jain [87] su 1990. godine istraživali raspodele brzine i temperature elektroprovodnog fluida koji prolazi kroz beskonačnu, vertikalnu, poroznu ploču i struji kroz poroznu sredinu u rotirajućem referentnom okviru. Razmatrani su slučajevi kada je spoljašnje magnetno polje upravno na slobodnu struju i kada gradi ugao  $\alpha$  sa vertikalnim pravcem.

Jha [88] je 1991. godine proučavao MHD slobodnu konvekciju i transport mase strujanja pored jednako ubrzane vertikalne ploče kroz poroznu sredinu. Prisutno spoljašnje magnetno polje kreće se zajedno sa pločom i na isti način.

Aldoss i saradnici [89] su 1995. godine razmatrali mešovitu konvekciju na vertikalnoj ravnoj ploči u poroznoj sredini. Na ploču deluje upravno homogeno magnetno polje. Koristi se ne-Darcy-jev model koji uključuje inerciju i granične efekte. Chamhka [90] je 1996. godine razmatrao ne-Darcy-jevu MHD slobodnu konvekciju na vertikalnom konusu i klinu koji se nalaze u poroznoj sredini. Temperatura na konusu i klinu je stepena funkcija uzdužne koordinate. Problem je rešen numerički korišćenjem implicitne iterativne metode konačnih razlika. Bian sa saradnicima [91] je 1996. godine istraživao uticaj magnetnog polja na slobodnu konvekciju u nagnutoj pravougaonoj poroznoj šupljini ispunjenoj elektroprovodnim fluidom. Spoljašnje primenjeno magnetno polje deluje normalno na zagrejane zidove. Porozna sredina je modelirana po Darcy-jevom zakonu.

Camkha [92] je 1997. godine istraživao problem MHD slobodno konvektivnog strujanja elektroprovodnog fluida duž vertikalne ploče ugrađene u termički slojevitu poroznu sredinu. Prisutno spoljašnje magnetno polje je homogeno i upravno na ploču. Osnovne jednačine koje sadrže Darcy-jev efekat i ne-Darcy-jev efekat, Hartmann-ov i Hall-ov efekat, MHD i termičku slojevitost, rešene su numerički korišćenjem metode konačnih razlika. Alagoa i saradnici [93] su 1998. godine rešili problem slobodne MHD konvekcije sa prenosom toplote zračenjem u poroznoj sredini. Brzina usisavanja fluida je funkcija vremena. Pretpostavljeno je da fluks momenta i temperature slabo zavise od vremena. Problem je rešen asymptotskom aproksimacijom.

Chamkha i Khaled [94] su 2000. godine istraživali transport toplote i mase pri prirodoj konvekciji od vertikalne, polu-beskonačne propustljive ploče. Ploča je ugrađena u poroznu sredinu, a prisutno je spoljašnje magnetno polje.

Geindrean i Auriault [95] su 2002. godine istraživali uticaj tenzora filtracije u čvrstoj poroznoj sredini na ustaljeno sporo strujanje elektroprovodnog, nestišljivog, viskoznog fluida u prisustvu spoljašnjeg magnetnog polja. Pokazano je da zakon filtracije liči na Darcy-jev zakon, ali sa dodatnim članom koji je proporcionalan električnom polju. Jat i Ihankal [96] su 2003. godine istraživali trodimenzionalno, nestacionarno strujanje nestišljivog viskoznog fluida u prisustvu upravnog magnetnog polja kroz poroznu sredinu. Porozna sredina se graniči poroznom pločom koja osciluje i kroz koju se uduvava/isisava fluid. Ceo sistem rotira konstantnom ugaonom brzinom oko ose koja je upravna na ploču. Iste godine je El-Amin [97] istraživao uticaj otpora prvog i drugog reda, usled krute matrice ne-Darcy-jeve porozne sredine, Joule-ove toplotne i viskozne disipacije na prinudno konvektivno strujanje duž horizontalnog cilindra pod dejstvom poprečnog magnetnog polja. Razmatran je slučaj promenljive temperature zida.

Godine 2004. Chamkha [98] razmatrao je problem nestacionarnog, dvodimenzionalnog, laminarnog strujanja viskoznog, nestišljivog, elektroprovodnog fluida koji apsorbuje toplotu u graničnom sloju pored vertikalne,

polu-beskonačne, propustljive ploče koja se kreće konstantnom brzinom. Spoljašnje magnetno polje deluje upravno na ploču. Ploča se nalazi u poroznoj sredini. Temperatura i koncentracija su na ploči eksponencijalne funkcije vremena, a brzina slobodne struje je eksponencijalna funkcija vremena dok su temperatura i koncentracija konstantne. Iste godine je Youn [99] istraživao problem slobodne konvekcije sa transportom mase mikropolarnog fluida u poroznoj sredini. Porozna sredina je ograničena polu-beskonačnom, vertikalnom, poroznom pločom koja se kreće konstantnom brzinom u uzdužnom pravcu, a brzina slobodne struje je eksponencijalna funkcija sa malom perturbacijom. Homogeno magnetno polje deluje upravno na ploču koja apsorbuje mikropolarni fluid brzinom isisavanja koja se menja sa vremenom. Takođe te godine Postelnicu [100] je numerički odredio karakteristike prenosa topote i mase prirodne konvekcije pored vertikalne ploče ugrađene u zasićenu poroznu sredinu. Na ovu sredinu deluje spoljašnje magnetno polje. Uzimaju se u obzir efekti termo-difuzije (Dufour) i (Soret). Odgovarajuće simultane diferencijalne jednačine rešene su numerički korišćenjem metode konačnih razlika.

Khadrawi i saradnici [101] su 2005. godine izučavali nestacionarno MHD slobodno konvektivno strujanje preko polu-beskonačne, vertikalne, propustljive, pokretne ravne ploče ugrađene u poroznu sredinu sa uniformnim usisavanjem. Ploča se kreće konstantnom brzinom u uzdužnom pravcu. Primenjeno homogeno magnetno polje deluje upravno na ploču koja apsorbuje elektroprovodni fluid sa uniformnom brzinom usisavanja. Problem je izučavan korišćenjem Laplace-ove transformacije.

Alam i saradnici [102] su 2006. godine proučavali Dufour-ove i Soret-ove efekte na nestacionarnu MHD slobodnu konvekciju i prenos mase pored beskonačne vertikalne porozne ploče ugrađene u poroznu sredinu. Brzina isisavanja/uduvavanja fluida kroz ploču je funkcija vremena, a ploča se kreće vertikalno naviše konstantnom brzinom. Za poroznu sredinu iskorišćen je Darcy-Forchheimer-ov model. Problem je rešen numerički.

Kumar i saradnici [103] su 2007. godine izučavali neustaljeno MHD mešovito konvektivno strujanje viskoznog, nestišljivog fluida pored vertikalne, beskonačne, ravne, porozne ploče u prisustvu topotognog izvora/ponora sa Hall-ovim efektom. Kroz ploču se uduvava/isisava fluid konstantnom brzinom. Iste godine su Chaudhary i Arpica [104] istraživali MHD strujanje pored vertikalne ploče koja osciluje u poroznoj sredini, uzimajući u obzir slobodnu konvekciju i transport mase. Formirane jednačine rešene su u zatvorenom obliku korišćenjem Laplace-ovih transformacija.

Mansour i saradnici [105] su 2008. godine istraživali efekte hemijske reakcije, termičke slojevitosti, Soret-ovog i Dufour-ovog broja na MHD slobodno konvektivni transport toplote i mase viskoznog, nestišljivog, elektroprovodnog fluida pored vertikalne površi koja se isteže, a ugrađena je u poroznu sredinu.

Anjali Devi i Ganda [106] su 2009. godine istraživali uticaj viskozne i Joule-ove disipacije na MHD strujanje fluida pored istežuće porozne ploče ugrađene u poroznu sredinu. Izučeni su problemi kada se ploča isteže različitim brzinama koje linearno zavise od rastojanja. Temperatura ploče je poznata. Iste godine su Das i Saha [107] razvili matematički model za pulsaciono strujanje krvi kroz stenoziranu poroznu sredinu sa periodičkim ubrzanjem tela pod uticajem uniformnog poprečnog magnetnog polja. Krv je smatrana njutnovskim nestišljivim fluidom. Korišćenjem konačnih Hankel-ovih i Laplace-ovih transformacija problem je rešen analitički. Iste godine Shehadeh i Duwairi [108] istraživali su problem MHD prirodnog konvektivnog transporta toplote u poroznoj sredini u pravougaonom kanalu. Granični uslovi na zidovima pravougaonog kanala su dva adijabatska i dva izotermska zida. Za poroznu sredinu korišćen je Darcy-Forchheimer-ov model. Srinivas i Kothandapani [109] su iste godine istraživali efekte prenosa toplote i mase na peristaltički transport u poroznoj sredini. Fluid je elektroprovodan i prisutno je spoljašnje magnetno polje. Korišćene su aproksimacije velike talasne dužine i mali Reynolds-ovi brojevi.

Mansour i saradnici [110] su 2010. godine numerički istraživali MHD slobodnu konvekciju u nagnutom kvadratnom kanalu ispunjenom poroznom supstancijom sa unutrašnjim generisanjem toplote. Homogeno magnetno polje nagnuto je pod istim uglom kao i kanal. Razmatran je slučaj kada se svi zidovi kanala hlađe i slučaj kada su vertikalni zidovi kanala adijabatski. Iste godine su Ahmed i saradnici [111] istraživali nestacionarno MHD slobodno konvektivno strujanje pored vertikalne porozne ploče uronjene u poroznu sredinu sa Hall-ovom strujom, topotnom difuzijom i izvorom toplote. Problem je rešen analitički. Poonoia i Chaudhary [112] su u istoj godini istraživali 2D nestacionarno MHD laminarno slobodno konvektivno strujanje u graničnom sloju nestišljivog, elektroprovodnog fluida duž beskonačne vertikalne ploče potopljene u poroznu sredinu sa prenosom toplote i mase. U razmatranje se uzima i viskozna disipacija. Problem je rešen analitički korišćenjem dvočlanih harmonijskih i neharmonijskih funkcija. Hayat i saradnici [113] su takođe iste godine istraživali 2D mešovitu konvekciju u MHD stacionarnom graničnom sloju kroz poroznu sredinu. Ova sredina je ograničena vertikalnom pločom koja se isteže i zrači topotu. Pretpostavljeno je da se brzina istezanja i temperatura površi ploče linearno menjaju sa rastojanjem od referentne tačke. Rešenje je dobijeno analitički korišćenjem metode homotopske analize. Makinde i Aziz [114] su iste godine istraživali prenos toplote i mase sa vertikalne ploče ugrađene u poroznu sredinu u kojoj se dešava hemijska reakcija prvog reda. Spoljašnje magnetno polje deluje upravno na ploču. Koristi se konvektivni granični uslov. Vyas i Ranjan [115] su 2010. godine istraživali uticaj topotnog zračenja i disipacije na prenos toplote preko rastegljive ploče postavljene sa donje strane porozne sredine ispunjene fluidom. Srinivas i Muthuraj [116] su u ovoj godini izučavali MHD mešovito konvektivno strujanje kroz poroznu sredinu u vertikalnom kanalu sa izvorom toplote sa zračenjem. Pretpostavljeno je da su temperature zidova kanala konstantne. Odgovarajuće bezdimenzionalne jednačine rešene su korišćenjem metode homotopske analize.

Kesavaiah i saradnici [117] su 2011. godine istraživali prenos topote i mase laminarnog strujanja viskoznog, elektroprovodnog fluida koji generiše/apsorbuje toplotu na kontinuiranoj vertikalnoj propustljivoj površi u prisustvu zračenja, homogene hemijske reakcije prvog reda i masenog fluksa. Ploča se kreće konstantnom brzinom u smeru strujanja fluida. Homogeno magnetno polje deluje normalno na poroznu površ, koja apsorbuje fluid brzinom isisavanja koja zavisi od vremena. Problem se rešava analitički korišćenjem dvočlanih harmonijskih i neharmonijskih funkcija. Narayana i saradnici [118] su iste godine istraživali prenos topote i mase u poroznoj sredini duž vertikalne porozne ploče usled sile pritiska, efekta topote i difuzije u prisustvu poprečnog uniformnog magnetnog polja sa uzimanjem u obzir Hall-ove struje. Problem je rešen numerički. Ariful i saradnici [119] su izučavali MHD strujanje mikropolarnog fluida duž vertikalne porozne ploče uronjene u poroznu sredinu. Hayat i saradnici [120] su izučavali efekte termičkog zračenja na 2D MHD strujanje Maxwell-ovog fluida u kanalu porozne sredine. Zidovi kanala su porozni. Problem je rešen korišćenjem metode homotopske analize. Rashidi i saradnici [121] su proučavali upravljanje, koristeći poprečno magnetno polje, filtriranje i prenos topote krvi u krvotoku koji je predstavljen vertikalnom cevi. Ne-njutnovske karakteristike krvi modelirane su po Eringen-u, a za poroznu sredinu se koristi Darcy-Forchheimer-ov model. Rashidi i Erfani [122] su izučavali MHD Hiemenz-ovo strujanje pored ravne ploče sa promenljivom temperaturom površi u poroznoj sredini. Problem je rešen analitički.

U 2012. godini izdvajaju se sledeća istraživanja. Barik i saradnici [123] su proučavali transport topote i mase u prisustvu izvora topote pored ploče koja se isteže a uronjena je u poroznu sredinu. Prisutno magnetno polje je promenljivo. Razmatran je i efekat viskozne disipacije. Reddy i saradnici [124] su istraživali efekte Hall-ove struje, hemijske reakcije i zračenja na slobodno konvektivno strujanje u poroznoj sredini ograničenoj vertikalnom površi ugrađenom u poroznu sredinu. Spoljašnje uniformno magnetno polje deluje upravno na ovu površ.

---

Problem je rešen analitički. Chand i saradnici [125] su izučavali oscilatorno MHD strujanje kroz poroznu sredinu ograničenu dvema vertikalnim paralelnim poroznim pločama od kojih je jedna nepokretna a druga se kreće jednoliko. Kroz ploče se ubrizgava/isisava fluid. U obzir je uzet izvor toplote i Soret-ov efekat. Rešenja su dobijena u zatvorenom obliku. Haque i saradnici [126] su istraživali ponašanje mikropolarnog fluida pri stacionarnom MHD slobodno konvektivnom strujanju i prenosu mase u poroznoj sredini ograničenoj poroznom vertikalnom pločom. Magnetno polje deluje upravno na ploču a kroz nju se uduvava/isisava fluid. Pretpostavlja se da su toplotni i maseni fluks konstantni. Problem je rešen numerički. Al-Sudais [127] je istraživao efekte promenljive toplotne provodljivosti i toplotnog izvora/ponora na 2D MHD stacionarno strujanje viskozne, nestišljive, elektroprovodne tečnosti u poroznoj sredini u prisustvu promenljivog slobodnog strujanja u okolini tačke stagnacije na neprovodnoj ploči. Prisutno je i termičko zračenje. Singh i Rastogi [128] su razmatrali MHD strujanje nestišljivog, viskoznog, elektroprovodnog fluida u horizontalnom kanalu sa paralelnim zidovima u prisustvu nagnutog magnetnog polja. Kanal rotira konstantnom ugaonom brzinom oko ose koja je normalna na zidove. Zidovi kanala su na različitim konstantnim temperaturama, donji je nepokretan, a gornji se kreće konstantnom brzinom. Donji deo kanala je porozna sredina, a gornji deo je potpuno propustljiv. Problem je rešen analitički. Ferdows i saradnici [129] su istraživali strujanje nano fluida u MHD graničnom sloju u poroznoj sredini preko eksponencijalno istežućeg lima. Rashidi i saradnici [130] su primenjujući metodu homotopske analize dobili aproksimativna analitička rešenja stacionarnog strujanja preko rotirajućeg diska u poroznoj sredini sa prenosom toplote. Hayat i saradnici [131] su istraživali strujanje i prenos toplote nestišljivog Jeffery-jevog fluida u poroznoj sredini na površi koja se isteže. Uzeti su u obzir toplotni fluks, izvor toplote i toplotno zračenje. Za rešenje problema korišćena je metoda homotopske analize.

U 2013. godini izdvajaju se istraživanja koja su navedena naniže. Rao i saradnici [132] su razmatrali 2D nestacionarni MHD granični sloj elektroprovodnog fluida u poroznoj sredini pored vertikalne propustljive pokretne ploče. Magnetno polje deluje upravno na ploču. Uzeti su u obzir hemijska reakcija, zračenje, Soret-ov efekat i termička difuzija. Usisavanje na propustljivoj ploči je funkcija vremena. Ploča se kreće konstantnom brzinom u smeru strujanja. Nalinakshi i saradnici [133] su izučavali mešoviti MHD konvektivni prenos toplove sa vertikalne grejane ploče ugrađene u retku poroznu sredinu. Smatra se da su propustljivost, poroznost, toploprovodljivost i magnetno polje promenljive veličine. Manglesh i Gorla [134] su istraživali nestacionarno slobodno konvektivno strujanje nestišljivog, viskoznog, elektroprovodnog fluida kroz vertikalni porozni kanal sa topotnim zračenjem. Primjeno magnetno polje upravno je na kanal. Brzina usisavanja/ubrizgavanja fluida kroz oba zida kanala je konstantna. Uzimaju se u obzir Hall-ov i Soret-ov efekat. Choudhury i Bhattacharjee [135] su istraživali nestacionarno 2D MHD slobodno konvektivno strujanje nestišljivog viskozno-elastičnog fluida u poroznoj sredini pored vertikalne porozne ploče. Uzima se u obzir Dufour efekat i hemijska reakcija. Spoljašnje magnetno polje je upravno na ploču. Choudhury i Kumar [136] su istraživali viskoznoelastično, nestacionarno MHD slobodno konvektivno strujanje u poroznoj sredini pored vertikalne porozne ploče u prisustvu zračenja i hemijske reakcije. Brzina usisavanja/uduvavanja zavisi od vremena. Za rešenje problema se koristi metoda višestrukih perturbacija. Devika i saradnici [137] su izučavali homogenu hemijsku reakciju prvog reda i izvor toplove pri oscilatornom MHD strujanju viskoznoelastičnog fluida kroz kanal ispunjen poroznom sredinom. Nadeem i saradnici [138] su istraživali 3D MHD strujanje Casson fluida u dva bočna pravca kroz poroznu sredinu. Strujanje je pored horizontalne ploče koja se isteže. Turhyilmazoglu [139] je istraživao MHD strujanje i prenos toplove elektroprovodnog viskoznoelastičnog fluida pored vertikalne ploče koja se nalazi u poroznoj sredini. Uzeti su u obzir Dufour-ov i Soret-ov efekat. Problem je rešen analitički. Sheikholeslami i saradnici [140] su

izučavali laminarno MHD strujanje nano fluida u polu-poroznom kanalu u prisustvu poprečnog magnetnog polja. Korišćene su analitičke metode "Least Square" i Galerkin-a.

U 2014. godini bilo je mnogo istraživanja u ovoj oblasti, a izdvojena su samo neka od njih. Raju i sardnici [141] su istraživali ustaljeno MHD prinudno konvektivno strujanje fluida u zasićenoj poroznoj sredini u fiksnom horizontalnom kanalu sa termički izolovanim i nepropustljivim donjim zidom u prisustvu viskozne disipacije i Joule-ovog zagrevanja. Problem je rešen analitički. Dessie i Kishan [142] su istraživali strujanje u MHD graničnom sloju i prenos topote fluida promenljive viskoznosti kroz poroznu sredinu pored istežuće ploče uzimajući u obzir efekte viskozne disipacije i izvora/ponora topote. Odgovarajuće jednačine rešene su numerički korišćenjem metode Runge-Kutta četvrtog reda. Mishra i saradnici [143] razmatrali su problem nestacionarnog, laminarnog MHD graničnog sloja nestišljivog, elektroprovodnog fluida u poroznoj sredini pored polubeskonačne vertikalne ploče sa zračenjem i hemijskom reakcijom. Koristi se metoda perturbacije. Neetu Srivastava [144] je analitički istraživao MHD strujanje krvi u poroznoj nagnutoj stenozoidnoj arteriji pod uticajem nagnutog magnetnog polja. Krv je smatrana njutnovskim elektroprovodnim fluidom. Lavanya i Ratnam [145] su istraživali prenos topote i mase 2D stacionarnog MHD slobodno konvektivnog strujanja duž vertikalne porozne ploče ugrađene u poroznu sredinu sa toplotnim zračenjem, generisanjem topote, viskoznom disipacijom i hemijskom reakcijom pod uticajem Dufour-ovog i Soret-ovog efekta. Problem je rešen numerički. Sreekala i Reddy [146] su istraživali stacionarno MHD Couette-ovo strujanje nestišljivog fluida kroz poroznu sredinu između dve beskonačne paralelne porozne ploče. Magnetno polje je nagnuto i uzima se u obzir viskozna disipacija. Donja ploča je nepokretna, a brzina usisavanja fluida i temperatura ploče su kosinusne funkcije dok se gornja ploča kreće konstantnom brzinom, a brzina usisavanja fluida i temperatura ploče su konstantne. Sagar i saradnici [147] su istraživali nestacionarno 2D MHD slobodno konvektivno strujanje nestišljivog

Kuvshinski fluida u poroznoj sredini pored polu-beskonačne vertikalne ploče sa hemijskom reakcijom i apsorpcijom zračenja. Barik i saradnici [148] su istraživali nestacionarno MHD slobodno konvektivno strujanje nestišljivog fluida kroz poroznu sredinu u prisustvu izvora/ponora toplove. Porozna sredina je ograničena beskonačnom vertikalnom poroznom površi, a sistem rotira kao čvrsto telo. Kroz vertikalnu površ uniformno i upravno na nju se usisava fluid. Temperatura površi je funkcija vremena. Problem je rešen analitički metodom perturbacije. Kala i saradnici [149] izučavali su stacionarno 2D MHD laminarno slobodno konvektivno strujanje i prenos toplove nestišljivog, elektroprovodnog fluida preko nelinearno rastegljive ploče ugrađene u poroznu sredinu. Porozna sredina je predstavljena proširenim Darcy-Forchheimer-ovim modelom. Prisutno je homogeno upravno magnetno polje, a uzeta je u obzir i viskozna disipacija. Kumar [150] je istraživao mešovito konvektivno MHD strujanje mikropolarnog fluida i prenos toplove i mase u poroznoj sredini pored beskonačne vertikalne ploče. Uzeto je u obzir Ohm-ovo zagrevanje, zračenje, viskozna disipacija. Ploča je izložena konstantnom topotnom fluksu i promeni koncentracije. Kroz ploču se ubrizgava fluid konstantnom brzinom.

I u 2015. godini realizovano je više istraživanja u ovoj oblasti, a neka od njih izdvojena su ovde. Uddin [151] istraživao je uticaj viskozne Joule-ove disipacije kod problema MHD strujanja kod istežuće porozne površi ugrađene u poroznu sredinu kanala koji rotira. Chauhan i saradnici [152] su istraživali 2D ustaljeno MHD strujanje u kružnoj cevi i izvan nje, gde je sredina unutar cevi porozna pod uticajem primjenjenog magnetnog polja. Za poroznu sredinu je korišćen Brinkman-ov model. Problem je rešen analitički. Javaherdeh i saradnici [153] su istraživali stacionarno, laminarno slobodno konvektivno strujanje preko pokretne vertikalne ploče u poroznoj sredini izložene dejstvu poprečnog magnetnog polja. Prepostavlja se da temperatura i koncentracija na ploči imaju istu vrstu raspodele. Problem je rešen numerički. Rani i saradnici [154] su izučavali efekte zračenja i hemijske reakcije na MHD slobodno konvektivno strujanje

elektroprovodnog fluida preko nagnute ploče ugrađene u poroznu sredinu. Ploča se impulsivno pokreće a temperatura i koncentracija na njoj su promenljive. Problem je rešen analitički. Muondwe i saradnici [155] su razmatrali MHD strujanje elektroprovodnog fluida između dve vertikalne paralelne ploče. Primjeno spoljašnje magnetno polje je upravno na ploče. Temperature ploča su konstantne i različite. Pokretna ploča je propustljiva, dok je druga nepropustljiva. Prakash i saradnici [156] su istraživali efekte topotnog zračenja, sile potiska i magnetnog polja na oscilatorno strujanje provodnog fluida sa česticama prašine u vertikalnom kanalu ispunjenom poroznom supstancijom. Zidovi kanala su na konstantnim, a različitim temperaturama. Bagh i saradnici [157] su istraživali MHD strujanje fluida sa konvektivnim prenosom topote u poroznoj sredini preko poroznog lima koji se eksponencijalno smanjuje. Shalini i Choudhary [158] su izučavali MHD strujanje i prenos topote u graničnom sloju na propustljivom limu koji se eksponencijalno skraćuje, a nalazi se na dnu porozne sredine ispunjene fluidom. Kroz lim se usisava fluid brzinom koja je eksponentijalna funkcija, temperatura lima je takođe eksponentijalna funkcija. Problem je rešen numerički. Yirga i Shankar [159] su istraživali konvektivni prenos topote i mase pri strujanju nanofluida kroz poroznu sredinu zbog istezanja lima pri dejstvu magnetnog polja, viskozne disipacije, hemijske reakcije i Soret-ovog efekta. Khalid i saradnici [160] su istraživali nestacionarnu MHD slobodnu konvekciju Casson fluida duž vertikalne ploče koja se nalazi u poroznoj sredini i osciluje. Za rešavanje odgovarajućih jednačina korištene su Laplace-ove transformacije.

Istraživanja su nastavljena i tokom 2016. godine. Chaudhary i Choundahary [161] istraživali su, numerički, ustaljeno 2D MHD strujanje pored zagrejane ploče koja se isteže/sakuplja u poroznoj sredini. Fluid koji se nalazi u poroznoj sredini je nestišljiv, viskozan i elektroprovodan. Spoljašnje magnetno polje je homogeno i upravno na ploču. Kumar [162] je istraživao MHD peristaltički konduktivni transport pri strujanju krvi kroz poroznu sredinu u nagnutom koaksijalnom vertikalnom kanalu. Dobijena su analitička rešenja. Kumar i saradnici [163] su

istraživali MHD strujanje krvi kroz poroznu sredinu u nagnutoj konusnoj arteriji. Krv je smatrana njutnovskim elektroprovodnim fluidom. Problem je rešen analitički. Posmatrani su divergentni, konvergentni i valjkasti delovi arterije. Seth i saradnici [164] su istraživali nestacionarno MHD prirodno konvektivno strujanje sa prenosom topline i mase, nestišljivog, elektroprovodnog, hemijski reaktivnog fluida duž vertikalne ploče. Ploča se u poroznoj sredini kreće eksponencijalnim ubrzanjem a njena temperatura je proizvoljna. Uzeto je u obzir i toplotno zračenje. Dobijena su rešenja u zatvorenom obliku korišćenjem Laplace-ovih transformacija. Misra i Adhikary [165] su istraživali oscilatorno MHD strujanje krvi i transport mase i topline u arterijama u prisustvu hemijske reakcije i spoljašnjeg magnetnog polja. Iftikhar i saradnici [166] su istraživali strujanje i prenos topline u nestacionarnom 3D MHD graničnom sloju nestišljivog, elektroprovodnog fluida u poroznoj sredini usled istezanja površi u horizontalnoj ravni. Analiza strujanja se vrši u prisustvu toplotne generacije/apsorpcije i spoljašnjeg homogenog magnetnog polja upravnog na površ. Indukovano magnetno polje je zanemareno. Shehzad i saradnici [167] su istraživali MHD 3D strujanje nestišljivog Casson-ovog fluida u graničnom sloju u poroznoj sredini. Karakteristike prenosa topline analizirane su u prisustvu izvora/ponora topline. Gireesha i saradnici [168] su istraživali teorijski MHD prenos topline kontaminiranog fluida na kontinuirano istezanoj površi sa linearno promenljivom temperaturom ili toplotnim fluksom. Uzeti su u obzir efekti Hall-a, Darcy-jeva porozna sredina, toplotno značenje i promenljivi izvor/ponor topline. Površ je propustljiva tako da omogućava uduvavanje/isisavanje fluida.

I u 2017. godini bilo je više istraživanja iz oblasti MHD prenosa mase i topline u poroznoj sredini. Kumari i Goyal [169] su istraživali efekte viskozne disipacije i prenosa mase na nestacionarno MHD oscilatorno strujanje fluida kroz poroznu sredinu između dve vertikalne paralelne ploče konstantnih, a različitih temperatura. Sl sedais [170] je proučavao efekte generisanja topline i zračenja na MHD strujanje Casson fluida niz površ koja se proteže kroz poroznu sredinu. Odgovarajuće bezdimenzione jednačine rešene su numerički. Khan i saradnici

---

[171] su proučavali proces ekstruzije primarne izolacije provodljive žice pomoću viskoznoelastičnog fluida trećeg stepena u prisustvu primjenjenog magnetnog polja i porozne sredine. Za rešenje odgovarajućih jednačina korišćena je metoda homotopske analize. Dastagiri i saradnici [172] su istraživali nestacionarno slobodno konvektivno MHD 2D strujanje elektroprovodnog nestišljivog nenjutnovskog fluida drugog stepena duž vertikalne porozne ploče pod uticajem homogenog poprečnog magnetnog polja sa propustljivošću koja zavisi od vremena i oscilatornog usisavanja. Jednačine polja strujanja za malu amplitudu propustljivosti rešene su metodom perturbacije. Sinha i saradnici [173] su odredili tačno rešenje problema prirodnog konvektivnog MHD strujanja u tankom sloju elektroprovodnog fluida duž vertikalne ploče u poroznoj sredini. Prisutno je značajno topotno zračenje. Odgovarajuće jednačine rešene su u zatvorenom obliku korišćenjem Laplace-ovih transformacija. Krishna i saradnici [174] su istraživali stacionarno MHD slobodno konvektivno strujanje, transport toplote i mase duž polu-beskonačne porozne ploče u poroznoj sredini u prisustvu Soret-ovog i Dufour-ovog efekta. Odgovarajuće jednačine rešene su numerički. Bhavya i Sharma [175] su istraživali efekte magnetnog polja na strujanje krvi kroz stenoznu nagnutu poroznu arteriju u prisustvu porozne sredine sa izvorom toplote. Viskoznost se prepostavlja promenljivom sa promenljivim hematokritom u čitavom području arterije. Latha i Rushi [176] su istraživali prenos toplote i mase pri nestacionarnom strujanju krvi kroz kanal između paralelnih ploča u kome je porozna sredina, u prisustvu upravnog magnetnog polja, sa topotnim zračenjem. Prashant je u doktorskoj disertaciji [177] teorijski istraživao MHD strujanje, prenos toplote i mase njutnovske/nenjutnovske rashladne tečnosti, usled horizontalnog/vertikalnog istezanja ploče. Teorijska istraživanja uključuju uticaje: magnetnog polja, uniformnog/neuniformnog izvora/ponora toplote i hemijsku reakciju prvog reda.

Navode se i istraživanja iz 2018. godine. Astanina sa saradnicima [178] je istraživala MHD prirodnu konvekciju sa generisanjem entropije nanofluida unutar

---

otvorene trapezne šupljine ispunjene poroznim slojem i slojem ferofluida pod uticajem homogenog nagnutog magnetnog polja. Porozna sredina je modelirana Brinkman-ovim modelom. Sheikholeslami i Shehzad [179] su proučavali prenos toplote nanofluida na bazi vode sa nanočesticama u poroznoj sredini u prisustvu spoljašnjeg magnetnog polja. Porozna sredina je opisana Darcy-jevim modelom. Za numeričko rešavanje problema korišćena je metoda konačnih elemenata. Sheikholeslami i Rokni [180] su izvršili numeričku simulaciju uticaja Coulomb-ove sile na prenos toplote nanofluida u poroznoj sredini u prisustvu toplotnog zračenja. Na kanal deluje spoljašnje električno polje. Khalid i saradnici [181] su razmatrali nestacionarno MHD slobodno konvektivno strujanje krvi u ugljeničnim nanocevima. Strujanje je duž oscilujuće vertikalne ploče ugrađene u poroznu sredinu. Za rešavanje problema korišćene su Laplace-ove transformacije. Agoor [182] je istraživao MHD strujanje mikropolarnog fluida kroz poroznu sredinu unutar pravougaonog mikrokanala. Spoljašnje primjeno magnetno polje je homogeno. Odgovarajuće jednačine su rešene analitički.

## 1.6 Predmet istraživanja u disertaciji

Istraživanja u oblasti magnetne hidrodinamike realizuju se već dugi niz godina na Katedri za Hidroenergetiku na Mašinskom fakultetu u Nišu. Trenutno se realizuju istraživanja u okviru projekta "Istraživanje MHD strujanja u okolini tela, procepcima i kanalima i primena u razvoju MHD pumpi. Razmatraju se njutnovski i ne-njutnovski nestišljivi fluidi. Sredine kroz koje fluid struji su porozne i potpuno slobodne za strujanje fluida. Jedan od rezultata ovih istraživanja je doktorska disertacija [183] koja je publikovana 2013. godine. U okviru ove disertacije razmatrana su MHD strujanja jednog i dva fluida u kanalima. Na ovoj katedri su nastavljena istraživanja iz ove oblasti i objavljeno je više radova, od kojih se ovde navode samo neki koji su direkno povezani sa istraživanjima u ovoj doktorskoj disertaciji. Stamenković sa saradnicima [184] je istraživao stacionarno MHD strujanje fluida i transport toplote u horizontalnom poroznom kanalu. Primjeno spoljašnje magnetno polje je homogeno i upravno na kanal. Uzeto je i dejstvo spoljašnjeg homogenog električnog polja. Zidovi kanala su na stalnim a različitim temperaturama. Problem je istraživan u bezindukcionoj aproksimaciji. Odgovarajuće diferencijalne jednačine rešene su analitički. Autorka ove disertacije je u radu [185] sa saradnicima istraživala stacionarno MHD strujanje i transport toplote u horizontalnom poroznom kanalu. Polovine kanala su različitih poroznosti i u njima struje različiti fluidi. Na kanal deluju spoljašnje električno i magnetno polje koje je nagnuto u odnosu na horizontalni kanal. Zidovi kanala su stalnih, a različitih temperatura. Problem je razmatran u bezindukcionoj aproksimaciji. Rešenje problema dato je u zatvorenom obliku. U radu [186] razmatrano je stacionarno MHD strujanje i transport toplote u horizontalnom poroznom kanalu. Primjeno spoljašnje magnetno polje je homogeno i upravno na zidove kanala. Uzet je i uticaj indukovanih magnetnih polja. Zidovi kanala su na stalnim i različitim temperaturama. Problem je rešen analitički. U radu [187] razmatrano je

stacionarno MHD strujanje i prenos toplove u poroznoj sredini između dve horizontalne ploče koje su na konstantnim a različitim temperaturama. Spoljašnje magnetno polje je homogeno i upravno na ploče. Uzima se u obzir i indukovano magnetno polje. Tokom istraživanja u okviru ove disertacije publikovan je rad [188] u kome je MHD strujanje fluida i prenos toplove u poroznoj sredini između dve horizontalne ploče. Gornja ploča se kreće konstantnom brzinom u smeru strujanja fluida. Na strujni prostor deluju homogeno spoljašnje magnetno i električno polje. Problem se razmatra u bezindukcionoj aproksimaciji.

Na osnovu citirane literature u ovom radu, i literature koja je pregledana, od autora, a nije citirana ovde može se zaključiti da istraživanja MHD strujanja, transporta mase i toplove u poroznoj sredini sa godinama ne jenjavaju već naprotiv, sve ih je više. Razlog ovome je, nesumnjivo, mnogo oblasti u kojima ova istraživanja nalaze praktičnu primenu. Zato će se u ovoj disertaciji istraživati MHD strujanja, transport mase i toplove u kanalima unutar kojih je sredina porozna. Zidovi kanala biće beskonačne ploče koje su na konstantnim a različitim temperaturama. Razmatraće se horizontalni, nagnuti i vertikalni kanali. Primljeno spoljašnje magnetno polje je homogeno upravno na zidove kanala ili nagnuto u odnosu na njih. Fizičke karakteristike fluida i sredine smatraće se konstantnim. Za neke od posmatranih problema uzima se i uticaj primjenjenog spoljašnjeg homogenog električnog polja. Pojedini problemi će se posmatrati u bezindukcionoj aproksimaciji, a biće i onih kod kojih se uzima u obzir i uticaj indukovanih magnetnih polja. Razmatraće se slučajevi kada kroz kanal struji jedan fluid i slučajevi kada kroz kanal struje dva fluida koja se ne mešaju. Zidovi kanala su ili oba nepokretna ili jedan nepokretan a drugi pokretan. Zidovi kanala su elektroneprovodni, a razmatraće se i slučaj kada su oni elektroprovodni. Svi problemi razmatraju se u stacionarnom stanju.

Ovde se najpre navodi šta je u kom poglavlju disertacije istraživano. U drugom poglavlju je izvršeno matematičko modeliranje problema MHD strujanja, transporta mase i toplove. Prethodno su date osnovne geometrijske i strujne

karakteristike poroznih sredina. Za matematičko modeliranje je korišćena metoda zapreminskog osrednjavanja. Tako su dobijene osrednjene jednačine koje ovaj problem matematički opisuju tj. dobijen je odgovarajući matematički model. To su jednačina kontinuiteta, jednačina impulsa, jednačina energije i osnovne jednačine elektromagnetike.

U poglavlju III se razmatraju, prvo, slučaj MHD strujanja, prenosa mase i toplote u horizontalnom poroznom kanalu u kome struji jedan fluid. Uzet je uticaj spoljašnjeg homogenog magnetnog polja upravnog na zidove kanala i uticaj spoljašnjeg homogenog električnog polja. Zidovi kanala su neprovodni, a na njima postoje izvori/ponori fluida. Problem se razmatra u bezindukcionalnoj aproksimaciji. Zatim se razmatra slučaj kod koga je, za razliku od prethodnog, gornji zid kanala pokretan i kreće se u pravcu strujanja konstantnom brzinom. Na dalje, u ovom poglavlju, razmatra se slučaj kod koga je zanemaren uticaj spoljašnjeg električnog polja a problem se ne posmatra u bezindukcionalnoj aproksimaciji, već se uzima u obzir uticaj indukovanih magnetnih polja. Sledeći problem koji se razmatra u ovom poglavlju razlikuje se od prethodnog u tome što se gornji zid kanala kreće konstantnom brzinom u pravcu strujanja. Na kraju se razmatra problem kod koga je za razliku od prvog posmatranog problema u ovom poglavlju zanemaren uticaj spoljašnjeg električnog polja, a uzet je uticaj indukovanih magnetnih polja tj. problem se ne razmatra u bezindukcionalnoj aproksimaciji. Pored toga, za razliku od prvog razmatranog problema, gde su zidovi bili elektroneprovodni ovde su oni elektroprovodni.

U četvrtom poglavlju se razmatra strujanje dva fluida koji se ne mešaju u kanalu čiji su zidovi dve horizontalne izolovane ploče. Ploče su na konstantnim a različitim temperaturama. Prvi problem koji se istražuje je sa primenjenim spoljašnjim magnetnim poljem koje je homogeno i upravno na zidove kanala i spoljašnjim homogenim električnim poljem. Na zidovima i u kanalu nema izvora/ponora fluida. Problem se razmatra u bezindukcionalnoj aproksimaciji. Drugi model koji se razmatra u ovom poglavlju razlikuje se od prethodnog u tome što je

## Poglavlje 1

---

gornji zid kanala pokretan i kreće se konstantnom brzinom u pravcu strujanja fluida.

U petom poglavlju razmatraju se četiri različita modela MHD strujanja, transporta mase i toplove. Kod sva četiri modela kanal je nagnut u odnosu na horizontalnu ravan. Zidovi kanala su paralelne ploče koje su beskonačne, elektro izolovane, a na njima se nalaze izvori/ponori fluida. Zidovi kanala su na konstantnim a različitim temperaturama. Spoljašnje primenjeno magnetno polje je homogeno i nagnuto u odnosu na normalu na zidove kanala. Sredina u kanalu je porozna i kroz nju struji fluid stalnih fizičkih svojstava. Kod prva dva modela uzima se u obzir i uticaj spoljašnjeg homogenog električnog polja. Oba ova modela razmatraju se u bezindukcionoj aproksimaciji. Kod prvog modela oba zida kanala su nepokretna, a kod drugog se gornji zid kanala kreće. Kod trećeg i četvrtog modela, za razliku od prethodna dva, zanemaruje se primenjeno spoljašnje električno polje i uzima se uticaj indukovanih magnetnih polja. Kod trećeg modela zidovi kanala su nepokretni, a kod četvrtog modela se gornji zid kreće konstantnom brzinom. Sva četiri problema izučavana su u stacionarnom stanju.

U šestom poglavlju ovog rada istraživano je MHD strujanje dva fluida i prenos toplove u kanalu nagnutom u odnosu na horizontalnu ravan. Zidovi kanala su beskonačne nepokretnе ploče koje su elektroizolovane i na različitim konstantnim temperaturama. Sredina unutar kanala je porozna i kroz nju struje dva fluida koji se ne mešaju, a konstantnih su fizičkih svojstava. Svojstva porozne sredine su takođe nepromjenljiva. Primjeno spoljašnje magnetno polje je homogeno i nagnuto je u odnosu na normalu na zidove kanala a nalazi se u vertikalnoj ravni strujanja fluida. Uzet je i uticaj spoljašnjeg primjenjenog homogenog električnog polja. Problem se proučava u bezindukcionoj aproksimaciji.

U svim poglavljima određivani su rasporedi brzine, temperature i pritiska i to uvek u zatvorenom obliku.

## Poglavlje 1

---

U sedmom poglavlju su urađene numeričke simulacije u programu Ansys CFX. Simulacije su date za dva razmatrana modela. Prvi je horizontalni kanal u kome je porozna sredina, a zatim su dati rezultati numeričkih simulacija i za kosi kanal takođe sa poroznom sredinom.

Osmo poglavlje je zaključak disertacije. U njemu su i zasebno sumirani dobijeni rezultati iz svakog poglavlja.

## **2. Matematički model**

Čvrsta tela prirodnog ili veštačkog porekla u većini slučajeva mogu se smatrati "poroznim materijalom". Pod ovim pojmom se podrazumevaju tela - sredine koja imaju veći broj šupljina male veličine u poređenju sa karakterističnom dimenzijom samog tela. Ove šupljine nazivaju se porama, a čvrsti sadržaj se naziva skeletom ili nosačem.

Fenomeni strujanja fluida, prenosa mase i topote u poroznim materijalima prisutni su u velikom broju procesa u energetici, procesnoj i hemijskoj industriji i oblasti zaštite životne sredine. Samo ovi razlozi su sasvim dovoljni da istraživanja u ovoj oblasti učine neophodnim.

Dosadašnja saznanja u ovoj oblasti su značajna. Međutim postoji čitav niz problema, kako objektivnih tako subjektivnih, te su istaživanja u ovoj oblasti, i teorijska i eksperimentalna, neophodna.

Pre formiranja matematičkog modela ovde će se dati neke osnovne veličine koje karakterišu porozne materijale (sredine).

### **2.1 Geometrijske karakteristike poroznih materijala**

Oblik pora u poroznom materijalu je izuzetno složen i veoma je bitan faktor koji utiče na formiranje strujnog i termodinamičkog režima. Prostor pora izgleda kao mreža isprepletanih kanala i zavisi od geometrije granula koje obrazuju sam sloj, a i od geometrije porognog sloja u celini.

U cilju sagledavanja ovako složene strukture poroznih materijala, problema strujanja i prenosa mase i topote neophodno je definisati karakteristične veličine, koje geometrijski opisuju porozne sredine. Za sada su to:

poroznost  $\varepsilon$ , specifična površina  $a_v$  i karakteristična dužina  $l^*$ .

Postoje različite vrste pora i to:

- prolazne (otvorene),
- neprolazne (slepe) i
- zatvorene.

One su definisane različitim izrazima:

$$\varepsilon = \frac{V_\varepsilon}{V}, \quad (2.1.1)$$

gde je:  $\varepsilon$  - ukupna poroznost,  $V_\varepsilon$  - zapremina svih pora u materijalu,  $V$  - ukupna zapremina prostora pora i čvrste faze,

$$\varepsilon_f \equiv \varepsilon_{st} = \frac{V_f}{V} \quad (2.1.2)$$

gde je:  $\varepsilon_f \equiv \varepsilon_{st}$  - stvarna poroznost,  $V_f$  - zapremina otvorenih pora,

$$\varepsilon_z = \frac{V_z}{V} \quad (2.1.3)$$

gde je:  $\varepsilon_z$  - zatvorena poroznost,  $V_z$  - zapremina zatvorenih pora.

Zatvorena poroznost predstavlja razliku ukupne i stvarne poroznosti.

Za pravilne oblike "pakovanja" moguće je statističkim metodama odrediti vrednost poroznosti.

Specifična površina  $a_v$  u literaturi se definiše na dva načina i to kao odnos ukupne okvašene površine tela i njegove zapremine i kao odnos ukupne okvašene površine tela i njegove mase. Ova veličina je od posebnog značaja za određivanje ukupne razmenjene količine toplote ili mase između faza i u kvalitativnom određivanju brzine hemijskih i biohemijskih reakcija koje se odvijaju na međufaznoj površi.

Za karakterističnu dužinu se, u literaturi, uzima ili "prečnik" čestica koje čine porozni sloj ili "ekvivalentni" prečnik pore koji se definiše kao hidraulički radijus  $R_h$ :

$$R_h = \frac{V_f}{A_f} \quad (2.1.4)$$

gde je:  $V_f$  - zapremina sloja slobodna za protok fluida, a  $A_f$  - ukupna okvašena površina čvrste faze u sloju.

Iako su ostvareni značajni rezultati u matematičkom modeliranju i dalje je osnovni način određivanja geometrijskih karakteristika porozne sredine eksperimentalni.

## 2.2 Karakteristike strujanja u poroznim sredinama

U literaturi se kao karakteristične veličine strujanja u poroznim sredinama uglavnom koriste karakteristična brzina strujanja i efektivna propustljivost.

Stvarna brzina fluida u prostoru pora je promenljiva. Ona je jednaka nuli na zidovima pora i ima maksimalne vrednosti u osama pora. Ova brzina ima fizički smisao u definisanju strujanja fluida u poroznim materijalima ali ju je teško meriti pa se uglavnom koriste njeni osrednjeni oblici.

Najčešće se kao karakteristična brzina strujanja koristi osrednjena stvarna brzina fluida u porama po ukupnoj površini pora u bilo kom preseku porognog materijala upravnom na pravac strujanja. Tako definisana brzina data je izrazom:

$$W_f^* = \frac{1}{A_\epsilon} \int_{A_\epsilon} W_f dA, \quad (2.2.1)$$

gde su:  $W_f$  - lokalna brzina strujanja fluida unutar pore,  $A_\epsilon$  - ukupna površina pora u bilo kom preseku porognog materijala upravnom na pravac strujanja.

Često se kao karakteristična brzina strujanja fluida koristi brzina definisana izrazom:

## Poglavlje 2

---

$$W = \frac{1}{A} \int_{A_e} W_f dA, \quad (2.2.2)$$

gde je  $A$ - površina bilo kog preseka upravnog na pravac strujanja. Ovako definisana brzina u literaturi je poznata pod nazivom **Darcy-jeva brzina**. Zapaža se da ona predstavlja osrednjenu stvarnu brzinu po ukupnoj površini preseka.

Veza između brzina definisanih relacijama (2.2.1) i (2.2.2) data je izrazom:

$$W = \varepsilon W_f^*, \quad (2.2.3)$$

gde je:

$$\varepsilon = \frac{A_e}{A}. \quad (2.2.4)$$

Za definisanje Reynolds-ovog broja uglavnom se koristi Darcy-jeva brzina.

Propustljivost  $K^*$  je veličina koja određuje sposobnost poroznog materijala da propusti fluid pod uticajem "gradijenta" pritiska. Ona je definisana **Darcy-jevim zakonom**:

$$K^* = \mu_f \frac{W}{\frac{dp}{dx}}, \quad (2.2.5)$$

gde su:  $\mu_f$  - dinamička viskoznost fluida,  $W$  - Darcy-jeva brzina,  $\frac{dp}{dx}$  - "gradijent" pritiska u pravcu strujanja.

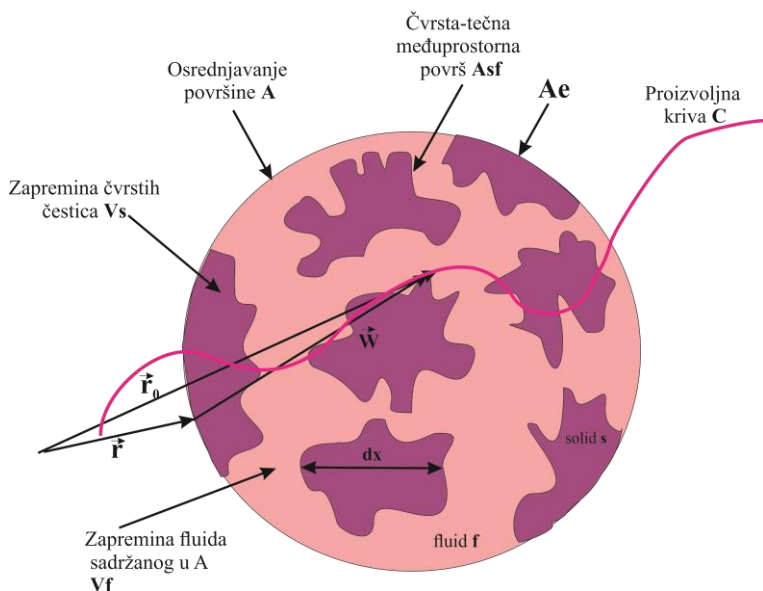
Na veličinu propustljivosti utiču geometrijski parametri poroznog materijala, poroznost, distribucija pora po veličini, zakrivljenost i isprepletanost poroznih kanala, površina kontakta čvrste faze i fluida i dr. Još uvek se za svaki porozni materijal njegova propustljivost mora odrediti eksperimentalno.

Zapaža se da propustljivost  $K^*$  ima dimenziju površine [ $m^2$ ]. Kako je jedinica za propustljivost  $1m^2$  vrlo velika češće se koristi jedinica Darcy ( $D_a$ ):

$$1D_a = 9,87 \cdot 10^{-13} m^2. \quad (2.2.6)$$

## 2.3 Zapreminska osrednjavanje

Analitičko opisivanje strujanja fluida i prenosa toplote u poroznoj sredini zakonima kontinuma veoma je složeno zbog njene izrazite nehomogenosti. Zato se ta sredina smatra pseudohomogenom odnosno kvazikontinuumom i onda se na nju primenjuju zakoni kontinuma uz izvesne dopune i korekcije. Ovu ideju su prvi realizovali Slattery [189] i Whitaker [190] formiravši jedan postupak zapremskog osrednjavanja. Postupak je zasnovan na izboru **reprezentativne elementarne zapremine (REZ)**. Ova zapremina je donja granična vrednost zapremine porozne sredine koja još uvek reprezentuje sve njene karakteristike (slika 2.1).



Slika 2.1 Reprezentativna elementarna zapremina

Analiza strujanja i prenosa toplote zakonima kontinuma unutar porozne sredine ispod ove granične sredine nema smisla.

Ovim postupkom osrednjavanja se "lokalne veličine" izvode iz matematičke tačke u nekoj od faza na makro nivo tj. nivo efektivnih veličina, odnosno osrednjavaju se na celu REZ ili na samo jednu fazu unutar REZ.

## Poglavlje 2

---

Izbor REZ zavisi od karakterističnih dužina na mikro i makro nivou i da bi ona bila kvalitetno izabrana potrebno je zadovoljiti sledeće uslove:

- a) srednje vrednosti veličina treba da su jednoznačne funkcije vremena i položaja tačke, a onda su i nezavisne od REZ-e,
- b) srednje vrednosti veličina treba da su neprekidne i diferencijalne funkcije po vremenu i prostornim koordinatama onoliko puta koliko je to potrebno,
- c) odnos karakteristične mikroskopske dužine porozne sredine  $d$  i karakteristične dužine  $l^*$  REZ-e treba da je  $l^* \gg d$ ,
- d) odnos karakteristične makroskopske dužine porozne sredine duž koje dolazi do značajnih promena osrednjениh veličina i karakteristične dužine  $l^*$  REZ-e je  $L \gg l^*$ .

Ako je  $\psi$  bilo koja veličina iz porozne sredine onda se njena "osrednjena vrednost" po celoj zapremini definiše izrazom:

$$\langle \psi \rangle = \frac{1}{V} \int_V \psi dV, \quad (2.3.1)$$

gde je  $dV = dx' dy' dz'$  diferencijalna zapremina, a  $x', y'$  i  $z'$  koordinate na mikro nivou.

"Osrednjavanje" se može izvršiti i samo unutar jedne faze zapremine  $V$  i tako se dobija "unutrašnja osrednjena vrednost" te veličine. Ovo osrednjavanje je definisano izrazom:

$$\langle \psi \rangle^k = \frac{1}{V_k} \int_V \psi dV, \quad (2.3.2)$$

gde je  $k = f \vee s$  zavisno od toga da li se "osrednjavanje" vrši u fluidnoj ( $f$ ) ili čvrstoj ( $s$ ) fazi.

Kako je poroznost data izrazom:

$$\varepsilon_k = \frac{V_k}{V}, \quad (2.3.3)$$

to između "osrednjениh" vrednosti (2.3.1) i (2.3.2) postoji sledeća veza:

$$\langle \psi \rangle = \varepsilon_k \langle \psi \rangle^k. \quad (2.3.4)$$

Veza između konkretne vrednosti u tački i "unutrašnje osrednjene vrednosti" data je Gray-jevom [209] relacijom:

$$\psi = \langle \psi \rangle^k + \tilde{\psi}, \quad (2.3.5)$$

odakle proizilazi da je:

$$\langle \tilde{\psi} \rangle = \langle \tilde{\psi} \rangle^k = 0. \quad (2.3.6)$$

Pre nego se pređe na samo matematičko modeliranje problema koji se u ovom radu izučava ukazaće se na neke relacije koje proizilaze iz ovakvog načina osrednjavanja.

Zapreminska osrednjavanje zbira dve veličine dato je relacijom:

$$\langle \psi + \varphi \rangle^k = \langle \psi \rangle^k + \langle \varphi \rangle^k, \quad (2.3.7)$$

a proizvoda relacijom:

$$\langle \psi \varphi \rangle^k = \langle \psi \rangle^k \langle \varphi \rangle^k + \langle \tilde{\psi} \tilde{\varphi} \rangle^k. \quad (2.3.8)$$

Dokazi poslednjih relacija su vrlo jednostavnii.

Za zapreminska osrednjavanje parcijalnog izvoda po vremenu važi relacija:

$$\left\langle \frac{\partial \psi}{\partial t} \right\rangle = \frac{\partial \langle \psi \rangle}{\partial t} - \frac{1}{V} \int_{A_{fs}} \psi \vec{u}_A \vec{n} dA, \quad (2.3.9)$$

odnosno za unutrašnje osrednjavanje relacije:

$$\varepsilon_k \left\langle \frac{\partial \psi}{\partial t} \right\rangle^k = \frac{\partial (\varepsilon_k \langle \psi \rangle^k)}{\partial t} - \frac{1}{V} \int_{A_{fs}} \psi \vec{u}_A \vec{n} dA, \quad (2.3.10)$$

gde su:  $A_{fs}$  - površina kontakta između faza,  $\vec{u}_A$  - brzina površi  $A_{fs}$  i  $\vec{n}$  - jedinični vektor upravan na površ  $A_{fs}$ .

Zapreminska osrednjavanje prostornog izvoda skalarne veličine dato je relacijom:

$$\langle \nabla \psi \rangle = \bar{\nabla} \langle \psi \rangle + \frac{1}{V} \int_{A_{fs}} \psi \vec{n}_A dA, \quad (2.3.11)$$

odnosno relacijom:

$$\langle \nabla \psi \rangle = \bar{\nabla} (\varepsilon_k \langle \psi \rangle^k) + \frac{1}{V} \int_{A_{fs}} \psi \vec{n}_A dA. \quad (2.3.12)$$

Poslednje dve relacije važe i za slučaj kada je veličina  $\psi$  vektor i tada one predstavljaju teoremu zapreminskog osrednjavanja divergencije.

Oznaka " $\bar{\cdot}$ " iznad operatora  $\nabla$  označava da se on odnosi na makroskopske koordinate, a bez oznake " $\bar{\cdot}$ " na mikroskopske koordinate. Ova oznaka se vrlo često izostavlja, ali se gore rečeno normalno podrazumeva.

Ovde se, ilustracije radi, pokazuje izvođenje relacije (2.3.11). Može se poći od poznate transportne jednačine [192] napisane u obliku:

$$\frac{d}{dt} \int_{V(t)} \psi dV = \int_{V(t)} \frac{\partial \psi}{\partial t} dV + \int_{A(t)} \psi \vec{u}_A \vec{n} dA, \quad (2.3.13)$$

gde su:  $\vec{u}_A$  - brzina površi,  $A(t)$  koja obuhvata zapreminu  $V(t)$ , a  $\vec{n}$  je jedinični vektor normale na  $A(t)$ . Brzina  $\vec{u}_A$  se razlikuje od brzine fluida na površi  $A(t)$ . Kada su ove dve brzine iste onda su opšta i Reynolds-ova transportna teorema identične.

Druga relacija koja se koristi prilikom ovog izvođenja je teorema divergencije:

$$\int_{V(t)} \nabla \psi dV = \int_{A(t)} \psi n dA. \quad (2.3.14)$$

Sada se posmatra strujanje kroz poroznu sredinu i uoči tačka P na krivoj C (videti sliku 2.1) i oko P su onda lokalne vrednosti  $V(s), V_f(s), A(s), A_f(s), \varepsilon(s)$  itd. Onda relacija (2.3.13) za bilo koju veličinu  $\psi$  povezanu sa fluidom može da se zapiše u obliku:

$$\frac{d}{ds} \int_{V_f(s)} \psi dV = \int_{V_f(s)} \frac{\partial \psi}{\partial s} dV + \int_{A_f(s)} \psi \frac{d\vec{r}}{ds} \vec{n} dA, \quad (2.3.15)$$

gde je  $\vec{r}$  - vektor položaja. Kako je  $\psi = \psi[x_i(s), t]$  to su:

$$\frac{\partial \psi}{\partial s} = 0, \quad \frac{d\psi}{ds} = \frac{\partial \psi}{\partial x_i} \frac{\partial x_i}{\partial s}. \quad (2.3.16)$$

Onda relacija (2.3.15) postaje:

$$\frac{d}{ds} \int_{V_f(s)} \psi dV = \int_{A_e(s)} \psi \frac{d\vec{r}}{ds} \cdot \vec{n} dA, \quad (2.3.17)$$

jer je na razdelnoj površi (fluid-čvrsta faza) vektor  $\frac{d\vec{r}}{ds}$  upravan na vektor  $\vec{n}$ .

$A_e(s)$  predstavljaju površi na ulazu i izlazu fluida.

Sada treba da se eliminiše  $\frac{d\vec{r}}{ds}$  iz poslednjeg izraza. Zbog toga se uvodi vektor:

$$\vec{r}(s) = \vec{r}_0(s) + \vec{w}(s), \quad (2.3.18)$$

u kome je  $\vec{r}_0$  - vektor položaja tačke P, a  $\vec{w}$  - vektor položaja tačke na površi  $A_f(s)$

u odnosu na P i dobija se da je operator:

$$\frac{d}{ds} = \frac{d\vec{r}_0}{ds} \nabla. \quad (2.3.19)$$

Imajući u vidu da  $\frac{d\vec{r}_0}{ds}$  nije funkcija od  $A_f(s)$  i koristeći (2.3.17) - (2.3.19) dobija se

relacija:

$$\frac{d\vec{r}_0}{ds} \left( \nabla \int_{V_f(s)} \psi dV - \int_{A_e(s)} \psi \vec{n} dA \right) = \int_{A_e(s)} \psi \frac{d\vec{w}}{ds} \cdot \vec{n} dA. \quad (2.3.20)$$

Kako su vektori  $\frac{d\vec{w}}{ds}$  i  $\vec{n}$  međusobno upravni, poslednja jednačina se svodi na

relaciju:

$$\frac{d\vec{r}_0}{ds} \left( \nabla \int_{V_f(s)} \psi dV - \int_{A_e(s)} \psi \vec{n} dA \right) = 0, \quad (2.3.21)$$

koja je zadovoljena za svaku  $\vec{r}_0$  i onda se poslednja jednačina svodi na relaciju:

$$\nabla \int_{V_f(s)} \psi dV = \int_{A_e(s)} \psi \vec{n} dA. \quad (2.3.22)$$


---

Koristeći sada teoremu divergencije:

$$\int_{V_f} \nabla \psi dV = \int_{A_{sf}} \psi \vec{n} dA + \int_{A_e} \psi \vec{n} dA, \quad (2.3.23)$$

i zamenom (2.3.22) u njoj dobija se relacija:

$$\int_{V_f} \nabla \psi dV = \int_{A_{sf}} \psi \vec{n} dA + \int_{V_f} \psi dV. \quad (2.3.24)$$

Deleći poslednju relaciju sa  $V$  dobija se relacija (2.3.11) što je bio i zadatak dokazivanja.

Za formiranje matematičkog modela ovde razmatranog problema transporta mase i prenosa topline u magnetnom i električnom polju polazi se od jednačina konzervacije (mase, impulsa i toplotne energije), Maxwell-ovih jednačina i Ohm-ovog zakona definisanih u "matematičkoj tački" koja pripada nekoj od faza. Zapreminskim osrednjavanjem po REZ osrednjena vrednost veličine se dodaje svim tačkama REZ ili svim tačkama te faze unutar REZ. Na taj način se od kontrolne zapremine mogu zapaziti "skokovite kontinualnosti" posmatrane veličine. Ovakva "polja" opisana su makroskopskim jednačinama. Ovaj postupak će se primeniti na osrednjavanje gore pomenutih jednačina.

## 2.4 Makroskopska jednačina kontinuiteta

Jednačina kontinuiteta definisana u tački koja pripada fluidnoj fazi tj. mikroskopska jednačina kontinuiteta ima oblik:

$$\frac{\partial \rho_f}{\partial t} + \nabla \rho_f \vec{W} = 0. \quad (2.4.1)$$

Posle zapreminskog osrednjavanja ona postaje:

$$\frac{\partial \langle \rho_f \rangle}{\partial t} + \frac{1}{V} \int_V \nabla \rho_f \vec{W} dV = 0. \quad (2.4.2)$$

Koristeći teoremu zapreminskog osrednjavanja divergencije (2.3.11) (kada je  $\psi$  vektor) i imajući u vidu da je brzina  $\vec{W}$  na fluidno - čvrstoj površi  $A_{fs}$  jednaka nuli poslednja jednačina postaje:

$$\frac{\partial \langle \rho_f \rangle}{\partial t} + \nabla \cdot \langle \rho_f \vec{W} \rangle = 0. \quad (2.4.3)$$

Ako se osrednjavanje vrši po fluidnoj fazi onda će makroskopska jednačina kontinuiteta imati oblik:

$$\frac{\partial (\varepsilon \langle \rho_f \rangle^f)}{\partial t} + \nabla \cdot (\varepsilon \langle \rho_f \vec{W} \rangle^f) = 0. \quad (2.4.4)$$

## 2.5. Makroskopska jednačina impulsa

"Mikroskopska" jednačina impulsa za kretanje nestišljivog fluida kroz poroznu sredinu u prisustvu primjenjenog spoljašnjeg magnetnog i električnog polja je poznata proširena Navier-Stokes-ova jednačina :

$$\rho_f \left[ \frac{\partial \vec{W}_f}{\partial t} + \nabla \cdot (\vec{W}_f \vec{W}_f) \right] = -\nabla p_f + \rho_f \vec{g} + \mu_f \nabla^2 \vec{W}_f + \vec{j}^* \times \vec{B}, \quad (2.5.1)$$

gde indeks "f" označava da se veličine odnose na fluid. U daljem se ovaj indeks, radi jednostavnijeg zapisa, izostavlja ali se podrazumeva.

Primjenjujući zapreminske osrednjavanje na jednačinu (2.5.1) dobija se jednačina:

$$\rho \left[ \left\langle \frac{\partial \vec{W}}{\partial t} \right\rangle + \left\langle \nabla \cdot (\vec{W} \vec{W}) \right\rangle \right] = -\langle \nabla p \rangle + \langle \rho \vec{g} \rangle + \mu \langle \nabla^2 \vec{W} \rangle + \langle \vec{j}^* \times \vec{B} \rangle. \quad (2.5.2)$$

Koristeći dalje izraze (2.3.9), (2.3.11) i činjenicu da je brzina  $\vec{W}$  na razdelnoj površi  $A_{fs}$  jednaka nuli poslednja jednačina postaje:

$$\begin{aligned} \rho \left[ \frac{\partial}{\partial t} \varepsilon \langle \vec{W} \rangle^f + \nabla \left( \varepsilon \langle \vec{W} \vec{W} \rangle^f \right) \right] = \\ = -\nabla \left( \varepsilon \langle p \rangle^f \right) + \varepsilon \rho \vec{g} + \mu \nabla^2 \left( \varepsilon \langle \vec{W} \rangle^f \right) + \left( \varepsilon \langle \vec{j}^* \times \vec{B} \rangle^f \right) - \\ - \frac{1}{V} \int_{A_{fs}} p \vec{n}_{fs} dA + \frac{\mu}{V} \int_{A_{fs}} (\nabla \vec{W}) \vec{n}_{fs} dA. \end{aligned} \quad (2.5.3)$$

Dva poslednja sabirka mogu se zapisati u obliku:

$$\vec{R}^* = - \frac{1}{V} \int_{A_{fs}} p \vec{n}_{fs} dA + \frac{\mu}{V} \int_{A_{fs}} (\nabla \vec{W}) \vec{n}_{fs} dA. \quad (2.5.4)$$

Za veličinu  $\vec{R}^*$ , se na osnovu analize jednačine (2.5.3), može reći da predstavlja rezultantu sila otpora po jedinici zapremine poroznog materijala koja je posledica prisustva čvrste faze u jedinici zapremine.

Na osnovu Gray-eve relacije brzina u tački fluidnog prostora  $\vec{W}$  može se predstaviti u obliku:

$$\vec{W} = \langle \vec{W} \rangle^f + \tilde{\vec{W}}, \quad (2.5.5)$$

a onda je:

$$\langle \vec{W} \vec{W} \rangle^f = \langle \vec{W} \rangle^f \langle \vec{W} \rangle^f + \langle \tilde{\vec{W}} \tilde{\vec{W}} \rangle^f. \quad (2.5.6)$$

Koristeći dalje da je gustina struje  $\vec{j}^*$  data izrazom:

$$\vec{j}^* = \sigma (\vec{E} + \vec{W} \times \vec{B}), \quad (2.5.7)$$

u kome su:

$\sigma$  - elektroprovodnost fluida,  $\vec{E}$  - jačina spoljašnjeg primjenjenog električnog polja,  
 $\vec{B}$  - magnetna indukcija spoljašnjeg primjenjenog magnetnog polja, dobija se da je:

$$\langle \vec{j}^* \times \vec{B} \rangle^f = \langle \vec{j}^* \rangle^f \times \langle \vec{B} \rangle^f. \quad (2.5.8)$$

Uzimajući u obzir (2.5.4), (2.5.6) i (2.5.8) jednačina (2.5.3) postaje:

$$\begin{aligned} \rho \left[ \frac{\partial}{\partial t} \varepsilon \langle \vec{W} \rangle^f + \nabla \left( \varepsilon \langle \vec{W} \rangle^f \langle \vec{W} \rangle^f \right) + \nabla \left( \varepsilon \langle \tilde{\vec{W}} \tilde{\vec{W}} \rangle^f \right) \right] = \\ = -\nabla \left( \varepsilon \langle p \rangle^f \right) + \varepsilon \rho \vec{g} + \mu \nabla^2 \left( \varepsilon \langle \vec{W} \rangle^f \right) + \varepsilon \langle \vec{j}^* \rangle^f \times \langle \vec{B} \rangle^f + \vec{R}^*, \end{aligned} \quad (2.5.9)$$

a posle podele sa  $\varepsilon$  ima oblik:

$$\begin{aligned} \rho \left[ \frac{\partial}{\partial t} \langle \vec{W} \rangle^f + \nabla \left( \langle \vec{W} \rangle^f \langle \vec{W} \rangle^f \right) + \nabla \left( \langle \tilde{\vec{W}} \tilde{\vec{W}} \rangle^f \right) \right] = \\ = -\nabla \left( \langle p \rangle^f \right) + \rho \vec{g} + \mu \nabla^2 \left( \langle \vec{W} \rangle^f \right) + \langle \vec{j}^* \rangle^f \times \langle \vec{B} \rangle^f + \frac{\vec{R}^*}{\varepsilon}. \end{aligned} \quad (2.5.10)$$

Jednačina (2.5.10) predstavlja makroskopsku jednačinu impulsa.

"Zatvaranje" problema, modeliranje sile otpora, izvršili su Hsu i Cheng [193] i dobili da je sila  $\vec{R}^*$  data izrazom:

$$\vec{R}^* = -\frac{\mu}{K^*} \varepsilon \langle \vec{W} \rangle^f - \rho \frac{F}{\sqrt{K^*}} \varepsilon \left| \langle \vec{W} \rangle^f \right| \langle \vec{W} \rangle^f, \quad (2.5.11)$$

i onda jednačina (2.5.10) postaje:

$$\begin{aligned} \rho \left[ \frac{\partial}{\partial t} \langle \vec{W} \rangle^f + \nabla \left( \langle \vec{W} \rangle^f \langle \vec{W} \rangle^f \right) + \nabla \left( \langle \tilde{\vec{W}} \tilde{\vec{W}} \rangle^f \right) \right] = \\ = -\nabla \left( \langle p \rangle^f \right) + \rho \vec{g} + \mu \nabla^2 \langle \vec{W} \rangle^f + \langle \vec{j}^* \rangle^f \times \langle \vec{B} \rangle^f - \\ - \frac{\mu}{K^*} \langle \vec{W} \rangle^f - \rho \frac{F}{\sqrt{K^*}} \left| \langle \vec{W} \rangle^f \right| \langle \vec{W} \rangle^f. \end{aligned} \quad (2.5.12)$$

Treći sabirak na levoj strani jednačine (2.5.12) predstavlja hidrodinamičku disperziju koja je zanemarljivog reda veličine [43]. U literaturi se i poslednji sabirak na desnoj strani poslednje jednačine uglavnom zanemaruje što će se i u ovoj disertaciji učiniti. Jednačina (2.5.12) se u literaturi uglavnom koristi u sledećem obliku:

$$\begin{aligned} \rho \left[ \frac{\partial}{\partial t} \langle \vec{W} \rangle^f + \left( \langle \vec{W} \rangle^f \nabla \right) \langle \vec{W} \rangle^f \right] = \\ = -\nabla \left( \langle p \rangle^f \right) + \rho \vec{g} + \mu \nabla^2 \langle \vec{W} \rangle^f + \\ + \left\langle \vec{j}^* \right\rangle^f \times \left\langle \vec{B} \right\rangle^f - \frac{\mu}{K^*} \langle \vec{W} \rangle^f. \end{aligned} \quad (2.5.13)$$

Zanemaruje se gravitaciona sila, izostavljaju se uglaste zagrade i oznaka f, ali se podrazumeva da su sve veličine osrednjene u fluidnoj fazi, tako da će se koristiti jednačina impulsa u obliku:

$$\rho \left[ \frac{\partial \vec{W}}{\partial t} + (\vec{W} \nabla) \vec{W} \right] = -\nabla p + \mu \nabla^2 \vec{W} + \vec{j}^* \times \vec{B} - \frac{\mu}{K^*} \vec{W}. \quad (2.5.14)$$

## 2.6 Makroskopska energijska jednačina

U cilju određivanja "makroskopskih" jednačina za fluid i čvrstu fazu polazi se od "mikroskopske" jednačine za fluid:

$$\rho_f c_{pf} \left[ \frac{\partial T_f}{\partial t} + \nabla \left( \vec{W}_f T_f \right) \right] = \nabla \left( k_f \nabla T_f \right) + \mu_f \Phi + \frac{\vec{j}^*}{\sigma}, \quad (2.6.1)$$

i "mikroskopske" jednačine za čvrstu fazu:

$$\rho_s c_s \frac{\partial T_s}{\partial t} = \nabla \left( k_s \nabla T_s \right). \quad (2.6.2)$$

Ove dve jednačine povezane su graničnim uslovima na razdelnoj (kontaktnoj) površi faza ( $A_{fs}$ ) koji su dati izrazima:

$$T_f = T_s, \quad k_f \nabla T_f \vec{n}_{fs} = k_s \nabla T_s \vec{n}_{fs}. \quad (2.6.3)$$

Sada se vrši zapreminska osrednjavanje jednačine (2.6.1) po zapremini V. Prvo se osrednjavaju pojedini članovi koji se nalaze u toj jednačini. Tako su [3]:

$$\left\langle \frac{\partial T_f}{\partial t} \right\rangle = \frac{\partial \langle T_f \rangle}{\partial t} - \frac{1}{V} \int_{A_{fs}} T_f \vec{V}_{fs} \vec{n}_{fs} dA = \frac{\partial \langle T_f \rangle}{\partial t} = \frac{\partial}{\partial t} \left( \varepsilon \langle T_f \rangle^f \right), \quad (2.6.4)$$

$$\begin{aligned} \langle \nabla (\vec{W}_f T_f) \rangle &= \bar{\nabla} \langle \vec{W}_f T_f \rangle + \frac{1}{V} \int_{A_{fs}} \vec{W}_f T_f \vec{n}_{fs} dA = \\ &= \bar{\nabla} \langle \vec{W}_f T_f \rangle = \bar{\nabla} \left( \varepsilon \langle \vec{W}_f T_f \rangle^f \right), \end{aligned} \quad (2.6.5)$$

pri čemu je kod poslednjeg izraza iskorišćena teorema zapreminskog osrednjavanja divergencije (2.3.1):

$$\langle \nabla (k_f T_f) \rangle = \bar{\nabla} \langle k_f T_f \rangle + \frac{1}{V} \int_{A_{fs}} k_f \nabla T_f \vec{n}_{fs} dA,$$

koristeći i ovde za prvi sabirak na desnoj strani poslednjeg izraza teoremu divergencije izraz postaje:

$$\begin{aligned} \langle \nabla (k_f \nabla T_f) \rangle &= \bar{\nabla} \left[ \varepsilon k_f \bar{\nabla} \langle T_f \rangle^f + k_f \langle T_f \rangle^f (\bar{\nabla} \varepsilon) \right] + \\ &+ \bar{\nabla} \left( \frac{1}{V} \int_{A_{fs}} k_f T_f \vec{n}_{fs} dA \right) + \frac{1}{V} \int_{A_{fs}} k_f \nabla T_f \vec{n}_{fs} dA. \end{aligned} \quad (2.6.6)$$

Carbonell i Whitaker [39] pokazali su da je:

$$\frac{1}{V} \int_{A_{fs}} T_f \vec{n}_{fs} dA \approx \frac{1}{V} \int_{A_{fs}} \tilde{T}_f \vec{n}_{fs} dA - (\bar{\nabla} \varepsilon) \langle T_f \rangle^f. \quad (2.6.7)$$

Koristeći izraze (2.6.4), (2.6.5), (2.6.6) i (2.6.7) dobija se da osrednjena jednačina (2.6.1) ima sledeći zapis:

$$\begin{aligned} \rho_f c_{pf} \frac{\partial}{\partial t} \left( \varepsilon \langle T_f \rangle^f \right) + \rho_f c_{pf} \bar{\nabla} \left( \varepsilon \langle T_f \vec{W}_f \rangle^f \right) &= \\ &= \bar{\nabla} \left[ \varepsilon k_f \bar{\nabla} \langle T_f \rangle^f \right] + \bar{\nabla} \left( \frac{1}{V} \int_{A_{fs}} k_f \tilde{T}_f \vec{n}_{fs} dA \right) + \\ &+ \frac{1}{V} \int_{A_{fs}} k_f T_f \vec{n}_{fs} dA + \mu_f \varepsilon \langle \Phi \rangle^f + \varepsilon \left\langle \frac{\vec{j}^{*2}}{\sigma} \right\rangle^f. \end{aligned} \quad (2.6.8)$$

Analogno se za (2.6.2) dobija jednačina:

$$\rho_s c_s \frac{\partial}{\partial t} \left[ (1-\varepsilon) \langle T_s \rangle^s \right] = \bar{\nabla} \left[ (1-\varepsilon) k_s \bar{\nabla} \langle T_s \rangle^s \right] - \bar{\nabla} \left( \frac{1}{V} \int_{A_{fs}} k_s \tilde{T}_s \vec{n}_{fs} dA \right) - \frac{1}{V} \int_{A_{fs}} k_s \nabla T_s \vec{n}_{fs} dA, \quad (2.6.9)$$

gde je iskorišćena jednakost  $\vec{n}_{fs} = -\vec{n}_{fs}$ .

Uvodeći pretpostavku lokalne termičke ravnoteže u obliku:

$$\langle T_f \rangle^f = \langle T_s \rangle^s = \langle T \rangle, \quad (2.6.10)$$

gde je  $\langle T \rangle$  prostorno osrednjena temperatura, a na  $A_{fs}$  zbog graničnih uslova (2.6.3) je:

$$\tilde{T}_f = \tilde{T}_s = \tilde{T}. \quad (2.6.11)$$

Unutar  $V_f$  i  $V_s$  rasporedi odstupanja  $\tilde{T}_s$  i  $\tilde{T}_f$  se razlikuju i zavise od strukture matrice.

Ovim je otvoren put za formiranje makroskopske energijske jednačine.

Da bi se to i realizovalo vrši se sabiranje jednačina (2.6.8) i (2.6.9) i pri tome koriste izrazi (2.6.10) i (2.6.11) i granični uslovi (2.6.3) i tako dolazi do sledeće jednačine:

$$\begin{aligned} \frac{\partial}{\partial t} \left\{ \left[ \rho_f c_{pf} \varepsilon + \rho_s c_s (1-\varepsilon) \right] \langle T \rangle \right\} + \rho_f c_{pf} \bar{\nabla} \left( \varepsilon \langle \vec{W}_f T_f \rangle^f \right) = \\ = \bar{\nabla} \left\{ \left[ \varepsilon k_f + (1-\varepsilon) k_s \right] \bar{\nabla} \langle T \rangle \right\} + \\ + \bar{\nabla} \left( \frac{k_f - k_s}{V} \int_{A_{fs}} \tilde{T} \vec{n}_{fs} dA \right) + \mu_f \varepsilon \langle \Phi \rangle^f + \varepsilon \left\langle \frac{\vec{j}^{*2}}{\sigma} \right\rangle. \end{aligned} \quad (2.6.12)$$

Koristeći Gray-evu dekompoziciju biće:

$$T_f = \langle T \rangle + \tilde{T}_f, \quad \vec{W}_f = \langle \vec{W}_f \rangle + \tilde{\vec{W}}_f, \quad (2.6.13)$$

i jednačina (2.6.12) postaje:

$$\begin{aligned}
 & \frac{\partial}{\partial t} \left\{ [\rho_f c_{pf} \varepsilon + \rho_s c_s (1-\varepsilon)] \langle T \rangle \right\} + \rho_f c_{pf} \bar{\nabla} \left( \varepsilon \langle T \rangle \langle \vec{W}_f \rangle^f \right) + \\
 & + \rho_f c_{pf} \bar{\nabla} \left( \varepsilon \left\langle \tilde{T}_f \tilde{\vec{W}}_f \right\rangle^f \right) = \\
 & = \bar{\nabla} \left\{ [\varepsilon k_f + (1-\varepsilon) k_s] \bar{\nabla} \langle T \rangle \right\} + \\
 & + \bar{\nabla} \left( \frac{k_f - k_s}{V} \int_{A_{fs}} \tilde{T} \tilde{n}_{fs} dA \right) + \mu_f \varepsilon \langle \Phi \rangle^f + \varepsilon \left\langle \frac{\vec{j}^{*2}}{\sigma} \right\rangle^f.
 \end{aligned} \tag{2.6.14}$$

Predmet velikog broja radova bilo je modeliranje prva dva sabirka na desnoj strani poslednje jednačine. Tako su Nazad, Carbonell i Whitaker [194] predložili sledeće modeliranje:

$$\begin{aligned}
 & \bar{\nabla} \left\{ [\varepsilon k_f + (1-\varepsilon) k_s] \bar{\nabla} \langle T \rangle \right\} + \\
 & + \bar{\nabla} \left( \frac{k_f - k_s}{V} \int_{A_{fs}} \tilde{T} \tilde{n}_{fs} dA \right) = \bar{\nabla} k_0 \bar{\nabla} \langle T \rangle,
 \end{aligned} \tag{2.6.15}$$

gde je  $k_0$  - "stagnantna" toplotna provodnost koja u suštini predstavlja provodnost porozne sredine zasićene fluidom koji miruje.

Poslednji sabirak na levoj strani jednačine (2.6.14) predstavlja termički disperzionalni efekat koji modeliran ima oblik:

$$\rho_f c_{pf} \bar{\nabla} \left( \varepsilon \left\langle \tilde{T}_f \tilde{\vec{W}}_f \right\rangle^f \right) = -\bar{\nabla} k_d \bar{\nabla} \langle T \rangle, \tag{2.6.16}$$

gde je  $k_d$  - disperzionalna toplotna provodnost.

Imajući u vidu izraze (2.6.15) i (2.6.16) jednačina (2.6.14) može se zapisati u sledećem obliku:

$$\begin{aligned}
 & \frac{\partial}{\partial t} \left\{ [\rho_f c_{pf} \varepsilon + \rho_s c_s (1-\varepsilon)] \langle T \rangle \right\} + \rho_f c_{pf} \bar{\nabla} \left( \varepsilon \langle T \rangle \langle \vec{W}_f \rangle^f \right) = \\
 & = \bar{\nabla} k_{eff} \bar{\nabla} \langle T \rangle + \mu \varepsilon \langle \Phi \rangle^f + \varepsilon \left\langle \frac{\vec{j}^{*2}}{\sigma} \right\rangle^f,
 \end{aligned} \tag{2.6.17}$$

gde je  $k_{eff} = k_0 + k_d$  - efektivna toplotna provodnost.

---

Uvođenjem efektivnog toplotnog kapaciteta:

$$(\rho c_p)_{\text{eff}} = \varepsilon \rho_f c_{pf} + (1 - \varepsilon) \rho_s c_s, \quad (2.6.18)$$

izostavljanjem uglastih zagrada kao oznake za zapreminske osrednjavanje i nadvučenog operatora kao oznake operatora na nivou "makroskopskih" koordinata  $(\langle \tilde{W}_f \rangle \sim \vec{W}, \langle T \rangle \sim T, \tilde{\nabla} \sim \nabla, \dots)$  jednačina (2.6.17) postaje:

$$(\rho c_p)_{\text{eff}} \frac{\partial T}{\partial t} + \rho_f c_{pf} \nabla (\vec{W} T) = k_{\text{eff}} \nabla T + \mu \Phi + \frac{\vec{j}^{*2}}{\sigma}. \quad (2.6.19)$$

U literaturi se vrlo često razmatra samo fluidna faza dok se uticaj čvrste faze unosi posredstvom graničnih uslova. U tom cilju, koristeći da je:

$$\langle T_f \vec{W}_f \rangle^f = \langle T_f \rangle^f \langle \vec{W}_f \rangle^f + \langle \tilde{T}_f \tilde{\vec{W}}_f \rangle^f, \quad (2.6.20)$$

jednačina (2.6.8) transformiše se na jednačinu:

$$\begin{aligned} & \rho_f c_{pf} \frac{\partial}{\partial t} \left( \varepsilon \langle T_f \rangle^f \right) + \rho_f c_{pf} \bar{\nabla} \left( \varepsilon \langle T_f \rangle^f \langle \vec{W}_f \rangle^f \right) = \\ & = \bar{\nabla} \left[ \varepsilon k_f \bar{\nabla} \langle T_f \rangle^f \right] + \bar{\nabla} \left( \frac{1}{V} \int_{A_{fs}} k_f \tilde{T}_f \vec{n}_{fs} dA \right) + \\ & + \frac{1}{V} \int_{A_{fs}} k_f \nabla T_f \vec{n}_{fs} dA - \rho_f c_{pf} \bar{\nabla} \left( \varepsilon \langle \tilde{T}_f \tilde{\vec{W}}_f \rangle^f \right) + \\ & + \mu_f \varepsilon \langle \Phi \rangle^f + \varepsilon \left\langle \frac{\vec{j}^{*2}}{\sigma} \right\rangle. \end{aligned} \quad (2.6.21)$$

Ako se izvrši sledeće modeliranje:

$$\begin{aligned} & \bar{\nabla} \left( \frac{1}{V} \int_{A_{fs}} k_f \tilde{T}_f \vec{n}_{fs} dA \right) + \frac{1}{V} \int_{A_{fs}} k_f \nabla T_f \vec{n}_{fs} dA - \\ & - \rho_f c_{pf} \bar{\nabla} \left( \varepsilon \langle \tilde{T}_f \tilde{\vec{W}}_f \rangle^f \right) = \varepsilon \frac{\mu}{K^*} \left( \langle \vec{W} \rangle^f \langle \vec{W} \rangle^f \right), \end{aligned} \quad (2.6.22)$$

onda se jednačina (2.6.21), posle uprošćenja zapisa:

$$\left( \tilde{W}_f \sim \vec{W}, \rho_f \sim \rho, c_{pf} \sim c_p, \langle T_f \rangle^f \sim T, k_f \sim k, \mu_f \sim \mu, \bar{\nabla} \sim \nabla, \dots \right),$$


---

transformiše na jednačinu:

$$\rho c_p \left[ \frac{\partial T}{\partial t} + \nabla \cdot (\vec{T} \vec{W}) \right] = k \nabla^2 T + \frac{\mu}{K^*} (\vec{W} \vec{W}) + \mu \Phi + \frac{\vec{j}^{*2}}{\sigma}. \quad (2.6.23)$$

Treba imati u vidu, da su u poslednjoj jednačini, veličine osrednjene po fluidnoj zapremini.

U literaturi se, umesto jednačine energije napisane u obliku (2.6.23), mnogo češće koristi jednačina energije napisana u sledećem obliku:

$$\rho c_p \left[ \frac{\partial T}{\partial t} + (\vec{W} \nabla) T \right] = k \nabla^2 T + \frac{\mu}{K^*} (\vec{W} \vec{W}) + \mu \Phi + \frac{\vec{j}^{*2}}{\sigma}, \quad (2.6.24)$$

što će, i u ovom radu, biti slučaj.

## 2.7 Osnovne jednačine elektromagnetike

Kako se u ovom radu izučava strujanje fluida i transport toplote u poroznoj sredini na koju deluju spoljašnja primenjena električna i magnetna polja to je pored do sada datih jednačina neophodno dati i osnovne jednačine elektromagnetike, koje će se u radu koristiti.

Ovde se daju Maxwell-ove jednačine u sledećim oblicima [195]:

$$\begin{aligned} \vec{D} &= \epsilon_0 \vec{E} \text{ - indukcija električnog polja,} \\ \vec{B} &= \mu_0 \vec{H} \text{ - indukcija magnetnog polja,} \\ \vec{j}^* &= \nabla \times \vec{H} - \frac{\partial \vec{D}}{\partial t} \text{ - gustina električne struje,} \\ \nabla \cdot \vec{B} &= 0, \\ \nabla \times \vec{E} + \frac{\partial \vec{B}}{\partial t} &= 0, \end{aligned} \quad (2.7.1)$$

i Ohm-ov zakon u obliku:

$$\vec{j}^* = \sigma (\vec{E} + \vec{W} \times \vec{B}). \quad (2.7.2)$$

## Poglavlje 2

---

Iz jednačina (2.7.1) i Ohm-ovog zakona dolazi se do jednačine magnetne indukcije [195]:

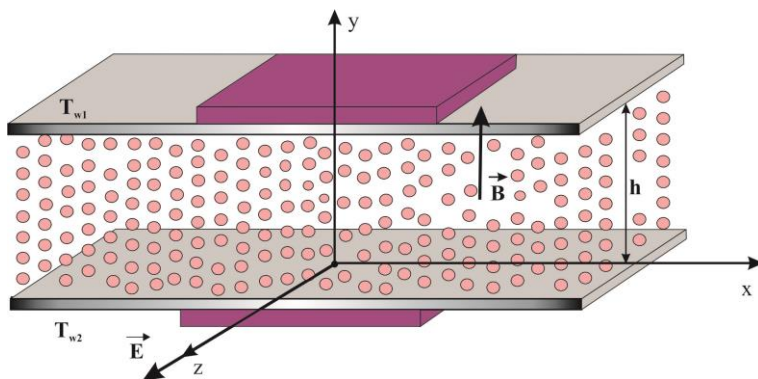
$$\frac{\partial \vec{B}}{\partial t} + (\vec{W} \nabla) \vec{B} = \frac{1}{\sigma \mu_0} \nabla^2 \vec{B} + (\vec{B} \nabla) \vec{W}. \quad (2.7.3)$$

I u ovim jednačinama veličine su osrednjene u fluidnom prostoru, a onda i same jednačine.

### 3. MHD strujanje fluida i prenos topline u poroznoj sredini između horizontalnih ploča

#### 3.1 MHD strujanje i prenos topline u poroznoj sredini između dve horizontalne nepokretne ploče

Razmatra se problem MHD laminarnog strujanja i prenosa topline nestišljivog elektroprovodnog fluida u poroznoj sredini između horizontalnih nepokretnih ploča. Ploče se nalaze na međusobnom rastojanju  $h$  i na konstantnim temperaturama  $T_{w1}$  i  $T_{w2}$ .



Slika 3a Fizički model strujanja

Potpuno razvijeno strujanje elektroprovodnog fluida se odvija između ploča usled konstantne razlike pritisaka po jedinici dužine. Fluid i ploče su izloženi dejstvu spoljašnjeg primjenjenog homogenog magnetnog polja koje je pravca i

smera y ose i čija je magnetna indukcija  $\vec{B}$  i homogenog spoljašnjeg primjenjenog električnog polja  $\vec{E}$  koje deluje u pravcu z ose.

Razmatra se stacionarni problem tj. problem kod koga fizičke veličine strujanja i fluida ne zavise od vremena. Problem se izučava za slučajeve kada je magnetni Reynolds-ov broj manji od jedinice, u takozvanoj bezindukcionoj aproksimaciji. Ovaj naziv potiče od činjenice da se zanemaruje indukovano magnetno polje.

### 3.1.1 Matematički model

U cilju formiranja matematičkog modela ovog problema strujanja fluida i prenosa toplice polazi se od:

jednačine kontinuiteta

$$\frac{\partial \rho}{\partial t} + \nabla(\rho \vec{W}) = 0, \quad (3.1.1)$$

proširene Navier-Stokes-ove jednačine

$$\rho \frac{\partial \vec{W}}{\partial t} + \rho (\vec{W} \nabla) \vec{W} = -\nabla p + \mu \nabla^2 \vec{W} - \frac{\mu}{K^*} \vec{W} + \vec{j}^* \times \vec{B}, \quad (3.1.2)$$

energijske jednačine

$$\rho c_p \left( \frac{\partial T}{\partial t} + \vec{W} \nabla T \right) = k \nabla^2 T + \mu \Phi + \frac{\mu}{K^*} (\vec{W} \cdot \vec{W}) + \frac{\vec{j}^{*2}}{\sigma}, \quad (3.1.3)$$

gde je  $\Phi$  Reyleigh-eva funkcija disipacije definisana izrazom:

$$\begin{aligned} \Phi = & 2 \left[ \left( \frac{\partial u}{\partial x} \right)^2 + \left( \frac{\partial v}{\partial y} \right)^2 + \left( \frac{\partial w}{\partial z} \right)^2 \right] + \\ & + \left( \frac{\partial v}{\partial x} + \frac{\partial u}{\partial y} \right)^2 + \left( \frac{\partial w}{\partial y} + \frac{\partial v}{\partial z} \right)^2 + \left( \frac{\partial u}{\partial z} + \frac{\partial w}{\partial x} \right)^2 + \frac{2}{3} (\nabla \vec{W})^2, \end{aligned} \quad (3.1.4)$$

gde su sa  $u$ ,  $v$  i  $w$  označene projekcije brzine strujanja fluida na ose  $x$ ,  $y$ ,  $z$  respektivno, i Ohm-ovog zakona, koji u ovom slučaju, ima zapis:

### Poglavlje 3

---

$$\vec{j}^* = \sigma(\vec{E} + \vec{W} \times \vec{B}). \quad (3.1.5)$$

Uzimajući u obzir da je problem ravanski (strujanje se odvija u ravni xy) zaključuje se da fizičke veličine strujanja i prenosa toplote ne zavise od koordinate z. Iz činjenice da je strujanje potpuno razvijeno zaključuje se da ove veličine ne zavise ni od koordinate x. Već je ranije rečeno da se izučava stacionarni problem tako da ove veličine ne zavise ni od vremena t.

Imajući u vidu rečeno, iz jednačine (3.1.1) se dobija da je  $\partial v / \partial y = 0$  odakle sleduje da je komponenta brzine u pravcu y ose (upravna na ploče) konstantna

$$\vec{v} = \text{const.} \quad (3.1.6)$$

Ova komponenta brzine strujanja postoji samo u slučajevima kada na pločama postoje izvori/ponori, ako toga nema ona je jednaka nuli. U ovom radu, u slučajevima kada je magnetni Reynolds-ov broj manji od jedinice, izučavaće se problemi kada na pločama postoje izvori/ponori.

Onda je brzina strujanja fluida data sledećim vektorom:

$$\vec{W} = u(y) \vec{i} + v \vec{j}. \quad (3.1.7)$$

Kako su indukcija  $\vec{B}$  spoljašnjeg primjenjenog magnetnog polja i jačina  $\vec{E}$  spoljašnjeg primjenjenog električnog polja dati izrazima:

$$\vec{B} = B \vec{j}, \quad \vec{E} = E_z \vec{k}, \quad (3.1.8)$$

dobija se, iz Ohm-ovog zakona (3.1.5), da je gustina struje:

$$\vec{j}^* = \sigma(E_z + Bu) \vec{i}. \quad (3.1.9)$$

Poslednji sabirak u proširenoj Navier- Stokes-ovoj jednačini (3.1.2) sada može da se zapiše u obliku:

$$\vec{j} \times \vec{B} = -B\sigma(E_z + Bu) \vec{i}. \quad (3.1.10)$$

Unoseći vektore (3.1.7) i (3.1.10) u jednačinu (3.1.2), sprovodeći naznačene matematičke operacije uz već navedene uslove i projektujući je na ose x i y dolazi se respektivno do jednačina:

$$\rho v \frac{du}{dy} = -\frac{\partial p}{\partial x} + \mu \frac{d^2 u}{dy^2} - \frac{\mu}{K^*} u - B\sigma(E_z + Bu), \quad (3.1.11)$$

$$\frac{\partial p}{\partial y} + \frac{\mu}{K^*} v = 0. \quad (3.1.12)$$

Unoseći iste vektore u jednačinu konzervacije energije (energijsku jednačinu) ista se transformiše na jednačinu:

$$\rho c_p v \frac{dT}{dy} = k \frac{d^2 T}{dy^2} + \mu \left( \frac{du}{dy} \right)^2 + \frac{\mu}{K^*} (u^2 + v^2) + \sigma (E_z + Bu)^2. \quad (3.1.13)$$

U ovom radu, u daljem, će se umesto jednačine (3.1.13) koristiti jednačina:

$$k \frac{d^2 T}{dy^2} + \mu \left( \frac{du}{dy} \right)^2 + \frac{\mu}{K^*} u^2 + \sigma (E_z + Bu)^2 = 0. \quad (3.1.14)$$

Zapaža se da je jednačina (3.1.14) nastala tako što je u jednačini (3.1.13) na desnoj strani zanemaren kvadrat poprečne brzine  $v^2$  što se može opravdati činjenicom da je  $v^2 \ll u^2$  što je i uobičajeno u literaturi. Inače, zadržavanje ove veličine ne bi predstavljalo nikakve suštinske probleme pri rešavanju jednačine (3.1.13). U istoj jednačini zanemaren je i član na njenoj levoj strani jer ne utiče značajno na prenošenje toplote. On bi zakomplikovao rešavanje jednačine (3.1.13), opet ne suštinski, ali u smislu obimnosti. Leva strana jednačine predstavlja supstancialni izvod temperaturu pomnožen sa  $\rho c_p$ , a implicitno supstancialni izvod entalpije fluida.

Dakle, matematički model ovog razmatranog problema predstavljaju jednačine (3.1.11), (3.1.12) i (3.1.14) i odgovarajući granični uslovi za brzinu i za temperaturu. Ovde će se razmatrati slučaj kada su obe ploče nepokretne tako da će ovim graničnim uslovima odgovarati sledeći zapisi:

$$\begin{aligned} u(0) &= 0, \quad u(h) = 0, \\ T(0) &= T_{w2}, \quad T(h) = T_{w1}. \end{aligned} \quad (3.1.15)$$

Za dalje izučavanje opisanog problema transformišu se jednačine (3.1.11), (3.1.12) na bezdimenzione oblike. U tom cilju uvode se bezdimenzione veličine:

$$y^* = \frac{y}{h}, u^* = \frac{u}{U}, \Theta = \frac{T - T_{w2}}{T_{w1} - T_{w2}}, \quad (3.1.16)$$

gde su:

$$P = -\frac{\partial p}{\partial x} = \text{const}, \quad U = \frac{h^2 P}{\mu}. \quad (3.1.17)$$

Unošenjem bezdimenzionalih veličina (3.1.16) u jednačine (3.1.11), (3.1.12) i (3.1.14) respektivno se iste mogu napisati u oblicima:

$$\frac{d^2 u^*}{dy^{*2}} - R_1 \frac{du^*}{dy^*} - R_2 u^* = Q_1, \quad (3.1.18)$$

$$\frac{\partial}{\partial y^*} \left( \frac{h}{\mu U} p \right) = -\Lambda \beta, \quad (3.1.19)$$

$$\frac{d^2 \Theta}{dy^{*2}} + Pr Ec \left[ \left( \frac{du^*}{dy^*} \right)^2 + \Lambda u^{*2} + Ha^2 (K + u^*)^2 \right] = 0, \quad (3.1.20)$$

gde su uvedene oznake date izrazima:

$$R_1 = \beta Re,$$

$$R_2 = \Lambda + Ha^2,$$

$$\beta = \frac{v}{U},$$

$$Re = \frac{hU}{v} \text{ - Reynolds-ov broj,}$$

$$\Lambda = \frac{h^2}{K^*} \text{ - parametar (faktor) poroznosti,}$$

$$Ha = Bh \sqrt{\frac{\sigma}{\mu}} \text{ - Hartmann-ov broj,}$$

$$Q_1 = K Ha^2 - 1,$$

$$K = \frac{E_z}{BU} \text{ - faktor električnog opterećenja,}$$

$$Pr = \frac{\mu c_p}{k} \text{ - Prandtl-ov broj,}$$

$$Ec = \frac{U^2}{c_p(T_{w1} - T_{w2})} - \text{Eckert-ov broj.} \quad (3.1.21)$$

Odgovarajući granični uslovi u bezdimenzionom obliku dobijaju se iz graničnih uslova (3.1.15) i imaju reprezentacije:

$$\begin{aligned} u^*(0) &= 0, & u^*(1) &= 0, \\ \Theta(0) &= 0, & \Theta(1) &= 1. \end{aligned} \quad (3.1.22)$$

Dakle, matematički model opisanog problema u bezdimenzionom obliku predstavljaju jednačine (3.1.18), (3.1.19), (3.1.20) i granični uslovi (3.1.22).

Za dalje teorijsko izučavanje opisanog problema neophodno je rešiti ove jednačine sa njima odgovarajućim graničnim uslovima.

### 3.1.2 Raspored brzine strujanja fluida

Za određivanje rasporeda brzine strujanja fluida neophodno je rešiti jednačinu (3.1.18) sa graničnim uslovima (3.1.22). Zapaža se da je ovu jednačinu moguće rešiti nezavisno od rešenja jednačina (3.1.19) i (3.1.20). Diferencijalna jednačina je linearna nehomogena drugog reda sa konstantnim koeficijentima. Rešenje odgovarajuće homogene jednačine predstavlja se u obliku:

$$u_h^*(y) = C_1 \exp(r_1 y^*) + C_2 \exp(r_2 y^*), \quad (3.1.23)$$

gde su  $C_1$  i  $C_2$  integracione konstante, a  $r_1$  i  $r_2$  rešenja odgovarajuće karakteristične jednačine koja ima sledeći zapis:

$$r^2 - R_1 r - R_2 = 0. \quad (3.1.24)$$

Iz poslednje jednačine se dobija da su  $r_1$  i  $r_2$ :

$$r_{1,2} = \frac{1}{2} \left( R_1 \pm \sqrt{R_1^2 + 4R_2} \right). \quad (3.1.25)$$

Partikularno rešenje jednačine (3.1.18) je konstanta data izrazom:

$$u_p^* = -\frac{Q_1}{R_2}, \quad (3.1.26)$$

tako da je opšte rešenje pomenute jednačine:

$$u^*(y^*) = C_1 \exp(r_1 y^*) + C_2 \exp(r_2 y^*) - \frac{Q_1}{R_2}. \quad (3.1.27)$$

Integracione konstante  $C_1$  i  $C_2$  određuju se korišćenjem graničnih uslova (3.1.22) i imaju sledeće reprezentacije:

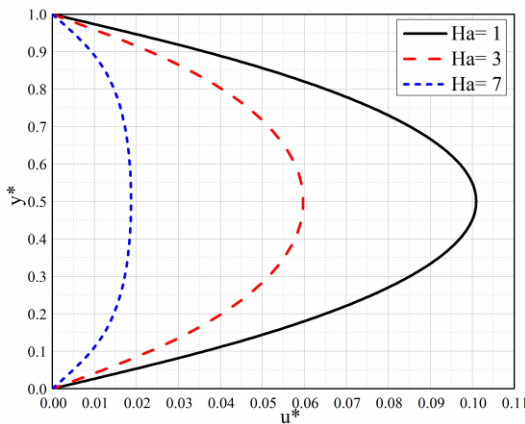
$$\begin{aligned} C_1 &= \frac{Q_1}{R_2} \frac{\exp(r_2) - 1}{\exp(r_2) - \exp(r_1)}, \\ C_2 &= \frac{Q_1}{R_2} \frac{1 - \exp(r_1)}{\exp(r_2) - \exp(r_1)}. \end{aligned} \quad (3.1.28)$$

Radi bolje preglednosti, raspored brzine dobijen iz jednačine (3.1.27) sa vrednostima konstanti  $C_1$  i  $C_2$  (3.1.28) dat je grafički na slikama 3.1 i 3.2.

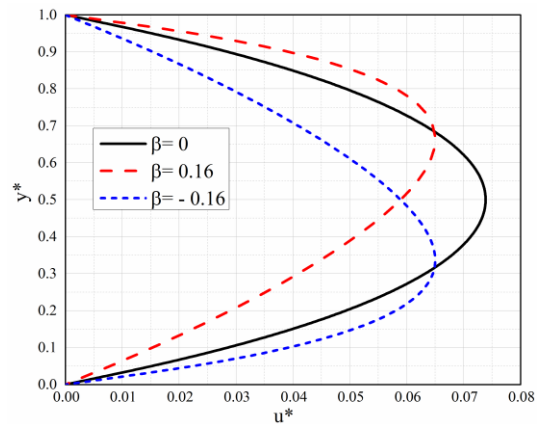
Na slici 3.1 dat je raspored uzdužne brzine u kanalu za različite vrednosti Hartmann-ovog broja. Sa ove slike se zapaža da povećanje Hartmann-ovog broja tj. intenziteta primjenjenog spoljašnjeg magnetnog polja dovodi do poravnjanja profila brzine strujanja fluida. Za sve vrednosti Hartmann-ovog broja ova brzina postiže svoj maksimalni intenzitet u sredini kanala. Kriva brzine uz zidove, sa porastom Hartmann-ovog broja, je manje nagnuta u odnosu na  $y^*$  osu što znači da povećanje intenziteta spoljašnjeg primjenjenog magnetnog polja dovodi do smanjenja napona trenja na zidovima. Za slučaj kada je "gradijent" pritska konstantan, za koji su i dati rezultati, povećanje intenziteta spoljašnjeg magnetnog polja povećava i intenzitet Lorentz-ove sile, a protok u kanalu smanjuje.

Na slici 3.2 prikazan je raspored bezdimenziione uzdužne brzine za različite vrednosti faktora  $\beta$ . Za slučaj  $\beta = 0$  (kada na pločama nema ni izvora ni ponora) uzdužna brzina u je maksimalna na sredini kanala. U slučaju postojanja izvora i ponora na pločama intenzitet uzdužne brzine u opada. Kada je  $\beta > 0$  (na donjoj ploči izvor a na gornjoj ponor) maksimalni intenzitet brzine je pomeren ka gornjoj

ploči i na njoj se povećava napon trenja dok je za slučaj  $\beta < 0$  maksimalni intenzitet uzdužne brzine pomeren ka donjoj ploči, a napon trenja na gornjoj ploči se smanjuje.

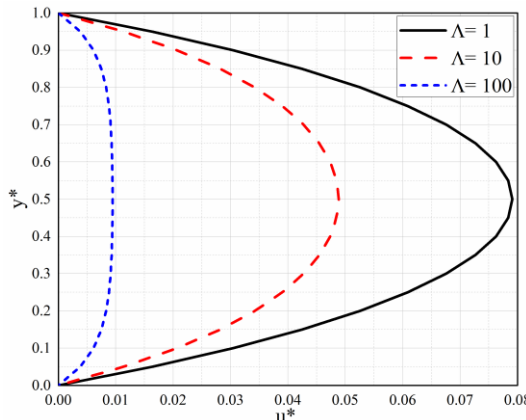


Slika 3.1 Raspored uzdužne brzine za različite vrednosti Hartmann-ovog broja

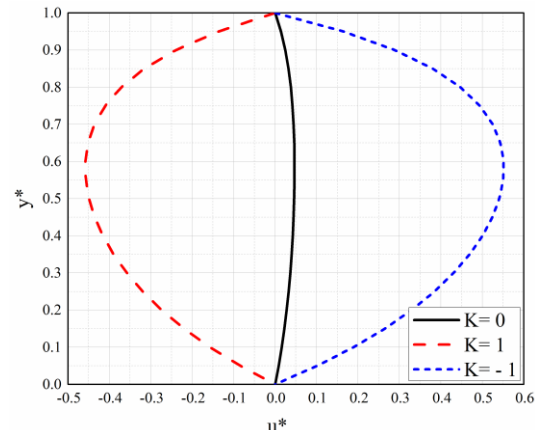


Slika 3.2 Raspored bezdimenzione uzdužne brzine za različite vrednosti faktora  $\beta$

Na slici 3.3 prikazan je raspored brzine za različite vrednosti faktora poroznosti. Zapaža se da je za veće vrednosti ovog faktora intenzitet brzine manji i da praktično dolazi do "poravnjanja" profila brzine. Najintenzivniji je rast brzine u okolini ploča za najmanju vrednost faktora poroznosti. Dakle, na pločama je najveći napon trenja kada faktor poroznosti ima najmanju vrednost. Brzina postiže maksimalni intenzitet u sredini kanala ukoliko je  $\beta = 0$ .



Slika 3.3 Raspored bezdimenzijsone brzine za različite vrednosti faktora poroznosti



Slika 3.4 Raspored bezdimenzijsone brzine za različite vrednosti faktora električnog opterećenja

Na slici 3.4 prikazan je raspored brzine za različite vrednosti faktora električnog opterećenja. Za sve vrednosti faktora opterećenja brzina postiže maksimalnu vrednost u sredini kanala za  $\beta = 0$ , dok je za  $\beta \neq 0$  maksimalna brzina u okolini sredine kanala. Promenom znaka faktora opterećenja tj. promenom smera primjenjenog spoljašnjeg električnog polja može se promeniti i smer strujanja fluida u kanalu. Povećanjem intenziteta primjenjenog spoljašnjeg električnog polja povećava se i napon viskoznog trenja na pločama.

### 3.1.3 Raspored bezdimenzione temperature

Za određivanje bezdimenzione temperature neophodno je rešiti jednačinu (3.1.20) sa graničnim uslovima (3.1.22). U tom cilju prvo se jednačina (3.1.20) piše u obliku:

$$\frac{d^2\Theta}{dy^{*2}} = -Pr Ec \left[ \left( \frac{du^*}{dy^*} \right)^2 + \Lambda u^{*2} + Ha^2 (K + u^*)^2 \right]. \quad (3.1.29)$$

Posle unošenja izraza (3.1.27) za  $u^*(y^*)$  u prethodnu jednačinu i sprovodenja naznačenih matematičkih operacija ona se transformiše na oblik:

$$\begin{aligned} \frac{d^2\Theta}{dy^{*2}} = & -Pr Ec C_1^2 (r_1^2 + R_2) \exp(2r_1 y^*) + \\ & + C_2^2 (r_2^2 + R_2) \exp(2r_2 y^*) + \\ & + 2C_1 C_2 (r_1 r_2 + R_2) \exp((r_1 + r_2) y^*) + \\ & + 2C_1 (KHa^2 - Q_1) \exp(r_1 y^*) + \\ & + 2C_2 (KHa^2 - Q_1) \exp(r_2 y^*) + \\ & + K^2 Ha^2 + \frac{Q_1}{R_2} (Q_1 - 2KHa^2). \end{aligned} \quad (3.1.30)$$

Dvostrukom integracijom poslednje jednačine njen rešenje dobija se u obliku:

$$\begin{aligned} \Theta(y^*) = & -Pr Ec [R_3 \exp(2r_1 y^*) + R_4 \exp(2r_2 y^*) + \\ & + R_5 \exp((r_1 + r_2) y^*) + R_6 \exp(r_1 y^*) + \\ & + R_7 \exp(r_2 y^*) + R_8 y^{*2} + C_3 y^* + C_4], \end{aligned} \quad (3.1.31)$$

gde su  $C_3$  i  $C_4$  integracione konstante, a radi kraćeg zapisa uvedene su oznake:

$$R_3 = \frac{C_1^2}{4r_1^2} (r_1^2 + R_2),$$

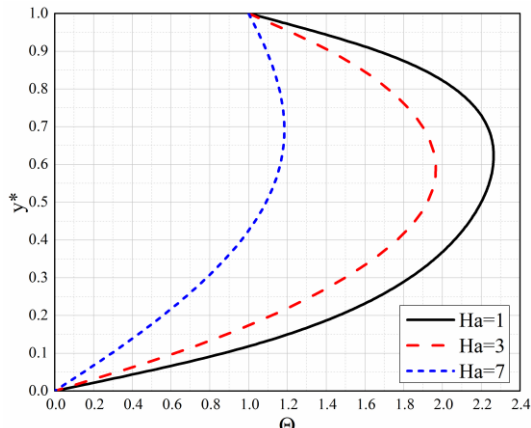
$$\begin{aligned}
 R_4 &= \frac{C_2^2}{4r_2^2} (r_2^2 + R_2), \\
 R_5 &= \frac{2C_1 C_2}{(r_1 + r_2)^2} (r_1 r_2 + R_2), \\
 R_6 &= \frac{2C_1}{r_1^2} (KHa^2 - Q_1), \\
 R_7 &= \frac{2C_2}{r_2^2} (KHa^2 - Q_1), \\
 R_8 &= \frac{1}{2} \left[ K^2 Ha^2 + \frac{Q_1}{R_2} (Q_1 - 2KHa^2) \right].
 \end{aligned} \tag{3.1.32}$$

Integracione konstante  $C_3$  i  $C_4$  određuju se iz graničnih uslova (3.1.22) za bezdimenzionu temperaturu i imaju sledeće reprezentacije:

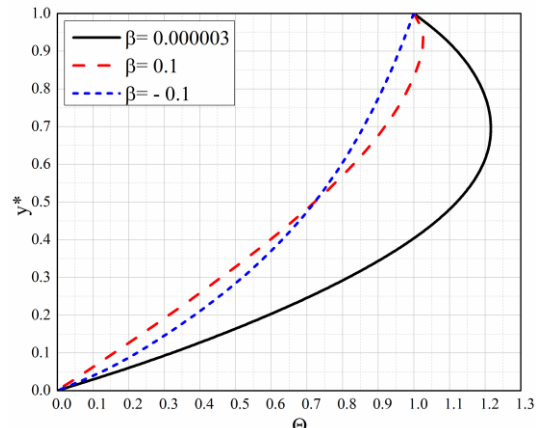
$$\begin{aligned}
 C_3 &= R_3 [1 - \exp(-2r_1)] + R_4 [1 - \exp(-2r_2)] + R_5 [1 - \exp(r_1 + r_2)] + \\
 &+ R_6 [1 - \exp(r_1)] + R_7 [1 - \exp(r_2)] - R_8 - \frac{1}{Pr Ec}, \\
 C_4 &= -(R_3 + R_4 + R_5 + R_6 + R_7).
 \end{aligned} \tag{3.1.33}$$

Radi preglednosti, za donošenje zaključaka, bezdimenziona temperatura (3.1.31) je predstavljena grafički na slikama 3.7, 3.8, 3.9 i 3.10.

Na slici 3.5 dat je raspored bezdimenzione temperature za različite vrednosti Hartmann-ovog broja. Sa povećanjem vrednosti ovog broja temperatura u kanalu opada. Temperatura u kanalu u okolini ploča se intenzivnije menja za manje vrednosti Hartmann-ovog broja tj. za manje intenzitete spoljašnjeg primjenjenog magnetnog polja. Specifični toplotni fluks u okolini ploče opada sa povećanjem vrednosti Hartmann-ovog broja što se zapaža sa grafika i zaključuje na osnovu Fourier-ovog zakona. Temperatura u kanalu postiže maksimalnu vrednost u gornjoj polovini kanala za sve vrednosti Hartmann-ovog broja, a za  $\beta \approx 0$ .



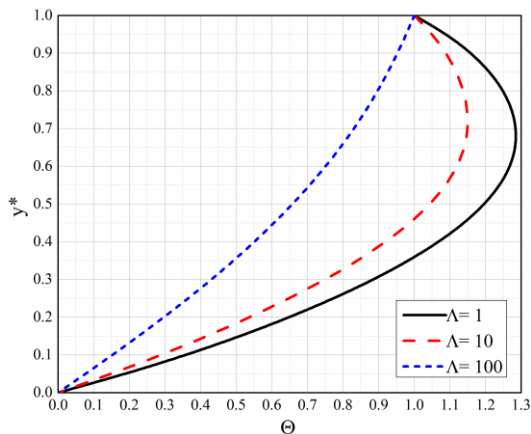
Slika 3.5 Raspored bezdimenzijsone temperature za različite vrednosti Hartmann-ovog broja



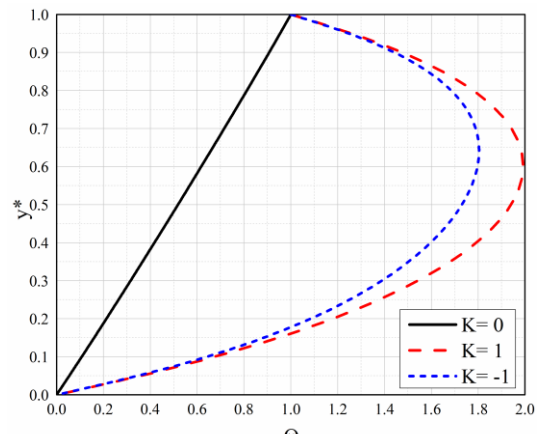
Slika 3.6 Raspored bezdimenzijsone temperature za različite vrednosti faktora  $\beta$

Na slici 3.6 dat je raspored bezdimenzijsone temperature za različite vrednosti faktora  $\beta$ . Sa porastom vrednosti  $\beta$ , a za slučaj da su na donjoj ploči izvori, a na gornjoj ponori temperatura fluida u kanalu opada. Temperatura u kanalu postiže maksimalnu vrednost, za sve vrednosti  $\beta > 0$ , u gornjoj polovini kanala, a što je vrednost  $\beta$  veća to je položaj maksimalne temperature bliži gornjoj ploči. Specifični toplotni fluks u okolini ploča se smanjuje sa porastom vrednosti faktora  $\beta$ . Ovi uticaji su slični uticaju Hartmann-ovog broja.

Na slici 3.7 predstavljen je bezdimenzijni raspored temperature za različite vrednosti faktora poroznosti. Zaključuje se da većim vrednostima faktora poroznosti odgovaraju niže temperature u kanalu. Maksimalne temperature, za sve vrednosti ovog parametra, su u gornjoj polovini kanala. Specifični toplotni fluks na pločama opada sa porastom ovog parametra.



Slika 3.7 Raspored bezdimenzijske temperature za različite vrednosti faktora poroznosti

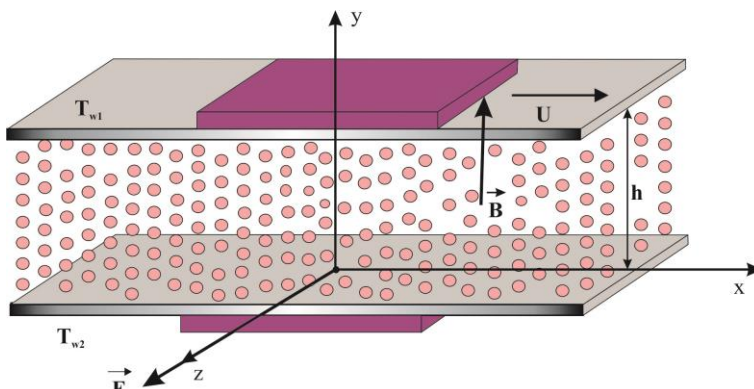


Slika 3.8 Raspored bezdimenzijske temperature za različite vrednosti faktora električnog opterećenja

На слици 3.8 представљен је бездимензионалисани распоред температуре за разлиčite вредности фактора električnog opterećenja. За slučaj režima kratkog spoja ( $K = 0$ ) температура у каналу је линарна функција растојања од зидова канала (случaj када је кондукција dominantna u prenosu topote). За slučaj praznog hoda ( $K = -1$ ) температура је у каналу виша од температуре у случају kratkog споја, док је температура највиша за slučaj ( $K = 1$ ). Температура постиже максималну вредност у горњој половини канала.

### 3.2 MHD strujanje fluida i prenos topline u poroznoj sredini između dve horizontalne ploče od kojih je gornja pokretna

U ovom delu rada izučava se MHD laminarno strujanje nestišljivog fluida i prenos topline u poroznoj sredini između dve horizontalne ploče. Donja ploča je nepokretna i na njoj se održava konstantna temperatura  $T_{w2}$ . Gornja ploča se kreće translatoryno u horizontalnoj ravni konstantnom brzinom čiji je intenzitet  $U$ . Temperatura gornje ploče je konstantna i iznosi  $T_{w1}$ .



Slika 3b Fizički model strujanja

Spoljašnje primjenjeno magnetno polje je homogeno, upravno na ploče, smera od donje prema gornjoj ploči, a njegova indukcija je intenziteta  $B$ . Spoljašnje primjenjeno električno polje je takođe homogeno, pravca i smera z ose i intenziteta  $E$ .

Opisani problem se rešava za male vrednosti Reynolds-ovog magnetnog broja tj. zanemaruje se indukovano magnetno polje. Smatra se da je strujanje ustaljeno.

### 3.2.1 Matematički model

Sprovodeći proceduru kao u poglavlju 3.1.1 dobija se da matematički model ovog problema predstavljaju ranije izvedene jednačine (3.1.11), (3.1.12) i (3.1.13) dok su sad granični uslovi:

$$\begin{aligned} u(0) &= 0, \quad u(h) = U, \\ T(0) &= T_{w2}, \quad T(h) = T_{w1}, \end{aligned} \quad (3.2.1)$$

koji odgovaraju slučaju pokretnе gornje ploče.

Za transformisanje jednačina (3.1.11), (3.1.12), (3.1.13) i graničnih uslova (3.2.1) na bezdimenzione oblike uvode se bezdimenzione veličine date izrazima (3.1.16). U ovom delu rada u izrazima (3.1.16) veličina  $U$  će predstavljati intenzitet brzine gornje ploče za razliku od prethodnog problema gde je ona bila definisana izrazom (3.1.17).

Unoseći bezdimenzione veličine (3.1.16) u jednačinu (3.1.11) ista se transformiše u jednačinu (3.1.18) u kojoj su sada:

$$\begin{aligned} Q_1 &= KHa^2 - G, \\ G &= P \frac{h^2}{\mu U}. \end{aligned} \quad (3.2.2)$$

Zapaža se, da se kod ovog problema veličina  $Q_1$  razlikuje od odgovarajuće veličine  $Q_1$  kod prethodnog problema. U prethodnom problemu je veličina  $G$  jednaka jedinici dok je ovde data izrazom (3.2.2). Ostale veličine u jednačini (3.1.18) imaju iste zapise kao i kod prethodnog problema.

Jednačina (3.1.12) transformiše se na jednačinu (3.1.19), a jednačina (3.1.13) na jednačinu (3.1.20). Kod poslednje dve jednačine nema nikakvih promena u odnosu na prethodni problem. Naravno, stalno treba imati na umu da se brzina  $U$  razlikuje u jednom i u drugom slučaju.

Granični uslovi (3.2.1) u bezdimenzionom obliku dati su sledećim zapisima:

$$\begin{aligned} u^*(0) &= 0, \quad u^*(1) = 1, \\ \Theta(0) &= 0, \quad \Theta(1) = 1. \end{aligned} \quad (3.2.3)$$

Dakle, matematički model opisanog problema u bezdimenzionom obliku predstavljaju jednačine (3.1.18), (3.1.19) i (3.1.20) i granični uslovi (3.2.3).

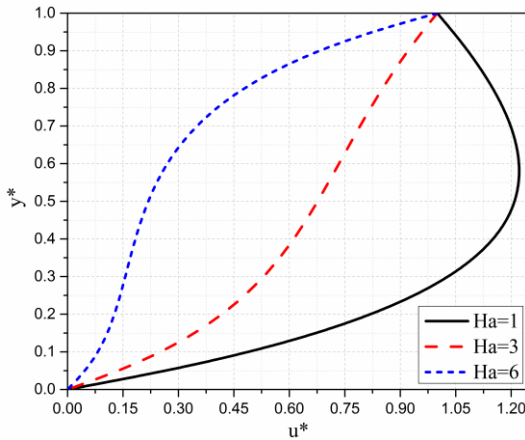
Za dalje teorijsko izučavanje opisanog problema neophodno je rešiti ove jednačine sa odgovarajućim graničnim uslovima.

### 3.2.2 Raspored brzine strujanja fluida

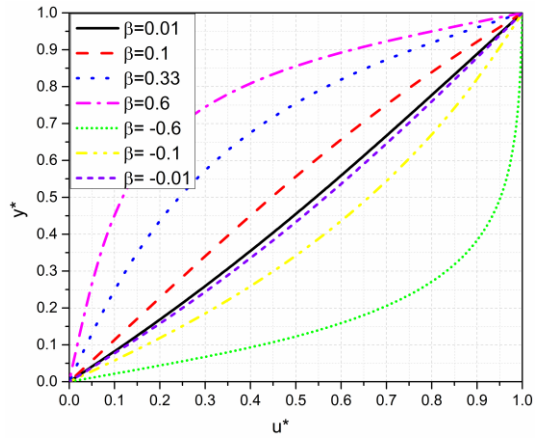
Za određivanje brzine strujanja fluida treba rešiti jednačinu (3.1.18) sa graničnim uslovima (3.2.3). Rešenje ove jednačine ima oblik (3.1.27) gde su konstante integracije  $C_1$  i  $C_2$  date izrazima:

$$\begin{aligned} C_1 &= \frac{1}{R_2} \frac{Q_l [\exp(r_2) - 1] - R_2}{\exp(r_2) - \exp(r_l)}, \\ C_2 &= \frac{1}{R_2} \frac{R_2 + Q_l [1 - \exp(r_l)]}{\exp(r_2) - \exp(r_l)}. \end{aligned} \quad (3.2.4)$$

Radi jednostavnije analize i donošenja zaključaka raspored brzine strujanja fluida je predstavljen grafički na slikama 3.9 , 3.10 , 3.11 i 3.12.



Slika 3.9 Raspored bezdimenzijsne brzine za različite vrednosti  $Ha$



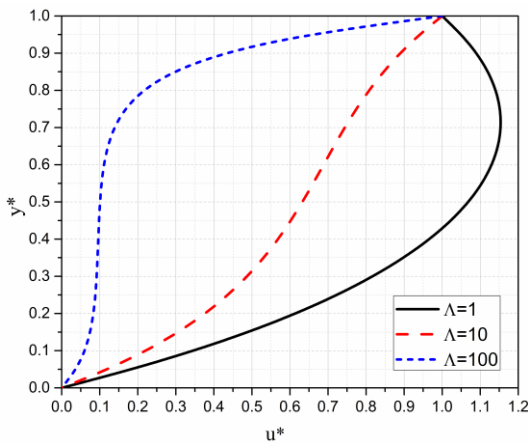
Slika 3.10 Raspored bezdimenzijsne brzine za različite vrednosti  $\beta$

Na slici 3.9 predstavljeni su rasporedi bezdimenzijsne brzine za različite vrednosti Hartmann-ovog broja. Sa te slike se zapaža da za veće vrednosti Hartmann-ovog broja tj. za intenzivnije spoljašnje magnetno polje, raspored brzine u donjem delu kanala postaje ravniji. Ovakva tendencija je zapažena i u slučaju kada su ploče bile nepokretne, ali se ona tada odnosila na celu visinu kanala. Krive rasporeda bezdimenzijsne brzine, uz donju ploču (zid) imaju manji nagib u odnosu na  $y$  osu, sa porastom spoljašnjeg primjenjenog magnetnog polja. Sa približavanjem gornjoj pokretnoj ploči situacija je obrnuta. Ovo dovodi do zaključka da intenzivnije spoljašnje magnetno polje smanjuje tangencijalni napon na donjoj ploči, a povećava ga na gornjoj.

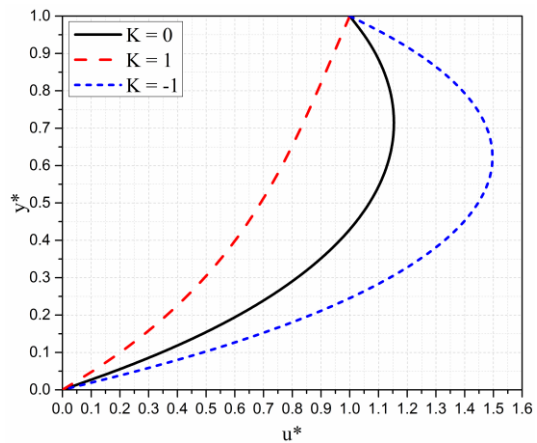
Na slici 3.10 predstavljeni su grafici bezdimenzijsne uzdužne brzine za različite vrednosti veličine  $\beta$ . Zapaža se da se za slučaj, izvora na donjoj a ponora na gornjoj ploči, sa porastom brzine u poprečnom pravcu smanjuje srednja uzdužna brzina, a samim tim i protok fluida u kanalu. U tom slučaju se napon trenja na donjoj ploči smanjuje, a na gornjoj pokretnoj povećava.

Ako se pak izvori nalaze na gornjoj pokretnoj ploči, a ponori na donjoj što odgovara vrednostima  $\beta < 0$ , onda se zaključuje da sa porastom poprečne brzine

raste srednja uzdužna brzina strujanja fluida u kanalu, a samim tim i protok fluida u kanalu. U ovom slučaju tangencijalni napon na donjoj ploči raste, a na gornjoj opada.



Slika 3.11 Raspored bezdimenzijsone brzine za različite vrednosti  $\Lambda$



Slika 3.12 Raspored bezdimenzijsone brzine za različite vrednosti  $K$

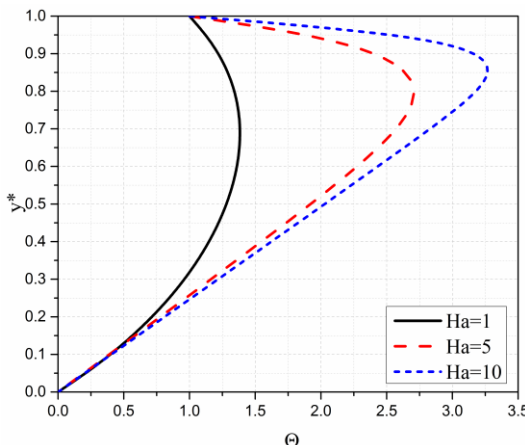
Na slici 3.11 predstavljeni su grafici rasporeda bezdimenzijsone uzdužne brzine za različite vrednosti faktora poroznosti  $\Lambda$ . Na osnovu ovih dijagrama zaključuje se da povećanje faktora poroznosti tj. smanjenje propustljivosti sredine dovodi do poravnavanja profila brzine u kanalu. Velike vrednosti faktora poroznosti bi mogle da dovedu do zaustavljanja kretanja fluida u velikom delu poprečnog preseka kanala. Ovakav se rezultat mogao očekivati s obzirom da čvrsta faza sredine predstavlja prepreku kretanju fluida. Ugao nagiba grafika brzine u odnosu na y osu u okolini donje ploče opada sa porastom faktora poroznosti. Ovo dovodi do zaključka da sa porastom faktora poroznosti opada tangencijalni napon na donjem zidu kanala. Na gornjem zidu pak povećanje faktora poroznosti dovodi do povećanja tangencijalnog napona tj. napona trenja. Sa iste slike može se zaključiti da povećanje faktora poroznosti dovodi do smanjenja srednje brzine strujanja fluida u kanalu, a samim tim i do smanjenja protoka fluida u kanalu.

Na slici 3.12 predstavljeni su rasporedi bezdimenziione uzdužne brzine strujanja fluida za različite vrednosti faktora električnog opterećenja  $K$ . Zapaža se da je uzdužna brzina strujanja fluida istog smera sa brzinom kretanja ploče za sve vrednosti faktora električnog opterećenja  $K$ . Uzdužna brzina strujanja fluida u kanalu je najvećeg intenziteta za  $K = -1$ , a najmanjeg za  $K = 1$ .

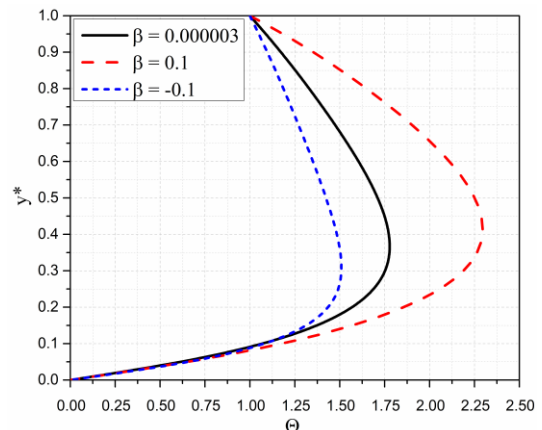
### 3.2.3 Raspored bezdimenziione temperature

I kod ovog modela jednačina koja definiše bezdimenziionu temperaturu je istog oblika kao i u prethodnom poglavlju tj. data je izrazom (3.1.31). Integracione konstante, takođe, imaju iste zapise kao u izrazima (3.1.33). Naravno ove konstante će imati različite vrednosti od vrednosti konstanti u prethodnom poglavlju jer se veličina  $Q_1$  razlikuje kao i veličina  $G$  koja je kod prethodnog modela jednaka jedinici.

Deo rezultata predstavljen je u obliku grafika na slikama 3.13 , 3.14 , 3.15 i 3.16.



Slika 3.13 Raspored bezdimenziione temperature za različite vrednosti  $Ha$

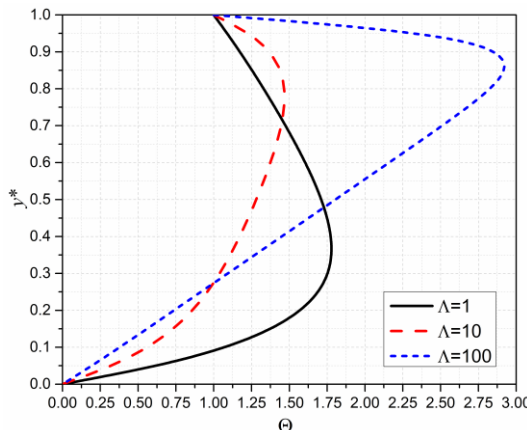


Slika 3.14 Raspored bezdimenziione temperature za različite vrednosti  $\beta$

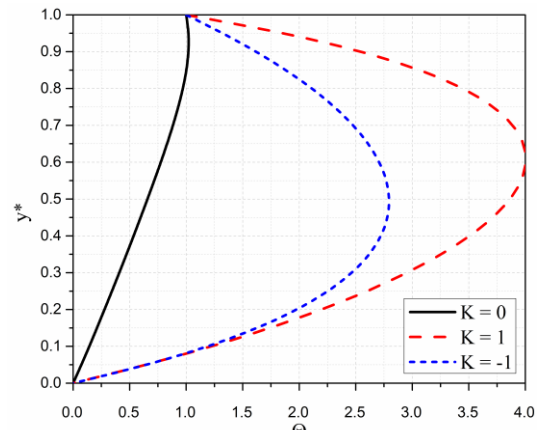
Na slici 3.13 predstavljeni su rasporedi bezdimenziione temperature za različite vrednosti Hartmann-ovog broja. Zapaža se da bezdimenziona temperatura u kanalu raste u blizini gornje pokretne ploče sa povećanjem vrednosti Hartmann-ovog broja tj. sa povećanjem jačine spoljašnjeg primjenjenog magnetnog polja. Sa povećanjem Hartmann-ovog broja položaj maksimalne bezdimenziione temperature se pomera ka gornjoj pokretnoj ploči, a onda naglo pada na vrednost jednaku jedan. Najmanja neravnomernost temperature u kanalu javlja se za male vrednosti Hartmann-ovog broja. Blizu donjeg zida kanala spoljašnje primjeno magnetno polje ima vrlo mali uticaj na intenzitet razmene topote. Blizu gornjeg, pokretnog zida, kanala spoljašnje primjeno magnetno polje značajno utiče na intenzitet razmene topote.

Na slici 3.14 predstavljeni su rasporedi bezdimenziione temperature za različite vrednosti veličine  $\beta$ . Za slučaj da se na donjoj ploči nalaze izvori, a na gornjoj ponori ( $\beta > 0$ ) sa rastom poprečne brzine raste i temperatura u kanalu i postiže svoj maksimum u okolini donje trećine kanala. Rast temperature je brži na donjoj ploči. Za slučaj kada su na gornjoj ploči izvori, a na donjoj ponori, što odgovara vrednostima ( $\beta < 0$ ), intenzivnija je razmena topote na donjoj ploči nego na gornjoj što odgovara i prethodnom slučaju ( $\beta > 0$ ).

Na slici 3.15 predstavljeni su rasporedi bezdimenziione temperature za različite vrednosti faktora poroznosti. Zapaža se da je za veće vrednosti faktora poroznosti tj. smanjene propustljivosti sredine maksimalna temperatura bliže gornjoj ploči. Intenzitet razmene topote na gornjoj ploči je veći za veće vrednosti ovog faktora, a toplota se transportuje sa fluida na gornju ploču za sve vrednosti faktora poroznosti. Za manje vrednosti faktora poroznosti maksimalna temperatura je bliže donjoj ploči.



Slika 3.15 Raspored bezdimenzijsne temperature za različite vrednosti  $\Lambda$

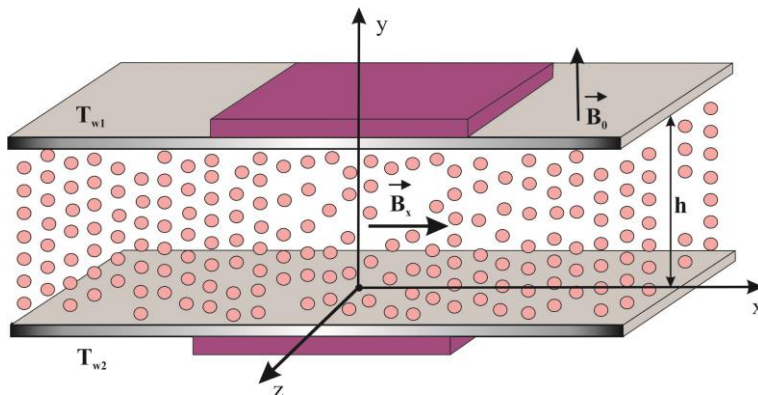


Slika 3.16 Raspored bezdimenzijsne temperature za različite vrednosti  $K$

Rasporedi bezdimenzijsne temperature za različite vrednosti faktora električnog opterećenja dati su na slici 3.16. Zapaža se da je za slučaj režima kratkog spoja  $K = 0$  temperatura u kanalu linearna funkcija rastojanja od donjeg zida sve do tri četvrtine visine kanala, a dalje se ta linearnost blago narušava. Za slučaj praznog hoda  $K = -1$  temperatura u kanalu je viša u odnosu na slučaj kratkog spoja. Sa porastom apsolutne vrednosti veličine  $K$  raste i temperatura u kanalu kao i intenzitet razmene toplove posebno blizu zidova kanala.

### 3.3 Poiseuille-ovo MHD strujanje u poroznoj sredini sa uticajem indukovanih magnetnih polja

U ovom delu razmatra se strujanje viskoznog fluida u poroznoj sredini koja se nalazi između dve horizontalne nepokretne ploče. Spoljašnje primenjeno magnetno polje  $\vec{B}_0$  je homogeno i upravno na ploče. Ploče se održavaju na stalnim temperaturama, donja na temperaturi  $T_{w2}$  a gornja na temperaturi  $T_{w1}$ . Elektroprovodnost fluida  $\sigma$  je nepromenljiva. Rastojanje između ploča je  $h$ . Fluid se kreće usled razlike pritisaka, a ovaj pad pritiska po jedinici dužine održava se konstantnim. Usled kretanja fluida indukuje se magnetno polje u pravcu kretanja sa indukcijom magnetnog polja  $\vec{B}_x$ .



Slika 3c Fizički model strujanja

### 3.3.1 Matematički model

U cilju formiranja matematičkog modela ovog strujanja i transporta toplote polazi se od jednačine kontinuiteta (2.4.4), proširene Navier-Stokes-ove jednačine (2.5.14), jednačine magnetne indukcije (2.7.3) i energijske jednačine (2.6.24).

Imajući u vidu da je strujanje ravansko i razvijeno iz jednačine kontinuiteta se dobija da je projekcija brzine strujanja fluida na osu y konstantna i različita od nule jer će se ovde razmatrati slučajevi kada na donjoj ploči postoje izvori /ponori, a na gornjoj ponori /izvori fluida. Onda je brzina strujanja fluida data izrazom:

$$\vec{W} = u(y) \vec{i} + v \vec{j}. \quad (3.3.1)$$

Koristeći Maxwell-ove jednačine (2.71) dobija se da je magnetna indukcija data izrazom:

$$\vec{B} = B_x(y) \vec{i} + B_0 \vec{j}, \quad (3.3.2)$$

a gustina električne struje definisana je izrazom:

$$\vec{j}^* = \frac{1}{\mu_0} \nabla \times \vec{B}. \quad (3.3.3)$$

Unošenjem izraza (3.3.1),(3.3.2) i (3.3.3) u Navier-Stokes-ovu jednačinu i njenim projektovanjem na ose x i y dobijaju se jednačine:

$$\rho v \frac{du}{dy} = - \frac{\partial p}{\partial x} + \mu \frac{d^2 u}{dy^2} - \frac{\mu}{K^*} u + \frac{B_0}{\mu_0} \frac{dB_x}{dy}, \quad (3.3.4)$$

$$\frac{\partial p}{\partial y} + \frac{\mu}{K^*} v + \frac{B_x}{\mu_0} \frac{dB_x}{dy} = 0, \quad (3.3.5)$$

respektivno. Zamenom izraza (3.3.1) i (3.3.2) u jednačini magnetne indukcije (2.7.3) dobija se sledeća jednačina:

$$\frac{1}{\sigma \mu_0} \frac{d^2 B_x}{dy^2} - v \frac{dB_x}{dy} + B_0 \frac{du}{dy} = 0. \quad (3.3.6)$$

Jednačina energije (2.6.24) posle unošenja izraza (3.3.1) i (3.3.3), imajući u vidu da je problem stacionaran, zanemarujući kvadrat poprečne brzine i veličinu  $\bar{v}VT$  (zanemaren je konvektivni prenos topline), transformiše se na jednačinu:

$$k \frac{d^2T}{dy^2} + \mu \left( \frac{du}{dy} \right)^2 + \frac{\mu}{K^*} u^2 + \frac{1}{\sigma \mu_0^2} \left( \frac{dB_x}{dy} \right)^2 = 0. \quad (3.3.7)$$

Ovim jednačinama, za opisani problem strujanja i transporta topline, odgovaraju sledeći granični uslovi:

$$\begin{aligned} u(0) &= 0, & u(h) &= 0, \\ B_x(0) &= 0, & B_x(h) &= 0, \\ T(0) &= T_{w2}, & T(h) &= T_{w1}. \end{aligned} \quad (3.3.8)$$

Dobijene jednačine (3.3.4), (3.3.5), (3.3.6), (3.3.7) i granični uslovi (3.3.8) predstavljaju matematički model ovde opisanog MHD strujanja i prenosa topline u poroznoj sredini između dve horizontalne ploče. Zapaža se da su jednačine međusobno spregnute.

Za dalje izučavanje opisanog problema izvršiće se transformacija matematičkog modela na bezdimenzionalni oblik. Uvode se bezdimenzione veličine:

$$y^* = \frac{y}{h}, \quad u^* = \frac{u}{U}, \quad \Theta = \frac{T - T_{w1}}{T_{w1} - T_{w2}}, \quad b = \frac{B_x}{B_0}, \quad (3.3.9)$$

gde je:

$$U = \frac{h^2 P}{\mu}, \quad (3.3.10)$$

i

$$P = - \frac{\partial p}{\partial x} = \text{const}, \quad (3.3.11)$$

pad pritiska po jedinici dužine kanala koji se može definisati spoljašnjim silama tj. može biti zadata veličina. Naravno, razmeru  $U$  moguće je izabrati i na neki drugi način.

Koristeći bezdimenzione veličine (3.3.9), kao nove promenljive, jednačina (3.3.4) se transformiše na jednačinu:

$$\frac{d^2 u^*}{dy^{*2}} - \beta \operatorname{Re} \frac{du^*}{dy^*} - \Lambda u^* + \frac{Ha^2}{Rm} \frac{db}{dy^*} + 1 = 0, \quad (3.3.12)$$

jednačina (3.3.6) na jednačinu:

$$\frac{du^*}{dy^*} - \beta \frac{db}{dy^*} + \frac{1}{Rm} \frac{d^2 b}{dy^{*2}} = 0, \quad (3.3.13)$$

jednačina (3.3.7) na jednačinu:

$$\frac{d^2 \Theta}{dy^{*2}} + \operatorname{Pr} \operatorname{Ec} \left[ \left( \frac{du^*}{dy^*} \right)^2 + \Lambda u^{*2} + \frac{Ha^2}{Rm^2} \left( \frac{db}{dy^*} \right)^2 \right] = 0, \quad (3.3.14)$$

i jednačina (3.3.5) na jednačinu:

$$\frac{\partial}{\partial y^*} \left( \frac{\mu_0 p}{B_0^2} \right) + b \frac{db}{dy^*} + \beta \Lambda \frac{Rm}{Ha^2} = 0, \quad (3.3.15)$$

gde je Reynodls-ov magnetni broj  $Rm$  dat izrazom:

$$Rm = \sigma \mu_0 h U, \quad (3.3.16)$$

a veličine  $\beta$ ,  $\operatorname{Re}$ ,  $\operatorname{Ha}$ ,  $\operatorname{Pr}$ ,  $\operatorname{Ec}$  i  $\Lambda$  izrazima (3.1.21).

Iz graničnih uslova (3.3.8) dobijaju se odgovarajući granični uslovi u bezdimenzionom obliku i to:

$$\begin{aligned} u^*(0) &= 0, \quad u^*(1) = 0, \\ b(0) &= 0, \quad b(1) = 0, \\ \Theta(0) &= 0, \quad \Theta(1) = 1. \end{aligned} \quad (3.3.17)$$

Jednačine (3.3.12), (3.3.13), (3.3.14), (3.3.15) i granični uslovi (3.3.17) predstavljaju matematički model u bezdimenzionom obliku opisanog MHD strujanja fluida i transporta toplote u poroznoj sredini između nepokretnih horizontalnih izolovanih ploča koje se održavaju na stalnim temperaturama.

Za dalje izučavanje opisanog problema neophodno je rešiti ovaj sistem jednačina sa odgovarajućim graničnim uslovima.

### 3.3.2 Rasporedi bezdimenziione uzdužne brzine i bezdimenziione indukcije indukovanih magnetnih polja

Prvo se iz jednačine (3.3.12) određuje izvod veličine  $b$  i on je dat izrazom:

$$\frac{db}{dy^*} = \frac{Rm}{Ha^2} \left( \beta Re \frac{du^*}{dy^*} + \Lambda u^* - \frac{d^2u^*}{dy^{*2}} - 1 \right), \quad (3.3.18)$$

zatim se poslednji izraz diferencira po  $y^*$  i dobija izraz:

$$\frac{d^2b}{dy^{*2}} = \frac{Rm}{Ha^2} \left( \beta Re \frac{d^2u^*}{dy^{*2}} + \Lambda \frac{du^*}{dy^*} - \frac{d^3u^*}{dy^{*3}} \right). \quad (3.3.19)$$

Zamenom izraza (3.3.18) i (3.3.19) u jednačini (3.3.13) dobija se jednačina:

$$\frac{d^3u^*}{dy^{*3}} - a_1 \frac{d^2u^*}{dy^{*2}} + a_2 \frac{du^*}{dy^*} + a_3 u^* = \beta Rm, \quad (3.3.20)$$

gde su, radi kraćeg zapisa, uvedene oznake:

$$a_1 = \beta(Re + Rm), \quad a_2 = \beta^2 Re Rm - \Lambda - Ha^2, \quad a_3 = \beta \Lambda Rm. \quad (3.3.21)$$

Dakle, dobijena je nehomogena diferencijalna jednačina trećeg reda sa konstantnim koeficijentima.

Karakteristična jednačina odgovarajuće homogene jednačine je:

$$r^3 - a_1 r^2 + a_2 r + a_3 = 0, \quad (3.3.22)$$

koja se smenom:

$$r = \eta + \frac{1}{3} a_1, \quad (3.3.23)$$

transformiše na jednačinu:

$$\eta^3 + m\eta + n = 0, \quad (3.3.24)$$

gde su uvedene oznake:

$$m = a_2 - \frac{1}{3}a_1, \quad n = a_3 + \frac{1}{3}a_1a_2 - \frac{2}{27}a_1^3. \quad (3.3.25)$$

Zapaža se da su veličine  $m$  i  $n$  uvek realne. Onda se za rešavanje jednačina (3.3.24) razlikuju tri slučaja [196,197] i to:

I slučaj

Kada je veličina:

$$D = \frac{n^2}{4} + \frac{m^3}{27} > 0, \quad (3.3.26)$$

jednačina (3.3.24) ima realno rešenje:

$$\eta_1 = I_1 + I_2, \quad (3.3.27)$$

i kompleksna rešenja:

$$\eta_2 = \alpha I_1 + \alpha^2 I_2, \quad \eta_3 = \alpha^2 I_1 + \alpha I_2, \quad (3.3.28)$$

gde su uvedene oznake:

$$I_1 = \sqrt[3]{-\frac{n}{2} + \sqrt{D}}, \quad I_2 = \sqrt[3]{-\frac{n}{2} - \sqrt{D}}, \quad I_1, I_2 \in \mathbb{R},$$

$$\alpha = -\frac{1}{2} + i \frac{\sqrt{3}}{2}. \quad (3.3.29)$$

Zamenom rešenja  $\eta_1$ ,  $\eta_2$  i  $\eta_3$  u (3.3.23) dobijaju se rešenja jednačine (3.3.22) i to realno rešenje:

$$r_1 = \frac{1}{3}a_1 + I_1 + I_2, \quad (3.3.30)$$

i kompleksna rešenja:

$$r_2 = c_1 + i c_2, \quad r_3 = c_1 - i c_2, \quad (3.3.31)$$

gde su, radi kraćih zapisa, uvedene oznake:

$$c_1 = \frac{1}{3}a_1 - \frac{1}{2}(I_1 + I_2), \quad c_2 = (I_1 - I_2) \frac{\sqrt{3}}{2}. \quad (3.3.32)$$

Kako je partikularno rešenje jednačine (3.3.20) dato izrazom:

$$u_p = \frac{1}{\Lambda}, \quad (3.3.33)$$

to je njeno opšte rešenje:

$$\begin{aligned} u^*(y^*) = & A_1 \exp(r_1 y^*) + \\ & + [A_2 \cos(c_2 y^*) + A_3 \sin(c_2 y^*)] \exp(c_1 y^*) + \frac{1}{\Lambda}, \end{aligned} \quad (3.3.34)$$

u kome su  $A_1$ ,  $A_2$  i  $A_3$  integracione konstante.

## II slučaj

Kada je veličina  $D = 0$ , jednačina (3.3.24) ima sva tri realna rešenja od kojih je jedno dvostruko i to:

$$\eta_1 = 2\sqrt[3]{-\frac{n}{2}}, \quad \eta_2 = \eta_3 = \sqrt[3]{\frac{n}{2}}. \quad (3.3.35)$$

Onda su rešenja jednačine (3.3.22) data izrazima:

$$\begin{aligned} r_1 &= \frac{1}{3}a_1 + 2\sqrt[3]{-\frac{n}{2}} = m_1, \\ r_2 &= r_3 = \frac{1}{3}a_1 + \sqrt[3]{\frac{n}{2}} = m_2, \end{aligned} \quad (3.3.36)$$

gde su uvedene oznake  $m_1$  i  $m_2$  da bi bila uočljivija razlika u odnosu na rešenja u I slučaju.

U ovom slučaju je opšte rešenje jednačine (3.3.20) dato izrazom:

$$\begin{aligned} u^*(y^*) = & B_1 \exp(m_1 y^*) + B_2 \exp(m_2 y^*) + \\ & + B_3 y^* \exp(m_2 y^*) + \frac{1}{\Lambda}, \end{aligned} \quad (3.3.37)$$

gde su  $B_1$ ,  $B_2$  i  $B_3$  integracione konstante.

## III slučaj

Kada je veličina  $D < 0$  onda jednačina (3.3.22) ima tri realna različita rešenja i to:

$$r_1 = \frac{1}{3}a_1 + 2\sqrt[3]{-\frac{m}{3}} \cos \frac{\varphi}{3} = n_1,$$

$$r_2 = \frac{1}{3}a_1 + 2\sqrt[3]{-\frac{m}{3}} \cos \frac{\varphi + 2\pi}{3} = n_2, \quad (3.3.38)$$

$$r_3 = \frac{1}{3}a_1 + 2\sqrt[3]{-\frac{m}{3}} \cos \frac{\varphi + 4\pi}{3} = n_3,$$

gde je:

$$\cos \varphi = -\frac{n}{2} \left( -\frac{m}{3} \right)^{\frac{3}{2}}, \quad 0 < \varphi < \pi, \quad (3.3.39)$$

a oznake  $n_1$ ,  $n_2$  i  $n_3$  su i ovde uvedene da bi se istakla razlika u odnosu na slučajeve I i II.

U ovom slučaju opšte rešenje jednačine (3.3.20) dato je jednačinom:

$$u^*(y^*) = C_1 \exp(n_1 y^*) + C_2 \exp(n_2 y^*) + C_3 \exp(n_3 y^*) + \frac{1}{\Lambda}, \quad (3.3.40)$$

u kome su  $C_1$ ,  $C_2$  i  $C_3$  integracione konstante.

Da bi se odredile vrednosti integracionih konstanti u sva tri slučaja neophodno je prethodno odrediti rasporede bezdimenzione indukcije indukovanih magnetnih polja.

U tom cilju koristi se jednačina (3.3.18). Zamenom izraza (3.3.14) i njegovog prvog i drugog izvoda u jednačinu (3.3.18) i integracijom dobijene jednačine dobija se da je, u I slučaju, raspored bezdimenzione indukcije indukovanih magnetnih polja dat izrazom:

$$\begin{aligned} b(y^*) = & \frac{Rm}{Ha^2} \{ A_1 L_1 \exp(r_1 y^*) + \\ & + (L_2 A_2 - L_3 A_3) \cos(c_2 y^*) \exp(c_1 y^*) + \\ & + (L_2 A_3 + L_3 A_2) \sin(c_2 y^*) \exp(c_1 y^*) + \beta \operatorname{Re} \frac{1}{\Lambda} + A_4 \}, \end{aligned} \quad (3.3.41)$$

u kome je  $A_4$  integraciona konstanta, a radi kraćeg zapisa uvedene u oznake:

$$L_1 = \beta \operatorname{Re} + \frac{\Lambda}{r_1} - r_1, \quad L_2 = \beta \operatorname{Re} + \frac{\Lambda}{c_1^2 + c_2^2} c_1 - c_1,$$

$$L_3 = \frac{\Lambda}{c_1^2 + c_2^2} c_2 + c_2. \quad (3.3.42)$$

Sada je, za I slučaj, moguće odrediti integracione konstante  $A_1, A_2, A_3$  i  $A_4$ . U tom cilju koriste se granični uslovi za bezdimenzionu uzdužnu brzinu i bezdimenzionu indukciju indukovanih magnetnih polja (3.3.17) i dobijaju se sledeće konstante:

$$\begin{aligned} A_1 &= -A_2 - \frac{1}{\Lambda}, \\ A_2 &= -\frac{L_5 L_{17} + L_{10} L_{16}}{L_9 L_{16} + L_5 L_{15}}, \\ A_3 &= \frac{L_{15} A_2 + L_{17}}{L_{16}}, \\ A_4 &= -L_{13} A_2 - L_8 A_3 - L_{14}, \end{aligned} \quad (3.3.43)$$

gde su, radi kraćih zapisa, uvedene oznake:

$$\begin{aligned} L_4 &= \cos(c_2) \exp(c_1), \quad L_5 = \sin(c_2) \exp(c_1), \\ L_6 &= L_1 \exp(r_l), \quad L_7 = (L_2 \cos(c_2) + L_3 \sin(c_2)) \exp(c_1), \\ L_8 &= (L_2 \sin(c_2) - L_3 \cos(c_2)) \exp(c_1), \quad L_9 = L_4 - \exp(r_l), \\ L_{10} &= \frac{1}{\Lambda} (1 - \exp(r_l)), \quad L_{11} = L_2 - L_1, \\ L_{12} &= \frac{1}{\Lambda} (\beta \operatorname{Re} - L_1), \quad L_{13} = L_7 - L_6, \\ L_{14} &= \frac{1}{\Lambda} (\beta \operatorname{Re} - L_6), \quad L_{15} = L_{11} - L_{13}, \\ L_{16} &= L_3 + L_8, \quad L_{17} = L_{12} - L_{14}. \end{aligned} \quad (3.3.44)$$

Ovim su, u slučaju I, bezdimenzioni raspored uzdužne brzine i bezdimenzioni raspored indukcije indukovanih magnetnih polja postali poznati i dati su izrazima (3.3.34) i (3.3.41).

Za dalja istraživanja, za bezdimenzionu indukciju indukovanih magnetnih polja umesto izraza (3.3.41) koristiće se isti izraz napisan u jednostavnijem obliku:

$$b(y^*) = \frac{Rm}{Ha^2} \{ L_{18} \exp(r_1 y^*) + [L_{19} \cos(c_2 y^*) + \\ + L_{20} \sin(c_2 y^*)] \exp(c_1 y^*) + L_{21} \}, \quad (3.3.45)$$

u kome su uvedene oznake date izrazima:

$$L_{18} = A_1 L_1, \quad L_{19} = L_2 A_2 - L_3 A_3,$$

$$L_{20} = L_2 A_3 + L_3 A_2, \quad L_{21} = \frac{\beta Re}{\Lambda} + A_4. \quad (3.3.46)$$

Za slučaj II, polazeći od jednačine (3.3.18), a zatim zamenjujući (3.3.37) i njegov prvi i drugi izvod u njoj dobija se da je bezdimenziona indukcija indukovanih magnetnih polja data izrazom:

$$b(y^*) = \frac{Rm}{Ha^2} [L_{22} B_1 \exp(m_1 y^*) + \\ + (L_{23} B_2 - L_{24} B_3) \exp(m_2 y^*) + \\ + L_{23} B_3 y^* \exp(m_2 y^*) + \frac{\beta Re}{\Lambda} + B_4], \quad (3.3.47)$$

u kome su uvedene oznake:

$$L_{22} = \beta Re + \frac{\Lambda}{m_1} - m_1, \quad L_{23} = \beta Re + \frac{\Lambda}{m_2} - m_2, \\ L_{24} = \frac{\Lambda}{m_2^2} + 1, \quad (3.3.48)$$

a  $B_4$  je integraciona konstanta.

Za određivanje integracionih konstanti  $B_1$ ,  $B_2$ ,  $B_3$  i  $B_4$  koriste se granični uslovi za bezdimenzionu uzdužnu brzinu i bezdimenzionu indukciju indukovanih magnetnih polja (3.3.17) i one su date izrazima:

$$B_1 = \frac{1}{\Lambda} \frac{L_{32} - 1}{L_{31} - L_{32}}, \quad B_2 = -B_1 - \frac{1}{\Lambda}, \\ B_3 = \frac{1}{L_{30}} (L_{28} B_1 + L_{29} B_2), \\ B_4 = L_{24} B_3 - L_{22} B_1 - L_{23} B_2 - \frac{\beta Re}{\Lambda}, \quad (3.3.49)$$

### Poglavlje 3

---

u kojima su uvedene oznake:

$$\begin{aligned}
 L_{25} &= L_{22} \exp(m_1), \quad L_{26} = L_{23} \exp(m_2), \\
 L_{27} &= (L_{23} - L_{24}) \exp(m_2), \quad L_{28} = L_{22} - L_{25}, \\
 L_{29} &= L_{23} - L_{26}, \quad L_{30} = L_{24} + L_{27}, \\
 L_{31} &= \exp(m_1) + \frac{L_{28}}{L_{30}} \exp(m_2), \\
 L_{32} &= \exp(m_2) + \frac{L_{29}}{L_{30}} \exp(m_2).
 \end{aligned} \tag{3.3.50}$$

Određivanjem konstanti  $B_1$ ,  $B_2$ ,  $B_3$  i  $B_4$  postali su poznati raspored bezdimenzijsne uzdužne brzine i raspored bezdimenzijsne indukcije indukovanih magnetnih polja u slučaju II.

Za određivanje bezimenzione indukcije indukovanih magnetnih polja u slučaju III treba izraz (3.3.40) zameniti u jednačini (3.3.18) i iz nje se dobija traženi raspored dat izrazom:

$$\begin{aligned}
 b(y^*) &= \frac{Rm}{Ha^2} [L_{33} C_1 \exp(n_1 y^*) + L_{34} C_2 \exp(n_2 y^*) + \\
 &\quad + L_{35} C_3 \exp(n_3 y^*) + \frac{\beta Re}{\Lambda} + C_4],
 \end{aligned} \tag{3.3.51}$$

u kome je  $C_4$  integraciona konstanta i gde su uvedene oznake:

$$\begin{aligned}
 L_{33} &= \beta Re + \frac{\Lambda}{n_1} - n_1, \quad L_{34} = \beta Re + \frac{\Lambda}{n_2} - n_2, \\
 L_{35} &= \beta Re + \frac{\Lambda}{n_3} - n_3.
 \end{aligned} \tag{3.3.52}$$

Za određivanje integracionih konstanti  $C_1, C_2, C_3$  i  $C_4$  koriste se, kao i u prethodnim slučajevima, granični uslovi (3.3.17) i dobijaju se konstante date izrazima:

$$C_1 = \frac{1}{\Lambda} \frac{L_{43} - L_{45}}{L_{42}L_{45} - L_{43}L_{44}}, \quad C_2 = -\frac{1}{L_{45}} \left( \frac{1}{\Lambda} + L_{44}C_1 \right),$$

### Poglavlje 3

$$C_3 = -\frac{1}{L_{41}}(L_{39}C_1 + L_{40}C_2),$$

$$C_4 = -L_{33}C_1 - L_{34}C_2 - L_{35}C_3 - \frac{\beta Re}{\Lambda},$$

u kojima su uvedene označke:

$$L_{36} = L_{33} \exp(n_1), \quad L_{37} = L_{34} \exp(n_2),$$

$$L_{38} = L_{35} \exp(n_3), \quad L_{39} = L_{33} - L_{36},$$

$$L_{40} = L_{34} - L_{37}, \quad L_{41} = L_{35} - L_{38},$$

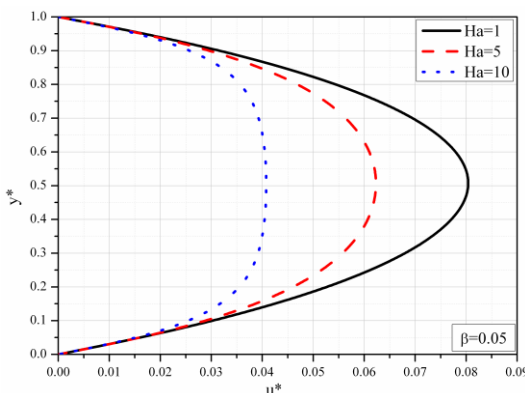
$$L_{42} = \exp(n_1) - \frac{L_{39}}{L_{41}} \exp(n_3),$$

$$L_{43} = \exp(n_2) - \frac{L_{40}}{L_{41}} \exp(n_3),$$

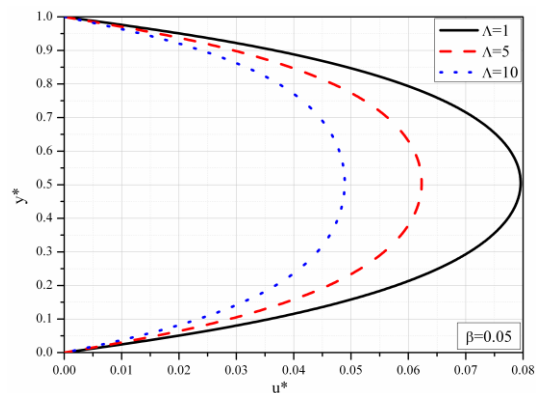
$$L_{44} = 1 - \frac{L_{39}}{L_{41}}, \quad L_{45} = 1 - \frac{L_{40}}{L_{41}}. \quad (3.3.54)$$

Određivanjem ovih konstanti postali su, i u III slučaju, poznati raspored bezdimenzijsne uzdužne brzine i raspored bezdimenzijsne indukcije indukovanih magnetnog polja.

Radi jednostavnije i preglednije analize deo dobijenih rezultata predstavljen je u obliku dijagrama na slikama koje slede.



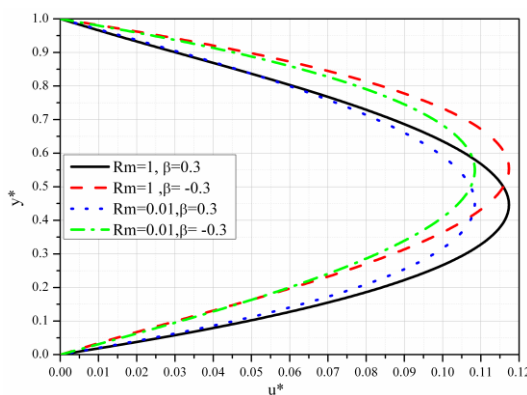
Slika 3.17 Bezdimentziona uzdužna brzina za različite vrednosti  $Ha$



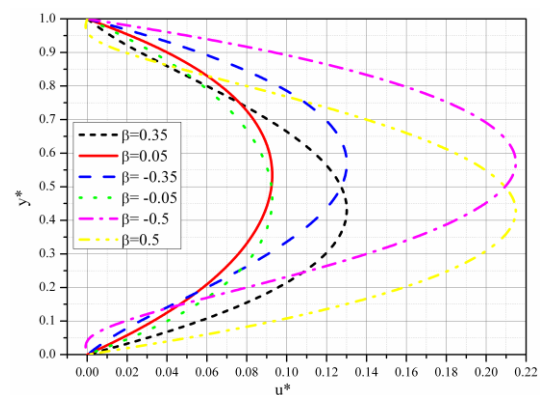
Slika 3.18 Bezdimentziona uzdužna brzina za različite vrednosti  $\Lambda$

Na slici 3.17 predstavljeni su rasporedi bezdimenziione uzdužne brzine u kanalu za različite vrednosti Hartmann-ovog broja, za pozitivnu vrednost veličine  $\beta$ . Zapaža se da rast Hartmann-ovog broja tj. intenziteta spoljašnjeg primjenjenog magnetnog polja dovodi do smanjenja uzdužne brzine u kanalu i do "poravnanja" profila brzine. Sa smanjenjem intenziteta ove brzine smanjuju se srednja brzina i protok tečnosti u kanalu. Tangencijalni naponi i na gornjem i na donjem zidu kanala opadaju sa porastom Hartmann-ovog broja. Ovi zaključci važe i za slučaj kada su izvori na donjem zidu, a ponori na gornjem ( $\beta > 0$ ), a i za slučaj kada su izvori na gornjem, a ponori na donjem zidu kanala ( $\beta < 0$ ).

Na slici 3.18 predstavljeni su rasporedi bezdimenziione brzine u kanalu za različite vrednosti faktora poroznosti, a za pozitivnu vrednost veličine  $\beta$  tj. za slučaj izvora na donjem zidu kanala, a ponora na gornjem zidu kanala. Sa ove slike se zapaža da sa porastom faktora poroznosti, odnosno pri smanjenju propustljivosti sredine, intenzitet uzdužne brzine opada. Samim tim smanjuje se i intenzitet srednje uzdužne brzine i protok tečnosti u kanalu. Tangencijalni naponi na zidovima kanala opadaju sa porastom faktora poroznosti. Ovi zaključci se odnose i na slučaj kada su na gornjem zidu kanala izvori, a na donjem ponori tj. za  $\beta < 0$ .



Slika 3.19 Bezdimenziona uzdužna brzina u kanalu za različite vrednosti  $Rm$  i  $\beta$



Slika 3.20 Bezdimenziona uzdužna brzina u kanalu za različite vrednosti  $\beta$

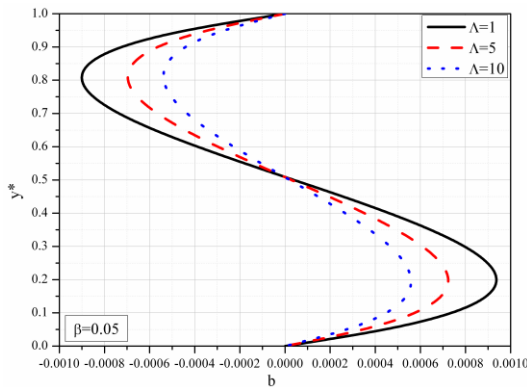
Na slici 3.19 prikazani su rasporedi bezdimenziione uzdužne brzine za različite vrednosti Reynolds-ovog magnetnog broja i to za slučaj kada su na donjem zidu kanala izvori, a na gornjem ponori i obrnuto kada su na gornjem zidu izvori a na donjem ponori. Sa ove slike se zapaža da porast Reynolds-ovog magnetnog broja odnosno povećanje elektroprovodnosti tečnosti u kanalu dovodi do povećanja uzdužne brzine u kanalu i tangencijalnih naponu na zidovima kanala. Ovi zaključci se odnose i na slučaj izvora na donjem zidu kanala, a ponora na gornjem zidu i na slučaj kada su izvori na gornjem zidu a ponori na donjem. Veći intenziteti brzina koji se zapažaju na ovoj slici, u odnosu na intenzitete brzina na prethodnim slikama su posledica velikih apsolutnih vrednosti veličine  $\beta$ . Porast Reynolds-ovog magnetnog broja uzrokuje slabljenje uticaja spoljašnjeg primjenjenog magnetnog polja te Lorentz-ova sila opada, a brzina raste.

Na slici 3.20 prikazani su rasporedi bezdimenziione uzdužne brzine u kanalu za različite vrednosti veličine  $\beta$ . Sa ove slike se zapaža da sa porastom apsolutne vrednosti veličine  $\beta$  raste intenzitet uzdužne brzine tečnosti u kanalu, a samim tim i srednja brzina i protok tečnosti u kanalu. Ovi zaključci odnose se na oba slučaja rasporeda izvora i ponora na zidovima kanala.

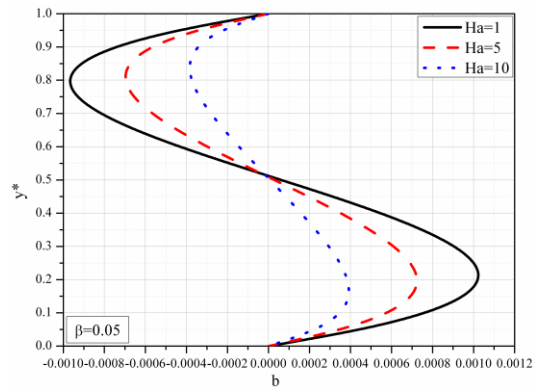
Na slici 3.21 prikazani su rasporedi bezdimenziione magnetne indukcije indukovanih magnetnog polja za različite vrednosti faktora poroznosti tj. za različite propustljivosti sredine, a za slučaj izvora na donjem zidu kanala i ponora na gornjem zidu. Sa ove slike se zapaža da porast faktora poroznosti tj. smanjenje propustljivosti sredine dovodi do smanjenja intenziteta indukcije indukovanih magnetnog polja. Ovaj zaključak se odnosi i na slučaj kada su izvori na gornjem zidu, a ponori na donjem zidu kanala. Za slučaj  $\beta = 0.05$  indukcija indukovanih magnetnog polja je, od donjeg zida kanala pa do malo iznad sredine kanala, smera osnovne struje a odatle pa do gornjeg zida kanala ona je suprotnog smera. Za slučaj  $\beta = -0.05$  indukcija indukovanih magnetnog polja je, od donjeg zida kanala pa do

### Poglavlje 3

мало испод средине канала, смера основне струје, а одатле па до горњег зида канала она је супротног смера.

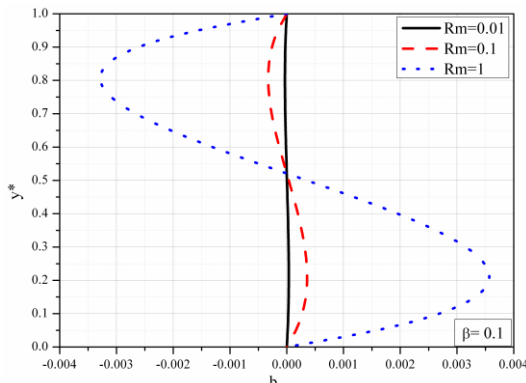


Slika 3.21 Bezdimentziona indukcija indukovanih magnetnih polja za različite vrednosti  $\Lambda$

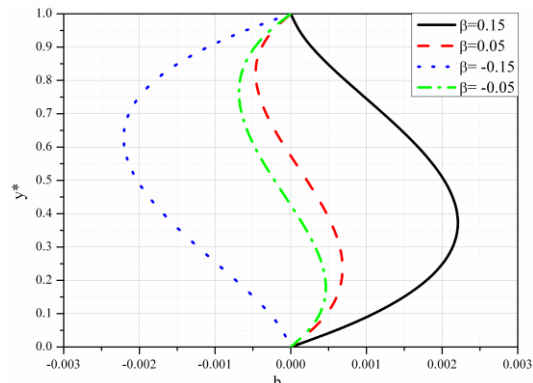


Slika 3.22 Bezdimentziona indukcija indukovanih magnetnih polja за različite vrednosti  $Ha$

На слици 3.22 приказани су rasporedi bezdimenzione indukcije indukovanih magnetnih polja за različite vrednosti Hartmann-овог броја, и то за slučaj када су на донjem зиду канала извори а на горњем зиду понори. За ове слике се запажа да раст Hartmann-овог броја тј. да раст магнетне индукције применjenог спољашnjег магнетног поља доводи до смањења индукције indukovanih магнетних поља у каналу. Овај закључак се односи и на slučaj када су на горњем зиду канала извори, а на донjem зиду понори. У првом slučaju indukovano магнетно поље је смера основне струје од донег зида канала све до  $y^* \approx 0.52$ , а одатле па до горњег зида канала је супротног смера од смера основне струје. У другом slučaju се смерови indukovanih магнетних поља и основне струје поклапају од донег зида канала па до  $y^* \approx 0.48$ , а одатле па до горњег зида они су супротни. Dakle, у оба slučaja, са растом Hartmann-овог броја опада индукција indukovanih магнетних поља и тада расте утицај спољашnjег применjenog магнетног поља тј. утицајније је спољашnje применено магнетно поље од indukovanih магнетних поља.



Slika 3.23 Bezdimeziona indukcija indukovanih magnetnih polja za različite vrednosti  $R_m$



Slika 3.24 Bezdimeziona indukcija indukovanih magnetnih polja za različite vrednosti  $\beta$

Na slici 3.23 prikazani su rasporedi bezdimezione indukcije idukovanog magnetnog polja za različite vrednosti Reynolds-ovog magnetnog broja za slučaj kada je  $\beta > 0$ . Sa ove slike se zapaža da većim vrednostima Reynolds-ovog magnetnog broja odgovaraju veće vrednosti intenziteta indukovanih magnetnih polja. Za slučaj prikazan na slici smer indukovanih magnetnih polja se poklapa sa smerom osnovne struje u preseku kanala od donjeg zida pa do  $y^* \approx 0.525$ , a odatle pa do gornjeg zida smer indukovanih magnetnih polja je suprotan smeru osnovne struje. Za drugi slučaj, gde su na gornjem zidu izvori, a donjem ponori, smerovi indukovanih magnetnih polja i osnovne struje se poklapaju od donjeg zida kanala pa do  $y^* \approx 0.475$ , a odatle pa do gornjeg zida ovi smerovi su suprotni. Sa slike se jasno zapaža da je za male vrednosti  $R_m$  broja intenzitet indukovanih magnetnih polja mali i da je tada sasvim opravdano problem razmatrati sa zanemarivanjem uticaja indukovanih magnetnih polja.

Na slici 3.24 prikazani su rasporedi bezdimezione indukcije indukovanih magnetnog polja za različite vrednosti veličine  $\beta$ . Sa ove slike se zapaža da sa rastom apsolutne vrednosti veličine  $\beta$  raste i intenzitet magnetne indukcije indukovanih magnetnih polja. Za slučaj kada su na donjem zidu kanala izvori, a

na gornjem zidu ponori onda je za manje vrednosti veličine  $\beta$  u većem delu poprečnog preseka kanala, mereno od donjeg zida, smer indukovanih magnetnih polja isti sa smerom osnovne struje, dok je za veće vrednosti veličine  $\beta$  u celom poprečnom preseku kanala indukovano magnetno polje istog smera sa smerom osnovne struje. Za slučaj kada su na gornjem zidu kanala izvori, a na donjem ponori onda je za manje apsolutne vrednosti veličine  $\beta$  u manjem delu poprečnog preseka kanala, mereno od donjeg zida, smer indukovanih magnetnih polja isti sa smerom osnovne struje, dok je za veće apsolutne vrednosti veličine  $\beta$  u celom poprečnom preseku kanala indukovano magnetno polje suprotnog smera od smera osnovne struje tečnosti. Porast intenziteta poprečne komponente brzine dovodi do porasta intenziteta indukovanih magnetnih polja i slabljenja uticaja spoljašnjeg magnetnog polja.

### 3.3.3 Raspored bezdimenzione temperature

Za određivanje rasporeda bezdimenzione temperature treba rešiti jednačinu (3.3.14). Neophodno je, prethodno, uneti u nju raspored bezdimenzione brzine i bezdimenzione indukcije indukovanih magnetnih polja i dva puta je integraliti u sva tri slučaja. Tako će se u prvom slučaju dobiti da je raspored bezdimenzione temperature dat izrazom:

$$\begin{aligned} \theta(y^*) = & -PrEc\{L_{62}\exp(2r_1y^*) + L_{63}\exp(r_1y^*) + \\ & + [L_{64} + L_{65}\sin(2c_2y^*) + L_{66}\cos(2c_2y^*)]\exp(2c_1y^*) + \\ & + [L_{67}\sin(c_2y^*) + L_{68}\cos(c_2y^*)]\exp((r_1 + c_1)y^*) + \\ & + [L_{69}\sin(c_2y^*) + L_{70}\cos(c_2y^*)]\exp(c_1y^*) + \\ & + \frac{1}{2\Lambda}y^{*2} + D_1y^* + D_2\}, \end{aligned} \quad (3.3.55)$$

gde su  $D_1$  i  $D_2$  integracione konstante, a radi kraćeg zapisa uvedene su oznake:

$$L_{46} = A_3 c_1 - A_2 c_2, \quad L_{47} = A_2 c_1 + A_3 c_2,$$

$$L_{48} = L_{20} c_1 - L_{19} c_2, \quad L_{49} = L_{20} c_2 + L_{19} c_1,$$

$$L_{50} = A_1^2 r_1^2 + \Lambda A_1^2 + \frac{r_1^2 L_{18}^2}{Ha^2},$$

$$L_{51} = L_{46}^2 + \Lambda A_3^2 + \frac{L_{48}^2}{Ha^2},$$

$$L_{52} = L_{47}^2 + \Lambda A_2^2 + \frac{L_{49}^2}{Ha^2},$$

$$L_{53} = 2A_1 r_1 L_{46} + 2\Lambda A_1 A_3 + \frac{2r_1 L_{18} L_{48}}{Ha^2},$$

$$L_{54} = 2A_1 r_1 L_{47} + 2\Lambda A_1 A_2 + \frac{2r_1 L_{18} L_{49}}{Ha^2},$$

$$L_{55} = L_{46} L_{47} + \Lambda A_3 A_2 + \frac{L_{48} L_{49}}{Ha^2},$$

$$L_{56} = \frac{1}{4c_2^2 + 4c_1^2} (-c_2 L_{51} + c_2 L_{52} + 2c_1 L_{55}),$$

$$L_{57} = \frac{1}{4c_2^2 + 4c_1^2} (c_1 L_{51} + c_2 L_{52} - 2c_2 L_{55}),$$

$$L_{58} = \frac{1}{c_2^2 + (r_1 + c_1)^2} [(r_1 + c_1) L_{53} + c_2 L_{54}],$$

$$L_{59} = \frac{1}{c_2^2 + (r_1 + c_1)^2} [(r_1 + c_1) L_{54} - c_2 L_{53}],$$

$$L_{60} = \frac{2}{c_2^2 + c_1^2} (A_2 c_2 + A_3 c_1), \quad L_{61} = \frac{2}{c_2^2 + c_1^2} (A_2 c_1 - A_3 c_2),$$

$$L_{62} = \frac{L_{50}}{4r_1^2}, \quad L_{63} = \frac{2A_1}{r_1^2}, \quad L_{64} = \frac{1}{8c_1^2} (L_{51} + L_{52}),$$

$$L_{65} = \frac{1}{2c_2^2 + 2c_1^2} (L_{56} c_1 + L_{57} c_2),$$

$$L_{66} = \frac{1}{2c_2^2 + 2c_1^2} (L_{57} c_1 - L_{56} c_2),$$

$$L_{67} = \frac{1}{c_2^2 + (r_1 + c_1)^2} (L_{58} (r_1 + c_1) + L_{59} c_2),$$

$$\begin{aligned} L_{68} &= \frac{1}{c_2^2 + (r_1 + c_1)^2} (L_{59}(r_1 + c_1) - L_{58}c_2), \\ L_{69} &= \frac{1}{c_2^2 + c_1^2} (L_{60}c_1 + L_{61}c_2), \quad L_{70} = \frac{1}{c_2^2 + c_1^2} (L_{61}c_1 - L_{60}c_2), \\ L_{72} &= c_1^2 + c_2^2, \quad L_{73} = c_2^2 + (r_1 + c_1)^2, \quad L_{74} = r_1 + c_1. \end{aligned} \quad (3.3.56)$$

Korišćenjem graničnih uslova (3.3.17) za bezdimenzionu temperaturu dobija se da su integracione konstante  $D_1$  i  $D_2$  date izrazima:

$$\begin{aligned} D_2 &= -L_{62} - L_{63} - L_{64} - L_{66} - L_{68} - L_{70}, \\ D_1 &= -\frac{1}{Pr Ec} - D_2 - L_{71}, \end{aligned} \quad (3.3.57)$$

gde je, radi kraćeg zapisa, uvedena oznaka:

$$\begin{aligned} L_{71} &= L_{62} \exp(2r_1) + L_{63} \exp(r_1) + \\ &+ [L_{64} + L_{65} \sin(2c_2) + L_{66} \cos(2c_2)] \exp(2c_1) + \\ &+ [L_{67} \sin(c_2) + L_{68} \cos(c_2)] \exp(r_1 + c_1) + \\ &+ [L_{69} \sin(c_2) + L_{70} \cos(c_2)] \exp(c_1) + \frac{1}{2\Lambda}. \end{aligned} \quad (3.3.58)$$

U II slučaju se dobija da je raspored bezdimenzione temperature dat izrazom:

$$\begin{aligned} \theta(y^*) &= -Pr Ec[S_{15} \exp(2m_1 y^*) + \\ &+ (S_{16} + S_{17} y^* + S_{18} y^{*2}) \exp(2m_2 y^*) + \\ &+ (S_{19} + S_{20} y^*) \exp((m_1 + m_2) y^*) + \\ &+ S_{21} \exp(m_1 y^*) + (S_{22} + S_{23} y^*) \exp(m_2 y^*) + \\ &+ \frac{1}{2\Lambda} y^{*2} + F_1 y^* + F_2], \end{aligned} \quad (3.3.59)$$

gde su  $F_1$  i  $F_2$  integracione konstante.

Uvedene su označke:

$$S_1 = L_{22} B_1 m_1, \quad S_2 = (L_{23} B_2 - L_{24} B_3) m_2,$$

$$S_3 = L_{23}B_3, \quad S_4 = L_{23}B_3m_2,$$

$$S_5 = (m_1^2 + \Lambda)B_1^2 + \frac{S_1^2}{Ha^2},$$

$$S_6 = (B_2m_2 + B_3)^2 + \Lambda B_2^2 + \frac{1}{Ha^2}(S_2 + S_3)^2,$$

$$S_7 = 2B_1 [ m_1 (m_2 B_2 + B_3) + \Lambda B_2 ],$$

$$S_8 = (m_2^2 + \Lambda)B_3^2 + \frac{S_4^2}{Ha^2},$$

$$S_9 = 2 \left[ B_1 B_3 (m_1 m_2 + \Lambda) + \frac{S_1 S_4}{Ha^2} \right],$$

$$S_{10} = 2 \left[ B_2 B_3 (m_2^2 + \Lambda) + B_3^2 m_2 + \frac{S_2 + S_3}{Ha^2} S_4 \right],$$

$$S_{11} = \frac{S_8}{2m_2}, \quad S_{12} = \frac{S_9}{m_1 + m_2},$$

$$S_{13} = \frac{1}{m_2} \left( \frac{S_{10}}{2} - S_{11} \right), \quad S_{14} = \frac{2B_3}{m_2}, \quad S_{15} = \frac{S_5}{4m_1^2},$$

$$S_{16} = \frac{1}{4m_2^2} \left[ S_6 + \frac{S_{11}}{m_2} + \frac{1}{2m_2} \left( \frac{S_8}{m_2} - S_{10} \right) - S_{13} \right],$$

$$S_{17} = \frac{1}{2m_2} \left( -\frac{S_{11}}{m_2} + S_{13} \right), \quad S_{18} = \frac{S_{11}}{2m_2},$$

$$S_{19} = \frac{1}{(m_1 + m_2)^2} \left( S_7 - S_{12} - \frac{S_9}{m_1 + m_2} \right),$$

$$S_{20} = \frac{S_{12}}{m_1 + m_2}, \quad S_{21} = \frac{2B_1}{m_1^2},$$

$$S_{22} = \frac{1}{m_2^2} \left[ -S_{14} + 2 \left( B_2 - \frac{B_3}{m_2} \right) \right], \quad S_{23} = \frac{S_{14}}{m_2}. \quad (3.3.60)$$

Korišćenjem graničnih uslova (3.3.17) za bezdimenzionu temperaturu dobija se da su integracione konstante date izrazima:

$$F_2 = -S_{15} - S_{16} - S_{19} - S_{21} - S_{22},$$

$$F_1 = -F_2 - S_{24} - \frac{1}{Pr Ec}, \quad (3.3.61)$$

gde je, radi kraćeg zapisa, uvedena oznaka:

$$\begin{aligned} S_{24} = & S_{15} \exp(2m_1) + (S_{16} + S_{17} + S_{18}) \exp(2m_2) + \\ & + (S_{19} + S_{20}) \exp(m_1 + m_2) + \\ & + S_{21} \exp(m_1) + (S_{22} + S_{23}) \exp(m_2) + \frac{1}{2\Lambda}. \end{aligned} \quad (3.3.62)$$

U III slučaju se dobija da je raspored bezdimenziione temperature dat izrazom:

$$\begin{aligned} \theta(y^*) = & -Pr Ec[S_{31} \exp(2n_1 y^*) + S_{32} \exp(2n_2 y^*) + \\ & + S_{33} \exp(2n_3 y^*) + S_{34} \exp((n_1 + n_2) y^*) + \\ & + S_{35} \exp((n_1 + n_3) y^*) + S_{36} \exp((n_2 + n_3) y^*) + \\ & + S_{37} \exp(n_1 y^*) + S_{38} \exp(n_2 y^*) + \\ & + S_{39} \exp(n_3 y^*) + \frac{1}{2\Lambda} y^{*2} + G_1 y^* + G_2]. \end{aligned} \quad (3.3.63)$$

gde su  $G_1$  i  $G_2$  integracione konstante, a radi kraćeg zapisa su uvedene oznake:

$$\begin{aligned} S_{25} = & C_1^2 \left[ n_1^2 \left( 1 + \frac{L_{33}^2}{Ha^2} \right) + \Lambda \right], \quad S_{26} = C_2^2 \left[ n_2^2 \left( 1 + \frac{L_{34}^2}{Ha^2} \right) + \Lambda \right], \\ S_{27} = & C_3^2 \left[ n_3^2 \left( 1 + \frac{L_{35}^2}{Ha^2} \right) + \Lambda \right], \\ S_{28} = & 2C_1 C_2 \left[ n_1 n_2 \left( 1 + \frac{L_{33} L_{34}}{Ha^2} \right) + \Lambda \right], \\ S_{29} = & 2C_1 C_3 \left[ n_1 n_3 \left( 1 + \frac{L_{33} L_{35}}{Ha^2} \right) + \Lambda \right], \\ S_{30} = & 2C_2 C_3 \left[ n_2 n_3 \left( 1 + \frac{L_{34} L_{35}}{Ha^2} \right) + \Lambda \right], \\ S_{31} = & \frac{S_{25}}{4n_1^2}, \quad S_{32} = \frac{S_{26}}{4n_2^2}, \quad S_{33} = \frac{S_{27}}{4n_3^2}, \end{aligned}$$

$$\begin{aligned}
 S_{34} &= \frac{S_{28}}{(n_1 + n_2)^2}, S_{35} = \frac{S_{29}}{(n_1 + n_3)^2}, \\
 S_{36} &= \frac{S_{30}}{(n_2 + n_3)^2}, S_{37} = \frac{2C_1}{n_1^2}, \\
 S_{38} &= \frac{2C_2}{n_2^2}, S_{39} = \frac{2C_3}{n_3^2}.
 \end{aligned} \tag{3.3.64}$$

Korišćenjem graničnih uslova (3.3.17) za bezdimenzionalnu temperaturu dobija se da su integracione konstante  $G_1$  i  $G_2$  date izrazima:

$$\begin{aligned}
 G_2 &= -S_{31} - S_{32} - S_{33} - S_{34} - S_{35} - S_{36} - S_{37} - S_{38} - S_{39}, \\
 G_1 &= -G_2 - S_{40} - \frac{1}{Pr Ec},
 \end{aligned} \tag{3.3.65}$$

gde je radi kraćeg zapisa uvedena oznaka:

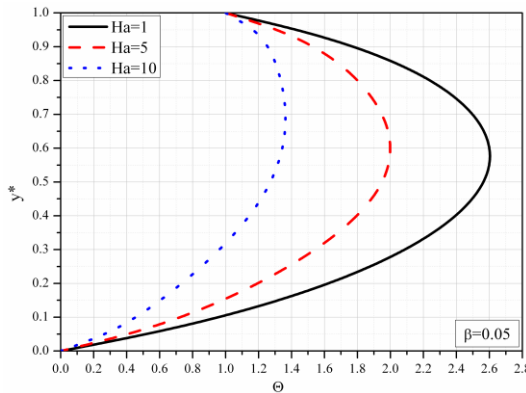
$$\begin{aligned}
 S_{40} &= S_{31} \exp(2n_1) + S_{32} \exp(2n_2) + S_{33} \exp(2n_3) + \\
 &+ S_{34} \exp(n_1 + n_2) + S_{35} \exp(n_1 + n_3) + \\
 &+ S_{36} \exp(n_2 + n_3) + S_{37} \exp(n_1) + \\
 &+ S_{38} \exp(n_2) + S_{39} \exp(n_3) + \frac{1}{2\Lambda}.
 \end{aligned} \tag{3.3.66}$$

Radi jednostavnije i preglednije analize deo dobijenih rezultata predstavljen je u obliku dijagrama na slikama koje slede.

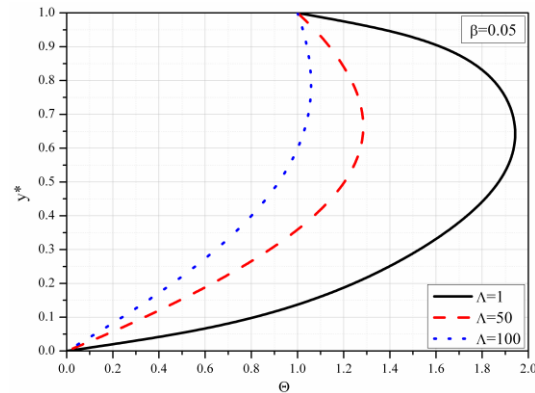
Na slici 3.25 predstavljeni su rasporedi bezdimenzionale temperature za različite vrednosti Hartmann-ovog broja za slučaj kada su na donjem zidu kanala izvori, a na gornjem ponori. Sa ove slike se zapaža da povećanje vrednosti Hartmann-ovog broja tj. povećanje jačine spoljašnjeg primjenjenog magnetnog polja dovodi do sniženja temperature u kanalu. Na gornjem zidu kanala, obzirom da je njegova temperatura viša od temperature donjeg zida, toplotni fluks je istog smera kao i y osa. To znači da se toplota transportuje sa tečnosti ka gornjem zidu iako je gornji zid na višoj temperaturi od donjeg. Razlog za ovakvo ponašanje je u tome da je generisanje toplotne energije uzrokovano viskoznom i Joule-ovom disipacijom tako veliko da se ova energija ne može sva odvesti preko donjeg zida.

Ovo je i razlog zašto se sve maksimalne vrednosti temperature, za sve vrednosti  $Ha$ , nalaze u gornjoj polovini preseka kanala.

Ovi zaključci se odnose i na drugi slučaj tj. kada su izvori na gornjem zidu, a ponori na donjem zidu kanala.



Slika 3.25 Bezdimenziona temperatura za različite vrednosti  $Ha$



Slika 3.26 Bezdimenziona temperatura za različite vrednosti  $\Lambda$

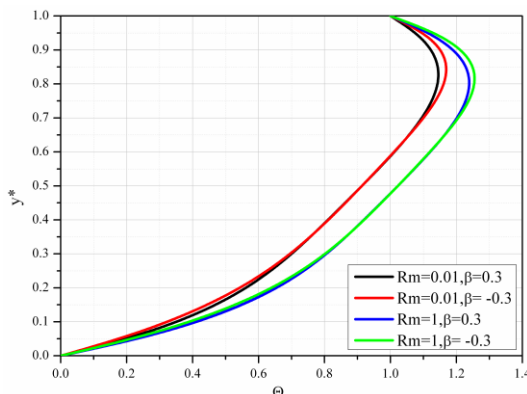
Na slici 3.26 predstavljeni su rasporedi bezdimenzione temperature za različite vrednosti faktora poroznosti tj. za različite propustljivosti sredine. Zapaža se da većim vrednostima faktora poroznosti odnosno manjoj propustljivosti sredine odgovaraju niže temperature u kanalu. Transport toplote sa tečnosti ka gornjem zidu se smanjuje sa smanjenjem propustljivosti sredine tj. sa povećenjem faktora poroznosti. Maksimalne temperature se postižu u gornjoj polovini preseka kanala.

Ovi zaključci važe i za slučaj kada su izvori na gornjem, a ponori na donjem zidu.

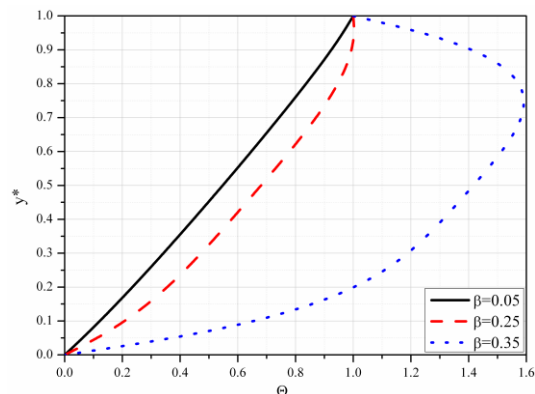
Na slici 3.27 prikazani su rasporedi bezdimenzione temperature za različite vrednosti Reynolds-ovog magnetnog broja i veličine  $\beta$ . Većim vrednostima Reynolds-ovog magnetnog broja odgovaraju više temperature u kanalu. Maksimalne vrednosti temperature su bliže gornjem zidu kanala. Toplotni fluks na gornjem zidu kanala ima smer kao i  $y$  osa što znači da se toplota sa tečnosti

transportuje ka gornjem zidu iako je on na višoj temperaturi od donjeg zida. Većim vrednostima  $Rm$  broja odgovara veća količina transportovane topline sa tečnosti ka gornjem zidu. Ovi zaključci odnose se na oba slučaja strujanja, i za  $\beta > 0$  i za  $\beta < 0$ .

Na slici 3.28 prikazani su rasporedi bezdimenzione temperature za različite vrednosti veličine  $\beta$  za slučaj kada su na donjem zidu kanala izvori, a na gornjem zidu kanala ponori. Sa ove slike se zapaža da većim vrednostima  $\beta$  odgovaraju više temperature u kanalu. Za veće vrednosti  $\beta$  toplotni fluks na gornjem zidu kanala ima smer kao i  $y$  osa što znači da se toplota transportuje sa tečnosti ka gornjem zidu kanala. Većim vrednostima  $\beta$  odgovara veća količina transportovane topline sa tečnosti ka gornjem zidu. Za  $\beta = 0$  na gornjem zidu neće biti transporta topline.



Slika 3.27 Bezdimenziona temperatura za različite vrednosti  $Rm$  i  $\beta$

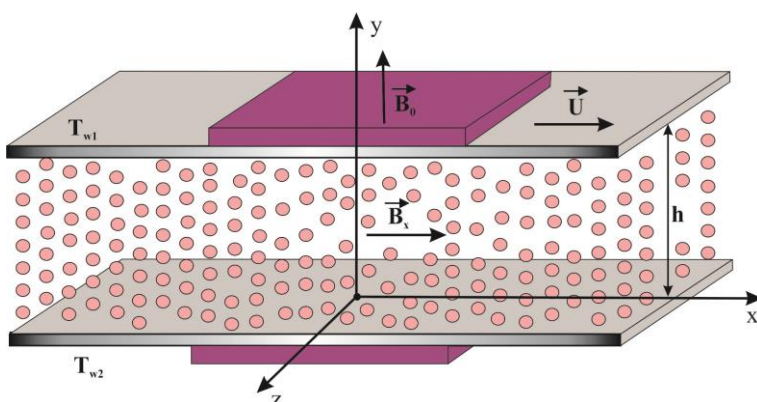


Slika 3.28 Bezdimenziona temperatura za različite vrednosti  $\beta$

Ovi zaključci se odnose i na slučaj  $\beta < 0$ , s tim što se onda u razmatranju uzima apsolutna vrednost veličine  $\beta$ . U oba slučaja su maksimalne vrednosti temperatura u gornjoj polovini poprečnog preseka kanala.

### 3.4 Poiseuille-Couette-ovo MHD strujanje u poroznoj sredini sa uticajem indukovanih magnetnih polja

U ovom poglavlju se razmatra magnetno hidrodinamičko (MHD) strujanje fluida i razmena toplote u poroznom kanalu čiji su zidovi horizontalni. Donji zid je nepokretan, njegova temperatura je konstantna i iznosi  $T_{w2}$ . Gornji zid se kreće konstantnom brzinom intenziteta  $U$ , paralelno donjem zidu. Temperatura gornjeg zida je konstantna i iznosi  $T_{w1}$ . Primenjeno spoljašnje magnetno polje je homogeno, upravno na zidove kanala, smera od donjeg ka gornjem zidu, a intenzitet njegove magnetne indukcije je  $B_0$ . U pravcu strujanja fluida, paralelno zidovima kanala, javlja se indukovano magnetno polje intenziteta  $B_x$ . Pretpostavljeno je da se smer indukovanih magnetnih polja poklapa sa smerom brzine pokretnog zida kanala. Zapaža se da se ovaj model strujanja fluida i prenosa toplote razlikuje od modela izučenog u prethodnom poglavlju što je posledica kretanja gornjeg zida kanala.



Slika 3d Fizički model strujanja

### 3.4.1 Matematički model

Sprovodeći istu analizu kao i u poglavlju 3.3 dolazi se do istog sistema jednačina (3.3.4), (3.3.5), (3.3.6), (3.3.7) i nešto drugačijih graničnih uslova:

$$\begin{aligned} u(0) &= 0, \quad u(h) = U, \\ B_x(0) &= 0, \quad B_x(h) = 0, \\ T(0) &= T_{w2}, \quad T(h) = T_{w1}, \end{aligned} \tag{3.4.1}$$

koji se razlikuju od uslova (3.3.8) jer je ovde brzina kretanja fluida na gornjem zidu kanala jednaka  $U$  dok je u prethodnom poglavlju 3.3 jednaka nuli što odgovara slučaju nepokretnog zida. Sistem jednačina (3.3.4) - (3.3.7) i granični uslovi (3.4.1) predstavljaju matematički model ovde opisanog strujanja (fizičkog modela).

Za transformisanje ovog matematičkog modela na bezdimenzionalni matematički model uvode se bezdimenzione veličine, kao i u poglavlju 3.3, izrazima (3.3.9) s tim što sada u ovim izrazima veličina  $U$  predstavlja intenzitet brzine gornjeg zida, a ne veličinu datu izrazom (3.3.10). Treba obratiti pažnju na činjenicu da će veličina  $U$  predstavljati intenzitet brzine gornjeg zida kanala u celom ovom poglavlju.

Jednačina (3.3.12) u bezdimenzionom obliku sada je:

$$\frac{d^2 u^*}{dy^*} - \beta Re \frac{du^*}{dy^*} - \Lambda u^* + \frac{Ha^2}{Rm} \frac{db}{dy^*} + G = 0, \tag{3.4.2}$$

gde je uvedena oznaka:

$$G = \frac{\rho h^2}{\mu U}, \tag{3.4.3}$$

a ostale oznake imaju iste zapise kao i u poglavlju 3.3. Zapaža se da se jednačina (3.4.2) razlikuje od odgovarajuće jednačine u poglavlju 3.3 u poslednjem sabirku koji je sada  $G$ , a bio je jednak jedinici. Jednačine (3.3.5), (3.3.6) i (3.3.7) u bezdimenzionim oblicima imaju iste zapise kao i u poglavlju 3.3, a to su jednačine (3.3.13), (3.3.14) i (3.3.15).

Granični uslovi (3.4.1) transformišu se na bezdimenzione granične uslove:

$$\begin{aligned} u^*(0) &= 0, \quad u^*(1) = 1, \\ b(0) &= 0, \quad b(1) = 0, \\ \Theta(0) &= 0, \quad \Theta(1) = 1, \end{aligned} \quad (3.4.4)$$

koji se razlikuju od odgovarajućih graničnih uslova u poglavlju 3.3.

Dakle, bezdimenzijski matematički model ovog strujanja predstavljaju jednačine (3.4.2), (3.3.13), (3.3.14), (3.3.15) i granični uslovi (3.4.4).

Za dalje teorijsko izučavanje opisanog problema neophodno je rešiti ove jednačine sa odgovarajućim graničnim uslovima (3.4.4).

### **3.4.2 Rasporedi bezdimenzione uzdužne brzine i bezdimenzione magnetne indukcije indukovanih magnetnog polja**

Ovde se prelazi na rešavanje jednačina (3.4.2), (3.3.13), (3.3.14), (3.3.15) sa graničnim uslovima (3.4.4). U tom cilju se iz jednačine (3.4.2) dobija da je:

$$\frac{db}{dy^*} = \frac{Rm}{Ha^2} \left( \beta Re \frac{du^*}{dy^*} + \Lambda u^* - \frac{d^2 u^*}{dy^{*2}} - G \right), \quad (3.4.5)$$

zatim se ovaj izraz diferencira po  $y^*$  i tako dobijeni izraz i izraz (3.4.5) zamenjuju u jednačini (3.3.13) koja se tako transformiše na jednačinu:

$$\frac{d^3 u^*}{dy^{*3}} - a_1 \frac{d^2 u^*}{dy^{*2}} + a_2 \frac{du^*}{dy^*} + a_3 u^* = \beta Rm G, \quad (3.4.6)$$

gde su veličine  $a_1, a_2, a_3$  iste kao i u poglavlju 3.3 i date su izrazima (3.3.21).

Jednačina (3.4.6) razlikuje se od odgovarajuće jednačine (3.3.20) samo u izrazu na desnoj strani jednačine.

Kao i u poglavlju 3.3 i ovde se razlikuju tri slučaja za određivanje rešenja jednačine (3.4.6) što zavisi od rešenja odgovarajuće karakteristične jednačine.

### I slučaj

Ovaj slučaj odgovara I slučaju iz poglavlja 3.3 i onda je rešenje jednačine (3.4.6) dato izrazom:

$$\begin{aligned} u^*(y^*) = & A_1 \exp(r_1 y^*) + \\ & + [A_2 \cos(c_2 y^*) + A_3 \sin(c_2 y^*)] \exp(c_1 y^*) + \frac{G}{\Lambda}, \end{aligned} \quad (3.4.7)$$

gde su veličine  $r_1, c_1, c_2$  date izrazima (3.3.30) i (3.3.32), a  $A_1, A_2$  i  $A_3$  su integracione konstante. Izraz (3.4.7) se razlikuje od odgovarajućeg izraza (3.3.34) samo u poslednjem sabirku tj. u partikularnom rešenju jednačine (3.4.6) koje se razlikuje od partikularnog rešenja jednačine (3.3.20).

### II slučaj

Ovaj slučaj odgovara slučaju II u poglavlju 3.3 i onda je rešenje jednačine (3.4.6) dato izrazom:

$$u^*(y^*) = B_1 \exp(m_1 y^*) + B_2 \exp(m_2 y^*) + B_3 y^* \exp(m_2 y^*) + \frac{G}{\Lambda}, \quad (3.4.8)$$

gde su veličine  $m_1$  i  $m_2$  date izrazima (3.3.36), a  $B_1, B_2$  i  $B_3$  su integracione konstante koje treba odrediti. Izraz (3.4.8) se razlikuje od odgovarajućeg izraza (3.3.7) samo poslednjim sabirkom kao i u slučaju I.

### III slučaj

Ovaj slučaj odgovara slučaju III u poglavlju 3.3 i onda je rešenje jednačine (3.4.6) dato izrazom:

$$u^*(y^*) = C_1 \exp(n_1 y^*) + C_2 \exp(n_2 y^*) + C_3 \exp(n_3 y^*) + \frac{G}{\Lambda}, \quad (3.4.9)$$

gde su veličine  $n_1$ ,  $n_2$  i  $n_3$  date izrazima (3.3.38), a  $C_1$ ,  $C_2$  i  $C_3$  su integracione konstante. I ovaj izraz se razlikuje od odgovarajućeg izraza (3.3.40) samo poslednjim sabirkom kao i u prethodna dva slučaja.

Sada se prelazi na određivanje rasporeda bezdimenzijsne magnetne indukcije indukovanih magnetnih polja u sva tri slučaja. U tom cilju koristi se jednačina (3.4.5) i dobija se da je:

$$b(y^*) = \frac{Rm}{Ha^2} \left( \beta Re u^* + \Lambda \int u^* dy^* - \frac{du^*}{dy^*} - Gy^* + C \right), \quad (3.4.10)$$

gde je  $C$  integraciona konstanta.

Zapaža se da će se  $b(y^*)$  razlikovati u slučajevima I, II i III jer se i rasporedi brzina od kojih zavisi izraz (3.4.10) razlikuju. Zato je potrebno odrediti bezdimenzijsne rasporede magnetne indukcije indukovanih magnetnih polja u sva tri slučaja, što će se nadalje i učiniti.

### I slučaj

Zamenjujući izraz (3.4.7) za raspored brzine u izrazu (3.4.10) i sprovodeći naznačene operacije dobija se:

$$\begin{aligned} b(y^*) = & \frac{Rm}{Ha^2} \{ L_{18} \exp(r_i y^*) + \\ & + [L_{19} \cos(c_2 y^*) + L_{20} \sin(c_2 y^*)] \exp(c_1 y^*) + \beta Re \frac{G}{\Lambda} + A_4 \}, \end{aligned} \quad (3.4.11)$$

gde su veličine  $L_{18}$ ,  $L_{19}$  i  $L_{20}$  date izrazima (3.3.46), a  $A_4$  je integraciona konstanta.

### II slučaj

Zamenjujući izraz (3.4.8) za raspored bezdimenzijsne uzdužne brzine u izrazu (3.4.10) i sprovodeći naznačene operacije dobija se:

$$b(y^*) = \frac{Rm}{Ha^2} [L_{22}B_1 \exp(m_1 y^*) + (L_{23}B_2 - L_{24}B_3) \exp(m_2 y^*) + \\ + L_{23}B_3 y^* \exp(m_2 y^*) + \frac{\beta \operatorname{Re} G}{\Lambda} + B_4], \quad (3.4.12)$$

gde su veličine  $L_{22}$ ,  $L_{23}$  i  $L_{24}$  date izrazima (3.3.48), a  $B_4$  je integraciona konstanta.

### III slučaj

Zamenjujući izraz (3.4.9) u izrazu (3.4.10) i sprovodeći naznačene operacije dobija se da je:

$$b(y^*) = \frac{Rm}{Ha^2} [L_{33}C_1 \exp(n_1 y^*) + L_{34}C_2 \exp(n_2 y^*) + \\ + L_{35}C_3 \exp(n_3 y^*) + \frac{\beta \operatorname{Re} G}{\Lambda} + C_4], \quad (3.4.13)$$

gde su veličine  $L_{33}$ ,  $L_{34}$  i  $L_{35}$  date izrazima (3.3.52), a  $C_4$  je integraciona konstanta.

Sada je potrebno odrediti sve integracione konstante. U slučaju I to su:  $A_1$ ,  $A_2$ ,  $A_3$  i  $A_4$ ; u slučaju II to su:  $B_1$ ,  $B_2$ ,  $B_3$  i  $B_4$ ; i u slučaju III to su:  $C_1$ ,  $C_2$ ,  $C_3$  i  $C_4$ . Za određivanje ovih konstanti koriste se granični uslovi za bezdimenzionu uzdužnu brzinu i bezdimenziono indukovano magnetno polje dati izrazima (3.4.4). Ako se u svakom od ova tri slučaja iskoriste granični uslovi (3.4.4) dobiće se sledeće reprezentacije integracionih konstanti:

u slučaju I su:

$$A_2 = \frac{L_{16} - G(L_5 L_{17} + L_{10} L_{16})}{L_9 L_{16} + L_5 L_{15}},$$

$$A_1 = -A_2 - \frac{G}{\Lambda},$$

$$A_3 = \frac{L_{15} A_2 + G L_{17}}{L_{16}},$$

$$A_4 = -L_{13}A_2 - L_8A_3 - GL_{14}, \quad (3.4.14)$$

gde su veličine  $L_i$  date izrazima (3.3.44).

U slučaju II su:

$$\begin{aligned} B_1 &= \frac{1}{L_{31} - L_{32}} + \frac{G}{\Lambda} \frac{L_{32} - 1}{L_{31} - L_{32}}, \\ B_2 &= -B_1 - \frac{G}{\Lambda}, \\ B_3 &= \frac{1}{L_{30}} (L_{28}B_1 + L_{29}B_2), \\ B_4 &= -L_{25}B_1 - L_{26}B_2 - L_{27}B_3 - \frac{\beta \operatorname{Re} G}{\Lambda}, \end{aligned} \quad (3.4.15)$$

gde su veličine  $L_i$  date izrazima (3.3.50).

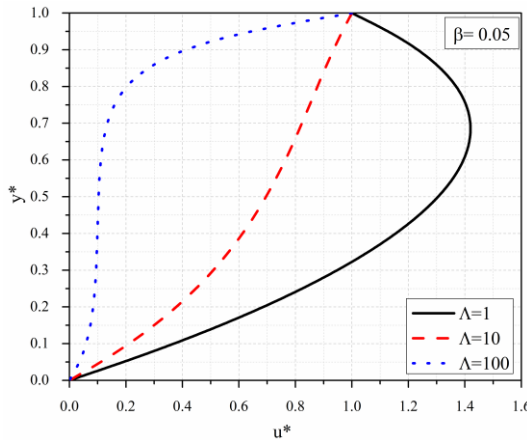
U slučaju III su:

$$\begin{aligned} C_1 &= \frac{L_{45}}{L_{42}L_{45} - L_{43}L_{44}} + \frac{G}{\Lambda} \frac{L_{43} - L_{45}}{L_{42}L_{45} - L_{43}L_{44}}, \\ C_2 &= -\frac{1}{L_{45}} \left( L_{44}C_1 + \frac{G}{\Lambda} \right), \\ C_3 &= -\frac{1}{L_{41}} (L_{39}C_1 + L_{40}C_2), \\ C_4 &= -L_{33}C_1 - L_{34}C_2 - L_{35}C_3 - \frac{\beta \operatorname{Re} G}{\Lambda}, \end{aligned} \quad (3.4.16)$$

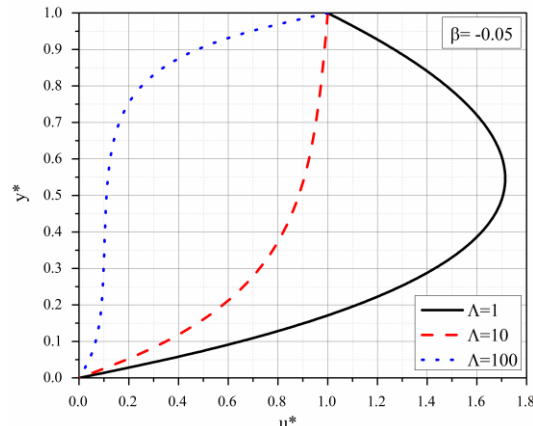
gde su veličine  $L_i$  date izrazima (3.3.54).

Određivanjem ovih konstanti postale su poznate bezdimenzijsne uzdužne brzine i bezdimenzijsne magnetne indukcije indukovanih magnetnih polja u sva tri slučaja.

Deo dobijenih rezultata i njihova analiza slede u nastavku.

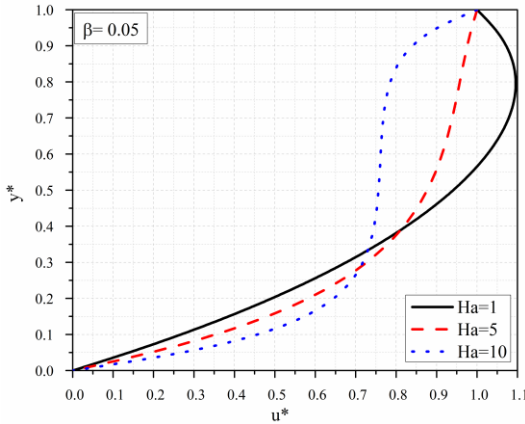


Slika 3.29a Bezdimenziona uzdužna brzina za različite vrednosti  $\Lambda$ ;  $\beta = 0.05$

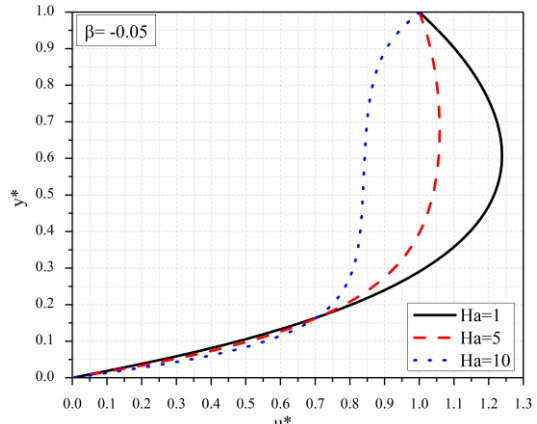


Slika 3.29b Bezdimenziona uzdužna brzina za različite vrednosti  $\Lambda$ ;  $\beta = -0.05$

Na slikama 3.29a i 3.29b su predstavljeni rasporedi bezdimenziione uzdužne brzine za različite vrednosti faktora poroznosti, a za slučajeve kada su na donjem zidu izvori, a na gornjem zidu ponori i obrnuto kada su na gornjem zidu kanala izvori, a na donjem zidu ponori respektivno. Sa ovih slika se zapaža da sa povećenjem faktora poroznosti tj. sa smanjenjem propustljivosti sredine brzina strujanja tečnosti u kanalu opada, a sa tim opada i srednja brzina i protok tečnosti kroz kanal. Za velike vrednosti faktora poroznosti uzdužna brzina je u velikom delu poprečnog preseka kanala vrlo mala, a onda u blizini gornjeg zida naglo raste da bi na samom zidu postigla najveću brzinu. Većim vrednostima faktora poroznosti, na donjem zidu kanala, odgovaraju veći tangencijalni naponi, a na gornjem zidu kanala manji tangencijalni naponi (osim za vrlo velike vrednosti faktora poroznosti). Položaj maksimalne uzdužne brzine, koji se posebno zapaža za male vrednosti faktora poroznosti, je u gornjoj polovini poprečnog preseka kanala u prvom slučaju, a u donjoj polovini u drugom slučaju. Kod velikih vrednosti faktora poroznosti postaje zanemarljiv uticaj izvora i ponora na pločama.



Slika 3.30a Bezdimenziona uzdužna brzina za različite vrednosti  $Ha$ ,  $\beta = 0.05$

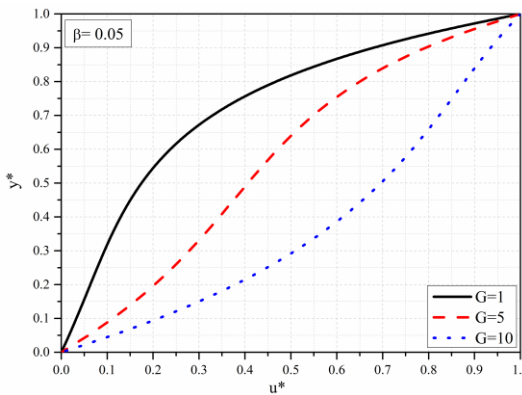


Slika 3.30b Bezdimenziona uzdužna brzina za različite vrednosti  $Ha$ ,  $\beta = -0.05$

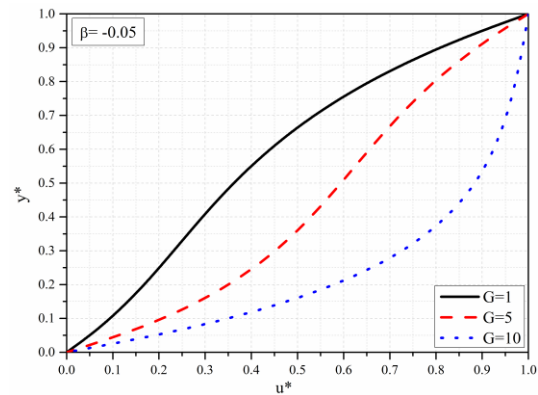
Na slikama 3.30a i 3.30b dati su rasporedi bezdimenzijsone uzdužne brzine za različite vrednosti Hartmann-ovog broja, a za slučaj kada su na donjem zidu izvori, a na gornjem zidu kanala ponori i obrnuto kada su na gornjem zidu izvori, a na donjem zidu kanala ponori respektivno. Sa ovih slika se zapaža da većim vrednostima Hartmann-ovog broja odgovaraju, u većem delu poprečnog preseka kanala, manji intenziteti uzdužne brzine tečnosti u kanalu, a onda i manje vrednosti srednje uzdužne brzine i protoka u kanalu. Većim vrednostima  $Ha$  broja odgovaraju veće vrednosti tangencijalnog napona na donjem zidu, a gornjem zidu odgovaraju manje vrednosti tangencijalnog napona, osim za vrlo velike vrednosti  $Ha$  broja. Položaji maksimuma brzine, su u oba razmatrana slučaja, u gornjoj polovini poprečnog preseka, a bliži su gornjem zidu kanala u prvom slučaju.

Na slikama 3.31a i 3.31b dati su rasporedi bezdimenzijsone uzdužne brzine za različite vrednosti veličine  $G$ , a za vrednosti  $\beta = 0.05$  i  $\beta = -0.05$  respektivno. Veličina  $G$  predstavlja meru odnosa pada pritiska duž strujanja i brzine ploče jer su  $\mu$  i  $h$  konstantne veličine. Strujanje izazvano samo kretanjem ploče poznato je kao Couette-ovo strujanje, a strujanje izazvano samo padom pritiska poznato je kao Poisseuille-ovo strujanje. Sa ovih slika se zapaža da većim vrednostima veličine  $G$  tj. većem uticaju Poisseuille-ovog strujanja odgovaraju veći intenziteti uzdužne

brzine, a onda i veće srednje vrednosti uzdužne brzine i veći protoci tečnosti u kanalu.



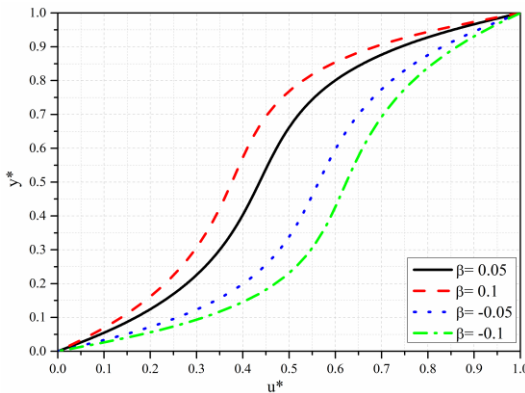
Slika 3.31a Bezdimenziona uzdužna brzina  
za različite vrednosti  $G$ ,  $\beta = 0.05$



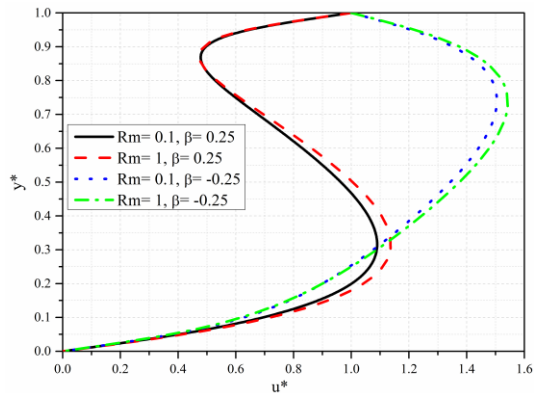
Slika 3.31b Bezdimenziona uzdužna brzina  
za različite vrednosti  $G$ ,  $\beta = -0.05$

Većim vrednostima veličine  $G$  odgovaraju veći tangencijalni naponi na donjem zidu, a manji tangencijalni naponi na gornjem zidu kanala. Ovi zaključci odnose se i na slučaj kada su na donjem zidu kanala izvori, a na gornjem ponori, a i za obratni slučaj. Ovi zaključci su možda na prvi pogled neočekivani, ali su sasvim realni ako se pogleda jednačina (3.4.2) iz koje se odmah zaključuje da brzina direktno zavisi od veličine  $G$ . Ovo dovodi do zaključka da je uticaj uzdužnog pada pritiska na uzdužnu brzinu veći od uticaja brzine gornjeg zida na istu.

Sa slike 3.32, za pozitivne vrednosti  $\beta$ , se zapaža da većoj vrednosti  $\beta$  odgovara manji intenzitet uzdužne brzine, manja srednja brzina i protok u kanalu. Takođe većoj vrednosti  $\beta$  odgovara manja vrednost tangencijalnog napona na donjem zidu kanala, a veće vrednosti tangencijalnog napona na gornjem zidu kanala. Za negativne vrednosti  $\beta$  se zapaža da većoj absolutnoj vrednosti  $|\beta|$  odgovara veći tangencijalni napon na donjem zidu, a manji tangencijalni napon na gornjem pokretnom zidu. Na ovoj slici se vidi značajan uticaj poprečne brzine na raspored uzdužne brzine u kanalu.

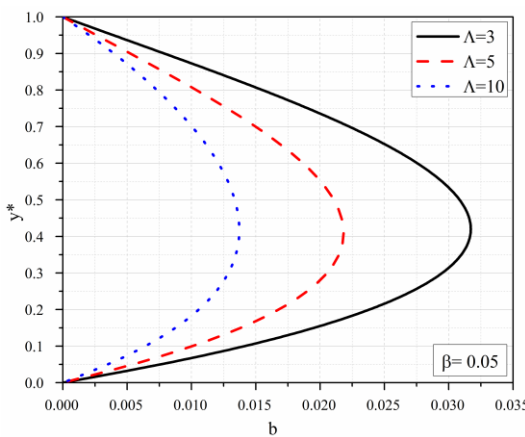


Slika 3.32 Bezdimenziona uzdužna brzina za različite vrednosti  $\beta$

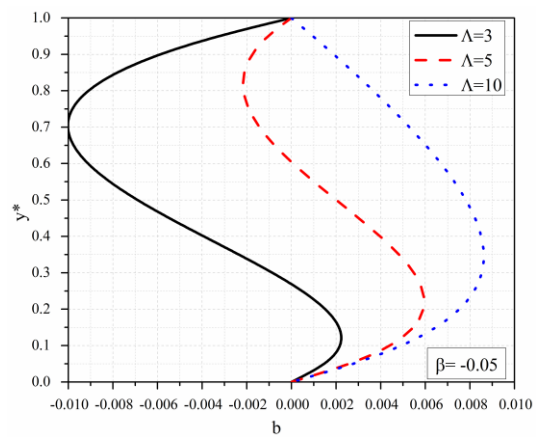


Slika 3.33 Bezdimenziona uzdužna brzina za različite vrednosti  $Rm$  i  $\beta$

Na slici 3.33 prikazani su rasporedi bezdimenziione uzdužne brzine u kanalu za različite vrednosti Reynolds-ovog magnetnog broja i to za slučaj kada su na donjem zidu izvori, a na gornjem zidu ponori i obrnuto. Zapaža se da većim vrednostima  $Rm$  broja odgovaraju veće uzdužne brzine u kanalu dok su tangencijalni naponi na zidovima skoro nepromenjeni. Ovi zaključci odnose se na oba slučaja.



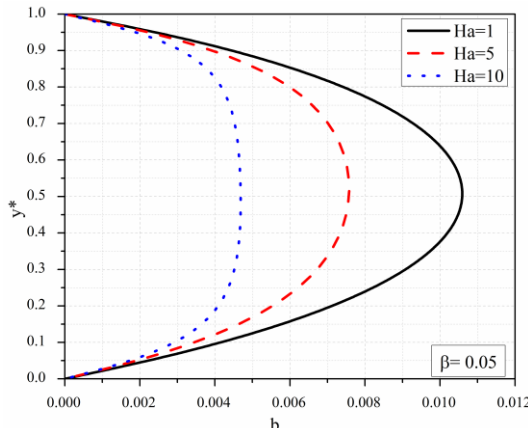
Slika 3.34a Bezdimenziona indukcija indukovanih magnetnih polja za različite vrednosti  $\Lambda$ ,  $\beta = 0.05$



Slika 3.34b Bezdimenziona indukcija indukovanih magnetnih polja za različite vrednosti  $\Lambda$ ,  $\beta = -0.05$

Na slikama 3.34a i 3.34b dati su rasporedi bezdimenziione indukcije indukovaniog magnetnog polja za različite vrednosti faktora poroznosti za slučaj kada su na donjem zidu kanala izvori, a na gornjem zidu kanala ponori i za slučaj kada su na gornjem zidu kanala izvori, a na donjem zidu ponori, respektivno. Sa slike 3.34a se zapaža da većim vrednostima faktora poroznosti tj. manjim propustljivostima kanala odgovaraju manji intenziteti indukcije indukovaniog magnetnog polja. Indukovano magnetno polje je smera uzdužne brzine u kanalu za sve vrednosti faktora poroznosti prikazane na ovoj slici.

Sa slike 3.34b se zapaža da za različite vrednosti parametra poroznosti indukovano magnetno polje menja i svoj smer. Tako je za  $\Lambda = 3$  tj. za najveću propustljivost kanala, od posmatranih, smer indukovaniog magnetnog polja u manjem delu poprečnog preseka kanala isti sa smerom uzdužne brzine tečnosti u kanalu dok je u većem delu poprečnog preseka kanala suprotnog smera. Maksimalna vrednost indukcije indukovaniog magnetnog polja je u gornjoj polovini poprečnog preseka. Za propustljivost kanala kojoj odgovara faktor poroznosti  $\Lambda = 5$  u većem delu poprečnog preseka kanala smer indukovaniog magnetnog polja se poklapa sa smerom uzdužne brzine tečnosti u kanalu, dok se u manjem delu poprečnog preseka ovi smerovi razlikuju (suprotni su). Maksimalni intenzitet indukcije indukovaniog magnetnog polja je u donjoj polovini kanala. Za najmanju ovde posmatranu propustljivost kanala kojoj odgovara faktor poroznosti  $\Lambda = 10$ , smer indukovaniog magnetnog polja isti je sa smerom uzdužne brzine tečnosti u kanalu u celom poprečnom preseku kanala. Maksimalni intenzitet indukcije indukovaniog magnetnog polja je u donjoj polovini poprečnog preseka kanala.



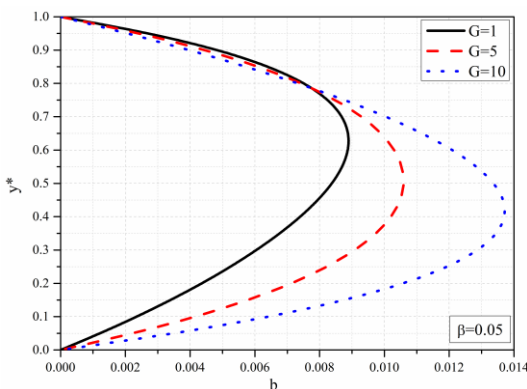
Slika 3.35 Bezdimenzionalna indukcija indukovanih magnetnih polja za različite vrednosti  $Ha$ ,  $\beta = 0,05$

Na slici 3.35 predstavljeni su rasporedi bezdimenziione indukcije indukovanih magnetnih polja za različite vrednosti Hartmann-ovog broja za slučaj kada su na donjem zidu kanala izvori, a na gornjem zidu kanala ponori. Sa slike se zapaža da većim vrednostima Hartmann-ovog broja tj. primjenjom spoljašnjem magnetnom polju većeg intenziteta odgovaraju manji intenziteti indukovanih magnetnih polja. Indukovano polje je smera uzdužne brzine tečnosti u kanalu. Zapaža se i da veće vrednosti Hartmann-ovog broja "poravnavaju" profil bezdimenziione indukcije indukovanih magnetnih polja. Ovi zaključci se odnose na slučaj prikazan na slici a, i na slučaj kada su na gornjem zidu kanala izvori a na donjem zidu ponori. Opšti zaključak je da veći intenzitet spoljašnjeg primjenjeg magnetnog polja smanjuje brzinu elektroprovodnog fluida, a samim tim i indukovano magnetno polje koje nastaje kao posledica međusobne interakcije strujanja elektroprovodnog fluida i magnetnog polja.

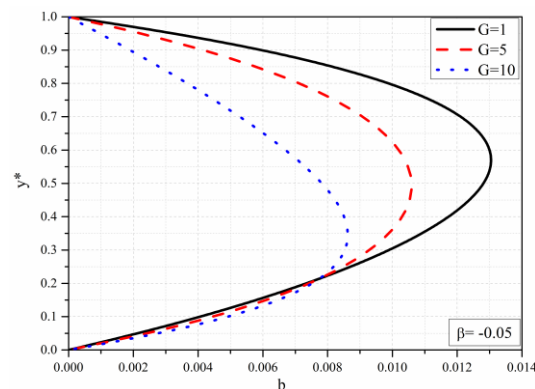
Na slikama 3.36a i 3.36b predstavljeni su rasporedi bezdimenziione indukcije indukovanih magnetnih polja za različite vrednosti veličine  $G$ . Slučaj a odgovara pozitivnoj vrednosti parametra  $\beta$ , a slučaj b negativnoj vrednosti  $\beta$ , čime se definišu izvori i ponori na pločama. Za oba slučaja je faktor poroznosti  $\Lambda = 10$ . Zapaža se da je u oba slučaja smer indukovanih magnetnih polja, za sve vrednosti

### Poglavlje 3

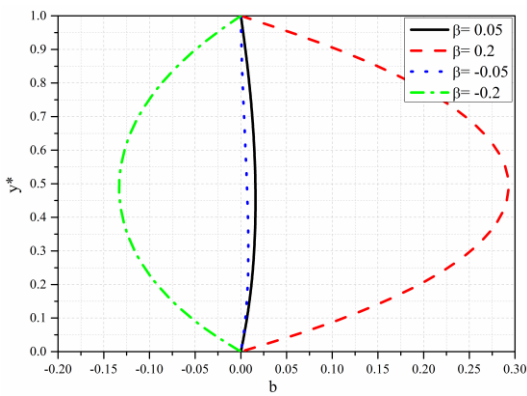
veličine  $G$ , isti sa smerom uzdužne brzine u kanalu. Sa slike 3.36a se zapaža da većim vrednostima veličine  $G$  odgovaraju veće vrednosti intenziteta magnetne indukcije indukovanih magnetnog polja u većem delu poprečnog preseka kanala. Za slučaj prikazan na slici 3.36b se zaključuje da većim vrednostima veličine  $G$  odgovaraju manji intenziteti magnetne indukcije indukovanih magnetnog polja u većem delu poprečnog preseka kanala. U oba slučaja sa porastom veličine  $G$  položaji maksimalnih intenziteta indukovanih magnetnog polja se pomjeraju ka donjem zidu. Ovi položaji su bliži donjem zidu za slučaj prikazan na slici 3.36b što se može objasniti smerom poprečne brzine tečnosti u kanalu.



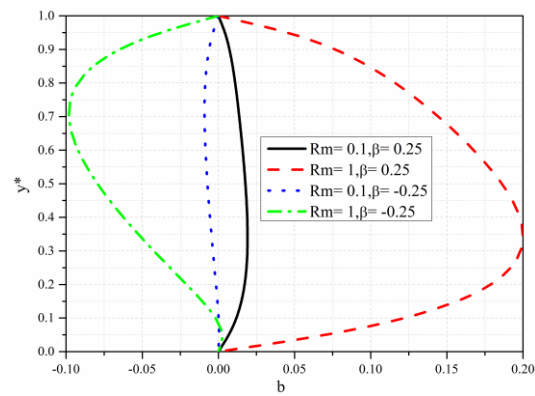
Slika 3.36a Bezdimentziona indukcija indukovanih magnetnog polja za različite vrednosti  $G$ ,  $\beta = 0.05$



Slika 3.36b Bezdimentziona indukcija indukovanih magnetnog polja za različite vrednosti  $G$ ,  $\beta = -0.05$



Slika 3.37 Bezdimentziona indukcija indukovanih magnetnog polja za različite vrednosti  $\beta$



Slika 3.38 Bezdimentziona indukcija indukovanih magnetnog polja za različite vrednosti  $Rm$  i  $\beta$

Na slici 3.37 predstavljeni su rasporedi bezdimenzione indukcije indukovanih magnetnih polja za različite vrednosti veličine  $\beta$ , a za konstantne veličine  $Rm$ ,  $Ha$ ,  $Re$  i  $\Lambda$ . Sa ove slike se zapaža da je za slučaj kada su izvori na donjem zidu kanala, a ponori na gornjem zidu kanala smer indukovanih magnetnih polja isti sa smerom uzdužne brzine tečnosti u kanalu. U ovom slučaju većim vrednostima veličine  $\beta$  odgovaraju veći intenziteti indukovanih magnetnih polja. U drugom slučaju tj. za  $\beta < 0$  za male vrednosti  $|\beta|$  smer indukovanih magnetnih polja se poklapa sa smerom uzdužne brzine tečnosti u kanalu, dok je za veće vrednosti  $|\beta|$  smer indukovanih magnetnih polja suprotan smeru uzdužne brzine tečnosti u kanalu. Većim vrednostima  $|\beta|$  odgovaraju veći intenziteti indukovanih magnetnih polja.

Na slici 3.38 predstavljeni su rasporedi bezdimenzione magnetne indukcije indukovanih magnetnih polja za različite vrednosti Reynolds-ovog magnetnog broja za slučajeve ka su  $\beta < 0$  i  $\beta > 0$ . Sa ove slike se zapaža da je u prvom slučaju smer indukovanih magnetnih polja suprotan smeru uzdužne brzine tečnosti u kanalu. Većim vrednostima  $Rm$  broja odgovaraju veći intenziteti magnetne indukcije indukovanih magnetnih polja. U prvom slučaju su položaji maksimalnih intenziteta indukcije bliži donjem zidu dok su u drugom slučaju ovi položaji bliži gornjem zidu kanala.

### 3.4.3 Raspored bezdimenzione temperature

Za određivanje rasporeda bezdimenzione temperature treba rešiti jednačinu (3.3.14) sa graničnim uslovima (3.3.17). Dakle, treba rešiti jednačinu:

$$\frac{d^2\Theta}{dy^{*2}} = -Pr Ec \left[ \left( \frac{du^*}{dy^*} \right)^2 + \Lambda u^{*2} + \frac{Ha^2}{Rm^2} \left( \frac{db}{dy^*} \right)^2 \right], \quad (3.4.17)$$

sa graničnim uslovima (3.3.17) za bezdimenzionu temperaturu.

U I slučaju, posle unošenja izraza za bezdimenzionu brzinu (3.4.7) i izraza za bezdimenzionu magnetnu indukciju indukovanih magnetnih polja (3.4.11) u jednačinu (3.4.17) i dvostrukih integracija tako dobijene jednačine dolazi se do izraza za bezdimenzionu temperaturu u obliku:

$$\begin{aligned} \theta(y^*) = & -Pr Ec \{ L_{62} \exp(2r_l y^*) + GL_{63} \exp(r_l y^*) + \\ & [L_{64} + L_{65} \sin(2c_2 y^*) + L_{66} \cos(2c_2 y^*)] \exp(2c_1 y^*) + \\ & + [L_{67} \sin(c_2 y^*) + L_{68} \cos(c_2 y^*)] \exp((r_l + c_1)y^*) + \\ & + G[L_{69} \sin(c_2 y^*) + L_{70} \cos(c_2 y^*)] \exp(c_1 y^*) + \\ & + \frac{G^2}{2\Lambda} y^{*2} + D_1 y^* + D_2 \}, \end{aligned} \quad (3.4.18)$$

u kome su  $D_1$  i  $D_2$  integracione konstante. Koristeći granične uslove (3.3.17) dobija se da su integracione konstante date izrazima

$$\begin{aligned} D_2 &= -L_{62} - L_{64} - L_{66} - L_{68} - G(L_{63} + L_{70}), \\ D_1 &= -\frac{1}{Pr Ec} - D_2 - L_{71}^*, \end{aligned} \quad (3.4.19)$$

gde je, radi kraćeg zapisa, uvedena oznaka:

$$\begin{aligned}
 L_{71}^* = & L_{62} \exp(2r_1) + GL_{63} \exp(r_1) + \\
 & + [L_{64} + L_{65} \sin(2c_2) + L_{66} \cos(2c_2)] \exp(2c_1) + \\
 & + [L_{67} \sin(c_2) + L_{68} \cos(c_2)] \exp(r_1 + c_1) + \\
 & + G [L_{69} \sin(c_2) + L_{70} \cos(c_2)] \exp(c_1) + \frac{G^2}{2\Lambda}.
 \end{aligned} \tag{3.4.20}$$

U II slučaju, unošenjem izraza za bezdimenzionu uzdužnu brzinu (3.4.8) i izraza za bezdimenzionu magnetnu indukciju indukovanih magnetnih polja (3.4.12) u jednačinu (3.4.17) i dvostrukom integracijom tako dobijene jednačine dolazi se do izraza za bezdimenzionu temperaturu:

$$\begin{aligned}
 \theta(y^*) = & -PrEc[S_{15} \exp(2m_1 y^*) + (S_{16} + S_{17} y^* + S_{18} y^{*2}) \exp(2m_2 y^*) + \\
 & + (S_{19} + S_{20} y^*) \exp((m_1 + m_2) y^*) + GS_{21} \exp(m_1 y^*) + \\
 & + G(S_{22} + S_{23} y^*) \exp(m_2 y^*) + \frac{G^2}{2\Lambda} y^{*2} + F_1 y^* + F_2],
 \end{aligned} \tag{3.4.21}$$

u kome su  $F_1$  i  $F_2$  integracione konstante. Korišćenjem graničnih uslova (3.3.17) za bezdimenzionu temperaturu dobija se da su ove integracione konstante date izrazima:

$$\begin{aligned}
 F_2 = & -S_{15} - S_{16} - S_{19} - G(S_{21} + S_{22}), \\
 F_1 = & -\frac{1}{PrEc} - F_2 - S_{24}^*,
 \end{aligned} \tag{3.4.22}$$

gde je, radi kraćeg zapisa, uvedena oznaka:

$$\begin{aligned}
 S_{24}^* = & S_{15} \exp(2m_1) + (S_{16} + S_{17} + S_{18}) \exp(2m_2) + \\
 & + (S_{19} + S_{20}) \exp(m_1 + m_2) + GS_{21} \exp(m_1) + \\
 & + G(S_{22} + S_{23}) \exp(m_2) + \frac{G^2}{2\Lambda}.
 \end{aligned} \tag{3.4.23}$$

Unošenjem pak izraza (3.4.9) za bezdimenzionu uzdužnu brzinu i izraza (3.4.13) za bezdimenzionu magnetnu indukciju indukovanih magnetnih polja u jednačinu (3.4.17) i dvostrukom integracijom tako dobijene jednačine dolazi se, u III slučaju, do rasporeda bezdimenzione temperature:

### Poglavlje 3

---

$$\begin{aligned}
 \theta(y^*) = & -\Pr Ec[S_{31} \exp(2n_1 y^*) + S_{32} \exp(2n_2 y^*) + \\
 & + S_{33} \exp(2n_3 y^*) + S_{34} \exp((n_1 + n_2) y^*) + \\
 & + S_{35} \exp((n_1 + n_3) y^*) + S_{36} \exp((n_2 + n_3) y^*) + \\
 & + GS_{37} \exp(n_1 y^*) + GS_{38} \exp(n_2 y^*) + \\
 & + GS_{39} \exp(n_3 y^*) + \frac{G^2}{2\Lambda} y^{*2} + G_1 y^* + G_2],
 \end{aligned} \tag{3.4.24}$$

gde su  $G_1$  i  $G_2$  integracione konstante. Ove integracione konstante određuju se korišćenjem graničnih uslova (3.3.17) za bezdimenzionu temperaturu i date su izrazima:

$$\begin{aligned}
 G_2 = & -S_{31} - S_{32} - S_{33} - S_{34} - S_{35} - S_{36} - G(S_{37} + S_{38} + S_{39}), \\
 G_1 = & -\frac{1}{\Pr Ec} - G_2 - S_{40}^*, \tag{3.4.25}
 \end{aligned}$$

gde je uvedena oznaka:

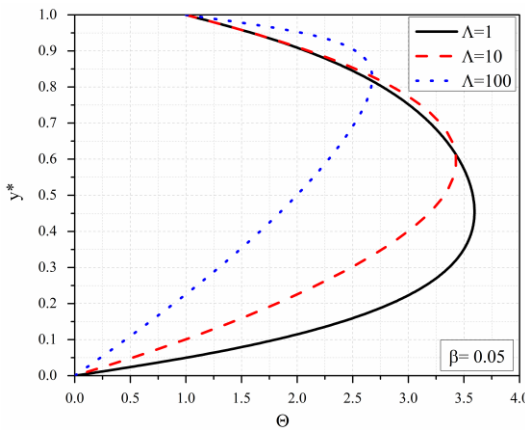
$$\begin{aligned}
 S_{40}^* = & S_{31} \exp(2n_1) + S_{32} \exp(2n_2) + S_{33} \exp(2n_3) + \\
 & + S_{34} \exp(n_1 + n_2) + S_{35} \exp(n_1 + n_3) + \\
 & + S_{36} \exp(n_2 + n_3) + GS_{37} \exp(n_1) + \\
 & + GS_{38} \exp(n_2) + GS_{39} \exp(n_3) + \frac{G^2}{2\Lambda}. \tag{3.4.26}
 \end{aligned}$$

Radi preglednosti i jednostavnije analize različitih uticaja na transport toplote u kanalu deo dobijenih rezultata prikazan je, u obliku grafika, na slikama koje slede.

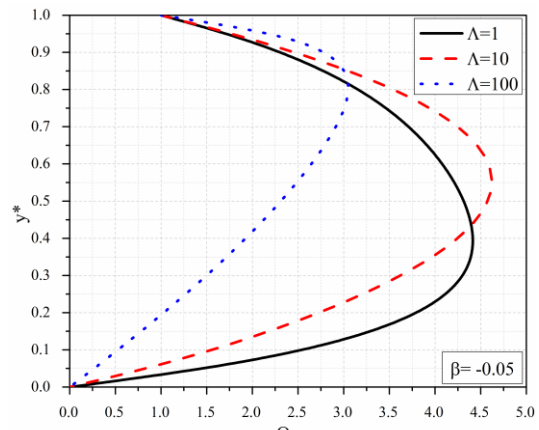
Na slikama 3.39a i 3.39b su predstavljeni rasporedi bezdimenzione temperature za različite vrednosti faktora poroznosti za slučajeve kada je  $\beta > 0$  i  $\beta < 0$ , respektivno. Sa ovih slika se zapaža da sa povećanjem faktora poroznosti tj. sa smanjenjem propustljivosti kanala temperatura opada u većem delu poprečnog preseka kanala. Ovo se objašnjava činjenicom da se za veće vrednosti faktora poroznosti veći deo toplote u kanalu prostire kondukcijom. Raspored

### Poglavlje 3

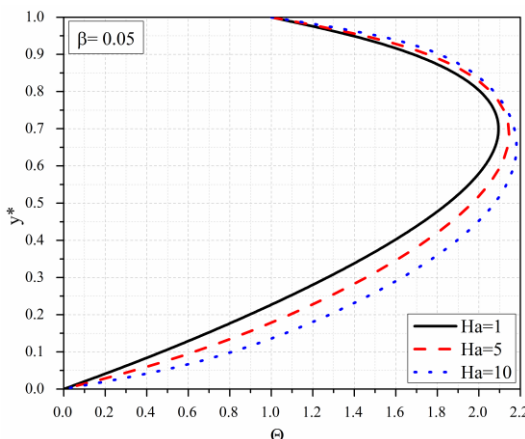
bezdimenzijske temperature, već za  $\Lambda = 100$ , je u većem delu poprečnog preseka, približno prava linija što odgovara čistoj kondukciji u poprečnom pravcu kanala.



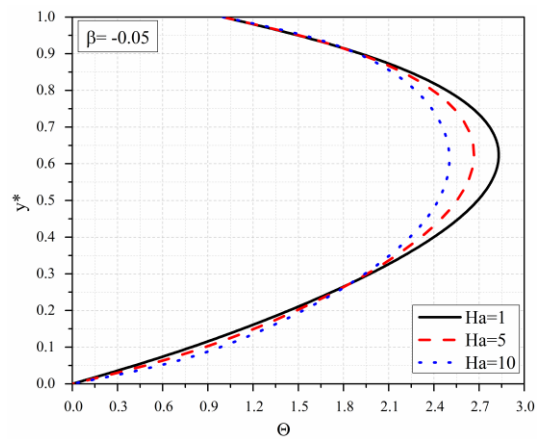
Slika 3.39a Bezdimenzijska temperatura  
za različite vrednosti  $\Lambda$ ,  $\beta = 0.05$



Slika 3.39b Bezdimenzijska temperatura  
za različite vrednosti  $\Lambda$ ,  $\beta = -0.05$



Slika 3.40a Bezdimenzijska temperatura  
za različite vrednosti  $Ha$ ,  $\beta = 0.05$

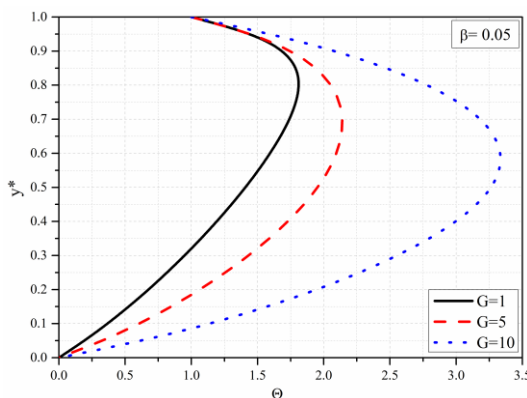


Slika 3.40b Bezdimenzijska temperatura  
za različite vrednosti  $Ha$ ,  $\beta = -0.05$

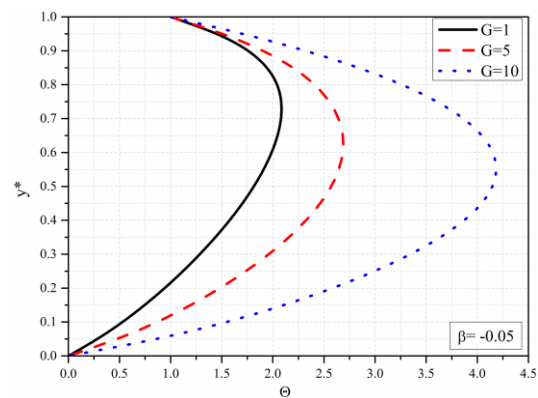
Toplotni fluks na gornjem zidu kanala je istog smera kao i  $y$  osa, a to znači da se toplota tečnosti transportuje sa tečnosti ka gornjem zidu iako je gornji zid na višoj temperaturi od donjeg. Razlog za ovakvo ponašanje je u tome da je generisanje toplotne energije u kanalu tako veliko da se ova energija ne može sva odvesti preko donjeg zida. Položaji maksimalnih vrednosti temperature u kanalu su

bliži gornjem zidu za veće vrednosti faktora poroznosti. Udaljenost ovih položaja, od gornjeg zida, za istu vrednost  $\Lambda$ , je manja u prvom slučaju (slika 3.39a) nego u drugom (slika 3.39b). Razlog ovome je smer poprečne brzine tečnosti u kanalu, odnosno položaj izvora i ponora na zidovima kanala.

Na slikama 3.40a i 3.40b su predstavljeni rasporedi bezdimenzione temperature za različite vrednosti Hartmann-ovog broja za slučaj kada su na donjem zidu kanala izvori, a na gornjem zidu ponori i za slučaj kada su na gornjem zidu izvori, a na donjem zidu ponori, respektivno. U prvom slučaju se zapaža da većim vrednostima Ha broja odgovaraju više temperature u kanalu. U drugom slučaju, u donjoj četvrtini kanala većim vrednostima Ha broja odgovaraju više temperature. Ista situacija se zapaža i u gornjoj desetini kanala, dok u preostalom delu kanala većim vrednostima Ha broja odgovaraju niže temperature. U oba slučaja se toplota tečnosti transportuje sa tečnosti ka gornjem zidu kanala iako je gornji zid na višoj temperaturi od donjeg. Naravno, u oba slučaja, toplota tečnosti se transportuje sa tečnosti i na donji zid kanala. Promena vrednosti parametra  $\beta$  menja i indukovano magnetno polje i gustinu struje, te se samim tim menja i doprinos Joule-ove toplote temperaturi fluida.



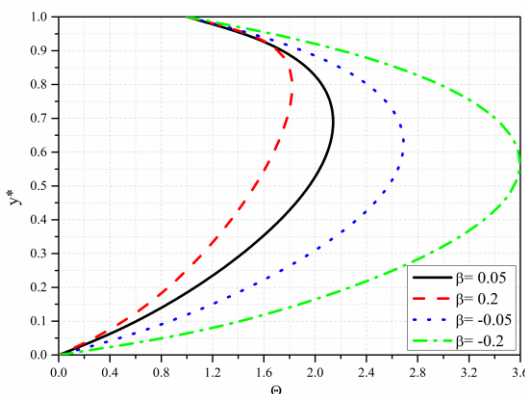
Slika 3.41a Bezdimenziona temperatura  
za različite vrednosti G,  $\beta = 0.05$



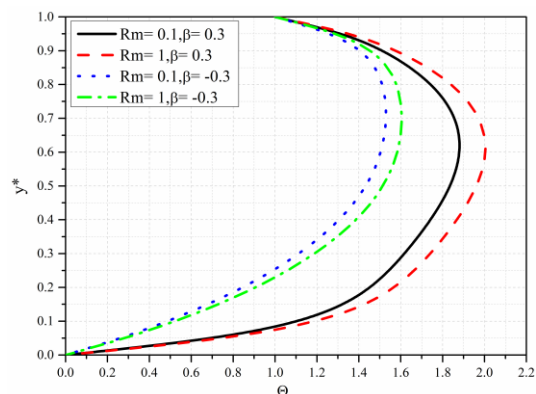
Slika 3.41b Bezdimenziona temperatura  
za različite vrednosti G,  $\beta = -0.05$

Na slikama 3.41a i 3.41b prikazani su rasporedi bezdimenziione temperature za različite vrednosti veličine  $G$  za slučaj kada je  $\beta > 0$  i za slučaj kada je  $\beta < 0$  respektivno. Sa ovih slika se zapaža da većim vrednostima veličine  $G$  tj. kada je dominantno Poiseuille-ovo strujanje odgovaraju više temperature tečnosti u kanalu. Usled viskoznog zagrevanja položaji maksimalnih temperatura nalaze se u gornjoj polovini kanala gde je ono najveće. Za istu vrednost veličine  $G$  položaji maksimalnih temperatura su bliži gornjem zidu u prvom slučaju.

Na slici 3.42 predstavljeni su rasporedi bezdimenziione temperature za različite vrednosti parametra  $\beta$ . Sa ove slike se zapaža, da za slučaj kada su na donjem zidu izvori, a na gornjem zidu ponori, većim vrednostima veličine  $\beta$  odgovaraju niže temperature tečnosti u kanalu, dok za slučaj kada su na gornjem zidu izvori, a na donjem ponori većim vrednostima veličine  $\beta$  odgovaraju više temperature tečnosti u kanalu. Položaji maksimalnih temperatura nalaze se u gornjoj polovini kanala. Oni su bliži gornjem zidu za slučaj  $\beta > 0$ .



Slika 3.42 Bezdimenziona temperaturna rasporeda u kanalu za različite vrednosti  $\beta$



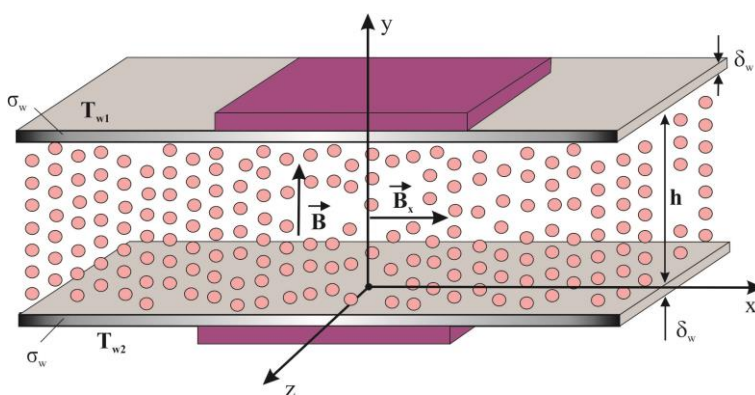
Slika 3.43 Bezdimenziona temperaturna rasporeda u kanalu za različite vrednosti  $Rm$  i  $\beta$

Na slici 3.43 predstavljeni su rasporedi bezdimenziione temperature za različite vrednosti Reynolds-ovog magnetnog broja za slučaj kada su na donjem zidu kanala izvori, a na gornjem zidu kanala ponori i za slučaj kada su na gornjem

zidu izvori, a na donjem zidu ponori. Sa ove slike se zapaža da, u oba slučaja, većim vrednostima  $R_m$  broja odgovaraju više vrednosti temperature tečnosti u kanalu. Položaji maksimalnih temperatura nalaze se u gornjoj polovini kanala. Za veće vrednosti  $R_m$  broja veća količina toplote se transportuje od tečnosti na gornju ploču, u oba slučaja. Povećanjem  $R_m$  broja povećava se uticaj Joule-ove toplote na temperaturu fluida.

### 3.5 MHD strujanje i prenos toplote između horizontalnih elektroprovodnih ploča sa uticajem indukovanih magnetnih polja

U ovom poglavlju se izučava model strujanja koji je sličan modelu strujanja izučenom u poglavlju 3.3. Jedina razlika između ovih modela je u tome što su kod modela u poglavlju 3.3 zidovi kanala elektro-neprovodni, a kod modela koji se izučava u ovom poglavlju zidovi kanala su elektroprovodni. Zato će se, u ovom poglavlju, koristiti sva izvođenja koja su učinjena u poglavlju 3.3, a ovde će se samo ukazati na razlike koje postoje i odrediće se veličine koje su posledica tih razlika u cilju kompleksnosti istraživanja.



Slika 3e Fizički model strujanja

### 3.5.1 Matematički model

Matematički model ovog strujanja u bezdimenzionom obliku, kao i u poglavlju 3.3, predstavljaju jednačine (3.3.12), (3.3.13), (3.3.14), (3.3.15) i granični uslovi (3.3.17) za bezdimenzionu brzinu i bezdimenzionu temperaturu, dok se uslovi za bezdimenzionu magnetnu indukciju indukovanih magnetnih polja razlikuju od odgovarajućih uslova (3.3.17) i dati su izrazima:

$$\begin{aligned} \frac{db}{dy^*} + \frac{1}{c} b &= 0 \text{ za } y^* = 0, \\ \frac{db}{dy^*} - \frac{1}{c} b &= 0 \text{ za } y^* = 1, \end{aligned} \quad (3.5.1)$$

gde je:

$$c = \frac{\sigma_w \delta_w}{\sigma h}, \quad (3.5.2)$$

a  $\delta_w, \sigma_w$  su debljine zidova kanala i njihove elektroprovodnosti respektivno. Zapaža se da su ziovi kanala jednakih debljin i jednakih elektroprovodnosti.

Iz izraza (3.5.1), za  $c = 0$ , dobijaju se granični uslovi za slučaj elektro-neprovodnih zidova kanala tj. za problem izučen u poglavlju 3.3, dok se za  $c \rightarrow \infty$  dobijaju granični uslovi za slučaj idealno elektroprovodnih zidova kanala.

Imajući u vidu već rečeno i ovde će se dobiti da su u slučaju I rasporedi bezdimenzijske brzine i rasporedi bezdimenzijske indukcije indukovanih magnetnih polja dati izrazima (3.3.34) i (3.3.45).

Kod ovog modela strujanja integracione konstante treba odrediti jer se one razlikuju od odgovarajućih konstanti kod modela izučenog u poglavlju 3.3. Korišćenjem sada graničnih uslova (3.3.17) za bezdimenzionu brzinu i graničnih uslova (3.5.1) za indukovano magnetno polje dobija se da su integracione konstante date izrazima:

$$\begin{aligned} A_3 &= \frac{N_{15} - N_{17}}{N_{14} + N_{16}}, \quad A_4 = c(N_{14}A_3 - N_{15}), \\ A_2 &= -\frac{1}{N_8}(L_5A_3 + N_9), \quad A_1 = -A_2 - \frac{1}{\Lambda}, \end{aligned} \quad (3.5.3)$$

gde su, radi kraćih zapisa, uvedene oznake:

$$\begin{aligned} N_1 &= \left( r_i - \frac{1}{c} \right) L_1 \exp(r_i), \\ N_2 &= \left[ \left( -c_2 L_2 + c_1 L_3 - \frac{1}{c} L_3 \right) \sin(c_2) + \left( c_1 L_2 + c_2 L_3 - \frac{1}{c} L_2 \right) \cos(c_2) \right] \exp(c_1), \\ N_3 &= \left\{ \left[ c_2 L_3 + \left( c_1 - \frac{1}{c} \right) L_2 \right] \sin(c_2) + \left[ c_2 L_2 - \left( c_1 - \frac{1}{c} \right) L_3 \right] \cos(c_2) \right\} \exp(c_1), \\ N_4 &= \frac{\beta \operatorname{Re}}{c \Lambda}, \quad N_5 = \left( r_i + \frac{1}{c} \right) L_1, \\ N_6 &= c_2 L_3 + \left( c_1 + \frac{1}{c} \right) L_2, \quad N_7 = c_2 L_2 - \left( c_1 + \frac{1}{c} \right) L_3, \\ N_8 &= L_4 - \exp(r_i), \quad N_9 = \frac{1}{\Lambda} [1 - \exp(r_i)], \\ N_{10} &= N_2 - N_1, \quad N_{11} = \frac{N_1}{\Lambda} + N_4, \quad N_{12} = N_6 - N_5, \\ N_{13} &= N_4 - \frac{N_5}{\Lambda}, \quad N_{14} = N_3 - \frac{N_{10}}{N_8} L_5, \quad N_{15} = \frac{N_9 N_{10}}{N_8} + N_{11}, \\ N_{16} &= N_7 - \frac{N_{12}}{N_8} L_5, \quad N_{17} = N_{13} - \frac{N_9 N_{12}}{N_8}. \end{aligned} \quad (3.5.4)$$

Raspored bezdimenzione temperature, kao i kod modela u poglavlju 3.3, dat je izrazom (3.3.55), a integracione konstante  $D_1$  i  $D_2$  izrazima (3.3.57). Naravno, sada u svim izrazima konstante  $A_1, A_2, A_3$  i  $A_4$  imaju reprezentacije (3.5.3).

U slučaju II, bezdimenziona uzdužna brzina i bezdimenziona magnetna indukcija indukovanih magnetnih polja, kao i u poglavlju 3.3, date su izrazima (3.3.37) i (3.3.47), respektivno. Integracione konstante  $B_1, B_2, B_3$  i  $B_4$  se ovde razlikuju od odgovarajućih konstanti kod modela u poglavlju 3.3. Za određivanje

ovih konstanti ovde se koriste granični uslovi (3.3.17) za bezdimenzionu uzdužnu brzinu i granični uslovi (3.5.1) za bezdimenzionu indukciju indukovanih magnetnih polja i dobija se da one imaju sledeće reprezentacije:

$$\begin{aligned} B_3 &= \frac{N_{31} - N_{33}}{N_{30} - N_{32}}, \quad B_4 = c(N_{32}B_3 - N_{33}), \\ B_2 &= -\frac{1}{N_{24}} [B_3 \exp(m_2) + N_{25}], \quad B_1 = -B_2 - \frac{1}{\Lambda}, \end{aligned} \quad (3.5.5)$$

u kojima su, radi kraćih zapisa, uvedene oznake:

$$\begin{aligned} N_{18} &= \left( m_1 - \frac{1}{c} \right) L_{22} \exp(m_1), \\ N_{19} &= \left( m_2 - \frac{1}{c} \right) L_{23} \exp(m_2), \\ N_{20} &= \left[ \left( 1 + m_2 - \frac{1}{c} \right) L_{23} - \left( m_2 - \frac{1}{c} \right) L_{24} \right] \exp(m_2), \\ N_{21} &= \left( m_1 + \frac{1}{c} \right) L_{22}, \quad N_{22} = \left( m_2 + \frac{1}{c} \right) L_{23}, \\ N_{23} &= \left( m_2 + \frac{1}{c} \right) L_{24} - L_{23}, \quad N_{24} = \exp(m_2) - \exp(m_1), \\ N_{25} &= \frac{1}{\Lambda} [1 - \exp(m_1)], \quad N_{26} = N_{19} - N_{18}, \\ N_{27} &= \frac{N_{18}}{\Lambda} + N_4, \quad N_{28} = N_{22} - N_{21}, \quad N_{29} = N_4 - \frac{N_{21}}{\Lambda}, \\ N_{30} &= N_{20} - \frac{N_{26}}{N_{24}} \exp(m_2), \quad N_{31} = N_{27} + \frac{N_{25}N_{26}}{N_{24}}, \\ N_{32} &= N_{23} + \frac{N_{28}}{N_{24}} \exp(m_2), \quad N_{33} = N_{29} - \frac{N_{25}N_{28}}{N_{24}}. \end{aligned} \quad (3.5.6)$$

Raspored bezdimenzijske temperature, kao i u poglavlju 3.3, dat je izrazom (3.3.59), a integracione konstante  $F_1$  i  $F_2$  imaju reprezentacije (3.3.61). Treba obratiti pažnju da ovde u svim izrazima konstante  $B_1$ ,  $B_2$ ,  $B_3$  i  $B_4$  imaju reprezentacije (3.5.5).

U III slučaju, bezdimenziona uzdužna brzina i bezdimenziona magnetna indukcija indukovanih magnetnih polja, kao i u poglavlju 3.3, date su izrazima (3.3.40) i (3.3.51) respektivno. Integracione konstante  $C_1$ ,  $C_2$ ,  $C_3$  i  $C_4$  se ovde razlikuju od odgovarajućih integracionih konstanti datim izrazima (3.3.53) u poglavlju 3.3. Za određivanje ovih integracionih konstanti koriste se granični uslovi (3.3.17) za bezdimenzionu uzdužnu brzinu i granični uslovi (3.5.1) i dobija se da one imaju sledeće reprezentacije:

$$\begin{aligned} C_1 &= \frac{1}{\Lambda} \frac{N_{44} - N_{46}}{N_{43}N_{46} - N_{44}N_{45}}, \\ C_2 &= -\frac{1}{N_{46}} \left( \frac{1}{\Lambda} + N_{45}C_1 \right), \\ C_3 &= -\frac{1}{N_{42}} (N_{40}C_1 + N_{41}C_2), \\ C_4 &= -c(N_{37}C_1 + N_{38}C_2 + N_{39}C_3 + N_4), \end{aligned} \quad (3.5.7)$$

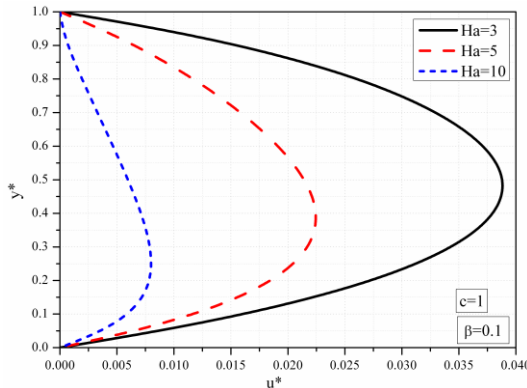
u kojima su, radi kraćih zapisa, uvedene oznake:

$$\begin{aligned} N_{34} &= \left( n_1 - \frac{1}{c} \right) L_{33} \exp(n_1), \quad N_{35} = \left( n_2 - \frac{1}{c} \right) L_{34} \exp(n_2), \\ N_{36} &= \left( n_3 - \frac{1}{c} \right) L_{35} \exp(n_3), \quad N_{37} = \left( n_1 + \frac{1}{c} \right) L_{33}, \\ N_{38} &= \left( n_2 + \frac{1}{c} \right) L_{34}, \quad N_{39} = \left( n_3 + \frac{1}{c} \right) L_{35}, \\ N_{40} &= N_{34} + N_{37}, \quad N_{41} = N_{35} + N_{38}, \\ N_{42} &= N_{36} + N_{39}, \quad N_{43} = 1 - \frac{N_{40}}{N_{42}}, \quad N_{44} = 1 - \frac{N_{41}}{N_{42}}, \\ N_{45} &= \exp(n_1) - \frac{N_{40}}{N_{42}} \exp(n_3), \\ N_{46} &= \exp(n_2) - \frac{N_{41}}{N_{42}} \exp(n_3). \end{aligned} \quad (3.5.8)$$

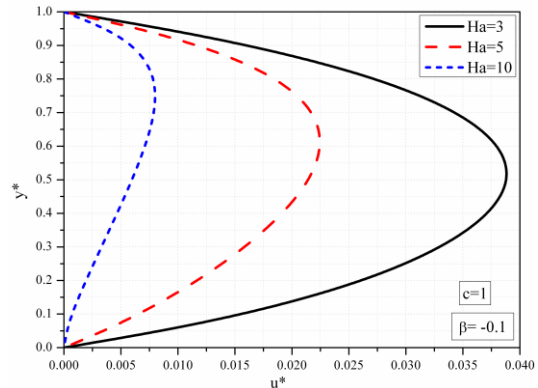
Raspored bezdimenziione temperature, kao i kod modela u poglavlju 3.3, dat je izrazom (3.3.63), a integracione konstante  $G_1$  i  $G_2$  izrazima (3.3.65). Naravno ovde u svim izrazima konstante  $C_1$ ,  $C_2$ ,  $C_3$  i  $C_4$  imaju reprezentacije (3.5.7).

### 3.5.2 Analiza rezultata

Radi preglednosti, jednostavnije analize i donošenja zaključaka deo dobijenih rezultata, u obliku dijagrama, prikazan je na slikama koje slede.



Slika 3.44a Bezdimenzionalna uzdužna brzina za različite vrednosti  $Ha$ ,  $\beta = 0.1$

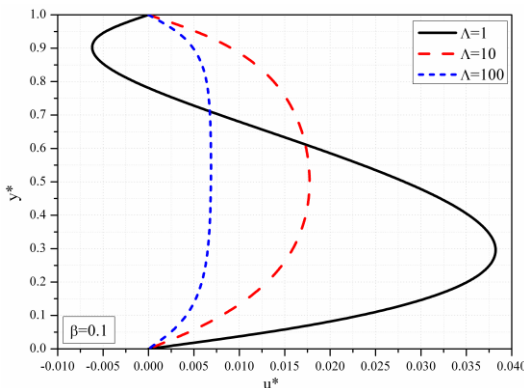


Slika 3.44b Bezdimenzionalna uzdužna brzina za različite vrednosti  $Ha$ ,  $\beta = -0.1$

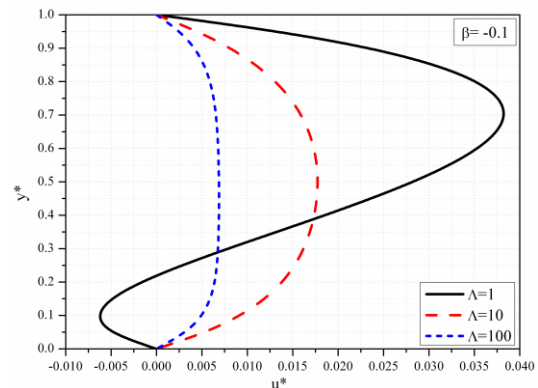
Na slikama 3.44a i 3.44b prikazani su rasporedi bezdimenziione uzdužne brzine u kanalu elektroprovodnih zidova za različite vrednosti Hartmann-ovog broja i to za slučaj kada su na donjem zidu izvori, a na gornjem zidu ponori, i za slučaj kada su na gornjem zidu kanala izvori, a na donjem zidu ponori, respektivno. Sa ovih slika se zapaža da većim vrednostima  $Ha$  broja odgovaraju manji intenziteti uzdužne brzine u kanalu i manji tangencijalni naponi na zidovima kanala. Jače spoljašnje primjeno magnetno polje pomera položaje maksimalnih uzdužnih brzina u kanalu ka donjoj ploči u prvom slučaju strujanja, a ka gornjoj ploči u drugom slučaju strujanja. Ovakve tendencije su zapažene i kada su zidovi kanala

elektro neprovodni s tim što je tada bila izraženija simetrija profila brzine u poprečnom preseku kanala.

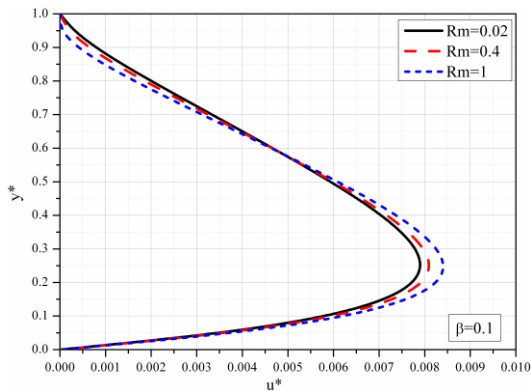
Na slikama 3.45a i 3.45b prikazani su rasporedi uzdužne brzine u kanalu za različite vrednosti faktora poroznosti tj. za različite propustljivosti kanala, a za  $\beta = 0.1$  i  $\beta = -0.1$ . Sa ovih slika se zapaža da za vrednost faktora poroznosti jednaku jedan ( $\Lambda = 1$ ) tj. za relativno veliku propustljivost kanala uzdužna brzina u delu poprečnog preseka koji je nešto veći od petine poprečnog preseka ima "smer" suprotan od "smera" pada pritiska. U prvom slučaju strujanja ovaj deo je uz gornji zid kanala, a u drugom slučaju je uz donji zid kanala. U preostalom delu poprečnog preseka kanala, za istu vrednost faktora poroznosti, brzina u kanalu ima "smer" pada pritiska. Promene smera strujanja u jednom delu kanala su posledica isisavanja fluida na gornjoj odnosno donjoj ploči pri čemu "gradijent" pritiska u pravcu strujanja nije dovoljno veliki. Većim vrednostima faktora poroznosti odgovaraju manji intenziteti uzdužne brzine u kanalu i dolazi do "poravnjanja" profila brzine. Smer uzdužne brzine je isti sa "smerom" pada pritiska u celom poprečnom preseku kanala.



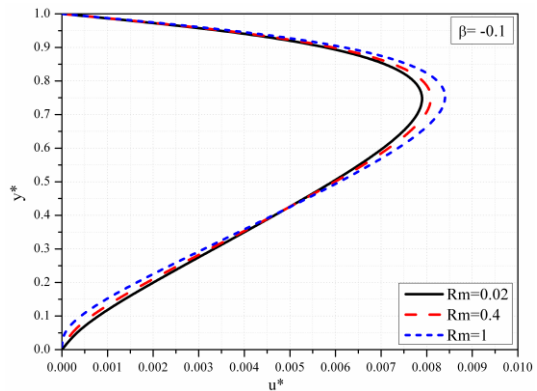
Slika 3.45a Bezdimenziona uzdužna brzina za različite vrednosti  $\Lambda$ ,  $\beta = 0.1, c = 1$



Slika 3.45b Bezdimenziona uzdužna brzina za različite vrednosti  $\Lambda$ ,  $\beta = -0.1, c = 1$

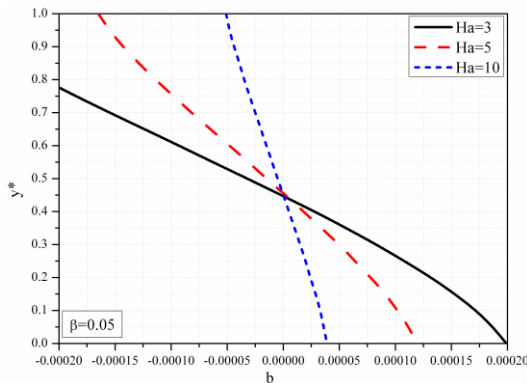


Slika 3.46a Bezdimenziona uzdužna brzina za različite vrednosti  $R_m$ ,  $\beta = 0.1, c = 1, Ha = 10$

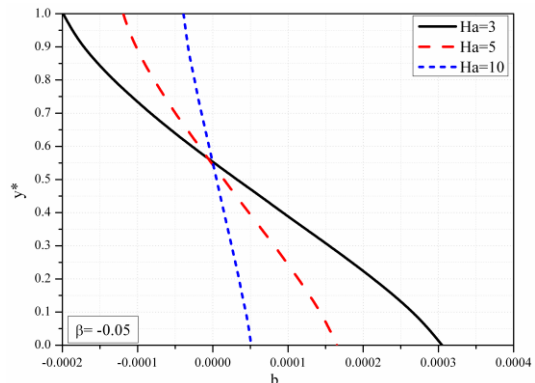


Slika 3.46b Bezdimenziona uzdužna brzina za različite vrednosti  $R_m$ ,  $\beta = -0.1, c = 1, Ha = 10$

Na slikama 3.46a i 3.46b prikazani su rasporedi bezdimenzione uzdužne brzine za različite vrednosti Reynolds-ovog magnetnog broja za vrednosti  $\beta = 0.1$  i  $\beta = -0.1$  respektivno. Sa ovih slika se zapaža da u dve petine poprečnog preseka, u prvom slučaju do gornje ploče, a u drugom slučaju do donje ploče, većim vrednostima  $R_m$  broja odgovaraju manji intenziteti uzdužne brzine. U ostalom delu poprečnog preseka kanala većim vrednostima  $R_m$  broja odgovaraju veći intenziteti brzine, u oba slučaja strujanja. Položaji maksimalnih brzina u poprečnom preseku kanala nalaze se u donjoj polovini kanala u prvom slučaju, a u gornjoj polovini kanala u drugom slučaju strujanja. Zapaža se da, za ove vrednosti  $R_m$  broja, uticaj  $R_m$  broja na brzinu nije posebno značajan.



Slika 3.47a Bezdimentziona indukcija za različite vrednosti  $Ha$ ,  $\beta = 0.05, c = 1$ ,



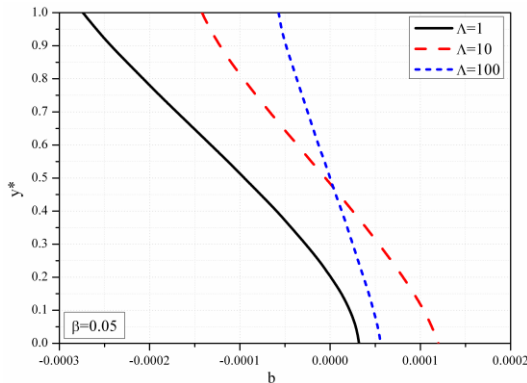
Slika 3.47b Bezdimentziona indukcija za različite vrednosti  $Ha$ ,  $\beta = -0.05, c = 1$

Na slikama 3.47a i 3.47b prikazani su rasporedi bezdimenzione magnetne indukcije indukovanih magnetnog polja za različite vrednosti Hartmann-ovog broja za vrednosti  $\beta = 0.05$  i  $\beta = -0.05$  respektivno. Sa ovih slika se zapaža da većim vrednostima  $Ha$  broja odgovara manja jačina indukovanih magnetnog polja u oba slučaja strujanja što je posledica odnosa  $Ha^2/Rm$ . U prvom slučaju je, do visine  $y^* = 0.45$ , smer magnetne indukcije indukovanih magnetnog polja isti sa smerom osnovne struje u kanalu, a odatle pa do gornjeg zida kanala ovaj smer je suprotan smeru osnovne struje u kanalu. U drugom slučaju strujanja je do visine  $y^* = 0.55$  smer magnetne indukcije indukovanih magnetnog polja isti sa smerom osnovne struje, a odatle pa do gornjeg zida kanala ovaj smer je suprotan smeru osnovne struje tečnosti u kanalu. Zbog provodnosti zidova kanala indukovano polje se razlikuje od nule na njima i raste kada Hartmann-ov broj opada.

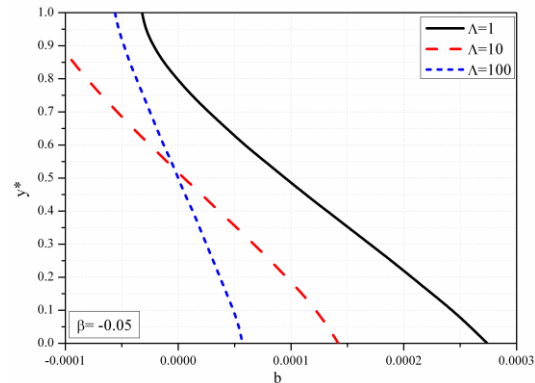
Na slikama 3.48a i 3.48b predstavljeni su rasporedi bezdimenzione magnetne indukcije indukovanih magnetnog polja za različite vrednosti faktora poroznosti, a za slučajeve  $\beta = 0.05$  i  $\beta = -0.05$ , respektivno.

Sa ovih slika se zapaža da se za malu vrednost faktora poroznosti ( $\Lambda = 1$ ) tj. za veliku propustljivost kanala, smer magnetne indukcije poklapa sa "smerom"

pada pritiska do visine  $y^* = 0.2$ , a odatle pa do gornjeg zida je suprotnog smera u prvom slučaju. U drugom slučaju se smerovi poklapaju do  $y^* = 0.8$ , a odatle pa do gornjeg zida su suprotni.

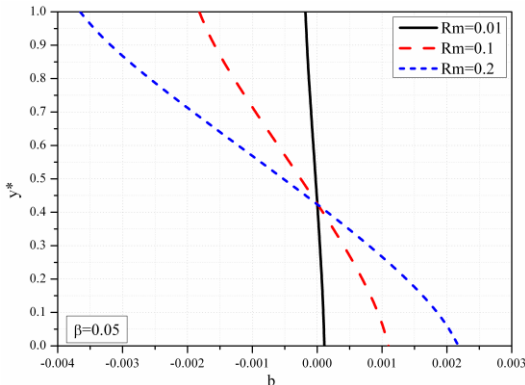


Slika 3.48a Bezdimentziona indukcija za različite vrednosti  $\Lambda$ ,  $\beta = 0.05, c = 1$

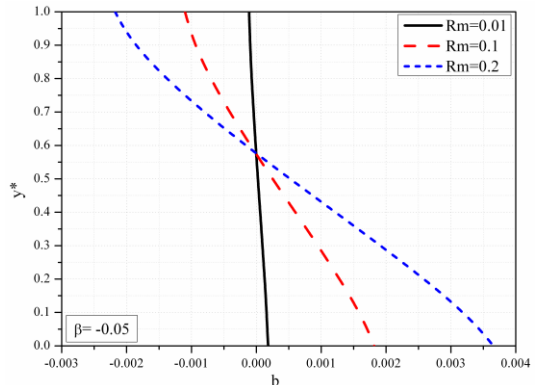


Slika 3.48b Bezdimentziona indukcija za različite vrednosti  $\Lambda$ ,  $\beta = -0.05, c = 1$

Za veće vrednosti faktora poroznosti ovi smerovi se poklapaju do visine  $y^* = 0.48$ , a odatle pa do gornjeg zida su suprotni u prvom slučaju, dok se u drugom slučaju poklapaju do  $y^* = 0.52$ , a odatle pa do gornjeg zida su suprotni. U većem delu poprečnog preseka kanala intenzitet indukcije indukovanih magnetnih polja opada sa porastom faktora poroznosti jer porast faktora poroznosti smanjuje brzinu i samim tim smanjuje intenzitet indukovanih magnetnih polja.



Slika 3.49a Bezdimenziona indukcija za različite vrednosti  $R_m$ ,  $\beta = 0.05, c = 1$



Slika 3.49b Bezdimenziona indukcija za različite vrednosti  $R_m$ ,  $\beta = -0.05, c = 1$

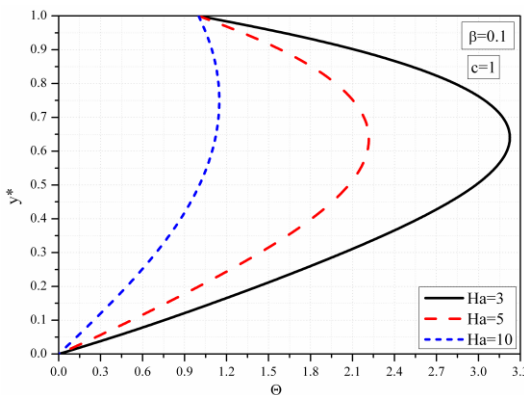
Na slikama 3.49a i 3.49b prikazani su rasporedi bezdimenzione magnetne indukcije indukovanih magnetnog polja za različite vrednosti Reynolds-ovog magnetnog broja za slučajeve  $\beta = 0.05$  i  $\beta = -0.05$  respektivno. Sa ovih slika se zapaža da je intenzitet magnetne indukcije indukovanih magnetnog polja veći za veće vrednosti  $R_m$  broja tj. za tečnosti veće elektroprovodnosti. Smer magnetne indukcije je do visine  $y^* = 0.43$  isti sa smerom uzdužne brzine tečnosti u kanalu, a odatle pa do gornjeg zida kanala smer magnetne indukcije indukovanih magnetnog polja je suprotan smeru brzine kretanja tečnosti u kanalu, za prvi slučaj. Za drugi slučaj su do visine  $y^* = 0.57$  ovi smerovi isti, a odatle pa do gornjeg zida kanala oni su suprotni. Poprečna komponenta brzine menja uzdužnu komponentu brzine, a ona sa druge strane menja indukciju magnetnog polja. Za slučaj male vrednosti  $R_m$ , što je blisko elektroneprovodnim zidovima kanala, intenzitet magnetne indukcije je približno nula.

Na slikama 3.50a i 3.50b prikazani su rasporedi bezdimenzione temperature za različite vrednosti Hartmann-ovog broja za slučaj kada su izvori na donjem zidu kanala a, ponori na gornjem zidu kanala i za slučaj kada su izvori na gornjem zidu, a ponori na donjem zidu kanala respektivno. Zapaža se da, u oba slučaja, većim vrednostima Hartmann-ovog broja odgovaraju niže temperature u kanalu. Položaji

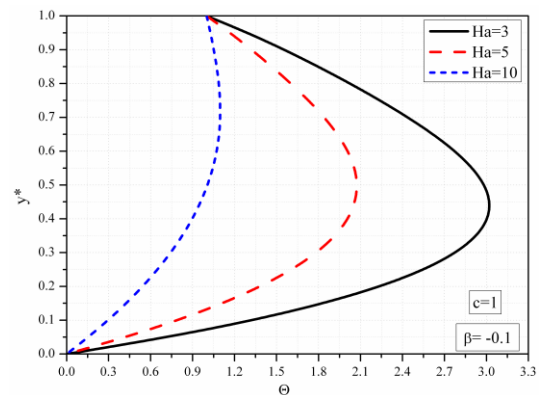
### Poglavlje 3

maksimalnih temperatura su bliži gornjem zidu kanala u prvom slučaju, a u drugom slučaju su bliži donjem zidu tj. nalaze se u donjoj polovini kanala. U oba slučaja toplota se transportuje na gornji zid sa tečnosti iako je on na višoj temperaturi od donjeg. Razlog za ovakvo ponašanje je u tome da je generisanje toplotne energije prouzrokovano viskoznom disipacijom tako veliko, da se ova energija ne može u celom iznosu odvesti preko donjeg zida.

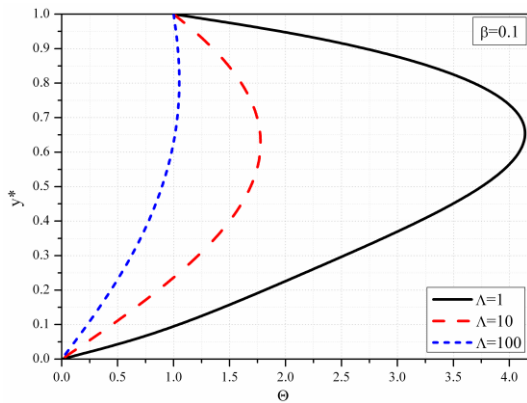
Ovde treba naglasiti da je u slučaju provodnih ploča konačne elektroprovodnosti smanjenje brzine, a onda i protoka sa povećanjem intenziteta spoljašnjeg magnetnog polja, veće u odnosu na slučaj neprovodnih ploča. Energija koju treba uložiti za savladavanje Lorentz-ove sile veća je od odgovarajuće energije kada su ploče neprovodne. Deo ove energije se transformiše u toplotnu energiju koja dovodi do više temperature u kanalu od temperature kada su ploče neprovodne.



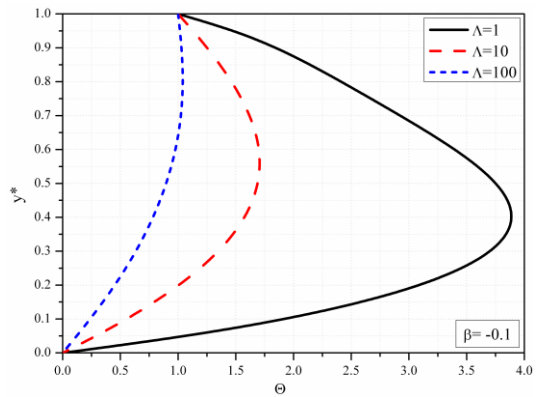
Slika 3.50a Bezdimentziona temperaturna  
za različite vrednosti  $Ha$ ,  $\beta = 0.1$



Slika 3.50b Bezdimentziona temperaturna  
za različite vrednosti  $Ha$ ,  $\beta = -0.1$



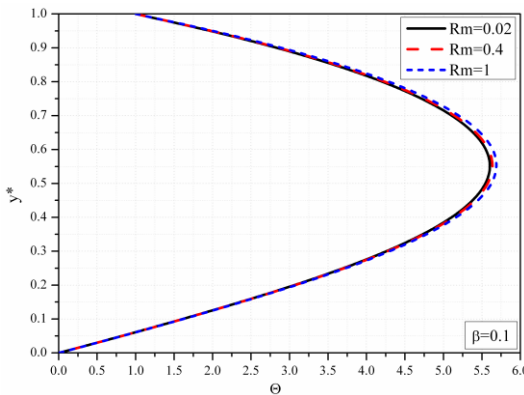
Slika 3.51a Bezdimenziona temperatura za različite vrednosti  $\Lambda, \beta = 0.1, c = 1$



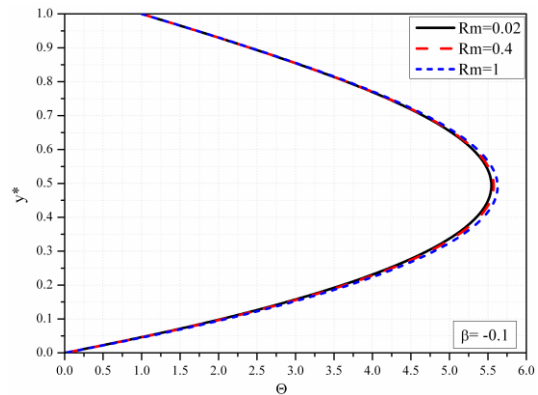
Slika 3.51b Bezdimenziona temperatura za različite vrednosti  $\Lambda, \beta = -0.1, c = 1$

Na slikama 3.51a i 3.51b prikazani su rasporedi bezdimenziione temperature za različite vrednosti faktora poroznosti za slučajeve  $\beta = 0.1$  i  $\beta = -0.1$ . Sa ovih slika se zapaža da većim vrednostima faktora poroznosti odnosno manjim propustljivostima kanala odgovaraju niže temperature u kanalu. Položaji maksimalnih temperatura u kanalu bliži su gornjem zidu u prvom slučaju, a donjem zidu u drugom slučaju. U oba slučaja, za sve vrednosti  $\Lambda$  date na slikama postoji transport topote sa tečnosti na gornji zid. Za  $\Lambda = 100$  se transportuje vrlo mala količina topote sa tečnosti na gornji zid kanala.

I ovde treba naglasiti da je temperatura u kanalu u slučaju elektroprovodnih ploča viša od odgovarajuće temperature kada su ploče neprovodne.



Slika 3.52a Bezdimenziona temperatura za različite vrednosti  $Rm$ ,  $\beta = 0.1, c = 1$

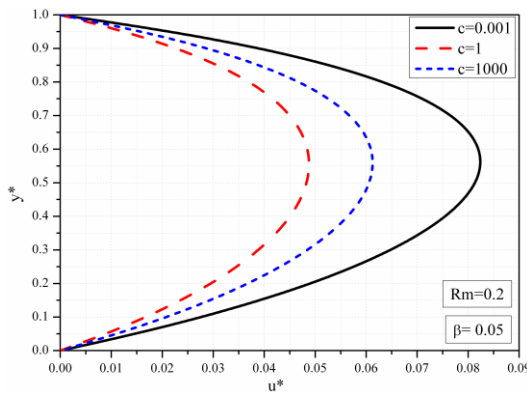


Slika 3.52b Bezdimenziona temperatura za različite vrednosti  $Rm$ ,  $\beta = -0.1, c = 1$

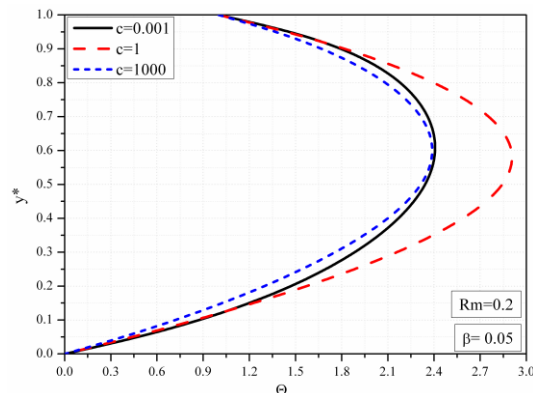
На slikama 3.52a i 3.52b prikazani su rasporedi bezdimenzijske temperature za različite vrednosti Reynolds-ovog magnetnog broja za slučajeve  $\beta = 0.1$  и  $\beta = -0.1$  респективно. Запажа се да, у оба случаја, већим вредностима  $Rm$  броја одговарају више температуре у каналу. Запажа се да тај утицај није велики. За све вредности  $Rm$  броја за које су резултати приказани на slikama постоји транспорт топлоте са течностима на горњи зид канала, поред транспорта на доњи зид који постоји у свим случајевима. Позиције максималних температура у каналу су изнад средине канала у првом случају, а испод средине канала у другом случају што је последица извора и понора на плоћама. У овом случају, када су зидови електропроводни брзина је много мања од брзине када су зидови непроводни. Температура у каналу је за случај електропроводних зидова знатно виша од температуре у каналу када су зидови непроводни јер се део енергије за савладавање Lorentz-ове сile трансформише у топлотну енергију.

На слици 3.53 приказани су rasporedi bezdimenzijske uzdužne brzine tečnosti u kanalu za različite vrednosti величине  $c$ , а за  $\beta = 0.05$ . Вредност  $c = 0.001$  одговара врло малој електропроводности зидова канала док вредност  $c = 1000$  одговара скоро идеалној проводности зидова. Са ове слике се запажа да је брзина у каналу највећа када су зидови канала мале проводности (или непроводни), затим у

kanalu sa idealno provodnim zidovima, a najmanja je u kanalu sa zidovima konačne provodnosti. Ovakve tendencije zapažene su i za vrednosti  $\beta$  koje su različite od  $\beta = 0.05$ . Povećanjem odnosa  $c$  indukovano magnetno polje ulazi u zidove kanala i smanjuje se njegov uticaj na fluid, pa brzina usled spoljašnjeg primjenjenog magnetnog polja opada.

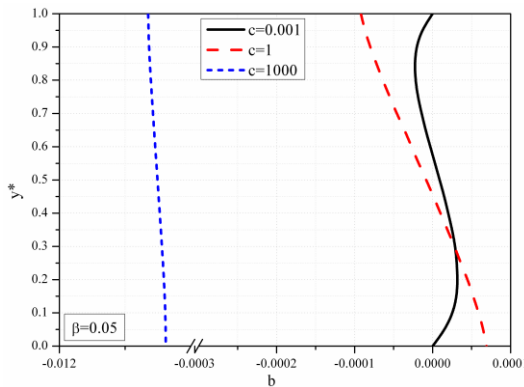


Slika 3.53 Bezdimenziona uzdužna brzina za različite vrednosti  $c$ ,  $\beta = 0.05$



Slika 3.54 Bezdimenziona temperaturna raspored za različite vrednosti  $c$ ,  $\beta = 0.05$

Na slici 3.54 su predstavljeni rasporedi bezdimenzijsne temperature za različite vrednosti veličine  $c$ , koje odgovaraju kanalu čiji su zidovi male elektroprovodnosti, konačne elektroprovodnosti i idealno provodni. Zapaža se da je, pri istim uslovima, temperatura tečnosti najniža u kanalu čiji su zidovi idealno provodni, a najviša u kanalu čiji su zidovi konačne elektroprovodnosti. Ovi zaključci važe i za vrednosti  $\beta \neq 0.05$ . Ovakav raspored temperature može se opravdati činjenicom da u energijskoj jednačini temperatura zavisi od Joule-ove topline koja je funkcija kvadrata "gradijenta" indukovanih magnetnih polja. Za ovde dobijene rezultate indukovano magnetno polje je skoro homogeno sa malim "gradijentom" u pravcu  $y$  ose, koji je upravo najmanji za slučaj idealno elektroprovodnih zidova.



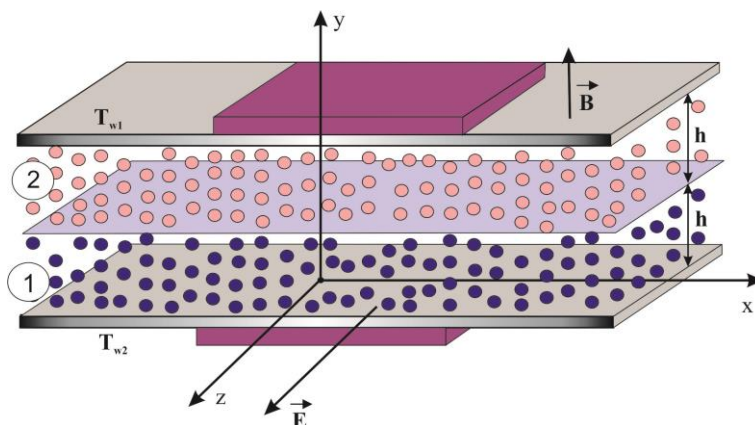
Slika 3.55 Bezdimenziona magnetna indukcija  
za različite vrednosti  $c$ ,  $\beta = 0.05$

Na slici 3.55 prikazani su rasporedi bezdimenzione magnetne indukcije indukovanih magnetnog polja za različite vrednosti  $c$ , a za  $\beta = 0.05$ . Zapaža se da je za kanal čiji su zidovi slabo provodni indukovano magnetno polje do visine kanala  $y^* = 0.6$  istog smera kao i osnovna struja, a odatle pa do gornjeg zida je suprotnog smera. Za slučaj kanala čiji su zidovi konačne provodnosti raspored indukovanih magnetnog polja malo odstupa od linearne, a ovo polje je do  $y^* = 0.45$  istog smera sa smerom osnovne struje, a odatle pa do gornjeg zida je suprotnog smera. Za kanal čiji su zidovi idealne elektroprovodnosti indukovano magnetno polje je homogeno, a suprotnog je smera od smera osnovne struje tečnosti.

# 4. Poiseuille-Couette-ovo MHD strujanje dva fluida i prenos toplote u poroznoj sredini

## 4.1 Poiseuille-ovo MHD strujanje dva fluida i prenos toplote u poroznoj sredini

U ovom delu rada se izučava bezindukcionalno magnetno hidrodinamičko strujanje u kanalu koji se formira sa dve horizontalne nepokretne ploče. Na kanal i fluid u njemu deluju spoljašnja homogena polja i to magnetno  $\vec{B}$  koje je upravno na ploče, a za odabrani koordinatni sistem je pravca i smera kao i y osa, i električno polje koje je pravca i smera z ose. Kanal je od poroznog materijala, a dozvoljena je mogućnost da donja i gornja polovina kanala budu različitih propustljivosti i da u njima struje različiti fluidi. Zidovi kanala održavaju se na različitim temperaturama i to: donji na temperaturi  $T_{w2}$  i gornji na temperaturi  $T_{w1}$ .



Slika 4a Fizički model strujanja

Razmatra se jedan opšti problem koji omogućava više različitih mogućnosti i što se tiče samog kanala, a i fluida koji struji u njemu. Za razliku od do sada, u

ovom radu, izučavanih problema, ovde se na zidovima kanala ne nalaze izvori /ponori.

### 4.1.1 Matematički model

Ponavljajući analizu koja je sprovedena u delu 3.1 ovog rada istovremeno za oba fluida (obe polovine kanala) dolazi se do jednačina:

$$-\frac{\partial p_i}{\partial x} + \mu_i \frac{d^2 u_i}{dy^2} - \varepsilon_i \frac{\mu_i}{K_i^*} u_i - B(\sigma_i E_z + \sigma_i B u_i) = 0, \quad (4.1.1)$$

$$\frac{\partial p_i}{\partial y} = 0, \quad (4.1.2)$$

$$k_i \frac{d^2 T_i}{dy^2} + \mu_i \left( \frac{du_i}{dy} \right)^2 + \varepsilon_i \frac{\mu_i}{K_i^*} u_i^2 + \sigma_i (E_z + B u_i)^2 = 0, \quad (4.1.3)$$

gde je:

$$\varepsilon_i = 1 \text{ ako je sredina porozna i } \varepsilon_i = 0 \text{ ako je sredina "slobodna"} \quad (4.1.4)$$

i graničnih uslova:

$$\begin{aligned} u_1(-h) &= 0, \quad u_1(0) = u_2(0), \quad u_2(h) = 0, \\ \mu_1 \frac{du_1}{dy} &= \mu_2 \frac{du_2}{dy} \text{ za } y = 0, \\ T_1(-h) &= T_{w2}, \quad T_1(0) = T_2(0), \quad T_2(h) = T_{w1}, \\ k_1 \frac{dT_1}{dy} &= k_2 \frac{dT_2}{dy} \text{ za } y = 0. \end{aligned} \quad (4.1.5)$$

Jednačine (4.1.1), (4.1.2), (4.1.3) i granični uslovi (4.1.5) predstavljaju matematički model problema strujanja i prenosa toplote koji se izučava u ovom delu disertacije. Ovaj matematički model je opšti i pruža mogućnost izučavanja različitih slučajeva kao što su: obe polovine "slobodne", jedna "slobodna" a druga porozna, obe porozne istih i različitih propustljivosti, različitih fluida, itd.

Za dalje izučavanje ovog problema, kako je to rađeno i u delu 3.1 ovog rada, jednačine (4.1.1), (4.1.2), (4.1.3) i granični uslovi (4.1.5) svode se na bezdimenzione oblike i u tom cilju se uvode bezdimenzione veličine:

$$y^* = \frac{y}{h}, \quad u_i^* = \frac{u_i}{U}, \quad \Theta_i = \frac{T_i - T_{w2}}{T_{w1} - T_{w2}}, \quad (4.1.6)$$

gde su:

$$P = -\frac{\partial p}{\partial x} = \text{const}, \quad U = \frac{h^2 P}{\mu_1}. \quad (4.1.7)$$

Koristeći uvedene bezdimenzione veličine (4.1.6) jednačina (4.1.1) se transformiše na bezdimenzioni oblik:

$$\frac{d^2 u_i^*}{dy^{*2}} - (\varepsilon_i \Lambda_i + Ha_i^2) u_i^* + \gamma_i - KHa_i^2 = 0, \quad (4.1.8)$$

u kome su uvedene oznake:

$$\Lambda_i = \frac{h^2}{K_i^*}, \quad Ha_i^2 = B^2 h^2 \frac{\sigma_i}{\mu_i}, \quad K = \frac{E_z}{BU}, \quad \gamma_i = \frac{\mu_1}{\mu_i}. \quad (4.1.8-a)$$

Na isti način jednačina (4.1.3) u bezdimenzionom obliku glasi:

$$\frac{d^2 \Theta_i}{dy^{*2}} + Pr_i Ec_i \left[ \left( \frac{du_i^*}{dy^*} \right)^2 + \varepsilon_i \Lambda_i u_i^{*2} + Ha_i^2 (K + u_i^*)^2 \right] = 0, \quad (4.1.9)$$

gde su:

$$Pr_i = \frac{\mu_i c_{pi}}{k_i}, \quad Ec_i = \frac{U^2}{c_{pi} (T_{w1} - T_{w2})}. \quad (4.1.10)$$

Jednačina (4.1.2) u bezdimenzionom obliku može se zapisati kao:

$$\frac{\partial}{\partial y^*} \left( \frac{p_i}{hP} \right) = 0, \quad (4.1.11)$$

a mogući su i drugačiji zapisi. Granični uslovi (4.1.5) u bezdimenzionom obliku su:

$$u_1^*(-1) = 0, \quad u_1^*(0) = u_2^*(0), \quad u_2^*(1) = 0,$$

$$\gamma_2 \frac{du_1^*}{dy^*} = \frac{du_2^*}{dy^*} \text{ za } y^* = 0,$$

$$\Theta_1(-1) = 0, \quad \Theta_1(0) = \Theta_2(0), \quad \Theta_2(1) = 1,$$

$$\delta \frac{d\Theta_1}{dy^*} = \frac{d\Theta_2}{dy^*} \quad \text{za } y^* = 0, \quad (4.1.12)$$

gde je:

$$\delta = \frac{k_1}{k_2}. \quad (4.1.12 \text{ a})$$

Jednačine (4.1.8), (4.1.9), (4.1.11) i granični uslovi (4.1.12) predstavljaju matematički model opisanog strujanja fluida i prenosa toplote u bezdimenzionom obliku.

## 4.1.2 Rasporedi brzine, temperature i pritiska u kanalu

Za određivanje rasporeda brzine, temperature i pritiska u kanalu neophodno je rešiti jednačine (4.1.8), (4.1.9), (4.1.11) sa graničnim uslovima (4.1.12) i sa graničnim uslovima za pritisak koje treba propisati.

Prvo se rešava jednačina (4.1.8). U tom cilju prelazi se na njen kraći zapis:

$$\frac{d^2 u_i^*}{dy^{*2}} - \omega_i^2 u_i^* = K H a_i^2 - \gamma_i, \quad (4.1.13)$$

gde je uvedena oznaka:

$$\omega_i^2 = \varepsilon_i \Lambda_i + H a_i^2. \quad (4.1.13 \text{ a})$$

Rešenja karakterističnih jednačina odgovarajućih homogenih jednačina, jednačina (4.1.13) su:

$$r_i = \pm \omega_i, \quad i = 1, 2. \quad (4.1.14)$$

Rešenja odgovarajućih homogenih jednačina su:

$$u_{hi}^*(y^*) = A_i \exp(\omega_i y^*) + B_i \exp(-\omega_i y^*), \quad (4.1.15)$$

gde su  $A_i$  i  $B_i$  integracione konstante.

Prepostavljajući partikularna rešenja jednačina (4.1.13) u obliku konstanti dobija se da su ona data izrazima:

$$u_{pi}^* = \frac{\gamma_i - KHa_i^*}{\omega_i^2} = \Omega_i, \quad i=1,2. \quad (4.1.16)$$

Onda je raspored brzine u kanalu dat izrazom:

$$u_i^*(y^*) = A_i \exp(\omega_i y^*) + B_i \exp(-\omega_i y^*) + \Omega_i. \quad (4.1.17)$$

Zapaža se da je za donju polovinu kanala  $-1 \leq y^* \leq 0$ , dok za gornju važi  $0 \leq y^* \leq 1$ . Izraz (4.1.17), za raspored bezdimenzione brzine tečnosti u kanalu, važi za sve napred pomenute slučajeve opisanog problema.

Koristeći granične uslove (4.1.12) za brzinu dobija se da integracionim konstantama odgovaraju sledeći izrazi:

$$\begin{aligned} A_2 &= -\frac{R_1 R_6 + R_3 R_4}{R_1 R_5 + R_2 R_4}, \quad B_2 = -A_2 \exp(2\omega_2) - \Omega_2 \exp(\omega_2), \\ B_1 &= \frac{R_2}{R_1} A_2 + \frac{R_3}{R_1}, \quad A_1 = -B_1 \exp(2\omega_1) - \Omega_1 \exp(\omega_1), \end{aligned} \quad (4.1.18)$$

u kojima su, radi kraćih zapisa, uvedene oznake:

$$\begin{aligned} R_1 &= 1 - \exp(2\omega_1), \\ R_2 &= 1 - \exp(2\omega_2), \\ R_3 &= \Omega_2 [1 - \exp(\omega_2)] - \Omega_1 [1 - \exp(\omega_1)], \\ R_4 &= \gamma_2 \omega_1 [1 + \exp(2\omega_1)], \\ R_5 &= \omega_2 [1 + \exp(2\omega_2)], \\ R_6 &= \gamma_2 \Omega_1 \exp(\omega_1) + \omega_2 \Omega_2 \exp(\omega_2). \end{aligned} \quad (4.1.19)$$

Za određivanje rasporeda temperature neophodno je rešiti jednačinu (4.1.9) sa graničnim uslovima (4.1.12). U tom cilju se prethodno dobijen raspored brzine (4.1.17) unese u jednačine (4.1.9) i posle dvostrukе integracije dobija se da je raspored temperature u kanalu dat izrazima:

$$\Theta_i(y^*) = -Pr_i Ec_i \left\{ \frac{1}{2} A_i^2 \exp(2\omega_i y^*) + \frac{1}{2} B_i^2 \exp(-2\omega_i y^*) + L_i \exp(\omega_i y^*) + M_i \exp(-\omega_i y^*) + N_i y^{*2} + C_i y^* + D_i \right\}, \quad (4.1.20)$$

u kojima su radi kraćih zapisa uvedene oznake:

$$\begin{aligned} L_i &= \frac{2A_i}{\omega_i^2} (\Omega_i \omega_i^2 + QHa_i^2), \\ M_i &= \frac{2B_i}{\omega_i^2} (\Omega_i \omega_i^2 + QHa_i^2), \\ N_i &= \frac{1}{2} \left[ \Omega_i (\Omega_i \omega_i^2 + 2QHa_i^2) + Q^2 Ha_i^2 \right], \end{aligned} \quad (4.1.21)$$

a  $C_i$  i  $D_i$  su integracione konstante u kojima su:

$$R_7 = \frac{1}{2} A_1^2 \exp(-2\omega_1) + \frac{1}{2} B_1^2 \exp(2\omega_1) + L_1 \exp(-\omega_1) + M_1 \exp(\omega_1) + N_1,$$

$$R_8 = \frac{Pr_2 Ec_2}{Pr_1 Ec_1},$$

$$R_9 = \frac{Pr_2 Ec_2}{Pr_1 Ec_1} \left( \frac{1}{2} A_2^2 + \frac{1}{2} B_2^2 + L_2 + M_2 \right) - \frac{1}{2} A_1^2 - \frac{1}{2} B_1^2 - L_1 - M_1,$$

$$R_{10} = \frac{1}{2} A_2^2 \exp(2\omega_2) + \frac{1}{2} B_2^2 \exp(-2\omega_2) + L_2 \exp(\omega_2) + M_2 \exp(-\omega_2) + N_2,$$

$$R_{11} = \frac{1}{Pr_2 Ec_2} + R_{10},$$

$$R_{12} = \frac{1}{\delta} \frac{Pr_2 Ec_2}{Pr_1 Ec_1},$$

$$R_{13} = \frac{\omega_2}{\delta} \frac{Pr_2 Ec_2}{Pr_1 Ec_1} (A_2^2 - B_2^2 + L_2 - M_2) - \omega_1 (A_1^2 - B_1^2 + L_1 - M_1). \quad (4.1.23)$$

Korišćenjem graničnih uslova (4.1.12) za temperaturu dobija se da su integracione konstante date izrazima:

$$D_2 = \frac{R_{13} - R_7 - R_9 - R_{11} R_{12}}{R_8 + R_{12}},$$

$$C_2 = -D_2 - R_{11},$$

$$\begin{aligned} C_1 &= R_{12}C_2 + R_{13}, \\ D_1 &= C_1 - R_7. \end{aligned} \quad (4.1.22)$$

Integracijom jednačine (4.1.11) dobija se da je raspored pritiska:

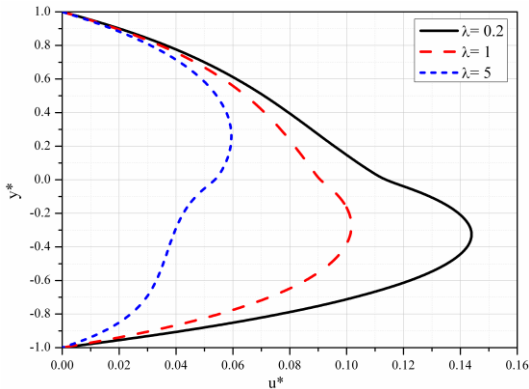
$$\frac{P_i}{hP} = -\frac{x}{h} + E_i, \quad (4.1.24)$$

gde su  $E_i$  integracione konstante. Ako je, na primer, za  $x = 0$  pritisak  $p = p_0$  onda se dobija da je raspored pritiska dat izrazom:

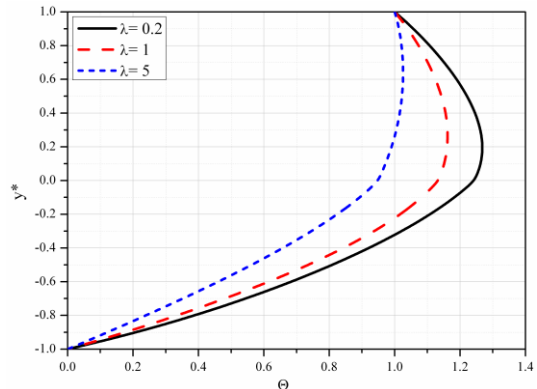
$$\frac{P_i}{hP} = \frac{p_0}{hP} - \frac{x}{h}. \quad (4.1.25)$$

### 4.1.3 Analiza rezultata

Radi preglednosti, jednostavnije analize i izvođenja zaključaka deo dobijenih rezultata prikazan je, u obliku dijagrama, na slikama koje slede. Tako su na slikama 4.1 i 4.2 prikazani bezdimenzionalni rasporedi brzine u kanalu i bezdimenzione temperature u kanalu, respektivno. Kanal je porozan, a poroznost gornje polovine kanala je nepromenjena dok se poroznost donje polovine kanala može menjati. U gornjoj polovini kanala je tečnost koja je viskoznija, toplotnopravodnija i manje elektroprovodnosti od tečnosti u donjoj polovini kanala. Kanal je u režimu kratkog spoja ( $E = 0 \Rightarrow K = 0$ ).



Slika 4.1 Bezdimenziona brzina za različite vrednosti odnosa parametara poroznosti  $\lambda$



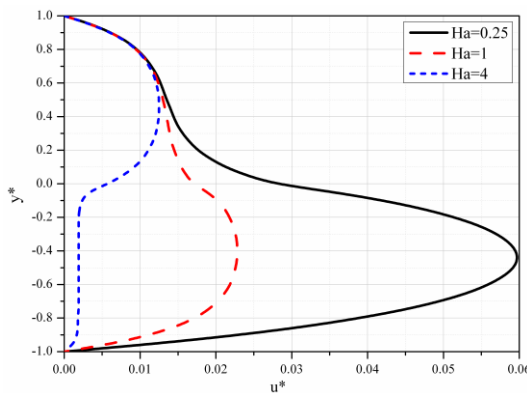
Slika 4.2 Bezdimenziona temperatura za različite vrednosti odnosa parametara poroznosti  $\lambda$

Zbog jednostavnije analize na slikama je korišćena oznaka  $\lambda = \Lambda_1/\Lambda_2$ .

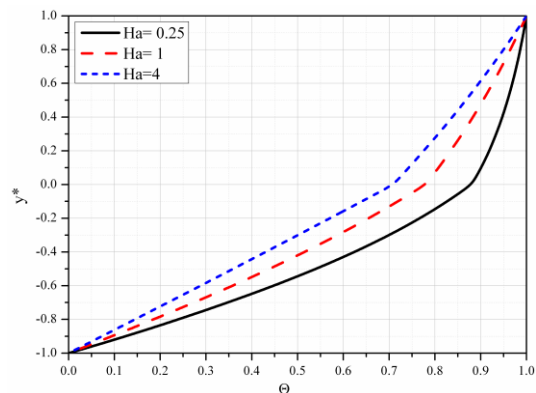
Sa slike 4.1 se zapaža da je za slučaj kanala koji je iste poroznosti ( $\lambda = 1$ ) brzina veća u donjoj polovini kanala. Razlog ovakvog odnosa brzina je u tome što je u donjoj polovini kanala fluid manje viskoznosti. U slučaju kanala kod koga je donja polovina propustljivija ( $\lambda = 0.2$ ) dolazi do uvećanja brzine fluida u donjoj polovini kanala i zbog veće propustljivosti tog dela kanala i zbog manje viskoznosti tečnosti u tom delu kanala. Za slučaj kada je donja polovina kanala manje propustljivosti od gornje ( $\lambda = 5$ ) dolazi do smanjenja brzine u tom delu kanala. Razlog za ovako dobijen raspored brzine je u činjenici što je smanjenje brzine zbog pet puta smanjene poroznosti veće od povećanja brzine zbog manje viskoznosti fluida u tom delu kanala. Tangencijalni naponi na zidovima kanala se smanjuju sa povećanjem vrednosti  $\lambda$  tj. veći su za slučaj kada je donja polovina kanala veće propustljivosti, a manji kada je ona manje propustljivosti. Položaji maksimalnih brzina su za  $\lambda = 0.2$  i  $\lambda = 1$  u donjoj polovini kanala, a za  $\lambda = 5$  u gornjoj polovini kanala.

Sa slike 4.2 se zaključuje da je, za slučaj kada je donja polovina kanala veće propustljivosti od gornje polovine, temperatura u kanalu viša u odnosu na

temperaturu kada je ceo kanal iste propustljivosti ( $\lambda = 1$ ). Za slučaj kada je donja polovina kanala manje propustljivosti ( $\lambda = 5$ ) temperatura u kanalu je niža od temperature kada je kanal iste propustljivosti ( $\lambda = 1$ ). Sa povećanjem veličine  $\lambda$  tj. sa smanjenjem propustljivosti donje polovine kanala smanjuje se količina toplote koja se sa tečnosti transportuje na gornji zid kanala. Pri određenoj maloj propustljivosti donje polovine kanala može i da ne postoji transport topline od tečnosti na gornji zid kanala, a i da se toplota transportuje sa gornjeg zida na tečnost. Sa povećanjem vrednosti  $\lambda$  povećava se količina topline koja se prenosi kondukcijom, posebno u donjoj polovini kanala.



Slika 4.3 Bezdimenziona brzina za različite vrednosti Ha



Slika 4.4 Bezdimenziona temperatura za različite vrednosti Ha

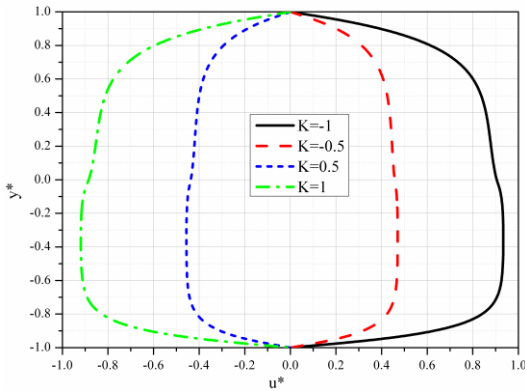
Na slikama 4.3 i 4.4 prikazani su grafici rasporeda bezdimenziione brzine i bezdimenziione temperature za različite vrednosti odnosa Hartmann-ovih brojeva ( $Ha = Ha_1/Ha_2$ ). Kanal je porozan s tim što je donja polovina kanala manje propustljivosti ( $\lambda = 2$ ). U gornjoj polovini kanala nalazi se viskozniji fluid ( $\gamma_2 = 0.5$ ). Fluid u gornjoj polovini kanala ima konstantnu elektroprovodnost, a u donjoj polovini kanala se mogu nalaziti fluidi različitih elektroprovodnosti u

različitim slučajevima. Ovim različitim slučajevima odgovaraju različite vrednosti veličine  $Ha$  tj. odnosa Hartmann-ovih brojeva.

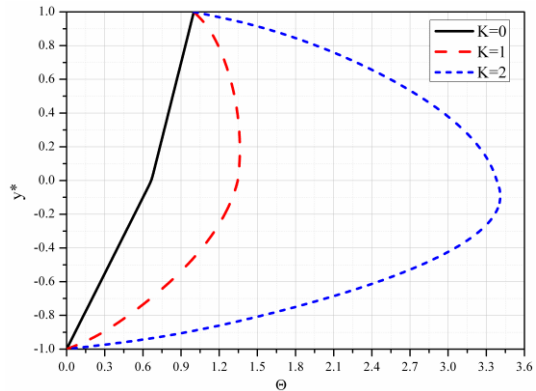
Sa slike 4.3 se zaključuje da sa porastom veličine  $Ha$  tj. sa porastom elektroprovodnosti tečnosti u donjoj polovini kanala opada brzina u kanalu. Za veliku provodnost tečnosti u donjoj polovini kanala brzina tečnosti u tom delu kanala postaje sasvim mala. Brzina tečnosti sa promenom  $Ha$  se intenzivno menja u okolini donjeg zida dok je u okolini gornjeg zida skoro nepromenjena. Sa povećanjem vrednosti  $Ha$  tangencijalni napon na donjem zidu kanala opada dok je na gornjem zidu skoro nepromenjen. Za slučajeve kada su elektroprovodnosti fluida koji se nalaze u donjoj polovini kanala manje od elektroprovodnosti fluida koji se nalazi u gornjoj polovini kanala ( $Ha = 0.25$  i  $Ha = 1$ ) ogovarajuće brzine u donjoj polovini kanala su veće od brzina u gornjoj polovini kanala. Za slučaj kada je elektroprovodnost fluida koji se nalazi u donjoj polovini kanala veća od elektroprovodnosti fluida koji se nalazi u gornjoj polovini kanala ( $Ha = 4$ ) onda je brzina u donjoj polovini kanala manja od brzine u gornjoj polovini kanala.

Sa slike 4.4 se zaključuje da sa porastom vrednosti  $Ha$  tj. sa porastom elektroprovodnosti fluida u donjoj polovini kanala dolazi do sniženja temperature u kanalu. Sa porastom ove vrednosti raste i količina toplote koja se prostire kondukcijom. U ovim slučajevima nema transporta toplote sa tečnosti na gornji zid kanala već obrnuto sa gornjeg zida na tečnost. Transportovana količina toplote sa gornjeg zida na tečnost je veća za veće vrednosti veličine  $Ha$ .

Na slikama 4.5 i 4.6 predstavljeni su rasporedi bezdimenziione brzine i bezdimenziione temperature za različite vrednosti faktora spoljašnjeg električnog opterećenja. Fluid u donjoj polovini kanala je manje viskozosti, veće elektroprovodnosti i manje toplotne provodnosti u odnosu na odgovarajuće veličine fluida koji se nalazi u gornjoj polovini kanala. Donja povolima kanala je manje propustljivosti od gornje polovine kanala.



Slika 4.5 Bezdimenziona brzina za različite vrednosti K



Slika 4.6 Bezdimenziona temperature za različite vrednosti K

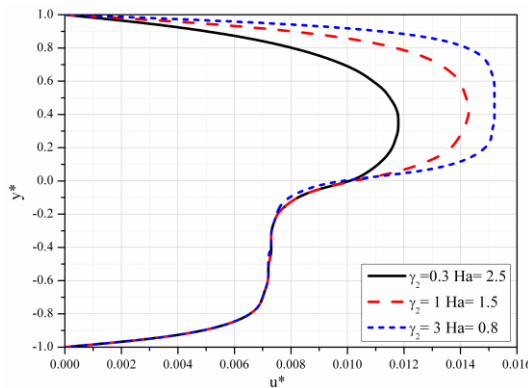
Sa slike 4.5 se zapaža da je za  $K < 0$  smer brzine u kanalu isti sa smerom pada pritiska, dok je za  $K > 0$  on suprotan. Dakle, promena znaka veličine  $K$  tj. promena smera spoljašnjeg električnog polja dovodi do promene smera brzine tečnosti u kanalu. Brzine u kanalu su manje u režimu generatora od brzina tečnosti u kanalu u režimu praznog hoda. Za veće vrednosti  $|K|$  veći su i tangencijalni naponi na zidovima kanala. Brzine u donjoj polovini kanala veće su od odgovarajućih brzina u gornjoj polovini kanala. U većem delu donje polovine kanala brzine se malo menjaju.

Sa slike 4.6 se zaključuje da je u slučaju režima kratkog spoja ( $K = 0$ ) dominantno prostiranje topline kondukcijom i da su temperature u gornjoj polovini kanala više od temperatura u donjoj polovini kanala. Sa porastom veličine  $K$  raste temperatura u kanalu i povećava se količina topline koja se transportuje sa tečnosti na gornji zid, osim za slučaj  $K = 0$  kada nema transporta topline sa tečnosti na gornji zid već obrnuto. Intenzivniji je rast temperature u okolini donjeg zida nego u okolini gornjeg zida.

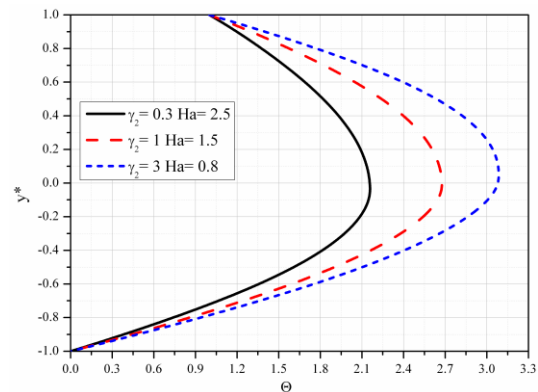
Na slikama 4.7 i 4.8 predstavljeni su bezdimenzioni rasporedi brzine i temperature u kanalu za različite vrednosti odnosa koeficijenata dinamičkih viskoznosti tečnosti u donjoj i gornjoj polovini kanala tj. veličine  $\gamma_2$ . Kanal je

porozan tako da mu je donja polovina manje propustljivosti od gornje polovine. U donjoj polovini kanala nalazi se tečnost stalne viskoznosti, veće elektroprovodnosti, a manje toplotne provodnosti od tečnosti u gornjoj polovini kanala. Kanal je u režimu kratkog spoja.

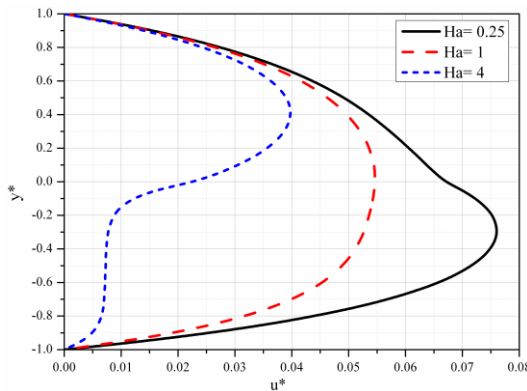
Sa slike 4.7 se zaključuje da je brzina tečnosti u kanalu istog smera sa smerom pada pritiska u kanalu. Sa promenom dinamičke viskoznosti tečnosti u gornjoj polovini kanala tj. sa promenom veličine  $\gamma_2$  brzina u donjoj polovini kanala skoro da se i ne menja kao i tangencijalni napon na donjem zidu kanala. U gornjoj polovini kanala sa porastom veličine  $\gamma_2$  raste brzina tečnosti u kanalu i tangencijalni napon na gornjem zidu kanala. Razlozi za ovakve rasporede brzine leže u činjenicama da je za  $\gamma_2 > 1$  u gornjoj polovini kanala fluid manje viskoznosti, pri čemu je gornja polovina kanala dva puta propustljivija od donje.



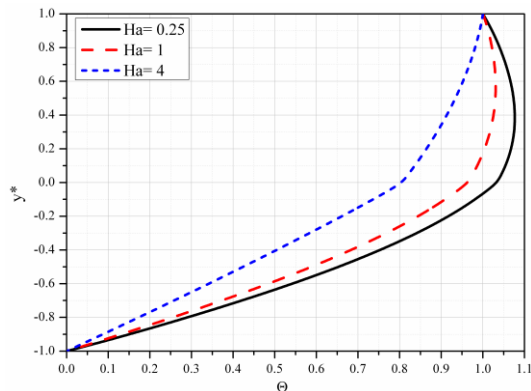
Slika 4.7 Bezdimenziona brzina za različite vrednosti odnosa viskoznosti  $\gamma_2$



Slika 4.8 Bezdimenziona temperatura za različite vrednosti odnosa viskoznosti  $\gamma_2$



Slika 4.9 Bezdimenziona brzina za različite vrednosti parametra  $Ha$



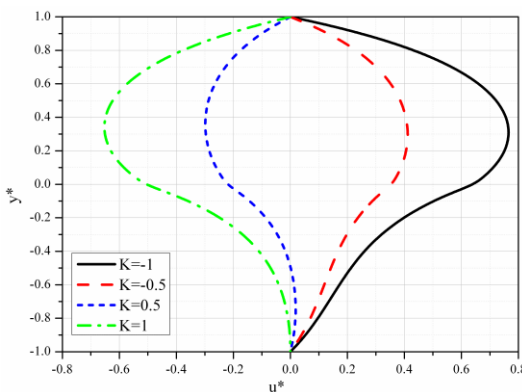
Slika 4.10 Bezdimenziona temperatura za različite vrednosti parametra  $Ha$

Sa slike 4.8 se zaključuje da sa porastom veličine  $\gamma_2$  tj. sa smanjenjem dinamičke viskoznosti u gornjoj polovini kanala raste temperatura u kanalu. Maksimalne temperature su u okolini sredine kanala. Količina toplote koja se transportuje sa tečnosti na gornji zid raste sa porastom veličine  $\gamma_2$ .

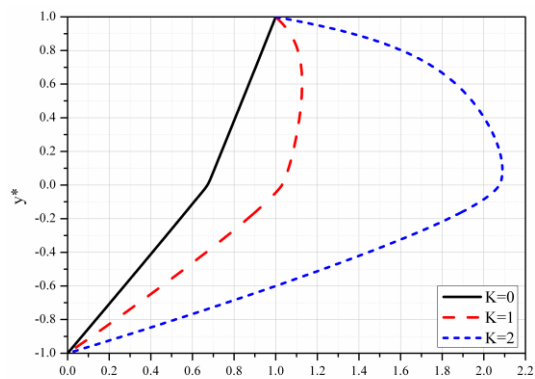
Na slikama 4.9 i 4.10 predstavljeni su rasporedi bezdimenzione brzine i bezdimenzione temperature u kanalu za različite vrednosti veličine  $Ha$  respektivno. Donja polovina kanala je porozna, a gornja polovina je "slobodna". Tečnost u donjoj polovini kanala je manje toplotne provodnosti od toplotne provodnosti tečnosti u gornjoj polovini kanala. Elektroprovodnost tečnosti u gornjoj polovini kanala je stalna dok elektroprovodnost tečnosti u donjoj polovini kanala može biti različita.

Sa slike 4.9 se zapaža da sa povećanjem veličine  $Ha$  tj. sa povećanjem magnetnog polja tečnosti u donjoj polovini kanala opada brzina tečnosti u kanalu. Tangencijalni napon na donjem zidu kanala se smanjuje, dok je na gornjem zidu skoro nepromenjen. Za velike vrednosti veličine  $Ha$  brzina kretanja tečnosti u donjoj polovini kanala može biti vrlo mala tj. strujanje se može skoro zaustaviti. Za vrednosti  $Ha < 1$  maksimalne brzine su u donjoj polovini kanala, a za  $Ha > 1$  u gornjoj polovini kanala.

Sa slike 4.10 se zaključuje da sa porastom veličine  $Ha$  temperatura u kanalu opada i opada i količina topline koja se transportuje sa tečnosti na gornji zid kanala. Za velike vrednosti  $Ha$  je transport topline sa gornjeg zida na tečnost. Sa smanjenjem veličine  $Ha$  smanjuje se i viskozna disipacija u okolini zidova kanala izražena promena brzine. Za velike vrednosti  $Ha$  u donjoj polovini kanala se toplota uglavnom prostire kondukcijom. Više temperature su u gornjoj polovini kanala.



Slika 4.11 Bezdimenziona brzina za različite vrednosti  $K$



Slika 4.12 Bezdimenziona temperatura za različite vrednosti  $K$

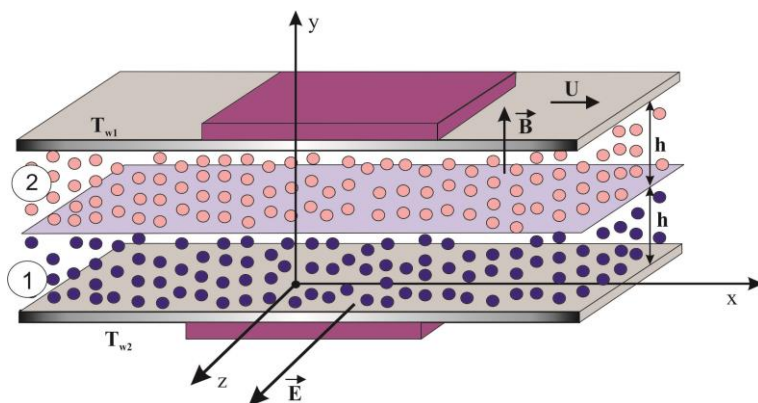
Na slikama 4.11 i 4.12 prikazani su rasporedi bezdimenzione brzine i bezdimenzione temperature tečnosti u kanalu za različite vrednosti faktora spoljašnjeg električnog opterećenja, respektivno. Gornja polovina kanala je "slobodna", a donja porozna. Tečnost u gornjoj polovini kanala je veće elektroprovonosti, veće viskoznosti, veće toplotne provodnosti i većeg Hartmann-ovog broja u odnosu na tečnost u donjoj polovini kanala.

Sa slike 4.11 se zaključuje da se sa promenom znaka veličine  $K$  tj. sa promenom smera spoljašnjeg primjenjenog električnog polja menja smer brzine strujanja tečnosti u kanalu što predstavlja jedno od glavnih preimุćstva MHD pumpi. Sa povećanjem  $|K|$  povećava se brzina tečnosti u kanalu i tangencijalni naponi na zidovima kanala. Maksimalne brzine su u gornjoj polovini kanala.

Sa slike 4.12 se zaključuje da je za slučaj režima kratkog spoja prostiranje topline u kanalu uglavnom kondukcijom. Za slučaj režima praznog hoda u donjoj polovini kanala prostiranje topline je uglavnom kondukcijom. Sa porastom veličine  $K$  raste temperatura u kanalu. Više su temperature u gornjoj polovini kanala. Za  $K > 0$  toplota se transportuje sa tečnosti na gornji zid kanala i raste sa porastom  $K$ . Za  $K = 0$  transport topline je sa gornjeg zida na tečnost.

## 4.2 Poiseuille-Couette-ovo MHD strujanje dva fluida i prenos topline u poroznoj sredini u horizontalnom kanalu

U ovom delu rada se razmatra strujanje dva fluida koji se ne mešaju u poroznoj sredini. Zidovi kanala su horizontalni na nepromjenjenom međusobnom rastojanju koje iznosi  $2h$ . Donji zid kanala je nepokretan, a gornji zid kanala kreće se paralelno donjem zidu brzinom intenziteta  $U$ . Sredina je porozna, a donja i gornja polovina kanala mogu biti različitih propustljivosti. Razmatra se slučaj koji će obuhvatiti i jednu i drugu situaciju.



Slika 4b Fizički model strujanja

Tečnosti u kanalu su, u opštem slučaju, elektroprovodne. Kanal se nalazi u homogenom magnetnom polju koje je upravno na zidove kanala, a čija indukcija ima intenzitet  $B$ . Na kanal deluje i homogeno električno polje čiji je intenzitet  $E_z$ , a pravac mu je upravan na ravan uzdužnog preseka kanala. Temperature zidova kanala su konstantne i različite.

### 4.2.1 Matematički model

Da bi se došlo do matematičkog modela opisanog problema strujanja polazi se, kao i u prethodnim poglavljima, od jednačine kontinuiteta za nestišljiv fluid, Navier-Stokes-ove jednačine za poroznu sredinu, jednačine energije, kao i Ohm-ovog zakona. Sprovodeći analizu i uprošćenje pomenutih jednačina, kao i u prethodnim poglavljima, dolazi se do toga da matematički model opisanog problema predstavljaju iste jednačine kao i u prethodnom poglavlju koje su označene sa (4.1.1), (4.1.2), (4.1.3) i sledeći granični uslovi:

$$\begin{aligned} u_1(-h) &= 0, \quad u_1(0) = u_2(0), \quad u_2(h) = U, \\ \mu_1 \frac{du_1}{dy} &= \mu_2 \frac{du_2}{dy} \quad \text{za } y = 0, \\ T_1(-h) &= T_{w2}, \quad T_1(0) = T_2(0), \quad T_2(h) = T_{w1}, \\ k_1 \frac{dT_1}{dy} &= k_2 \frac{dT_2}{dy} \quad \text{za } y = 0. \end{aligned} \tag{4.2.1}$$

Zapaža se da su ovi granični uslovi različiti od graničnih uslova problema izučenog u poglavlju 4.1 i to samo za brzinu na gornjem zidu kanala. Kod prethodnog problema ova brzina je bila jednaka nuli jer je zid kanala nepokretan, a kod ovog problema ona je jednaka brzini gornjeg zida kanala koji se kreće brzinom čiji je intenzitet  $U$ .

Za dalju analizu opisanog problema ovaj matematički model se transformiše na bezdimenzionalni matematički model. U tom cilju uvode se bezdimenziione veličine date izrazima (4.1.6), gde je sada, za razliku od problema

izučenog u prethodnom poglavlju, U veličina koja predstavlja intenzitet brzine kretanja gornjeg zida kanala, a ne veličina data izrazom (4.1.7), kako je to bilo u prethodnom poglavlju. I ovde se smatra da je pad pritiska u pravcu ose x, po jedinici dužine kanala konstantan.

Korišćenjem uvedenih bezdimenzionih veličina datih izrazima (4.1.6) jednačinu (4.1.1) moguće je transformisati na sledeći bezdimenzioni oblik:

$$\frac{d^2 u_i^*}{dy^*} - (\varepsilon_i \Lambda_i + Ha_i^2) u_i^* + G_i - KHa_i^2 = 0, \quad (4.2.2)$$

u kome je:

$$G_i = \frac{Ph^2}{U\mu_i}, \quad (4.2.3)$$

a ostale oznake date su izrazima (4.1.8-a).

Zapaža se da je jednačina (4.2.2) istog oblika sa jednačinom (4.1.8) iz prethodnog poglavlja. Ovde je umesto veličine  $\gamma_i$  uvedena veličina  $G_i$  koja u startu ima isti zapis, ali se s obzirom na veličinu  $U$  u jednom i drugom slučaju one razlikuju. Naravno, mogla je da se zadrži ista oznaka, ali da se ima u vidu njena različitost u jednom i drugom slučaju.

Jednačina (4.1.2) u bezdimenzionom obliku ima zapis (4.1.11), a jednačina (4.1.3) ima zapis (4.1.9). Dakle, ove jednačine se ne razlikuju od odgovarajućih jednačina u prethodnom poglavlju. Naravno, stalno treba imati u vidu da veličina  $U$  nije ista veličina ovde i u prethodnom poglavlju, iako je oznaka ista.

Odgovarajući granični uslovi u bezdimenzionom obliku dobijaju se iz graničnih uslova (4.2.1) i dati su izrazima:

$$u_1^*(-1) = 0, \quad u_1^*(0) = u_2^*(0), \quad u_2^*(1) = 1,$$

$$\gamma_2 \frac{du_1^*}{dy^*} = \frac{du_2^*}{dy^*} \text{ za } y^* = 0,$$

$$\Theta_1(-1) = 0, \quad \Theta_1(0) = \Theta_2(0), \quad \Theta_2(1) = 1,$$

$$\delta \frac{d\Theta_1}{dy^*} = \frac{d\Theta_2}{dy^*} \text{ za } y^* = 0, \quad (4.2.4)$$

gde su korišćene iste oznake kao u prethodnom poglavlju.

Jednačine (4.2.2), (4.1.9), (4.1.11) i granični uslovi (4.2.4) predstavljaju matematički model u bezdimenzionom obliku opisanog strujanja tečnosti i razmene topote.

## 4.2.2 Rasporedi brzine, temperature i pritiska u kanalu

Za određivanje rasporeda brzine, temperature i pritiska neophodno je rešiti jednačine (4.1.2), (4.1.9) i (4.1.11) sa graničnim uslovima (4.2.4). Imajući u vidu da su oblici jednačina u ovom i prethodnom poglavlju isti takva će biti i njihova rešenja.

Rešenja jednačina (4.1.2) data su izrazima (4.1.17) u kome je sada partikularno rešenje dato izrazom:

$$\Omega_i = \frac{G_i - KHa_i^2}{\omega_i^2}, \quad (4.2.5)$$

koji se razlikuje od odgovarajućeg izraza u prethodnom poglavlju.

Za određivanje integracionih konstanti koje se nalaze u izrazima za brzine koriste se granični uslovi (4.2.4) i dobija se da su one date izrazima:

$$A_2 = -\frac{R_1 R_6^* + R_3^* R_4}{R_1 R_5 + R_2 R_4},$$

$$B_1 = \frac{R_2}{R_1} A_2 + \frac{R_3^*}{R_1},$$

$$A_1 = -B_1 \exp(2\omega_1) - \Omega_1 \exp(\omega_1),$$

$$B_2 = (1 - \Omega_2) \exp(\omega_2) - A_2 \exp(2\omega_2), \quad (4.2.6)$$

u kojima su korišćene oznake:

$$R_3^* = (1 - \Omega_2) \exp(\omega_2) + \Omega_2 - \Omega_1 [1 - \exp(\omega_1)],$$

$$R_6^* = \gamma_2 \omega_1 \Omega_1 \exp(\omega_1) + \omega_2 (\Omega_2 - 1) \exp(\omega_2), \quad (4.2.7)$$

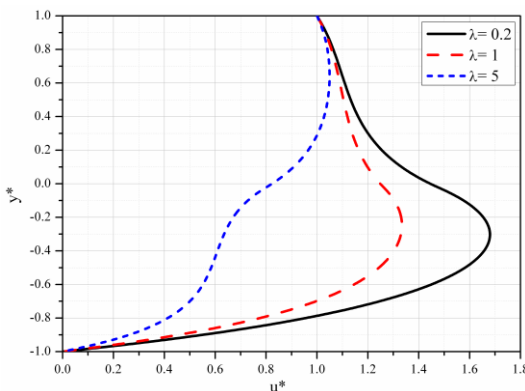
i oznake date izrazima (4.1.19).

Ovim je određen raspored bezdimenzione brzine u kanalu.

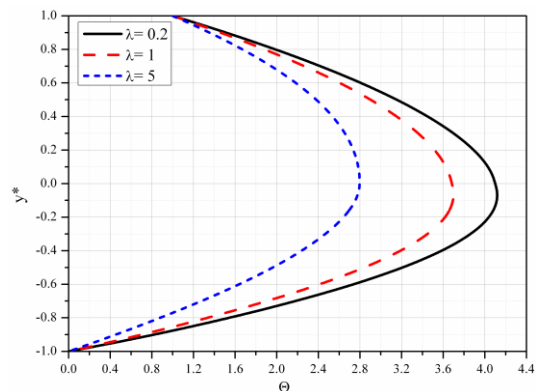
Raspored temperature dobija se rešavanjem jednačine (4.1.9) pošto se u nju unese izraz za brzinu (4.1.17) i dobija se da je on dat izrazom (4.1.20). Integracione konstante koje se nalaze u ovom izrazu date su izrazima (4.1.22). Raspored pritiska, kao i u prethodnom poglavlju, dat je izrazom (4.1.25).

### 4.2.3 Analiza rezultata

Na slikama 4.13 i 4.14 predstavljeni su rasporedi bezdimenzione brzine i bezdimenzione temperature za različite vrednosti odnosa faktora poroznosti odnosno propustljivosti kanala  $\lambda = \Lambda_1 / \Lambda_2$ . Tokom proračuna menjana je poroznost donje polovine kanala dok je poroznost gornje polovine kanala bila konstantna.



Slika 4.13 Bezdimentziona brzina za različite vrednosti parametra  $\lambda$



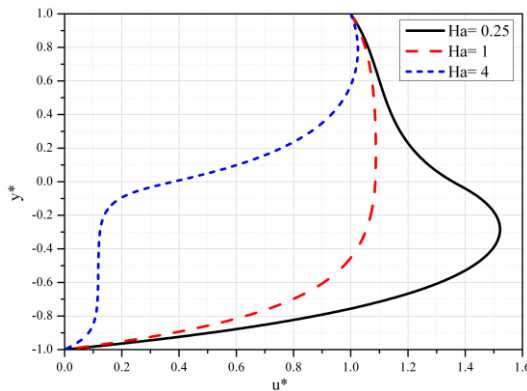
Slika 4.14 Bezdimentziona temperatura za različite vrednosti parametra  $\lambda$

Tečnost koja se nalazi u gornjoj polovini kanala je viskoznija, veće toplotne provodnosti i elektroprovodnosti od tečnosti u donjoj polovini kanala. Kanal je u režimu kratkog spoja ( $K = 0$ ).

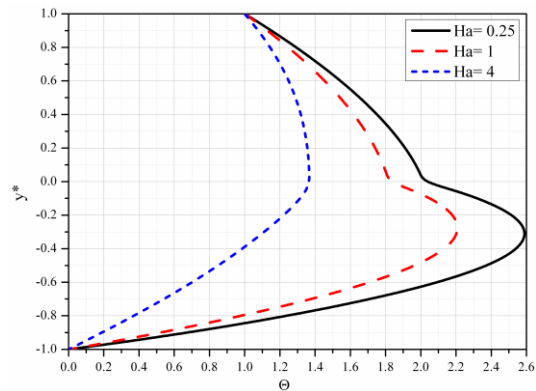
Sa slike 4.13 se zaključuje da sa porastom veličine  $\lambda$  tj. sa smanjenjem propustljivosti donje polovine kanala brzina tečnosti u kanalu opada i to u donjoj polovini kanala značajno, a u gornjoj mnogo manje. Za  $\lambda = 1$  i  $\lambda = 5$  maksimalni intenziteti brzina su u donjoj polovini kanala, dok je za  $\lambda = 0.2$  brzina maksimalna u gornjoj polovini kanala. Sa povećanjem vrednosti  $\lambda$  smanjuju se tangencijalni naponi na zidovima kanala. Najveća srednja brzina i protok tečnosti u kanalu je za najmanju vrednost  $\lambda$ .

Sa slike 4.14 se zaključuje da sa povećanjem veličine  $\lambda$  opada temperatura u kanalu i opada količina transportovane toplotne sa tečnosti na gornji zid kanala. Maksimalne temperature su u donjoj polovini kanala, a bliže sredini kanala što je  $\lambda$  veće.

Na slikama 4.15 i 4.16 prikazani su rasporedi bezdimenzijske brzine i bezdimenzijske temperature za različite vrednosti odnosa Hartmann-ovih brojeva ( $Ha = Ha_1/Ha_2$ ), respektivno. Kanal je porozan pri čemu je donja polovina kanala manje propustljivosti od gornje polovine kanala. Tečnost u gornjoj polovini kanala je veće viskoznosti i veće toplotne propustljivosti od tečnosti u donjoj polovini kanala. Za promenu veličine  $Ha$  menjan je  $Ha_1$ , promenom elektroprovodnosti  $\sigma_1$ , a  $Ha_2$  je konstantno.



Slika 4.15 Bezdimenziona brzina za različite vrednosti odnosa Hartmann-ovih brojeva

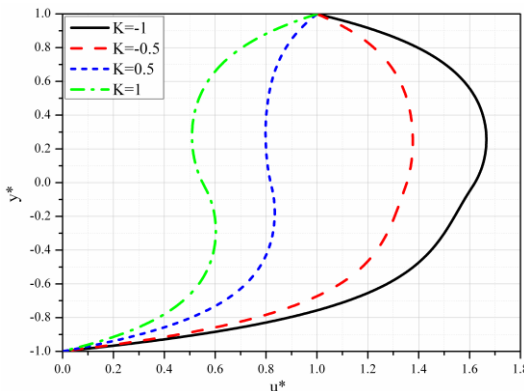


Slika 4.16 Bezdimenziona temperatura za različite vrednosti odnosa Hartmann-ovih brojeva

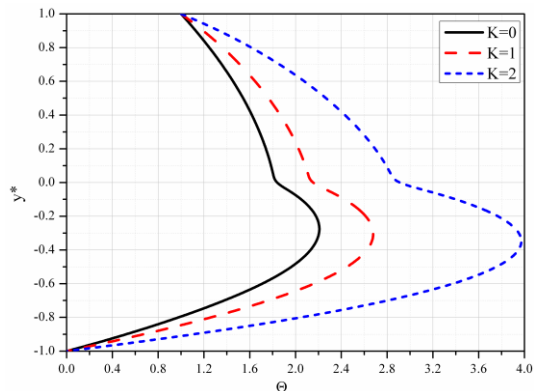
Sa slike 4.15 se zaključuje da sa povećanjem odnosa Hartmann-ovih brojeva brzina u kanalu opada, opadaju srednja brzina, protok u kanalu i tangencijalni naponi na zidovima kanala. Za velike vrednosti ove veličine strujanje tečnosti u donjoj polovini kanala može se skoro zaustaviti.

Sa slike 4.16 se zaključuje da sa porastom  $Ha$  tj. porastom elektroprovodnosti fluida u donjoj polovini kanala temperatura u kanalu opada. Za malu vrednost odnosa  $Ha$  temperatura je maksimalna u sredini kanala, a za veće vrednosti ovog odnosa temperatura je maksimalna u donjoj polovini kanala.

Na slikama 4.17 i 4.18 prikazani su rasporedi bezdimenziione brzine i temperature u kanalu za različite vrednosti faktora opterećenja  $K$ . Kanal je porozan, a donja njegova polovina je manje propustljivosti od gornje. Tečnost u donjoj polovini kanala je manje elektroprovodnosti, manje viskoznosti, manje topotne provodnosti i kod nje je manji Hartmann-ov broj od tečnosti u gornjoj polovini kanala. Faktor opterećenja  $K$  se menja tako što se menja spoljašnje primjenjeno električno polje.



Slika 4.17 Bezdimenziona brzina za različite vrednosti K



Slika 4.18 Bezdimenziona temperatura za različite vrednosti K

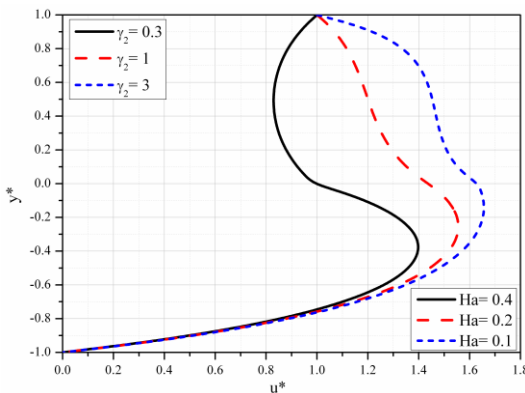
Sa slike 4.17 se zaključuje da za  $K < 0$  sa porastom vrednosti  $|K|$  raste brzina, srednja brzina i protok u kanalu i tangencijalni naponi na zidovima kanala. Maksimalne brzine su u gornjoj polovini kanala. Za  $K > 0$ , sa porastom veličine K opada brzina u kanalu i tangencijalni napon na donjem zidu kanala, a raste na gornjem zidu.

Sa slike 4.18 se zaključuje da sa porastom veličine K raste temperatura u kanalu i to intenzivnije i više u donjoj polovini kanala. Najniža temperatura je za slučaj kada je kanal u režimu kratkog spoja. Maksimalne vrednosti temperaturne su u donjoj polovini kanala, a bliže sredini kanala nego donjem zidu kanala. Količina toplotne energije koja se transportuje sa tečnosti na gornji zid veća je za veće vrednosti veličine K.

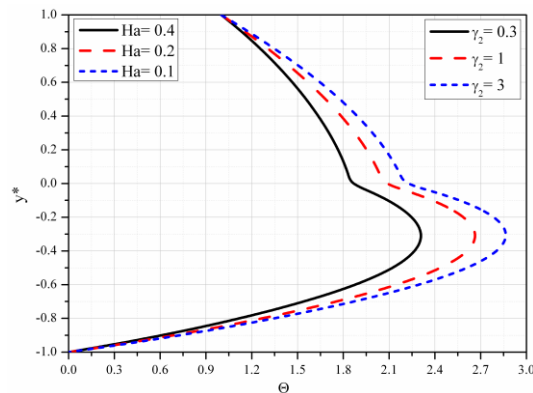
Na slikama 4.19 i 4.20 prikazani su rasporedi bezdimenziione brzine i bezdimenziione temperature u kanalu za različite vrednosti odnosa viskoznosti tečnosti u kanalu. Kanal je porozan, a propustljivost donje polovine kanala je manja od propustljivosti gornje polovine kanala. Kanal je u režimu kratkog spoja. Tečnost u donjoj polovini kanala je manje elektroprovodnosti i manje toplotne provodnosti od tečnosti u gornjoj polovini kanala. Ovde se menja odnos viskoznosti tečnosti koje struje kroz donju i gornju polovicu kanala. Tokom

## Poglavlje 4

proračuna menja se odnos  $\gamma_2 = \mu_1/\mu_2$  tako što se menja viskoznost  $\mu_2$  fluida u gornjoj polovini kanala. Kada odnos  $\gamma_2$  opada onda opada i brzina u gornjoj polovini kanala, a donji fluid se usporava, u suprotnom kada odnos  $\gamma_2$  raste onda raste i brzina u gornjoj polovini kanala, a donji fluid se ubrzava na račun gornjeg fluida.



Slika 4.19 Bezdimenziona brzina za različite vrednosti odnosa viskoznosti  $\gamma_2$

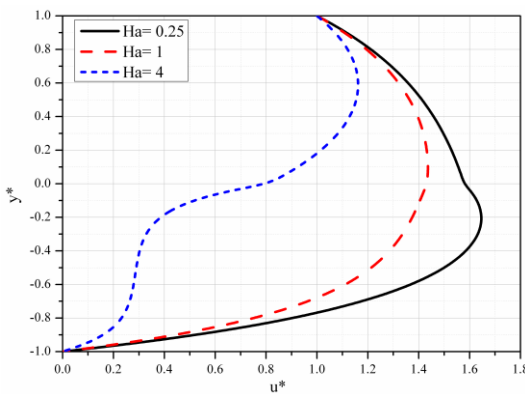


Slika 4.20 Bezdimenziona temperatura za različite vrednosti odnosa viskoznosti  $\gamma_2$

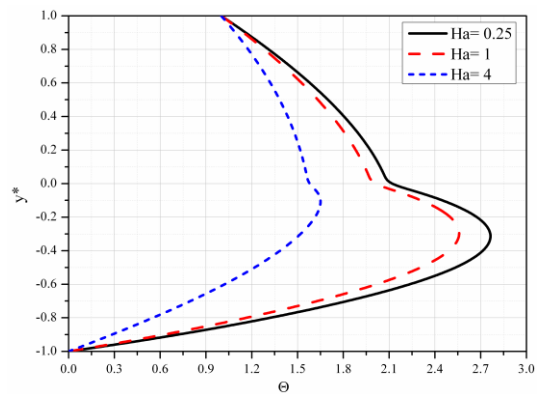
Sa slike 4.19 se zaključuje da sa povećanjem veličine  $\gamma_2$  raste brzina tečnosti u kanalu, a za  $\gamma_2 \geq 1$  i tangencijalni napon na gornjem zidu. Tangencijalni napon na donjem zidu vrlo malo se menja sa promenom veličine  $\gamma_2$ . Maksimalne brzine su u donjoj polovini kanala, a njihov položaj se sa povećanjem  $\gamma_2$  udaljava od donjeg zida ili bolje rečeno približava sredini kanala.

Sa slike 4.20 se zaključuje da sa porastom veličine  $\gamma_2$  rastu temperature u kanalu i količina transportovane toplote sa tečnosti na gornji zid kanala iako je njegova temperatura viša od temperature donjeg zida kanala. Maksimalne vrednosti temperature su u donjoj polovini kanala. Viskozno zagrevanje je izraženije na razdelnoj površi i kod donjeg fluida.

Na slici 4.21 i slici 4.22 prikazani su rasporedi bezdimenzione brzine i bezdimenzione temperature tečnosti u kanalu za različite vrednosti odnosa Hartmann-ovih brojeva. Donja polovina kanala je porozna, a gornja "slobodna". Kanal je u režimu kratkog spoja. U donjoj polovini kanala je tečnost manje viskoznosti i manje toplotne provodnosti od tečnosti u gornjoj polovini kanala. Ovde se promena odnosa Hartmann-ovih brojeva vrši promenom elektroprovodnosti donje tečnosti.



Slika 4.21 Bezdimentziona brzina za različite vrednosti odnosa Hartmann-ovih brojeva Ha



Slika 4.22 Bezdimentziona temperatura za različite vrednosti odnosa Hartmann-ovih brojeva Ha

Slike 4.21 se zaključuje da sa povećanjem vrednosti Ha brzina u kanalu opada i da ih tečnost u gornjoj "slobodnoj" polovini kanala povećava u odnosu na slučaj kada je i gornja polovina kanala bila porozna. Za velike vrednosti Ha može doći i do zaustavljanja strujanja tečnosti u donjoj poroznoj polovini kanala. Za male vrednosti Ha maksimalna brzina je u donjoj polovini kanala, a za velike vrednosti u gornjoj polovini kanala. Većim vrednostima Ha odgovaraju manji tangencijalni naponi na zidovima kanala.

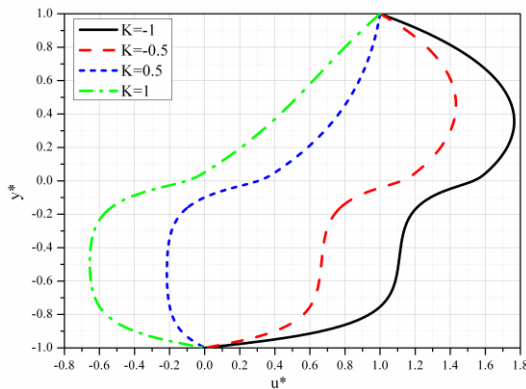
Slike 4.22 se zaključuje da sa povećanjem veličine Ha opada temperatura u kanalu i smanjuje se količina topline koja se transportuje sa tečnosti na gornji zid kanala. Maksimalne temperature su u donjoj polovini kanala, a

položaji maksimalnih temperatura su bliži osi kanala za veće vrednosti  $Ha$ . Za velike vrednosti  $Ha$  prostiranje toplotne u donjoj polovini kanala je uglavnom kondukcijom. Gornja "slobodna" polovina kanala povećava temperaturu u celom poprečnom preseku kanala u odnosu na slučaj kada je i gornja polovina kanala porozna.

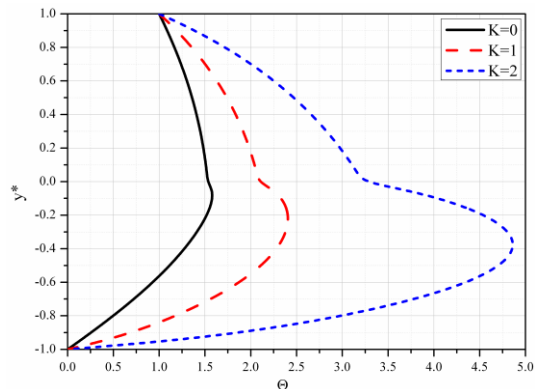
Na slikama 4.23 i 4.24 prikazani su rasporedi bezdimenzijske brzine i bezdimenzijske temperature tečnosti u kanalu za različite vrednosti veličine  $K$ . Donja polovina kanala je porozna, a gornja "slobodna". Tečnost u donjoj polovini kanala je veće elektroprovodnosti, manje viskoznosti i manje toplotne provodnosti u odnosu na tečnost u gornjoj polovini kanala. Onda je i Hartmann-ov broj za tečnost u donjoj polovini kanala značajno veći od Hartmann-ovog broja za tečnost u gornjoj polovini kanala.

Sa slike 4.23 se zaključuje da za  $K < 0$ , većim vrednostima  $|K|$  odgovaraju veće brzine u kanalu i veći tangencijalni naponi na zidovima kanala. Maksimalne brzine su u gornjoj polovini kanala. Brzine imaju smer pada pritiska u kanalu. Za  $K > 0$  sa porastom vrednosti ove veličine opadaju i čak menjaju smer i brzine tečnosti u kanalu i tangencijalni naponi na zidovima kanala. Za  $K = 1$  tj. za režim praznog hoda brzina u gornjoj polovini kanala je istog smera kao i brzine za  $K < 0$ , dok je u donjoj polovini kanala ona suprotnog smera. Za  $K = 0.5$  brzina je skoro u celoj donjoj polovini kanala suprotnog smera u odnosu na smer brzine za  $K < 0$ , dok je u preostalom delu poprečnog preseka kanala istog smera sa smerom brzine za slučaj  $K < 0$ . Za male pozitivne vrednosti veličine  $K$  moglo bi da dođe do prestanka strujanja fluida u većem delu donje polovine kanala.

Zapaža se, sa iste slike, da se dejstvom spoljašnjeg električnog polja u posmatranom slučaju može ostvariti strujanje fluida u suprotnim smerovima, što je jedna od prednosti EMHD pumpi.



Slika 4.23 Bezdimenziona brzina za različite vrednosti  $K$



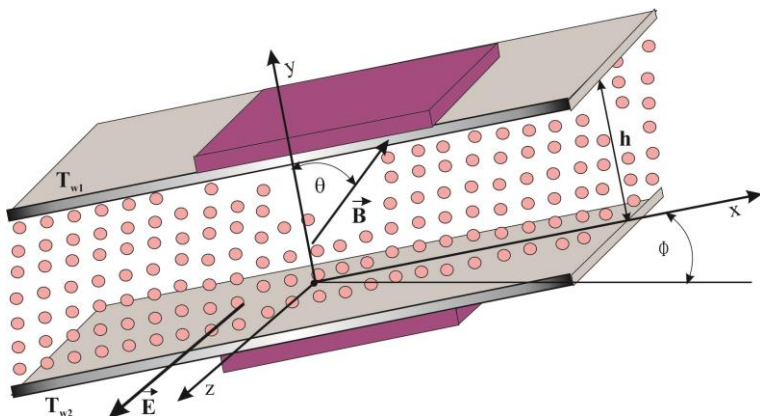
Slika 4.24 Bezdimenziona temperatura za različite vrednosti  $K$

Sa slike 4.24 se zaključuje da sa porastom veličine  $K$  raste temperatura u kanalu i raste količina toplice koja se transportuje sa tečnosti na gornji pokretni zid kanala. Maksimalne temperature su u donjoj polovini kanala. Intenzivnije su promene temperature u donjoj polovini kanala, a posebno u okolini donjeg zida i u okolini sredine kanala.

Za analizu rasporeda pritiska nije neophodno prikazivanje pomoću grafika jer se iz izraza (4.1.25) odmah može zaključiti da on linearno opada u smeru  $x$ -ose. U bilo kom poprečnom preseku kanala pritisak ima konstantnu vrednost s tim što je ta vrednost u različitim presecima različita.

# 5. Kombinovano konvektivno MHD strujanje u poroznoj sredini

## 5.1 Kombinovano konvektivno MHD strujanje u poroznoj sredini između nagnutih paralelnih ploča



Slika 5a Fizički model strujanja

U ovom delu rada se izučava MHD strujanje tečnosti u kanalu koji sa horizontalnom ravni gradi ugao  $\phi$ . Zidovi kanala su nepokretni na međusobnom stalnom rastojanju  $h$  i održavaju se na stalnim temperaturama  $T_{w2}$  donji i  $T_{w1}$  gornji. Zidovi su elektroneprovodni. Spoljašnje primenjeno magnetno polje je homogeno, intenzitet magnetne indukcije je  $B$ , gradi ugao  $\theta$  sa normalom na zidove kanala i leži u ravni uzdužnog preseka kanala. Spoljašnje primenjeno električno polje je homogeno, čiji je intenzitet  $E$ , a upravno je na uzdužni presek kanala. Problem se razmatra u bezindukcionoj aproksimaciji.

### 5.1.1 Matematički model

U cilju formiranja matematičkog modela opisanog problema MHD strujanja i prenosa topote polazi se od jednačine kontinuiteta (2.4.3), proširene Navier-Stokes-ove jednačine (2.5.14) koja ovde sadrži i jedan dopunski član dat izrazom:

$$\rho\beta_T \Delta T \vec{g}, \quad (5.1.1)$$

koji predstavlja uzgonsku silu prouzrokovana razlikom gustina zbog promene temperature. Pored ovih jednačina koristi se energijska jednačina (2.6.24) i Ohm-ov zakon (2.7.2).

Postupajući na način kako je to učinjeno na primer u poglavlju 3.1 dolazi se do zaključka da komponenta brzine u pravcu upravnog na zidove kanala mora biti konstantna. To znači da ova komponenta brzine postoji samo u slučajevima kada na zidovima kanala postoje izvori/ponori. Imajući u vidu da je to opštiji problem on će se ovde i izučavati.

Projektujući proširenu Navir-Stokes-ovu jednačinu sa dopunskim članom (5.1.1) na ose usvojenog koordinatnog sistema dobijaju se sledeće jednačine:

$$\rho v \frac{du}{dy} = -\frac{\partial p}{\partial x} + \mu \frac{d^2 u}{dy^2} - \frac{\mu}{K^*} u - \lambda \sigma B \left( E + \lambda B u - v B \sqrt{1 - \lambda^2} \right) - g \rho \beta_T (T_{w2} - T) \sin \phi, \quad (5.1.2)$$

$$\begin{aligned} & \frac{\partial p}{\partial y} + \frac{\mu}{K^*} v - \sigma B \sqrt{1 - \lambda^2} \left( E + \lambda B u - v B \sqrt{1 - \lambda^2} \right) + \\ & + g \rho \beta_T (T_{w2} - T) \cos \phi = 0. \end{aligned} \quad (5.1.3)$$

Jednačina energije, u ovom slučaju, je:

$$k \frac{d^2 T}{dy^2} + \mu \left( \frac{du}{dy} \right)^2 + \frac{\mu}{K^*} u^2 + \sigma \left( E + \lambda u B - v B \sqrt{1 - \lambda^2} \right)^2 = 0. \quad (5.1.4)$$

Ovde su korišćena sva uprošćenja koja su korišćena u poglavlju 3.1, i ovde se na to samo skreće pažnja bez njihovog detaljnog ponavljanja. Korišćena je i oznaka  $\lambda = \cos \theta$ .

Odgovarajući granični uslovi su:

$$\begin{aligned} u(0) &= 0, \quad u(h) = 0, \\ T(0) &= T_{w2}, \quad T(h) = T_{w1}. \end{aligned} \quad (5.1.5)$$

Jednačine (5.1.2), (5.1.3), (5.1.4) i granični uslovi (5.1.5) predstavljaju matematički model ovde opisanog problema. I ovde se prepostavlja, kao što je činjeno i u prethodnim problemima, da je pad pritiska po jedinici dužine kanala konstantan tj. da se može predstaviti relacijom:

$$P = -\frac{\partial p}{\partial x} = \text{const}, \quad (5.1.6)$$

gde je  $P$  poznata konstanta.

Za dalje izučavanje ovog problema, ovaj matematički model pogodno je transformisati na odgovarajući bezdimenzionalni matematički model. U tom cilju koriste se bezdimenzione veličine date izrazima (3.1.16), u kojima je karakteristična veličina  $U$  data izrazom (3.1.17). Sprovodeći potrebne transformacije jednačine (5.1.2), (5.1.3) (5.1.4) nije komplikovano transformisati na sledeće bezdimenzione oblike:

$$\frac{d^2 u^*}{dy^{*2}} - \beta \operatorname{Re} \frac{du^*}{dy^*} - (\Lambda + \lambda^2 Ha^2) u^* - \lambda Ha^2 S + 1 + \frac{Gr}{Re} \sin \phi = 0, \quad (5.1.7)$$

$$\frac{\partial}{\partial y} \left( \frac{h^2}{\rho v^2} p \right) - \lambda \operatorname{Re} Ha^2 u^* + \operatorname{Re} \left( \beta \Lambda - S H a^2 \sqrt{1 - \lambda^2} \right) - Gr \cos \phi = 0, \quad (5.1.8)$$

$$\frac{d^2 \Theta}{dy^{*2}} + Pr Ec \left[ \left( \frac{du^*}{dy^*} \right)^2 + (\Lambda + \lambda^2 Ha^2) u^{*2} + 2\lambda S H a^2 u^* + S^2 H a^2 \right] = 0, \quad (5.1.9)$$

respektivno, gde su korišćene sledeće oznake:

$$\beta = \frac{v}{U}, \quad \operatorname{Re} = \frac{hU}{v}, \quad \Lambda = \frac{h^2}{K^*},$$

$$\begin{aligned} Ha &= Bh \sqrt{\frac{\sigma}{\mu}}, \quad K = \frac{E}{BU}, \\ Gr &= \frac{g\beta_T h^3 (T - T_{w2})}{v^2}, \\ S &= K - \beta \sqrt{1 - \lambda^2}, \quad Pr = \frac{\mu c_p}{k}, \\ Ec &= \frac{U^2}{c_p (T_{w1} - T_{w2})}. \end{aligned} \tag{5.1.10}$$

Granični uslovi (5.1.5) transformisani na bezdimenzione oblike imaju sledeće zapise:

$$\begin{aligned} u^*(0) &= 0, \quad u^*(1) = 0, \\ \Theta(0) &= 0, \quad \Theta(1) = 1. \end{aligned} \tag{5.1.11}$$

Jednačine (5.1.7), (5.1.8) i (5.1.9) sa graničnim uslovima (5.1.11) predstavljaju matematički model u bezdimenzionom obliku ovde opisanog strujanja.

Zapaža se da je ovaj matematički model aproksimacija “tačnog” matematičkog modela zbog načina na koji je uveden Grashof-ov broj. Ovakav model omogućava da se dobiju analitička rešenja, a s obzirom na male razlike temperature aproksimativna rešenja su sasvim zadovoljavajuća posebno za analizu uticaja pojedinih veličina na ovo MHD strujanje i prenos topote u poroznom nagnutom kanalu.

Za dalje izučavanje ovog problema treba rešiti jednačine (5.1.7), (5.1.8) i (5.1.9) sa graničnim uslovima (5.1.11).

## 5.1.2 Rasporedi bezdimenzione uzdužne brzine, bezdimenzione temperature i bezdimenzionog pritiska

Za određivanje analitičkog izraza koji predstavlja bezdimenzijsku uzdužnu brzinu tečnosti u kanalu neophodno je rešiti jednačinu (5.1.7). U tom cilju, dobro je zapisati je u sledećem obliku:

$$\frac{d^2 u^*}{dy^{*2}} - R_1 \frac{du^*}{dy^*} - R_2 u^* = Q_1, \quad (5.1.12)$$

gde su zbog kraćeg zapisa uvedene oznake:

$$R_1 = \beta Re, \quad R_2 = \Lambda + \lambda^2 Ha^2,$$
$$Q_1 = \lambda Ha^2 S - 1 - \frac{Gr}{Re} \sin \phi. \quad (5.1.13)$$

Zapaža se, da se jednačina (5.1.12) formalno ne razlikuje od jednačine (3.1.18), ali se suštinski razlikuje jer iste oznake  $R_2$  i  $Q_1$  predstavljaju različite izraze u jednom i u drugom slučaju.

Zadržane su iste oznake da bi, na dalje, moglo da se koristi kompletno istraživanje sprovedeno u poglavlju 3.1.2. Dakle, rešenje jednačine (5.1.12) imaće reprezentaciju (3.1.27), a integracione konstante koje u njemu figurišu imaće reprezentacije (3.1.28).

Za određivanje rasporeda bezdimenzione temperature unosi se raspored bezdimenzione uzdužne brzine u jednačinu (5.1.9) i ista se transformiše na sledeći oblik:

$$\begin{aligned}
 \frac{d^2\Theta}{dy^{*2}} = & -PrEc[(r_1^2 + R_2)C_1^2 \exp(2r_1y^*) + \\
 & + (r_2^2 + R_2)C_2^2 \exp(2r_2y^*) + \\
 & + 2(r_1r_2 + R_2)C_1C_2 \exp((r_1 + r_2)y^*) + \\
 & + 2(\lambda SHa^2 - Q_1)C_1 \exp(r_1y^*) + \\
 & + 2(\lambda SHa^2 - Q_1)C_2 \exp(r_2y^*) + \\
 & + S^2Ha^2 + \frac{Q_1}{R_2}(Q_1 - 2\lambda SHa^2)]. \tag{5.1.14}
 \end{aligned}$$

Rešenje poslednje jednačine ima oblik (3.1.31). Veličine  $r_1$  i  $r_2$  date su izrazima (3.1.25). Treba zapaziti da su u izrazu za brzinu u ovom slučaju oznake  $R_3$ ,  $R_4$  i  $R_5$  iste sa odgovarajućim izrazima u poglavlju 3.1.3 i da su date izrazima (3.1.32), a da su oznake  $R_6$ ,  $R_7$  i  $R_8$  različite i u ovom problemu predstavljaju sledeće izraze:

$$\begin{aligned}
 R_6 &= \frac{2}{r_1^2}(\lambda SHa^2 - Q_1)C_1, \\
 R_7 &= \frac{2}{r_2^2}(\lambda SHa^2 - Q_1)C_2, \\
 R_8 &= \frac{1}{2} \left[ S^2Ha^2 + \frac{Q_1}{R_2}(Q_1 - 2\lambda SHa^2) \right]. \tag{5.1.15}
 \end{aligned}$$

Integracione konstante  $C_3$  i  $C_4$  koje figurišu u izrazu za raspored bezdimenziione temperature (3.1.31), i kod ovog problema, date su izrazima (3.1.33).

U cilju određivanja rasporeda pritiska u kanalu neophodno je rešiti jednačinu (5.1.8), što je sada moguće jer je određen raspored bezdimenziione uzdužne brzine u kanalu.

Zapišimo prethodno jednačinu (5.1.8) u obliku:

$$\frac{\partial}{\partial y} \left( \frac{h^2}{\rho v^2} p \right) = \lambda Re Ha^2 u^* + R_9, \tag{5.1.16}$$

u kome je, radi kraćeg zapisa, uvedena oznaka:

$$R_9 = Gr \cos \phi - Re \left( \beta \Lambda - S H a^2 \sqrt{1 - \lambda^2} \right). \quad (5.1.17)$$

Unoseći raspored bezdimenziione uzdužne brzine (3.1.27) u jednačinu (5.1.16) i imajući u vidu relaciju (5.1.6) dobija se da je njen rešenje dato izrazom:

$$\frac{h^2}{\rho v^2} p = R_{10} \exp(r_1 y^*) + R_{11} \exp(r_2 y^*) + R_{12} y^* - \frac{Ph^2}{\rho v^2} x + C_5, \quad (5.1.18)$$

gde je  $C_5$  integraciona konstanta, a radi kraćeg zapisa, uvedene su oznake:

$$R_{10} = \lambda Re Ha^2 \frac{C_1}{r_1}, \quad R_{11} = \lambda Re Ha^2 \frac{C_2}{r_2},$$

$$R_{12} = R_9 - \lambda Re Ha^2 \frac{Q_1}{R_2}. \quad (5.1.19)$$

Za određivanje integracione konstante  $C_5$  koristi se granični uslov za pritisak. Ako je, na primer, za  $x = 0$  i  $y = 0$  pritisak  $p = p_0$  dobija se da je integraciona konstanta:

$$C_5 = \frac{h^2}{\rho v^2} p_0 - R_{10} - R_{11}, \quad (5.1.20)$$

i onda izraz za raspored pritiska (5.1.18) dobija oblik:

$$\frac{h^2}{\rho v^2} p = R_{12} y^* - R_{10} \left[ 1 - \exp(r_1 y^*) \right] -$$

$$- R_{11} \left[ 1 - \exp(r_2 y^*) \right] + \frac{h^2}{\rho v^2} (p_0 - Px). \quad (5.1.21)$$

Ovim su određeni analitički izrazi za raspored bezdimenziione uzdužne brzine, raspored bezdimenziione temperature i raspored bezdimenzionog pritiska u kanalu.

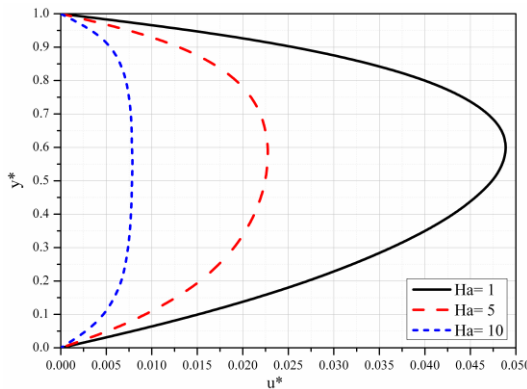
### 5.1.3 Analiza rezultata

Radi preglednosti i jednostavnije analize deo dobijenih rezultata prikazan je na slikama koje slede. Tako su na slici 5.1 i slici 5.2 prikazani rasporedi bezdimenziione uzdužne brzine i bezdimenziione temperature u kanalu za različite vrednosti Hartmann-ovog broja, respektivno. Kretanje tečnosti u kanalu je u smeru ose x. Prikazani rezultati se odnose na slučaj kada je ugao nagiba kanala  $30^\circ$ .

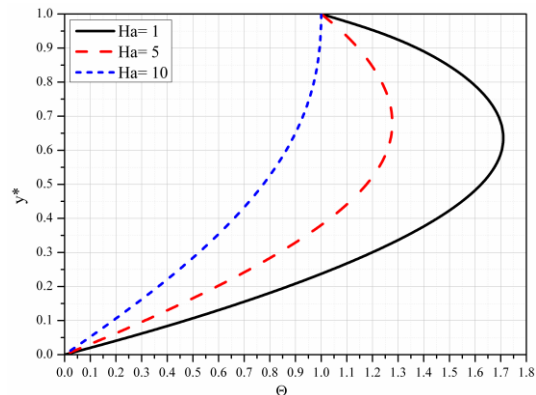
Sa slike 5.1 se zaključuje da rast Hartmann-ovog broja tj. povećanje intenziteta magnetne indukcije spoljašnjeg primjenjenog magnetnog polja dovodi do smanjenja uzdužne brzine u kanalu i do "poravnanja" njenog profila. Maksimalne brzine su u gornjoj polovini kanala, što se objašnjava činjenicom da su na donjem zidu kanala izvori, a na gornjem ponori. Istovremeno se smanjuju i tangencijalni naponi na zidovima kanala. Naravno, smanjuju se srednje brzine i protoci tečnosti kroz kanal.

Sa slike 5.2 se zaključuje da povećanje vrednosti Hartmann-ovog broja dovodi do sniženja temperature u kanalu i do smanjenja količine toplote koja se transportuje sa tečnosti na gornji zid kanala. Za veće vrednosti Hartmann-ovog broja u većem delu donje polovine kanala prenos toplote je uglavnom kondukcijskom.

Ovi zaključci o uticaju Hartmann-ovog broja su u saglasnosti sa zaključcima izvedenim u poglavljima 3.1.2 i 3.1.3.



Slika 5.1 Raspored bezdimenzijsne uzdužne brzine za različite vrednosti Hartmann-ovog broja

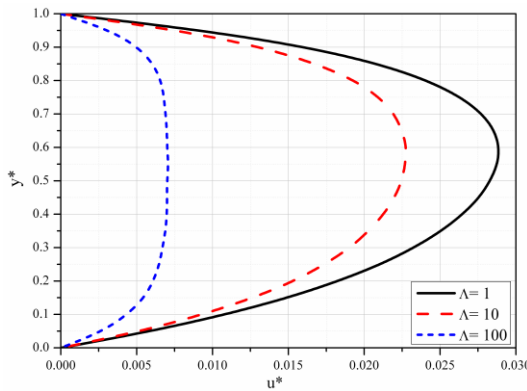


Slika 5.2 Raspored bezdimenzijske temperature za različite vrednosti Hartmann-ovog broja

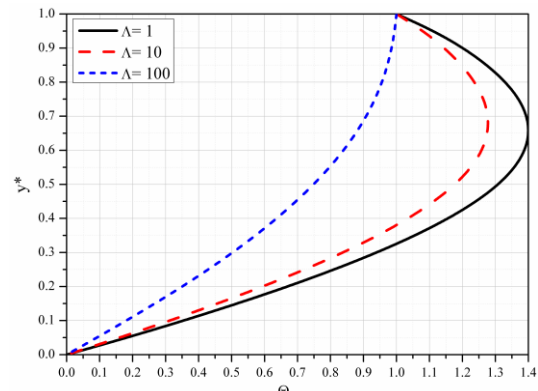
Na slici 5.3 i slici 5.4 su prikazani rasporedi bezdimenzijsne uzdužne brzine i bezdimenzijske temperature u kanalu za različite vrednosti faktora poroznosti kanala, respektivno. Kanal sa horizontalnom ravni gradi ugao od  $30^\circ$ , a pad pritiska i kretanje tečnosti su u smeru x ose. Kanal radi u režimu kratkog spoja.

Sa slike 5.3 se zaključuje da povećanje vrednosti faktora poroznosti tj. smanjenje propustljivosti kanala dovodi do smanjenja brzine u kanalu, smanjenja tangencijalnih napona na zidovima kanala i do "poravnjanja" profila brzine. Maksimalne brzine su u gornjoj polovini kanala jer su na donjem zidu kanala izvori.

Sa slike 5.4 se zaključuje da povećanjem vrednosti faktora poroznosti opada temperatura tečnosti i količina topline transportovane sa tečnosti na gornji zid kanala. Za male propustljivosti kanala ovog transporta topline neće ni biti. Maksimalne temperature su u gornjoj polovini kanala. Za male propustljivosti kanala u većem delu donje polovine kanala prenos topline je kondukcijom



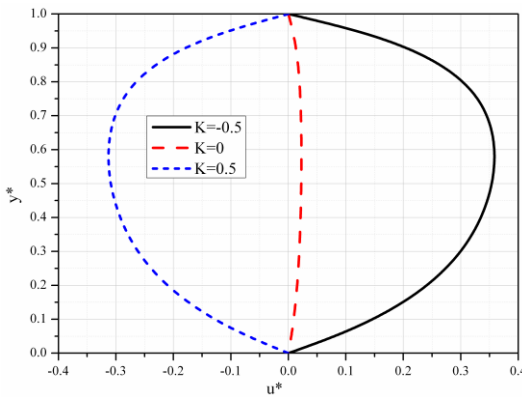
Slika 5.3 Raspored bezdimenzijsne uzdužne brzine za različite vrednosti faktora poroznosti



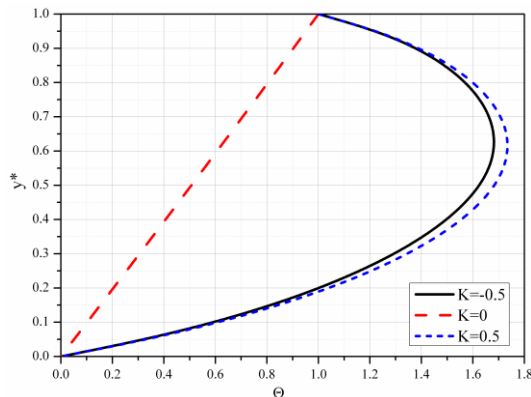
Slika 5.4 Raspored bezdimenzijske temperature za različite vrednosti faktora poroznosti

Na slikama 5.5 i 5.6 predstavljeni su rasporedi bezdimenzijsone uzdužne brzine i bezdimenzijsone temperature u kanalu za različite vrednosti faktora električnog opterećenja. Promena ovog faktora realizovana je promenom intenziteta jačine spoljašnjeg električnog polja. Kanal sa horizontalnom ravni gradiugao od  $30^\circ$ . Pad pritiska i kretanje tečnosti je u smeru odabrane x ose. Na donjem zidu kanala nalaze se izvori, a na gornjem ponori.

Sa slike 5.5 se zaključuje da je za  $K = -0.5$  i  $K = 0$  uzdužna brzina tečnosti u kanalu, u celom poprečnom preseku kanala, istog smera sa smerom pada pritiska u kanalu, dok je za  $K = 0.5$  brzina suprotnog smera od smera pada pritiska. Intenzitet brzine raste sa porastom vrednosti  $|K|$ . Maksimalna brzina je, za sve vrednosti  $K$ , u gornjoj polovini kanala.



Slika 5.5 Bezdimenziona uzdužna brzina za različite vrednosti K



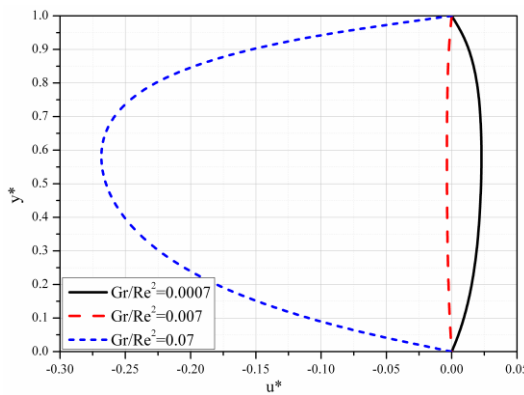
Slika 5.6 Bezdimenziona temperatura za različite vrednosti K

Sa slike 5.6 se zaključuje da je za slučaj rada kanala u režimu kratkog spoja prenos topote u celom poprečnom preseku kondukциjom i tada je temperatura u kanalu najniža. Sa porastom vrednosti  $|K|$  raste i temperatura u kanalu. Maksimalne temperature su u gornjoj polovini poprečnog preseka kanala. Za  $|K| > 0$  postoji transport topote sa tečnosti na gornji zid kanala, dok za  $K = 0$  ovog transporta nema.

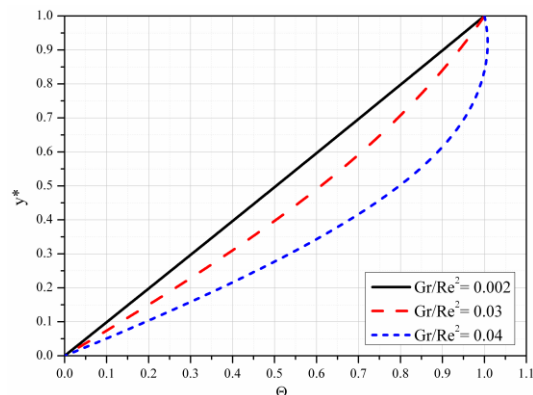
Na slikama 5.7 i 5.8 prikazani su rasporedi bezdimenziione uzdužne brzine i bezdimenziione temperature u kanalu za različite vrednosti odnosa Grashof-ovog broja i kvadrata Reynolds-ovog broja. Rezultati su za slučaj kada kanal sa horizontalom gradi ugao od  $30^\circ$  i kada su na njihovom donjem zidu izvori, a na gornjem ponori.

Sa slike 5.7 se zaključuje da za male vrednosti odnosa  $Gr/Re^2$  uzdužna brzina je smera pada pritiska a za veće vrednosti ona menja smer.

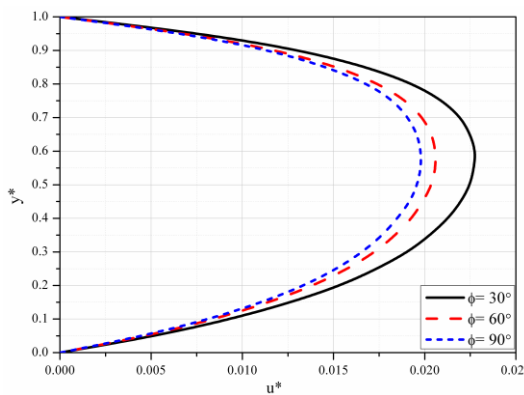
Sa slike 5.8 se zaključuje da za veće vrednosti odnosa  $Gr/Re^2$  temperature u kanalu su više. Za vrednost  $Gr/Re^2 = 0.002$ , u većem delu poprečnog preseka kanala, prenos topote je uglavnom kondukcijskom. Za vrednost  $Gr/Re^2 = 0.002$  postoji transport topote sa tečnosti na gornji zid kanala.



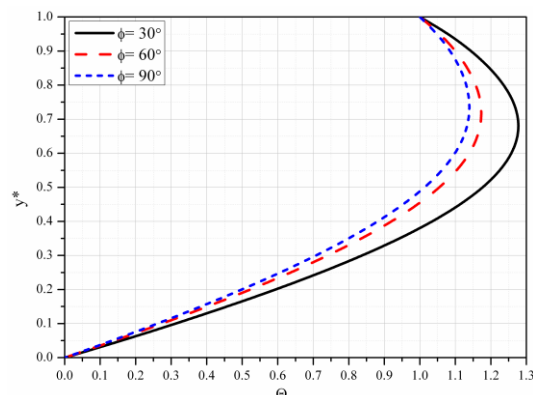
Slika 5.7 Bezdimenziona uzdužna brzina za različite vrednosti  $Gr/Re^2$



Slika 5.8 Bezdimenziona temperatura za različite vrednosti  $Gr/Re^2$



Slika 5.9 Bezdimenziona uzdužna brzina za različite vrednosti  $\phi$



Slika 5.10 Bezdimenziona temperatura za različite vrednosti  $\phi$

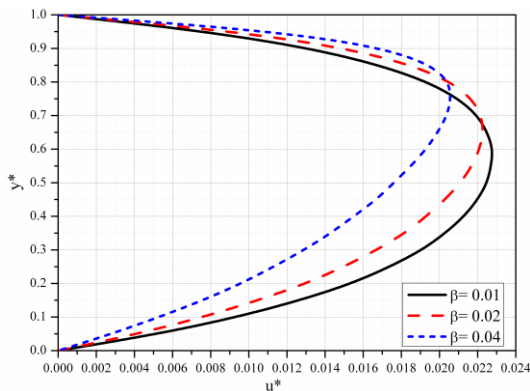
Na slikama 5.9 i 5.10 prikazani su rasporedi bezdimenziione uzdužne brzine i bezdimenziione temperature tečnosti u kanalu za različite vrednosti ugla nagiba kanala. Rezultati su za kanal kod koga su na donjem zidu izvori, a na gornjem zidu ponori, u režimu kratkog spoja.

Sa slike 5.9 se zaključuje da sa porastom ugla nagiba kanala opadaju brzina tečnosti u kanalu i tangencijalni naponi na zidovima kanala. Maksimalne brzine su u gornjoj polovini kanala.

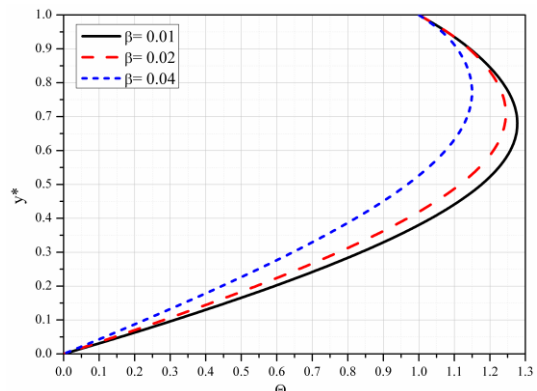
Sa slike 5.10 se zaključuje da sa porastom ugla nagiba kanala opada temperatura u kanalu i smanjuje se količina toplice koja se transportuje sa tečnosti na gornji zid. Maksimalne temperature su u gornjoj polovini kanala.

Na slikama 5.11 i 5.12 prikazani su rasporedi bezdimenzijske uzdužne brzine i bezdimenzijske temperature tečnosti u kanalu za različite vrednosti  $\beta$ . Rasporedi su dati za kanal ugla nagiba  $30^\circ$  na čijem se donjem zidu nalaze izvori, a na gornjem zidu ponori, dok je kanal u režimu kratkog spoja.

Sa slike 5.11 se zaključuje da većim vrednostima  $\beta$  odgovaraju manje uzdužne brzine u kanalu, manji tangencijalni naponi na donjem zidu kanala, a veći na gornjem. Maksimalne brzine su u gornjoj polovini kanala i to bliže gornjem zidu za veće vrednosti  $\beta$ .



Slika 5.11 Bezdimenzijsna uzdužna brzina za različite vrednosti  $\beta$

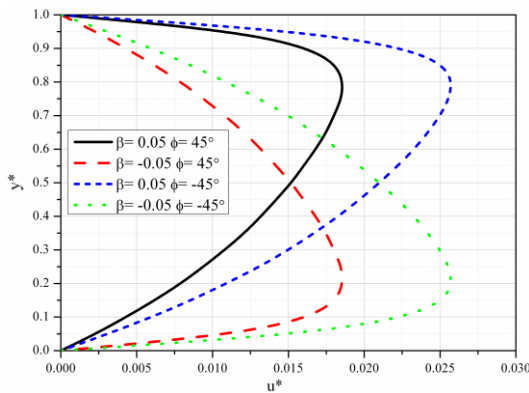


Slika 5.12 Bezdimenzijsna temperatura za različite vrednosti  $\beta$

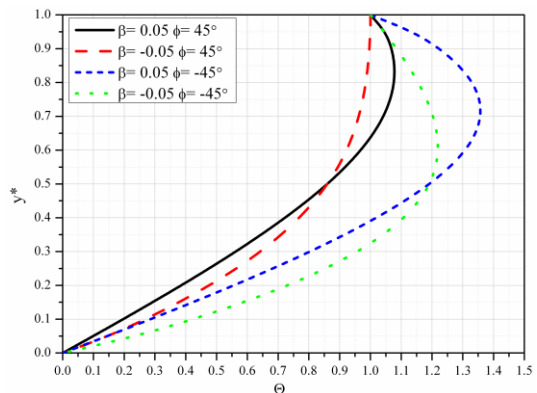
Sa slike 5.12 se zaključuje da većim vrednostima  $\beta$  odgovaraju niže temperature u kanalu i manje količine toplice transportovane sa tečnosti na gornji

zid kanala. Maksimalne temperature su u gornjoj polovini kanala, a bliže gornjem zidu za veće vrednosti  $\beta$ .

Na slikama 5.13 i 5.14 prikazani su rasporedi bezdimenziione uzdužne brzine i bezdimenziione temperature tečnosti u kanalu za različite uglove nagiba kanala i za različite vrednosti  $\beta$ .



Slika 5.13 Bezdimenziona uzdužna brzina za različite vrednosti  $\phi$  i  $\beta$

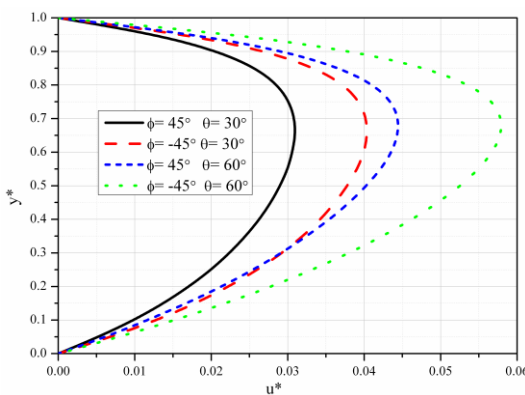


Slika 5.14 Bezdimenziona temperatura za različite vrednosti  $\phi$  i  $\beta$

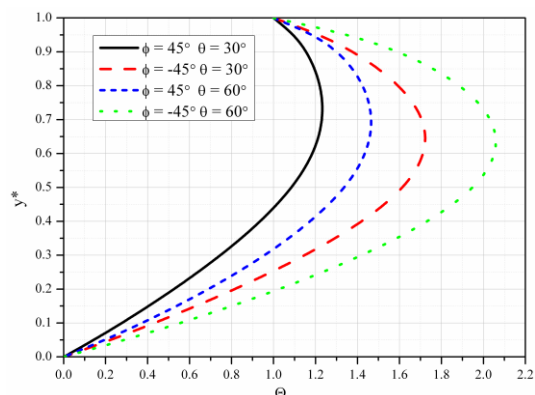
Spoljašnje primijenjeno magnetno polje je upravno na zidove kanala, a kanal je u režimu kratkog spoja. Pad pritiska je u smeru ose x.

Sa slike 5.13 se zaključuje da je za slučaj  $\phi = 45^\circ$  (kanal "iznad" horizontalne ravni), za izvore na donjem zidu, a ponore na gornjem i obrnuto, a za istu vrednost  $|\beta|$ , rasporedi brzina su simetrični u odnosu na sredinu kanala. Maksimalna brzina je u gornjoj polovini kanala za  $\beta > 0$ , a u donjoj polovini kanala za  $\beta < 0$ . Za  $\beta > 0$  su tangencijajni naponi veći na gornjem zidu od napona na donjem zidu, a za  $\beta < 0$  važi obrnuto. Ovi zaključci važe i za slučaj kada je  $\phi = -45^\circ$  (kanal "ispod" horizontalne ravni). Isto tako se zaključuje da je, za istu vrednost  $\beta$  i istu vrednost  $|\phi|$ , brzina veća za  $\phi < 0$  tj. kada je kanal "ispod" horizontalne ravni.

Sa slike 5.14 se zaključuje da je za istu vrednost  $\beta$ , nezavisno od toga na kom su zidu kanala izvori a na kom ponori, temperatura viša za slučaj kada je kanal "ispod" horizontalne ravni tj. kada je  $\phi < 0$ . U svim slučajevima temperature su maksimalne u gornjoj polovini kanala. Količina topline koja se transportuje sa tečnosti na gornji zid kanala veća je za slučaj kada je  $\phi < 0$ .



Slika 5.15 Bezdimenziona uzdužna brzina za različite vrednosti  $\phi$  i  $\theta$



Slika 5.16 Bezdimenziona temperatura za različite vrednosti  $\phi$  i  $\theta$

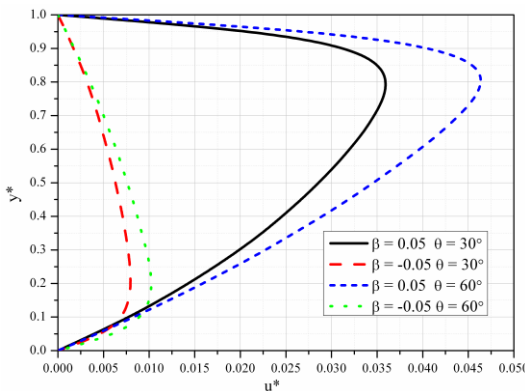
Na slikama 5.15 i 5.16 prikazani su rasporedi bezdimenziione uzdužne brzine i bezdimenziione temperature tečnosti u kanalu za različite vrednosti ugla nagiba kanala i različite vrednosti ugla koji gradi spoljašnje primenjeno magnetno polje sa normalom na zidove kanala. Na donjem zidu nalaze se izvori, a na gornjem su ponori. Kanal je i ovde u režimu kratkog spoja.

Sa slike 5.15 se zaključuje da je, za istu vrednost ugla nagiba primjenjenog spoljašnjeg magnetnog polja u odnosu na normalu na zidove kanala, uzdužna brzina tečnosti u kanalu veća za  $\phi < 0$  od brzine za  $\phi > 0$  pri čemu su vrednosti  $|\phi|$  jednake, a pri istim ostalim karakterističnim veličinama. Odgovarajući tangencijalni naponi na zidovima kanala su veći za  $\phi < 0$ . U svim slučajevima brzine su maksimalne u gornjoj polovini kanala.

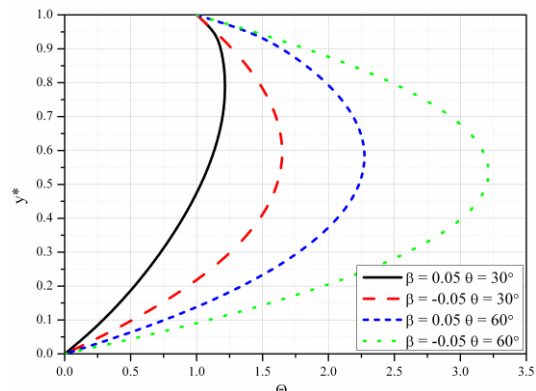
Sa slike 5.16 se zaključuje da je, za istu vrednost ugla  $\theta$ , temperaturu u kanalu viša za  $\phi < 0$  od temperature za  $\phi > 0$  pri čemu su vrednosti  $|\phi|$  jednake i ostale karakteristične veličine su iste. Količina toplote transportovane sa tečnosti na gornji zid je takođe veća. Za sve slučajeve maksimalne temperature su u gornjoj polovini kanala.

Na slikama 5.17 i 5.18 prikazani su rasporedi bezdimenziione uzdužne brzine i bezdimenziione temperature tečnosti u kanalu za različite vrednosti veličina  $\beta$  i  $\theta$ .

Sa slike 5.17 se zaključuje da je, za iste uglove  $\theta$  koje gradi spoljašnje primjeno magnetno polje sa normalom na zidove kanala, uzdužna brzina u kanalu manja za slučaj kada su na donjem zidu ponori, a na gornjem izvori. Isto se zaključuje da je za isto  $\beta$  brzina u kanalu veća za veće uglove  $\theta$ . Za  $\beta > 0$  maksimalne brzine su u gornjoj polovini kanala, a za  $\beta < 0$  u donjoj polovini kanala.



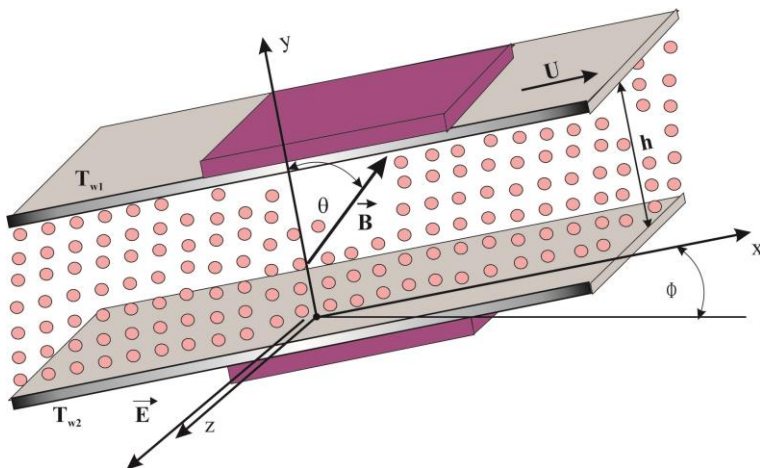
Slika 5.17 Bezdimenziona uzdužna brzina za različite vrednosti  $\beta$  i  $\theta$



Slika 5.18 Bezdimenziona temperatura za različite vrednosti  $\beta$  i  $\theta$

Sa slike 5.18 se zaključuje da je, za istu vrednost  $\theta$ , temperatura viša za  $\beta < 0$  od temperature za  $\beta > 0$ . Zaključuje se i da je za istu vrednost  $\beta$  temperatura u kanalu veća za veći ugao  $\theta$ .

## 5.2 Kombinovano konvektivno MHD strujanje u poroznoj sredini između nagnutih paralelnih ploča od kojih je gornja pokretna



Slika 5b Fizički model strujanja

U poglavlju 5.2 izučava se MHD strujanje tečnosti i prenos topoteke u kanalu čiji zidovi sa horizontalnom ravni grade ugao  $\phi$ . Donji zid kanala je na stalnoj temperaturi  $T_{w2}$ , a gornji na stalnoj temperaturi  $T_{w1}$ . Zidovi kanala su elektro neprovodni i nalaze se na rastojanju  $h$ . Primjeno spoljašnje magnetno polje je homogeno, intenziteta magnetne indukcije  $B$ , a gradi ugao  $\theta$  sa normalom na zidove kanala i leži u ravni uzdužnog preseka kanala. Primjeno je spoljašnje električno polje  $\vec{E}$  upravno na uzdužni presek kanala. Problem se razmatra u bezindukcionoj aproksimaciji. Treba zapaziti da je kod problema koji se ovde izučava, za razliku od problema koji je izučen u prethodnom poglavlju, gornji zid kanala pokretan i kreće se konstantnom brzinom intenziteta  $U$ , paralelno donjem zidu.

### 5.2.1 Matematički model

Za formiranje matematičkog modela problema koji se izučava u ovom poglavlju treba sprovesti istu proceduru kao i u prethodnom poglavlju. Imajući u vidu da se ovaj fizički model razlikuje od fizičkog modela u prethodnom poglavlju samo u tome što je kod njega gornji zid pokretan, nije neophodno ponavljati kompletну proceduru. Naime mogu se koristiti rezultati te procedure dobijeni u prethodnom poglavlju.

Postupajući kako je gore rečeno dobija se da matematički model ovog problema predstavljaju jednačine (5.1.2), (5.1.3), (5.1.4) i granični uslovi:

$$\begin{aligned} u(0) &= 0, \quad u(h) = U, \\ T(0) &= T_{w2}, \quad T(h) = T_{w1}, \end{aligned} \tag{5.2.1}$$

u kojima je  $U$  intenzitet brzine kretanja gornjeg zida kanala. Zapaža se da se ovaj matematički model razlikuje od matematičkog modela problema u 5.1 samo u graničnom uslovu za brzinu tečnosti na gornjem zidu kanala.

I ovde se pretpostavlja da je pad pritiska po jedinici dužine kanala konstantan i dat je relacijom (5.1.6).

Za transformaciju ovog matematičkog modela na odgovarajući bezdimenzionalni matematički model koriste se bezdimenziione veličine date izrazima (3.1.16). Treba zapaziti da je u ovim izrazima veličina  $U$ , intenzitet brzine kretanja gornjeg zida kanala, a ne veličina data izrazom (3.1.17) kako je to bilo u prethodnom poglavlju.

Matematički model u bezdimenzionom obliku predstavljaju jednačine (5.1.12), (5.1.8), (5.1.9) i granični uslovi:

$$\begin{aligned} u^*(0) &= 0, \quad u^*(1) = 1, \\ \Theta(0) &= 0, \quad \Theta(1) = 1. \end{aligned} \tag{5.2.2}$$

U jednačinama (5.1.12), (5.1.8) i (5.1.9) su korišćene oznake:

$$G = \frac{\rho h^2}{\mu U}, \quad Q_1 = \lambda H a^2 S - G - \frac{Gr}{Re} \sin \phi, \quad (5.2.3)$$

i oznake date relacijama (5.1.10) i (5.1.13).

Zapaža se da je nepodudarnost samo u oznaci  $Q_1$  kod ovog problema i problema iz prethodnog poglavlja. Bezdimenzione jednačine su u oba poglavlja iste što je bilo i za očekivati. Razlika je u graničnom uslovu za bezdimenzionu brzinu na gornjem zidu kanala, što je isto tako očekivano.

## 5.2.2 Rasporedi bezdimenzione uzdužne brzine, bezdimenzione temperature i bezdimenzionog pritiska

Da bi se odredili rasporedi bezdimenzionalih veličina moraju se rešiti jednačine (5.1.12), (5.1.8) i (5.1.9) sa graničnim uslovima (5.2.2). Iz jednačine (5.1.12) dobija se da je raspored bezdimenzione uzdužne brzine dat izrazom:

$$u^*(y^*) = C_1 \exp(r_1 y^*) + C_2 \exp(r_2 y^*) - \frac{Q_1}{R_2}, \quad (5.2.1)$$

gde su veličine  $r_1$  i  $r_2$  date izrazima (3.1.25) a integracione konstante  $C_1$  i  $C_2$  izrazima (3.2.4).

Iz jednačine (5.1.9), posle zamene izraza za bezdimenzionu brzinu (5.2.1), dobija se da je raspored bezdimenzione temperature dat izrazom:

$$\begin{aligned} \Theta(y^*) = & -Pr Ec \{ R_3 \exp(2r_1 y^*) + R_4 \exp(2r_2 y^*) + \\ & + R_5 \exp((r_1 + r_2)y^*) + R_6 \exp(r_1 y^*) + \\ & + R_7 \exp(r_2 y^*) + R_8 y^{*2} + C_3 y^* + C_4 \} \end{aligned} \quad (5.2.2)$$

gde konstante  $R_3$ ,  $R_4$ ,  $R_5$ ,  $R_6$ ,  $R_7$  i  $R_8$  imaju iste reprezentacije kao i kod prethodnog modela, a takođe i integracione konstante  $C_3$  i  $C_4$ . Ovo je i očekivano

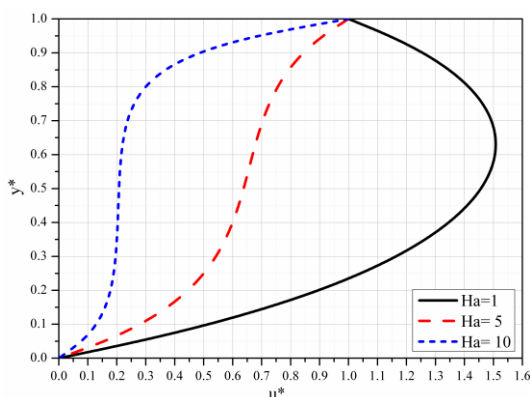
jer su jednačine za bezdimenzionu temperaturu i njima odgovarajući granični uslovi iste u oba slučaja.

Raspored bezdimenzionog pritiska dat je izrazom (5.1.21).

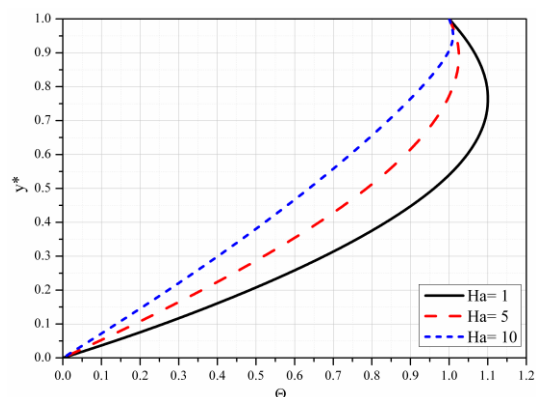
### 5.2.3 Analiza rezultata

Na slikama 5.19 i 5.20 prikazani su rasporedi bezdimenzione uzdužne brzine i bezdimenzione temperature u kanalu za različite vrednosti Hartmann-ovog broja. Kanal gradi ugao od  $30^\circ$  sa horizontalnom ravni, na donjem zidu kanala nalaze se izvori, a na gornjem ponori. Spoljašnje primenjeno magnetno polje je upravno na zidove kanala. Kanal je u režimu kratkog spoja.

Sa slike 5.19 se zaključuje da većim vrednostima Hartmann-ovog broja odgovaraju manje brzine u kanalu i dolazi do “poravnjanja” profila brzine u većem delu poprečnog preseka kanala. Velike vrednosti Hartmann-ovog broja odnosno jaka spoljašnja primenjena magnetna polja mogu dovesti skoro do zaustavljanja strujanja u kanalu.

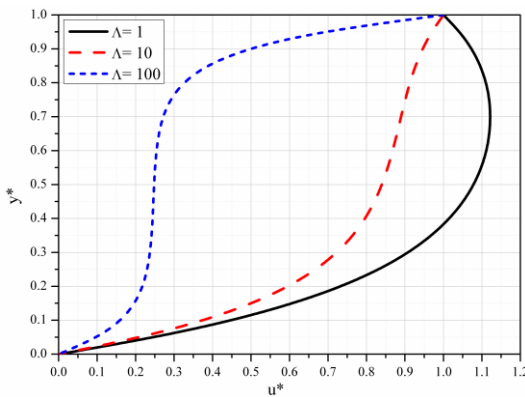


Slika 5.19 Bezdimenziona uzdužna brzina za različite vrednosti Ha

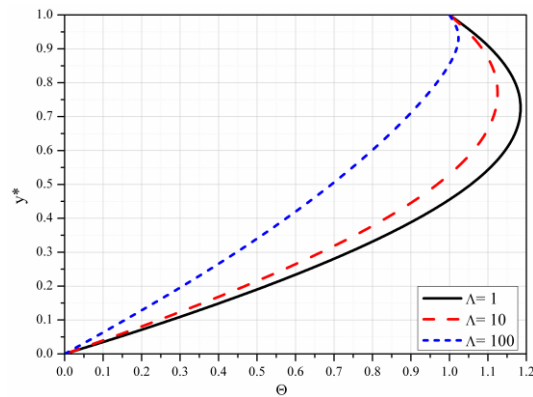


Slika 5.20 Bezdimenziona temperatura za različite vrednosti Ha

Sa slike 5.20 se zaključuje da povećanje vrednosti Hartmann-ovog broja dovodi do sniženja temperature u kanalu i smanjenja količine topline koja se transportuje sa tečnosti na pokretni zid kanala.



Slika 5.21 Bezdimenziona uzdužna brzina za različite vrednosti  $\Lambda$



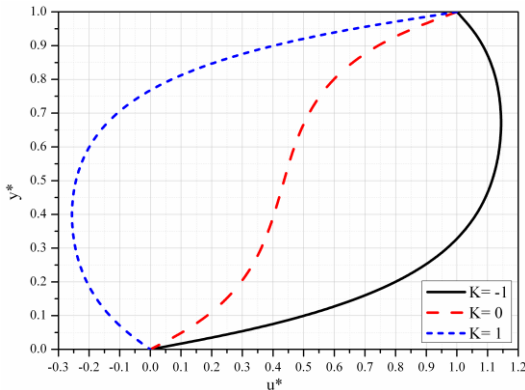
Slika 5.22 Bezdimenziona temperatura za različite vrednosti  $\Lambda$

Na slikama 5.21 i 5.22 prikazani su rasporedi bezdimenzione uzdužne brzine i bezdimenzione temperature u kanalu za različite vrednosti faktora poroznosti, respektivno. Kanal je pod uglom od  $30^\circ$  u odnosu na horizontalnu ravan. Na donjem zidu kanala nalaze se izvori, a na gornjem ponori. Kanal je u režimu kratkog spoja. Faktor poroznosti menjan je tako što je menjana propustljivost kanala.

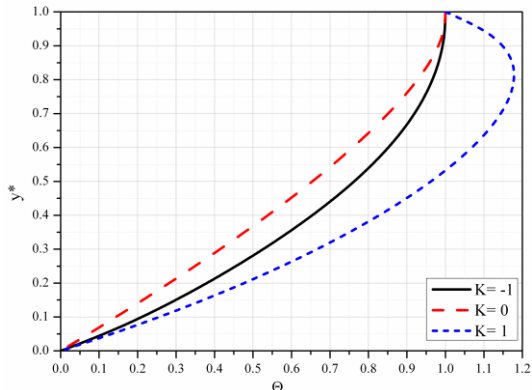
Sa slike 5.21 se zaključuje da povećanje faktora poroznosti tj. smanjenje propustljivosti kanala dovodi do smanjenja brzine u kanalu i smanjenja tangencijalnih naponi na donjem zidu kanala dok na gornjem zidu oni rastu. Velike vrednosti faktora poroznosti "poravnavaju" profil brzine u velikom delu poprečnog preseka kanala, a mogu dovesti skoro do zaustavljanja strujanja u najvećem delu poprečnog preseka kanala osim u užoj zoni pored gornjeg zida.

Sa slike 5.22 se zaključuje da većim vrednostima faktora poroznosti odgovaraju niže temperature u kanalu i manje količine topline transportovane sa

tečnosti na pokretni zid kanala. Temperature su, za sve vrednosti faktora poroznosti, maksimalne u gornjoj polovini kanala tj. bliže pokretnom zidu kanala.



Slika 5.23 Bezdimenziona uzdužna brzina za različite vrednosti K



Slika 5.24 Bezdimenziona temperatura za različite vrednosti K

Na slikama 5.23 i 5.24 prikazani su rasporedi bezdimenzione uzdužne brzine i bezdimenzione temperature u kanalu za različite vrednosti faktora spoljašnjeg električnog polja. Kanal sa horizontalnom ravni gradi ugao od  $30^\circ$ , spoljašnje magnetno polje je upravno na zidove kanala. Na donjem zidu kanala nalaze se izvori, a na gornjem ponori.

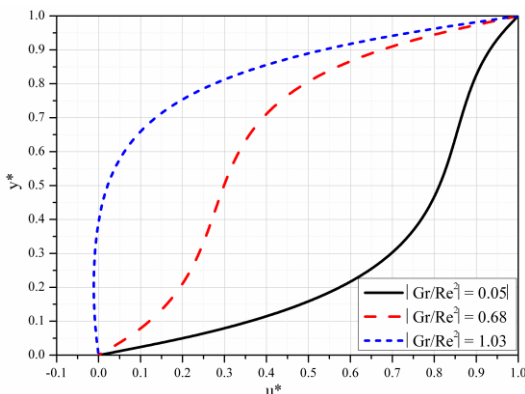
Slike 5.23 se zaključuje da promena jačine primjenjenog spoljašnjeg električnog polja dovodi do promene uzdužne brzine u kanalu. Na slici su prikazani rasporedi za različite vrednosti faktora električnog opterećenja  $K = -1; 0; 1$ . Za  $K = -1$  brzina u kanalu je najveća i u celom poprečnom preseku kanala njen smer se poklapa sa "smerom" pada pritiska u kanalu. Za  $K = 1$  brzina u kanalu je najmanja i u većem delu poprečnog preseka kanala ima smer koji je suprotan od "smera" pada pritiska u kanalu. Za  $K = 0$  brzina tečnosti u kanalu ima u celom poprečnom preseku isti smer sa "smerom" pada pritiska u kanalu.

Slike 5.24 se zaključuje da su temperature u kanalu za vrednosti faktora opterećenja  $K = \pm 1$  više od temperature kada je kanal u režimu kratkog spoja.

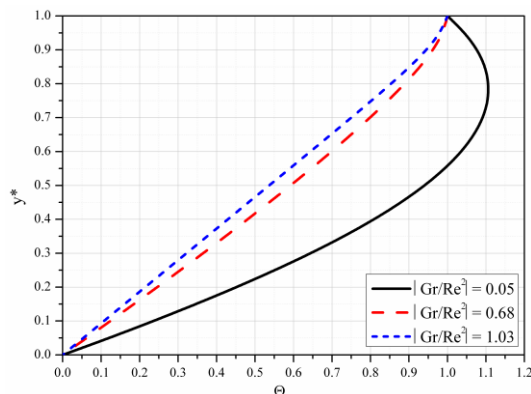
Najveća količina topote se transportuje sa tečnosti na pokretni zid kanala za slučaj  $K = 1$ , dok za  $K = -1$  i  $K = 0$  ovog transporta i nema.

Na slikama 5.25 i 5.26 prikazani su rasporedi bezdimenziione uzdužne brzine i bezdimenziione temperature u kanalu za različite vrednosti odnosa Grashof-ovog broja i kvadrata Reynolds-ovog broja, respektivno. Kanal sa horizontalnom ravni gradi ugao od  $30^\circ$ , a primenjeno spoljašnje magnetno polje je upravno na zidove kanala. Na donjem zidu kanala nalaze se izvori, a na pokretnom ponori. Kanal je u režimu kratkog spoja.

Sa slike 5.25 se zaključuje da sa povećanjem vrednosti ovog odnosa brzina u kanalu opada, a profil brzine se “poravnava” u većem delu poprečnog preseka kanala. Kod intenzivne slobodne konvekcije od gornje ka donjoj ploči sila potiska je suprotna smeru pada pritiska i uz magnetno polje dovodi do znatnog smanjenja brzine.



Slika 5.25 Bezdimenziona uzdužna brzina za različite vrednosti  $\text{Gr}/\text{Re}^2$



Slika 5.26 Bezdimenziona temperatura za različite vrednosti  $\text{Gr}/\text{Re}^2$

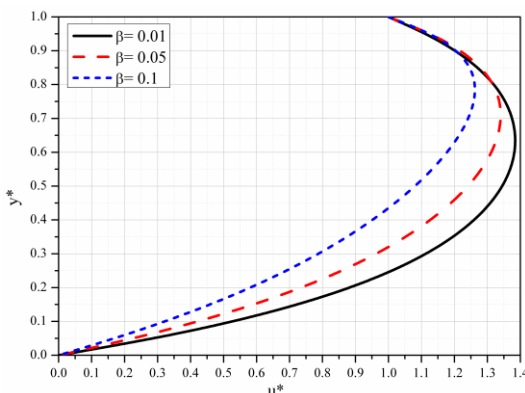
Sa slike 5.26 se zaključuje da povećanje vrednosti ovog odnosa dovodi do sniženja temperature u kanalu. Za vrednosti ovog odnosa 0.68 i 1.03 nema transporta topote sa tečnosti na gornji zid kanala dok za vrednost 0.05 on postoji.

Za veće vrednosti ovog odnosa, u većem delu poprečnog preseka kanala, prenos topote je uglavnom kondukcijom.

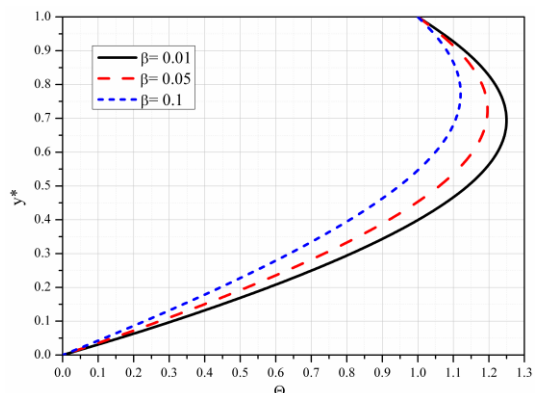
Na slikama 5.27 i 5.28 prikazani su rasporedi bezdimenziione uzdužne brzine i bezdimenziione temperature u kanalu za različite vrednosti  $\beta$ , respektivno. Na ovim slikama su prikazani rasporedi kada su na donjem zidu izvori, a na gornjem ponori. Nagibni ugao kanala prema horizontali je  $30^\circ$ . Spoljašnje primenjeno magnetno polje je upravno na zidove kanala.

Sa slike 5.27 se zaključuje da sa porastom vrednosti  $\beta$  (odnosa poprečne i uzdužne brzine) opada brzina u kanalu a položaj njene maksimalne vrednosti se pomera ka gornjem zidu kanala. Tangencijalni napon na donjem zidu kanala opada.

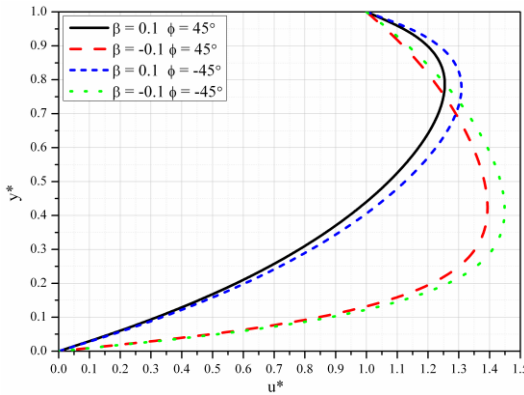
Sa slike 5.28 se zaključuje da se sa porastom vrednosti  $\beta$  snižava temperatura u kanalu, položaj maksimalne temperature se pomera prema gornjem zidu kanala i smanjuje se količina topote transportovane sa tečnosti na gornji zid kanala.



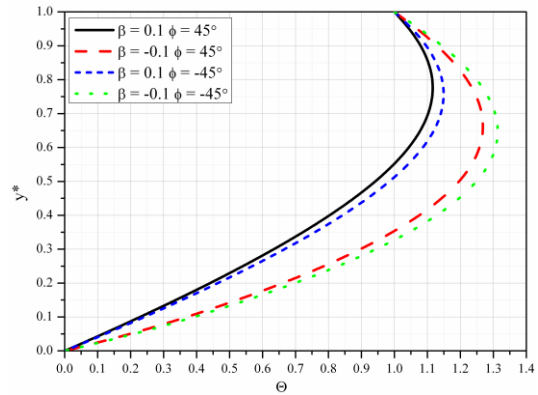
Slika 5.27 Bezdimenziona uzdužna brzina za različite vrednosti parametra  $\beta$



Slika 5.28 Bezdimenziona temperatura za različite vrednosti parametra  $\beta$



Slika 5.29 Bezdimenziona uzdužna brzina za različite vrednosti  $\beta$  i  $\phi$

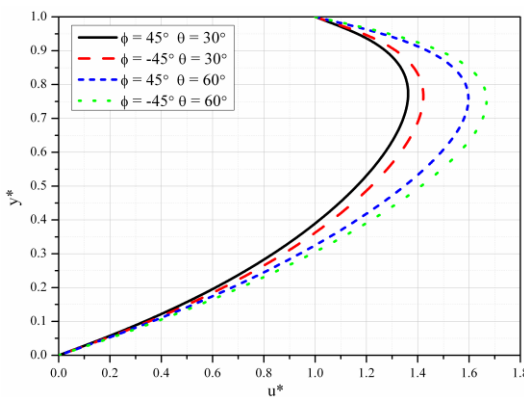


Slika 5.30 Bezdimenziona temperatura za različite vrednosti  $\beta$  i  $\phi$

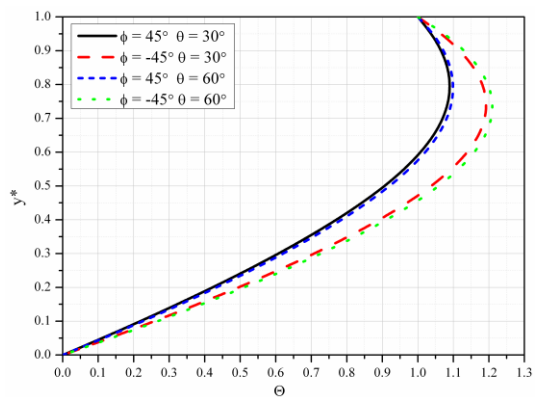
Na slikama 5.29 i 5.30 prikazani su rasporedi bezdimenzione uzdužne brzine i bezdimenzione temperature u kanalu za različite vrednosti  $\beta$  i  $\phi$ , respektivno.

Sa slike 5.29 se zaključuje da kada je kanal pod uglom od  $45^\circ$  "iznad" horizontalne ravni brzina u većem delu poprečnog preseka kanala veća za  $\beta = -0.1$ , od brzine za  $\beta = 0.1$ . Za  $\beta = 0.1$  položaj maksimalne brzine je bliži gornjem zidu, a za  $\beta = -0.1$  je bliži donjem zidu. I za slučaj kada je kanal pod uglom od  $45^\circ$ , ali "ispod" horizontalne ravni gornji zaključci ostaju u važnosti. Za istu vrednost  $\beta$  brzina u kanalu je veća kada je kanal "ispod" horizontalne ravni. Zaključuje se da komponenta brzine  $v$  u smeru suprotnom od  $y$  ose dovodi do malog smanjenja Lorentz-ove sile te iz tog razloga uzdužne brzine rastu i protok u kanalu se povećava. Sa druge strane promena nagiba kanala menja tj. intenzivira silu potiska i polje brzine raste ili opada u zavisnosti od ovog ugla i temperature zidova.

Sa slike 5.30 se zaključuje da je za istu vrednost ugla  $\phi$  temperatura u kanalu viša za  $\beta = -0.1$  u odnosu na slučaj kada je  $\beta = 0.1$ . Položaj maksimalne temperature je za  $\beta = 0.1$  bliži gornjem zidu u odnosu na položaj maksimalne temperature za slučaj kada je  $\beta = -0.1$ .



Slika 5.31 Bezdimenziona uzdužna brzina za različite vrednosti  $\phi$  i  $\theta$



Slika 5.32 Bezdimenziona temperatura za različite vrednosti  $\phi$  i  $\theta$

Na slikama 5.31 i 5.32 prikazani su rasporedi bezdimenziione uzdužne brzine i bezdimenziione temperature u kanalu, za različite vrednosti ugla nagiba kanala i različite uglove koje gradi primjeno spoljašnje magnetno polje sa normalom na zidove kanala, respektivno. Na donjem zidu kanala su izvori, a na gornjem ponori. Kanal je u režimu kratkog spoja.

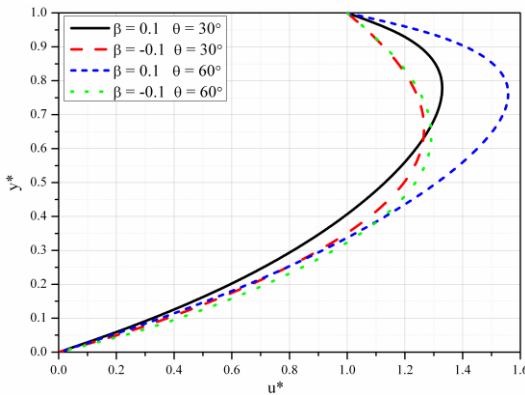
Sa slike 5.31 se zaključuje da, za istu vrednost ugla nagiba kanala, brzina u kanalu je veća za veće vrednosti ugla  $\theta$  i veći su tangencijalni naponi na zidovima kanala. Za iste vrednosti ugla  $\theta$  brzine su veće za slučaj kada je kanal "ispod" horizontalne ravni od brzina za slučaj kada je kanal "iznad" horizontalne ravni.

Sa slike 5.32 se zaključuje da je za istu vrednost ugla nagiba kanala temperatura u kanalu viša za veću vrednost ugla nagiba magnetnog polja  $\theta$ . Za istu vrednost ugla  $\theta$  temperatura u kanalu je viša za kanal koji je "ispod" horizontalne ravni. Maksimalne temperature su u gornjoj polovini kanala. Povećanjem ugla  $\theta$  smanjuje se Lorentz-ova sila, raste protok i viskozno zagrevanje, a opada Joule-ova toplota.

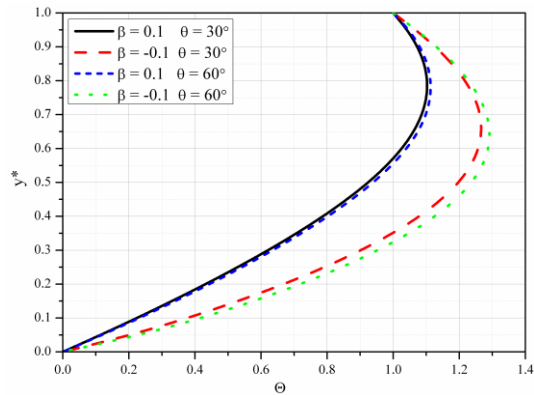
Na slikama 5.33 i 5.34 su prikazani rasporedi bezdimenziione uzdužne brzine i bezdimenziione temperature u kanalu za različite vrednosti veličine  $\beta$  i ugla

$\theta$ , respektivno. Kanal sa horizontalnom ravni gradi ugao  $60^\circ$  i nalazi se "iznad" nje. Kanal je u režimu kratkog spoja.

Sa slike 5.33 se zaključuje da je za istu vrednost  $\beta$ , brzina u kanalu veća za veću vrednost ugla  $\theta$ , kao i tangencijalni naponi na zidovima kanala. Za  $\theta = 30^\circ$  brzina je u većem delu poprečnog preseka kanala veća za slučaj  $\beta = -0.1$  od brzine za slučaj kada je  $\beta = 0.1$ . Za  $\theta = 60^\circ$  brzina je u manjem delu poprečnog preseka kanala veća za slučaj kada je  $\beta = -0.1$  od brzine za slučaj kada je  $\beta = 0.1$ .



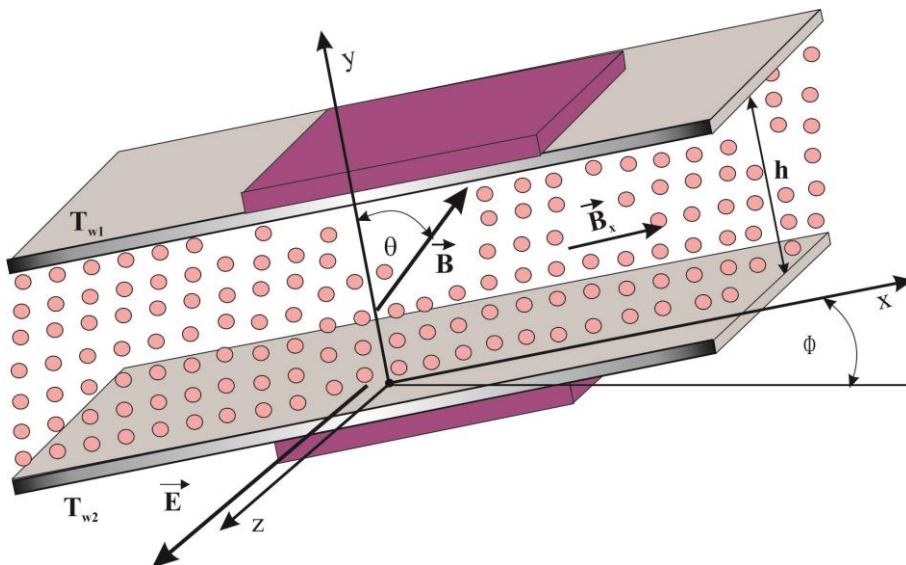
Slika 5.33 Bezdimenziona uzdužna brzina za različite vrednosti  $\beta$  i  $\theta$



Slika 5.34 Bezdimenziona temperatura za različite vrednosti  $\beta$  i  $\theta$

Sa slike 5.34 se zaključuje da je za istu vrednost  $\beta$  temperatura u kanalu viša za veću vrednost  $\theta$ . Za istu vrednost  $\theta$  temperatura u kanalu je viša za slučaj  $\beta = -0.1$  od temperature za slučaj  $\beta = 0.1$ .

## 5.3 Kombinovano konvektivno MHD strujanje u poroznoj sredini između nagnutih paralelnih ploča sa indukovanim magnetnim poljem



Slika 5c Fizički model strujanja

U ovom poglavlju se izučava MHD strujanje i prenos toplote u poroznoj sredini koja je ograničena pločama nagnutim pod uglom  $\phi$  u odnosu na horizontalu. Zidovi kanala su nepokretni, elektro-neprovodni i nalaze se na međusobnom rastojanju  $h$ . Primjeno spoljašnje magnetno polje je homogeno, nalazi se u ravni uzdužnog preseka kanala i gradi ugao  $\theta$  sa normalom na zidove kanala. Indukovano magnetno polje je u uzdužnoj ravni kanala i paralelno je zidovima kanala. Zidovi kanala su na stalnim temperaturama  $T_{w2}$  donji i  $T_{w1}$  gornji. Pad pritiska u kanalu je konstantan u smeru ose x, usvojenog koordinatnog sistema.

### 5.3.1 Matematički model

Vektor magnetne indukcije primjenjenog spoljašnjeg magnetnog polja nalazi se u xy ravni i može se predstaviti izrazom:

$$\vec{B}_0 = B_0 \sin \theta \vec{i} + B_0 \cos \theta \vec{j}, \quad (5.3.1)$$

koji uvođenjem oznake:

$$\lambda = \cos \theta, \quad (5.3.2)$$

postaje:

$$\vec{B}_0 = B_0 \sqrt{1 - \lambda^2} \vec{i} + \lambda B_0 \vec{j}. \quad (5.3.3)$$

Magnetna indukcija indukovanih magnetnih polja je pravca ose x i može se predstaviti sledećim vektorom:

$$\vec{B}_x = B_x \vec{i}. \quad (5.3.4)$$

Rezultujuća magnetna indukcija magnetnog polja onda ima sledeću reprezentaciju:

$$\vec{B} = \left( B_x + B_0 \sqrt{1 - \lambda^2} \right) \vec{i} + \lambda B_0 \vec{j}. \quad (5.3.5)$$

Kako je strujanje u kanalu ravansko, brzina u kanalu može se predstaviti u obliku:

$$\vec{W} = u \vec{i} + v \vec{j}. \quad (5.3.6)$$

Imajući u vidu sve pretpostavke o strujanju, koje su činjene i do sada, na primer u poglavlju 3.1, iz jednačine kontinuiteta (2.4.3) se dobija da je komponenta brzine u pravcu upravnog na zidove kanala konstantna. Ova komponenta brzine postoji samo u slučajevima ako na zidovima postoje izvori/ponori, a ukoliko njih nema ona je jednaka nuli. Ovde će se posmatrati slučajevi kada izvori/ponori postoje.

Gustina električne struje definisana je izrazom:

$$\vec{j}^* = \frac{1}{\mu_0} \nabla \times \vec{B}. \quad (5.3.7)$$

Polazeći sada od proširene Navier-Stokes-ove jednačine (2.5.14) sa dodatnim članom (5.1.1), unoseći u nju izraze (5.3.5), (5.3.6), (5.3.7) i projektujući je na ose x i y, dobijaju se sledeće jednačine:

$$\rho v \frac{du}{dy} = - \frac{\partial p}{\partial x} + \mu \frac{d^2 u}{dy^2} - \frac{\mu}{K^*} u + \frac{\lambda B_0}{\mu_0} \frac{dB_x}{dy} - g \rho \beta_T (T_{w2} - T) \sin \phi, \quad (5.3.8)$$

$$\frac{\partial p}{\partial y} + \frac{\mu}{K^*} v + \frac{1}{\mu_0} \left( B_x + B_0 \sqrt{1 - \lambda^2} \right) \frac{dB_x}{dy} + g \rho \beta_T (T_{w2} - T) \cos \phi = 0. \quad (5.3.9)$$

Jednačina magnetne indukcije (2.7.3) u ovom slučaju transformiše se na jednačinu:

$$\frac{1}{\sigma \mu_0} \frac{d^2 B_x}{dy^2} - v \frac{dB_x}{dy} + \lambda B_0 \frac{du}{dy} = 0. \quad (5.3.10)$$

Jednačina energije (2.6.24), posle zamene izraza (5.3.6), (5.3.7) i uprošćenja, koja su i do sada činjena, transformiše se na jednačinu:

$$k \frac{d^2 T}{dy^2} + \mu \left( \frac{du}{dy} \right)^2 + \frac{\mu}{K^*} u^2 + \frac{1}{\sigma \mu_0^2} \left( \frac{dB_x}{dy} \right)^2 = 0. \quad (5.3.11)$$

I ovde se prepostavlja da je pad pritiska po jedinici dužine kanala stalan tj. važi relacija:

$$-\frac{\partial p}{\partial x} = P = \text{const.} \quad (5.3.12)$$

Odgovarajući granični uslovi su:

$$\begin{aligned} u(0) &= 0, \quad u(h) = 0, \\ B_x(0) &= 0, \quad B_x(h) = 0, \\ T(0) &= T_{w2}, \quad T(h) = T_{w1}. \end{aligned} \quad (5.3.13)$$

Jednačine (5.3.8), (5.3.9), (5.3.10), (5.3.11) i granični uslovi (5.3.13) predstavljaju matematički model problema MHD strujanja i prenosa toplote u nagnutom poroznom kanalu, koji se u ovom poglavlju izučava.

Za dalje izučavanje opisanog problema ovaj matematički model se transformiše na odgovarajući bezdimenzionalni matematički model. U tom cilju se uvode bezdimenzione veličine date izrazima (3.3.9).

Korišćenjem uvedenih bezdimenzionalnih veličina jednačina (5.3.8) se transformiše na jednačinu:

$$\frac{d^2u^*}{dy^{*2}} - \beta Re \frac{du^*}{dy^*} - \Lambda u^* + \lambda \frac{Ha^2}{Rm} \frac{db}{dy^*} + 1 + \frac{Gr}{Re} \sin \phi = 0, \quad (5.3.14)$$

dok se jednačina (5.3.10) transformiše na jednačinu:

$$\frac{1}{\lambda Rm} \frac{d^2b}{dy^{*2}} - \frac{\beta}{\lambda} \frac{db}{dy^*} + \frac{dK^*}{dy^*} = 0, \quad (5.3.15)$$

jednačina (5.3.11) se transformiše na jednačinu:

$$\frac{d^2\Theta}{dy^{*2}} + Pr Ec \left( \frac{du^*}{dy^*} \right)^2 + \Lambda Pr Ec u^{*2} + Pr Ec \frac{Ha^2}{Rm^2} \left( \frac{db}{dy^*} \right)^2 = 0, \quad (5.3.16)$$

i na kraju jednačina (5.3.9) se transformiše na jednačinu:

$$\frac{\partial}{\partial y} \left( \frac{\mu_0 p}{B_0^2} \right) + \left( b + \sqrt{1 - \lambda^2} \right) \frac{db}{dy^*} + \frac{Rm}{Ha^2} \left( \beta \Lambda + \frac{Gr}{Re} \cos \phi \right) = 0. \quad (5.3.17)$$

Ovde uvedene oznake, koje su korišćene i do sada, i predstavljene su izrazima (3.1.21), (3.3.16) i (5.1.10).

Odgovarajući granični uslovi u bezdimenzionom obliku, dobijaju se iz graničnih uslova (5.3.13) i imaju sledeće oblike:

$$\begin{aligned} u^*(0) &= 0, \quad u^*(1) = 0, \\ b(0) &= 0, \quad b(1) = 0, \\ \Theta(0) &= 0, \quad \Theta(1) = 1. \end{aligned} \quad (5.3.18)$$

Jednačine (5.3.14), (5.3.15), (5.3.16), (5.3.17) i granični uslovi (5.3.18) predstavljaju matematički model u bezdimenzionom obliku problema koji se ovde izučava.

### 5.3.2 Rasporedi bezdimenzijske uzdužne brzine i bezdimenzijske magnetne indukcije indukovanih magnetnih polja

Za određivanje rasporeda bezdimenzijske uzdužne brzine i bezdimenzijske magnetne indukcije indukovanih magnetnih polja neophodno je rešiti jednačine (5.3.14) i (5.3.15) koje su međusobno spregnute. U tom cilju se iz jednačine (5.3.14) određuje veličina  $db/dy^*$  i dobija da je:

$$\frac{db}{dy^*} = \frac{Rm}{\lambda Ha^2} \left[ \beta Re \frac{du^*}{dy^*} + \Lambda u^* - \frac{d^2 u^*}{dy^{*2}} - \left( 1 - \frac{Gr}{Re} \sin \phi \right) \right], \quad (5.3.19)$$

pri čemu se mora imati u vidu da za ovakav zapis mora biti  $\lambda \neq 0$ . Zamenom veličine date izrazom (5.3.19) i njenog izvoda po  $y^*$  u jednačini (5.3.15) ista se transformiše na jednačinu:

$$\frac{d^3 u^*}{dy^{*3}} - a_1 \frac{d^2 u^*}{dy^{*2}} + a_2 \frac{du^*}{dy^*} + a_3 u^* = \beta Rm \left( 1 - \frac{Gr}{Re} \sin \phi \right), \quad (5.3.20)$$

u kojoj su korišćene oznake  $a_1$  i  $a_3$  date izrazima (3.3.21), dok je  $a_2$  dato izrazom:

$$a_2 = \beta^2 Re Rm - \Lambda - \lambda^2 Ha^2. \quad (5.3.21)$$

Dakle, dobijena je nehomogena diferencijalna jednačina trećeg reda sa konstantnim koeficijentima. Ova jednačina se razlikuje od jednačine (3.3.20) u tome što su im različiti nezavisni članovi i što oznaka  $a_2$  predstavlja različite veličine, kod jedne i kod druge jednačine.

Karakteristična jednačina odgovarajuće homogene jednačine ima zapis (3.3.22). Sada treba propratiti postupak koji je korišćen u poglavlju 3.3.2. Partikularno rešenje jednačine (5.3.20) je:

$$u_p^*(y^*) = \frac{1}{\Lambda} \left( 1 - \frac{Gr}{Re} \sin \phi \right). \quad (5.3.22)$$

## Poglavlje 5

---

Onda je, u slučaju I, opšte rešenje jednačine (5.3.20) dano izrazom:

$$\begin{aligned} u^*(y^*) &= A_1 \exp(r_1 y^*) + \\ &+ [A_2 \cos(c_2 y^*) + A_3 \sin(c_2 y^*)] \exp(c_1 y^*) + \\ &+ \frac{1}{\Lambda} \left( 1 + \frac{Gr}{Re} \sin \phi \right), \end{aligned} \quad (5.3.23)$$

u kome su  $c_1$  i  $c_2$  date izrazima (3.3.32), a  $A_1$ ,  $A_2$  i  $A_3$  su integracione konstante.

U slučaju II, opšte rešenje jednačine (5.3.20) ima sledeću reprezentaciju:

$$\begin{aligned} u^*(y^*) &= B_1 \exp(m_1 y^*) + B_2 \exp(m_2 y^*) + \\ &+ B_3 y^* \exp(m_2 y^*) + \frac{1}{\Lambda} \left( 1 + \frac{Gr}{Re} \sin \phi \right), \end{aligned} \quad (5.3.24)$$

u kojoj su veličine  $m_1$  i  $m_2$  date izrazima (3.3.36), a  $B_1$ ,  $B_2$  i  $B_3$  su integracione konstante.

U slučaju III, opšte rešenje jednačine (5.3.20) ima zapis:

$$\begin{aligned} u^*(y^*) &= C_1 \exp(n_1 y^*) + C_2 \exp(n_2 y^*) + \\ &+ C_3 \exp(n_3 y^*) + \frac{1}{\Lambda} \left( 1 + \frac{Gr}{Re} \sin \phi \right), \end{aligned} \quad (5.3.25)$$

u kome su veličine  $n_1$ ,  $n_2$  i  $n_3$  date izrazima (3.3.38), a  $C_1$ ,  $C_2$  i  $C_3$  su integracione konstante.

Za sada je određeno opšte rešenje jednačine (5.3.20) u sva tri slučaja koji su definisani u poglavlju 3.3.2.

Sada se prelazi na određivanje opštih rešenja jednačine (5.3.19). U svakom od razmatranih slučajeva treba u jednačinu (5.3.19) uneti  $u^*$ ,  $du^*/dy^*$  i  $d^2u^*/dy^{*2}$  i izvršiti integraciju tako dobijene jednačine.

Tako se u slučaju I dobija da je opšte rešenje jednačine (5.3.19) dano izrazom:

$$\begin{aligned}
 b(y^*) = & \frac{Rm}{\lambda Ha^2} \{ A_1 L_1 \exp(r_l y^*) + \\
 & + (L_2 A_2 - L_3 A_3) \cos(c_2 y^*) \exp(c_1 y^*) + \\
 & + (L_2 A_3 + L_3 A_2) \sin(c_2 y^*) \exp(c_1 y^*) + \\
 & + \beta \operatorname{Re} \frac{\left(1 - \frac{Gr}{Re} \sin \phi\right)}{\Lambda} + A_4 \}
 \end{aligned} \tag{5.3.26}$$

u kome su veličine  $L_1$ ,  $L_2$  i  $L_3$  date izrazima (3.3.42), a  $A_4$  je integraciona konstanta.

Sada se, korišćenjem graničnih uslova (5.3.18) za bezdimenzionu uzdužnu brzinu i bezdimenzionu magnetnu indukciju indukovanih magnetnih polja, određuju integracione konstante  $A_1$ ,  $A_2$ ,  $A_3$  i  $A_4$  i dobija se da su konstante  $A_2$ ,  $A_3$  i  $A_4$  date izrazima (3.3.43), dok je konstanta  $A_1$  data izrazom:

$$A_1 = -A_2 - \frac{1}{\Lambda^*}, \tag{5.3.27}$$

u kome je:

$$\frac{1}{\Lambda^*} = \frac{1}{\Lambda} \left( 1 - \frac{Gr}{Re} \sin \phi \right). \tag{5.3.28}$$

Oznake  $L_9$ ,  $L_{11}$ ,  $L_{13}$ ,  $L_{15}$ ,  $L_{16}$  i  $L_{17}$  koje se pojavljuju u izrazima za integracione konstante date su izrazima (3.3.44), dok su oznake ovde označene sa  $L_{10}$ ,  $L_{12}$  i  $L_{14}$  date izrazima:

$$\begin{aligned}
 L_{10} &= \frac{1}{\Lambda^*} (1 - \exp(r_l)), \\
 L_{12} &= \frac{1}{\Lambda^*} (\beta Re - L_1), \quad L_{14} = \frac{1}{\Lambda^*} (\beta Re - L_6),
 \end{aligned} \tag{5.3.29}$$

i razlikuju se od istih oznaka u (3.3.44).

Za dalja istraživanja izraz (5.3.26) koristiće se u sledećem obliku:

$$b(y^*) = \frac{Rm}{\lambda Ha^2} \{ L_{18} \exp(r_1 y^*) + \\ + [L_{19} \cos(c_2 y^*) + L_{20} \sin(c_2 y^*)] \exp(c_1 y^*) + L_{21} \}, \quad (5.3.30)$$

gde su, zbog kraćeg zapisa, uvedene oznake  $L_{18}$ ,  $L_{19}$  i  $L_{20}$  date izrazima (3.3.46) i oznaka  $L_{21}$  koja ima oblik:

$$L_{21} = \frac{\beta Re}{\Lambda^*} + A_4. \quad (5.3.31)$$

Zapaža se da se ova poslednja oznaka razlikuje od iste oznake korišćene u poglavlju 3.3.2.

Ovim su u slučaju I određeni raspored bezdimenziione uzdužne brzine i raspored bezdimenziione magnetne indukcije indukovanih magnetnih polja u kanalu.

Postupajući na isti način, kao u slučaju I, za slučaj II se dobija da je:

$$b(y^*) = \frac{Rm}{\lambda Ha^2} [L_{22} B_1 \exp(m_1 y^*) + \\ + (L_{23} B_2 - L_{24} B_3) \exp(m_2 y^*) + L_{23} B_3 y^* \exp(m_2 y^*) + \\ + \frac{\beta Re}{\Lambda^*} + B_4], \quad (5.3.32)$$

gde su, zbog kraćeg zapisa, korišćene oznake (3.3.48), a  $B_4$  je integraciona konstanta.

Koristeći granične uslove (5.3.18) dobija se da su, u ovom slučaju, integracione konstante date izrazima:

$$B_1 = \frac{1}{\Lambda^*} \frac{L_{32} - 1}{L_{31} - L_{32}}, \quad B_2 = -B_1 - \frac{1}{\Lambda^*}, \\ B_3 = \frac{1}{L_{30}} (L_{28} B_1 + L_{29} B_2), \\ B_4 = L_{24} B_3 - L_{22} B_1 - L_{23} B_2 - \frac{\beta Re}{\Lambda^*}, \quad (5.3.33)$$

gde su uvedene oznake  $L_{25}$  do  $L_{32}$  date izrazima (3.3.50).

Ovim su u slučaju II određeni rasporedi bezdimenzijske brzine i bezdimenzijske magnetne indukcije indukovanih magnetnih polja u kanalu.

U slučaju III se dobija da je:

$$\begin{aligned} b(y^*) = & \frac{Rm}{\lambda Ha^2} [L_{33}C_1 \exp(n_1 y^*) + L_{34}C_2 \exp(n_2 y^*) + \\ & + L_{35}C_3 \exp(n_3 y^*) + \frac{\beta Re}{\Lambda^*} + C_4], \end{aligned} \quad (5.3.34)$$

gde su uvedene oznake  $L_{33}$ ,  $L_{34}$  i  $L_{35}$  date izrazima (3.3.52), a  $C_4$  je integraciona konstanta.

Koristeći, kao i u prethodna dva slučaja, granične uslove (5.3.18) dobija se da su integracione konstante date izrazima:

$$\begin{aligned} C_1 &= \frac{1}{\Lambda^*} \frac{L_{43} - L_{45}}{L_{42}L_{45} - L_{43}L_{44}}, \\ C_2 &= -\frac{1}{L_{45}} \left( \frac{1}{\Lambda^*} + L_{44}C_1 \right), \\ C_3 &= -\frac{1}{L_{41}} (L_{39}C_1 + L_{40}C_2), \\ C_4 &= -L_{33}C_1 - L_{34}C_2 - L_{35}C_3 - \frac{\beta Re}{\Lambda^*}, \end{aligned} \quad (5.3.35)$$

u kojima su, radi kraćih zapisa, korišćene oznake (3.3.54).

Ovim su i u slučaju III određeni rasporedi bezdimenzijske uzdužne brzine i rasporedi bezdimenzijske magnetne indukcije indukovanih magnetnih polja u kanalu.

### 5.3.3 Rasporedi bezdimenzione temperature i pritiska

Za određivanje rasporeda bezdimenzione temperature neophodno je rešiti jednačinu (5.3.16) u svakom od posmatrana tri slučaja. U tom cilju dobro je, prethodno, ovu jednačinu napisati u obliku:

$$\frac{d^2\Theta}{dy^{*2}} = -Pr Ec \left[ \left( \frac{du^*}{dy^*} \right)^2 + \Lambda u^{*2} + \frac{Ha^2}{Rm^2} \left( \frac{db}{dy^*} \right)^2 \right], \quad (5.3.36)$$

zatim u njoj zameniti dobijena rešenja za  $u^*$ ,  $du^*/dy^*$  i  $db/dy^*$  u svakom od slučajeva I, II i III i tako dobijenu jednačinu dva puta integraliti tj. rešiti.

Tako se u slučaju I dobija da je bezdimenzioni raspored temperature dat izrazom:

$$\begin{aligned} \theta(y^*) = & -Pr Ec \{ L_{62}^* \exp(2r_l y^*) + L_{63}^* \exp(r_l y^*) + \\ & + [L_{64}^* + L_{65}^* \sin(2c_2 y^*) + L_{66}^* \cos(2c_2 y^*)] \exp(2c_1 y^*) + \\ & + [L_{67}^* \sin(c_2 y^*) + L_{68}^* \cos(c_2 y^*)] \exp((r_l + c_1)y^*) + \\ & + [L_{69}^* \sin(c_2 y^*) + L_{70}^* \cos(c_2 y^*)] \exp(c_1 y^*) + \\ & + \frac{1}{2} \frac{\Lambda}{\Lambda^{*2}} y^{*2} + D_1 y^* + D_2 \}, \end{aligned} \quad (5.3.37)$$

u kome su, radi kraćeg zapisa, korištene oznake  $L_{46}$ ,  $L_{47}$ ,  $L_{48}$ ,  $L_{49}$  date izrazima (3.3.56) i ovde uvedene oznake:

$$L_{50}^* = A_1^2 (r_l^2 + \Lambda) + \frac{r_l^2 L_{18}^2}{\lambda^2 Ha^2},$$

$$L_{51}^* = L_{46}^2 + \Lambda A_3^2 + \frac{L_{48}^2}{\lambda^2 Ha^2},$$

$$L_{52}^* = L_{47}^2 + \Lambda A_2^2 + \frac{L_{49}^2}{\lambda^2 Ha^2},$$

$$L_{53}^* = 2 \left( A_1 r_1 L_{46} + \Lambda A_1 A_3 + \frac{r_1 L_{18} L_{48}}{\lambda^2 H a^2} \right),$$

$$L_{54}^* = 2 \left( A_1 r_1 L_{47} + \Lambda A_1 A_2 + \frac{r_1 L_{18} L_{49}}{\lambda^2 H a^2} \right),$$

$$L_{55}^* = L_{46} L_{47} + \Lambda A_3 A_2 + \frac{L_{48} L_{49}}{\lambda^2 H a^2},$$

$$L_{56}^* = \frac{1}{4} \frac{1}{c_2^2 + c_1^2} \left( -c_2 L_{51}^* + c_2 L_{52}^* + 2c_1 L_{55}^* \right),$$

$$L_{57}^* = \frac{1}{4} \frac{1}{c_2^2 + c_1^2} \left( c_1 L_{51}^* + c_2 L_{52}^* - 2c_2 L_{55}^* \right),$$

$$L_{58}^* = \frac{1}{c_2^2 + (r_1 + c_1)^2} \left[ (r_1 + c_1) L_{53}^* + c_2 L_{54}^* \right],$$

$$L_{59}^* = \frac{1}{c_2^2 + (r_1 + c_1)^2} \left[ -c_2 L_{53}^* + (r_1 + c_1) L_{54}^* \right],$$

$$L_{60}^* = \frac{2}{c_2^2 + c_1^2} \frac{\Lambda}{\Lambda^*} (A_2 c_2 + A_3 c_1),$$

$$L_{61}^* = \frac{2}{c_2^2 + c_1^2} \frac{\Lambda}{\Lambda^*} (A_2 c_1 - A_3 c_2),$$

$$L_{62}^* = \frac{L_{50}^*}{4 r_1^2}, \quad L_{63}^* = \frac{2 A_1}{r_1^2} \frac{\Lambda}{\Lambda^*},$$

$$L_{64}^* = \frac{1}{8 c_1^2} (L_{51}^* + L_{52}^*),$$

$$L_{65}^* = \frac{1}{2} \frac{1}{c_2^2 + c_1^2} (L_{56}^* c_1 + L_{57}^* c_2),$$

$$L_{66}^* = \frac{1}{2} \frac{1}{c_2^2 + c_1^2} (L_{57}^* c_1 - L_{56}^* c_2),$$

$$L_{67}^* = \frac{1}{c_2^2 + (r_1 + c_1)^2} (L_{58}^* (r_1 + c_1) + L_{59}^* c_2),$$

$$L_{68}^* = \frac{1}{c_2^2 + (r_1 + c_1)^2} (L_{59}^* (r_1 + c_1) - L_{58}^* c_2),$$

$$L_{69}^* = \frac{1}{c_2^2 + c_1^2} (L_{60}^* c_1 + L_{61}^* c_2),$$

$$L_{70}^* = \frac{1}{c_2^2 + c_1^2} (L_{61}^* c_1 - L_{60}^* c_2), \quad (5.3.38)$$

a gde su  $D_1$  i  $D_2$  integracione konstante.

Korišćenjem graničnih uslova (5.3.18) dobija se da su integracione konstante date izrazima:

$$\begin{aligned} D_2 &= -L_{62}^* - L_{63}^* - L_{64}^* - L_{66}^* - L_{68}^* - L_{70}^*, \\ D_1 &= -\frac{1}{PrEc} - D_2 - L_{71}^*, \end{aligned} \quad (5.3.39)$$

gde je uvedena oznaka:

$$\begin{aligned} L_{71}^* &= L_{62}^* \exp(2r_l) + L_{63}^* \exp(r_l) + \\ &+ [L_{64}^* + L_{65}^* \sin(2c_2) + L_{66}^* \cos(2c_2)] \exp(2c_1) + \\ &+ [L_{67}^* \sin(c_2) + L_{68}^* \cos(c_2)] \exp(r_l + c_1) + \\ &+ [L_{69}^* \sin(c_2) + L_{70}^* \cos(c_2)] \exp(c_1) + \frac{1}{2} \frac{\Lambda}{\Lambda^{*2}}. \end{aligned} \quad (5.3.40)$$

U slučaju II se dobija da je raspored temperature dat izrazom:

$$\begin{aligned} \theta(y^*) &= -PrEc[S_{15}^* \exp(2m_1 y^*) + \\ &+ (S_{16}^* + S_{17}^* y^* + S_{18}^* y^{*2}) \exp(2m_2 y^*) + \\ &+ (S_{19}^* + S_{20}^* y^*) \exp((m_1 + m_2) y^*) + \\ &+ S_{21}^* \exp(m_1 y^*) + (S_{22}^* + S_{23}^* y^*) \exp(m_2 y^*) + \\ &+ \frac{1}{2} \frac{\Lambda}{\Lambda^{*2}} y^{*2} + F_1 y^* + F_2], \end{aligned} \quad (5.3.41)$$

gde su  $F_1$  i  $F_2$  integracione konstante, a radi kraćeg zapisa uvedene su oznake  $S_1$ ,  $S_2$ ,  $S_3$ ,  $S_4$  date izrazima (3.3.6) i dopunske oznake:

$$\begin{aligned} S_5^* &= (m_1^2 + \Lambda) B_1^2 + \frac{S_1^2}{\lambda^2 H a^2}, \\ S_6^* &= (m_2^2 + \Lambda) B_2^2 + B_3 (B_3 + 2B_2 m_2) + \frac{(S_2 + S_3)^2}{\lambda^2 H a^2}, \end{aligned}$$


---

$$\begin{aligned}
 S^*_7 &= 2 \left[ B_1 m_1 (B_2 m_2 + B_3) + \Lambda B_1 B_2 + \frac{S_1 (S_2 + S_3)}{\lambda^2 H a^2} \right], \\
 S^*_8 &= B_3^2 (m_2^2 + \Lambda) + \frac{S_4^2}{\lambda^2 H a^2}, \\
 S^*_9 &= 2 \left[ B_1 B_3 (m_1 m_2 + \Lambda) + \frac{S_1 S_4}{\lambda^2 H a^2} \right], \\
 S^*_{10} &= 2 \left[ B_2 B_3 (m_2^2 + \Lambda) + B_3^2 m_2 + \frac{(S_2 + S_3) S_4}{\lambda^2 H a^2} \right], \\
 S^*_{11} &= \frac{S^*_8}{2m_2}, \quad S^*_{12} = \frac{S^*_9}{m_1 + m_2}, \\
 S^*_{13} &= \frac{1}{2m_2} \left( S^*_{10} - \frac{S^*_8}{m_2} \right), \\
 S^*_{14} &= 2 \frac{B_3}{m_2} \frac{\Lambda}{\Lambda^*}, \quad S^*_{15} = \frac{S^*_5}{4m_1^2}, \\
 S^*_{16} &= \frac{1}{4m_2^2} + \left( S_6 - S_{13} + \frac{S_{11}}{m_2} \right) + \frac{1}{8m_2^3} \left( \frac{S^*_8}{m_2} - S^*_{10} \right), \\
 S^*_{17} &= \frac{1}{2m_2} \left( S^*_{13} - \frac{S^*_{11}}{m_2} \right), \quad S^*_{18} = \frac{S^*_{11}}{2m_2}, \\
 S^*_{19} &= \frac{1}{(m_1 + m_2)^2} \left( S^*_7 - S^*_{12} - \frac{S^*_9}{(m_1 + m_2)} \right), \\
 S^*_{20} &= \frac{S^*_{12}}{m_1 + m_2}, \quad S^*_{21} = 2 \frac{B_1}{m_1^2} \frac{\Lambda}{\Lambda^*}, \\
 S^*_{22} &= \frac{2}{m_2^2} \left( B_2 - \frac{B_3}{m_2} \right) \frac{\Lambda}{\Lambda^*} - \frac{S^*_{14}}{m_2^2}, \quad S^*_{23} = \frac{S^*_{14}}{m_2}. \tag{5.3.42}
 \end{aligned}$$

Korišćenjem graničnih uslova (5.3.18) dobija se da su integracione konstante  $F_1$  i  $F_2$  date izrazima:

$$\begin{aligned}
 F_2 &= -S^*_{15} - S^*_{16} - S^*_{19} - S^*_{21} - S^*_{22}, \\
 F_1 &= -F_2 - S^*_{24} - \frac{1}{Pr Ec}, \tag{5.3.43}
 \end{aligned}$$


---

gde je, radi kraćeg zapisa, uvedena oznaka:

$$\begin{aligned}
 S_{24}^* = & S_{15}^* \exp(2m_1) + (S_{16}^* + S_{17}^* + S_{18}^*) \exp(2m_2) + \\
 & + (S_{19}^* + S_{20}^*) \exp(m_1 + m_2) + \\
 & + S_{21}^* \exp(m_1) + (S_{22}^* + S_{23}^*) \exp(m_2) + \\
 & + \frac{1}{2} \frac{\Lambda}{\Lambda^{*2}}.
 \end{aligned} \tag{5.3.44}$$

U slučaju III se dobija da je raspored bezdimenzione temperature u kanalu dat izrazom:

$$\begin{aligned}
 \theta(y^*) = & -\operatorname{PrEc}[S_{31}^* \exp(2n_1 y^*) + \\
 & + S_{32}^* \exp(2n_2 y^*) + S_{33}^* \exp(2n_3 y^*) + \\
 & + S_{34}^* \exp((n_1 + n_2) y^*) + S_{35}^* \exp((n_1 + n_3) y^*) + \\
 & + S_{36}^* \exp((n_2 + n_3) y^*) + S_{37}^* \exp(n_1 y^*) + \\
 & + S_{38}^* \exp(n_2 y^*) + S_{39}^* \exp(n_3 y^*) + \\
 & + \frac{1}{2} \frac{\Lambda}{\Lambda^{*2}} y^{*2} + G_1 y^* + G_2],
 \end{aligned} \tag{5.3.45}$$

gde su  $G_1$  i  $G_2$  integracione konstante, a radi kraćeg zapisa, uvedene su sledeće oznake:

$$\begin{aligned}
 S_{25}^* &= C_1^2 \left[ \Lambda + n_1^2 \left( 1 + \frac{L_{33}^2}{\lambda^2 H a^2} \right) \right], \\
 S_{26}^* &= C_2^2 \left[ \Lambda + n_2^2 \left( 1 + \frac{L_{34}^2 n_2^2}{\lambda^2 H a^2} \right) \right], \\
 S_{27}^* &= C_3^2 \left[ \Lambda + n_3^2 \left( 1 + \frac{L_{35}^2 n_3^2}{\lambda^2 H a^2} \right) \right], \\
 S_{28}^* &= 2C_1 C_2 \left[ \Lambda + n_1 n_2 \left( 1 + \frac{L_{33} L_{34}}{\lambda^2 H a^2} \right) \right],
 \end{aligned}$$

$$\begin{aligned}
 S_{29}^* &= 2C_1 C_3 \left[ \Lambda + n_1 n_3 \left( 1 + \frac{L_{33} L_{35}}{\lambda^2 H_a^2} \right) \right], \\
 S_{30}^* &= 2C_2 C_3 \left[ \Lambda + n_2 n_3 \left( 1 + \frac{L_{34} L_{35}}{\lambda^2 H_a^2} \right) \right], \\
 S_{31}^* &= \frac{S_{25}^*}{4n_1^2}, \quad S_{32}^* = \frac{S_{26}^*}{4n_2^2}, \\
 S_{33}^* &= \frac{S_{27}^*}{4n_3^2}, \quad S_{34}^* = \frac{S_{28}^*}{(n_1 + n_2)^2}, \\
 S_{35}^* &= \frac{S_{29}^*}{(n_1 + n_3)^2}, \quad S_{36}^* = \frac{S_{30}^*}{(n_2 + n_3)^2}, \quad S_{37}^* = 2 \frac{C_1}{n_1^2} \frac{\Lambda}{\Lambda^*}, \\
 S_{38}^* &= 2 \frac{C_2}{n_2^2} \frac{\Lambda}{\Lambda^*}, \quad S_{39}^* = 2 \frac{C_3}{n_3^2} \frac{\Lambda}{\Lambda^*}. \tag{5.3.46}
 \end{aligned}$$

Korišćenjem, kao i u prethodna dva slučaja, graničnih uslova (5.3.18) dobija se da su integracione konstante  $G_1$  i  $G_2$  date izrazima:

$$\begin{aligned}
 G_2 &= -S_{31}^* - S_{32}^* - S_{33}^* - S_{34}^* - S_{35}^* - S_{36}^* - S_{37}^* - S_{38}^* - S_{39}^*, \\
 G_1 &= -G_2 - S_{40}^* - \frac{1}{Pr Ec}, \tag{5.3.47}
 \end{aligned}$$

gdje je, radi kraćeg zapisa, uvedena oznaka:

$$\begin{aligned}
 S_{40}^* &= S_{31}^* \exp(2n_1) + S_{32}^* \exp(2n_2) + \\
 &+ S_{33}^* \exp(2n_3) + S_{34}^* \exp(n_1 + n_2) + \\
 &+ S_{35}^* \exp(n_1 + n_3) + S_{36}^* \exp(n_2 + n_3) + \\
 &+ S_{37}^* \exp(n_1) + S_{38}^* \exp(n_2) + \\
 &+ S_{39}^* \exp(n_3) + \frac{1}{2} \frac{\Lambda}{\Lambda^{*2}}. \tag{5.3.48}
 \end{aligned}$$

Ovim su, u sva tri slučaja, određeni rasporedi bezdimenzione temperature u kanalu u analitičkom obliku.

Sada se prelazi na određivanje rasporeda bezdimenzionog pritiska u kanalu u svakom od gore navedenih slučajeva. U tom cilju treba u sva tri slučaja rešiti jednačinu (5.3.17). Zato se, prethodno, ova jednačina zapisuje u obliku:

$$\frac{\partial}{\partial y} \left( \frac{\mu_0 p}{B_0^2} \right) = -b \frac{db}{dy^*} - \sqrt{1-\lambda^2} \frac{db}{dy^*} - \frac{Rm}{Ha^2} \left( \beta \Lambda + \frac{Gr}{Re} \cos \phi \right), \quad (5.3.49)$$

zatim integrali i dobija da je:

$$\frac{\mu_0 p}{B_0^2} = -\frac{1}{2} b^2 - \sqrt{1-\lambda^2} b - \frac{Rm}{Ha^2} \left( \beta \Lambda + \frac{Gr}{Re} \cos \phi \right) y^* + f(x), \quad (5.3.50)$$

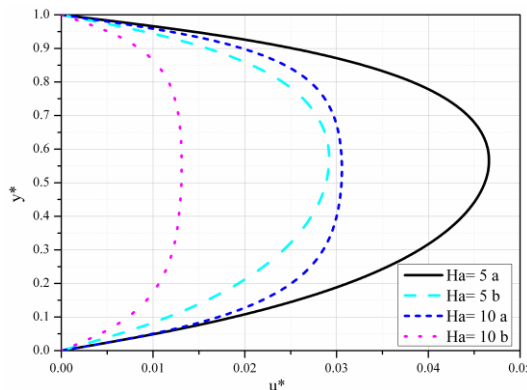
gde je, za sada,  $f(x)$  proizvoljna funkcija uzdužne koordinate. Koristeći relaciju (5.3.12) i činjenicu da je u tački  $x = 0, y = 0$  pritisak jednak  $p_0$  dobija se da je raspored pritiska dat izrazom:

$$\begin{aligned} \frac{\mu_0}{B_0^2} p &= \frac{\mu_0}{B_0^2} p_0 - \frac{1}{2} b^2 - \sqrt{1-\lambda^2} b - \\ &- \frac{\mu_0}{B_0^2} Px - \frac{Rm}{Ha^2} \left( \beta \Lambda + \frac{Gr}{Re} \cos \phi \right) y^*. \end{aligned} \quad (5.3.51)$$

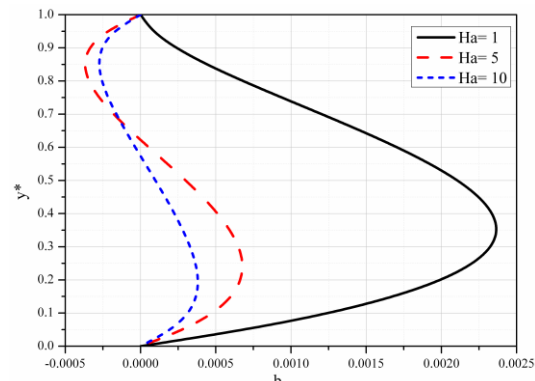
Izraz (5.3.51) je formalno isti za sva tri slučaja s tim što u njemu za veličinu  $b$  treba uzeti izraz (5.3.26) u slučaju I, izraz (5.3.32) u slučaju II i izraz (5.3.34) u slučaju III.

### 5.3.4 Analiza rezultata

Ovde će se izvršiti analiza rezultata dobijenih u poglavlјima 5.3.2 i 5.3.3. Zbog preglednosti i jednostavnije analize deo dobijenih rezultata predstavljen je na slikama koje slede.

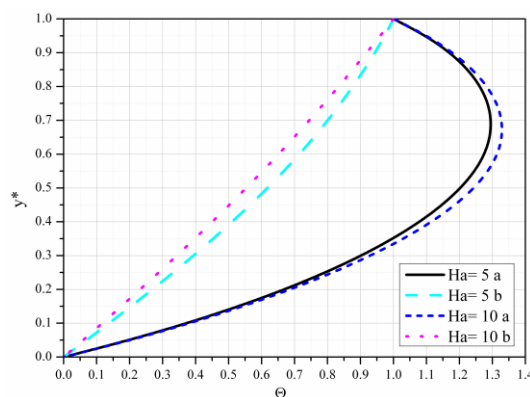


Slika 5.35 Bezdimenziona uzdužna brzina za različite vrednosti  $Ha$



Slika 5.36 Bezdimenziona magnetna indukcija za različite vrednosti  $Ha$

Tako su na slikama 5.35, 5.36 i 5.37 predstavljeni rasporedi bezdimenziione uzdužne brzine, bezdimenziione magnetne indukcije indukovanih magnetcnog polja i bezdimenziione temperature u kanalu za različite vrednosti Hartmann-ovog broja, respektivno. Razmatrani kanal sa horizontalnom ravni gradi ugao od  $30^\circ$ , njegovi zidovi su nepokretni, na konstantnim i različitim temperaturama, elektroneprovodni. Na donjem zidu kanala nalaze se izvori, dok su na gornjem ponori. Primjeno spoljašnje magnetno polje sa normalom na zidove kanala gradi ugao od  $30^\circ$ . Na slikama 5.35 i 5.37 oznake a i b odnose se na slučajeve sa indukcijom i bez indukcije, respektivno. I na narednim slikama ove oznake imaće isto značenje.



## Poglavlje 5

---

Slika 5.37 Bezdimenziona temperaturaza različite vrednosti Ha

Sa slike 5.35 se zaključuje da je, za istu vrednost Hartmann-ovog broja, brzina u kanalu veća kada postoji i indukovano magnetno polje od odgovarajuće brzine kada njega nema. Tangencijalni naponi na zidovima kanala su takođe veći. Za slučaj koji se ovde izučava, a to je kada se uzima u obzir i indukovano magnetno polje, povećanje vrednosti Hartmann-ovog broja dovodi do smanjenja brzine i do “poravnjanja” profila brzine u kanalu, kao što je to bilo i u slučajevima do sada. Maksimalna brzina je u gornjoj polovini kanala.

Sa slike 5.36 se zaključuje da sa porastom vrednosti Hartmann-ovog broja opada jačina indukovanih magnetnih polja. Indukovano magnetno polje menja i svoj smer. Za veće Hartmann-ove brojeve promena smera indukovanih magnetnih polja je bliža donjem zidu kanala. U okolini donjeg zida indukovano magnetno polje je istog smera sa smerom brzine. Indukovano magnetno polje je maksimalnog intenziteta u donjoj polovini kanala, za sve vrednosti Hartmann-ovog broja. Spoljašnje magnetno polje sa povećanjem svog intenziteta smanjuje mogućnost indukovanja polja jer većom silom deluje na provodnik i umanjuje njegovu brzinu. Za slučaj da se održava ista brzina provodnika indukovano polje bi imalo veći intenzitet.

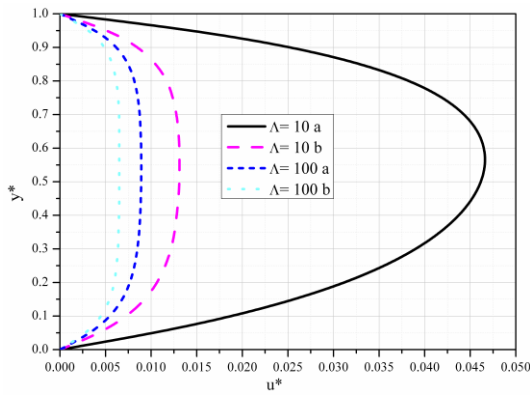
Sa slike 5.37 se zaključuje da je za istu vrednost Hartmann-ovog broja temperatura u kanalu viša kada postoji i indukovano magnetno polje od odgovarajuće temperature kada se ono zanemaruje. Sa porastom vrednosti Hartmann-ovog broja, u ovom slučaju, raste i temperatura u kanalu.

Na slikama 5.38, 5.39 i 5.40 prikazani su rasporedi bezdimenzione uzdužne brzine, bezdimenzione magnetne indukcije i bezdimenzione temperature u kanalu za različite vrednosti faktora poroznosti, respektivno. Kanal je isti kao i za slučaj kada je ispitivan uticaj Hartmann-ovog broja.

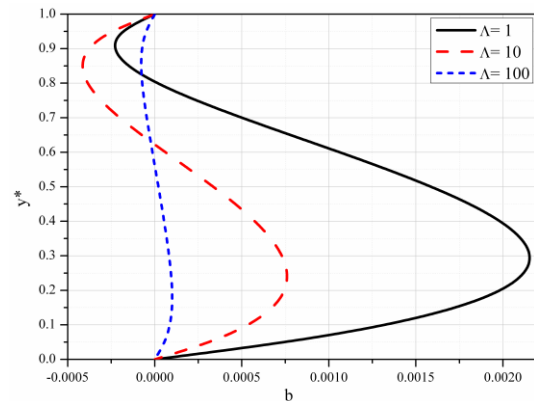
Sa slike 5.38 se zaključuje da je za istu vrednost faktora poroznosti brzina u kanalu veća kada postoji i indukovano magnetno polje od odgovarajuće brzine kada se ono zanemaruje, kao i tangencijalni naponi na zidovima kanala. Za slučaj

koji se razmatra u ovom poglavlju većim vrednostima  $\Lambda$  odgovaraju manje brzine u kanalu i manji tangencijalni naponi na zidovima kanala, a istovremeno i "ravniji" profili brzine u kanalu. Maksimalne brzine su u gornjoj polovini kanala, ali sa porastom  $\Lambda$  to postaje neprimetno.

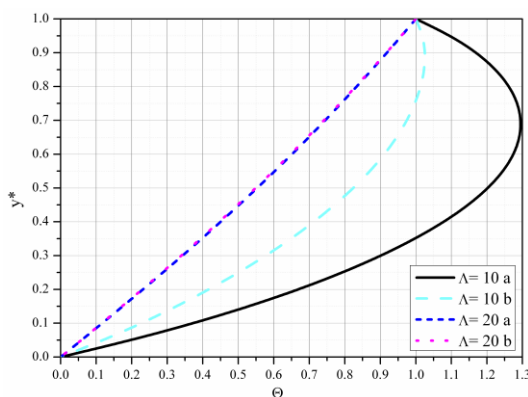
Sa slike 5.39 se zaključuje da većim vrednostima faktora poroznosti odgovaraju slabija indukovana magnetna polja. Indukovano magnetno polje menja svoj smer, a mesto promene je bliže donjem zidu što je vrednost  $\Lambda$  veća. U okolini donjeg zida indukovano magnetno polje je istog smera sa smerom brzine u kanalu. Maksimalni intenziteti indukovanih magnetnih polja su u donjoj polovini kanala.



Slika 5.38 Bezdimenziona uzdužna brzina za različite vrednosti  $\Lambda$



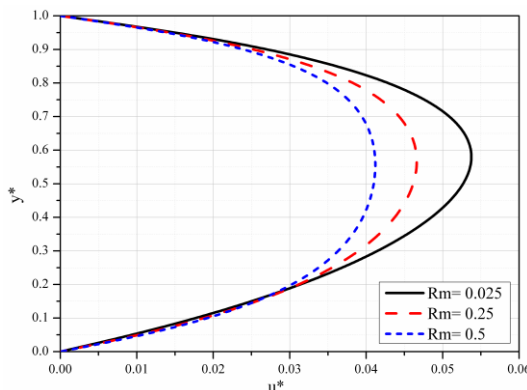
Slika 5.39 Bezdimenziona magnetna indukcija za različite vrednosti  $\Lambda$



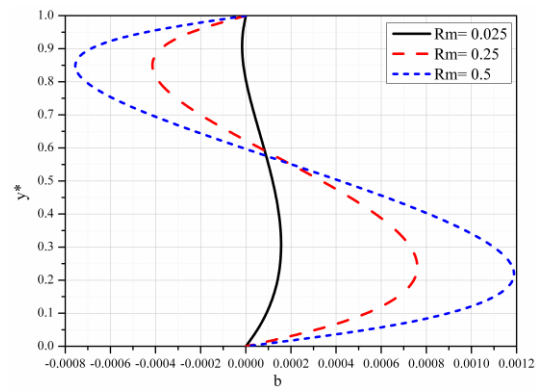
Slika 5.40 Bezdimenziona temperaturna raspodjeljiva za različite vrednosti  $\Lambda$

Sa slike 5.40 se zaključuje da je za manje, a iste vrednosti faktora poroznosti temperatura u kanalu viša za slučaj kada je od uticaja i indukovano magnetno polje od odgovarajuće temperature kada se njegov uticaj zanemaruje. Za slučaj istih, a većih vrednosti faktora poroznosti temperature su skoro iste i kada se uzima u obzir uticaj indukovanih magnetnih polja i kada se on zanemaruje. Onda je prenos topote u kanalu uglavnom kondukcijom. U slučaju koji se ovde razmatra većim vrednostima  $\Lambda$  odgovaraju niže temperature u kanalu. Maksimalne temperature su u gornjoj polovini kanala. Za manje vrednosti  $\Lambda$  postoji transport topote sa tečnosti na gornji zid kanala.

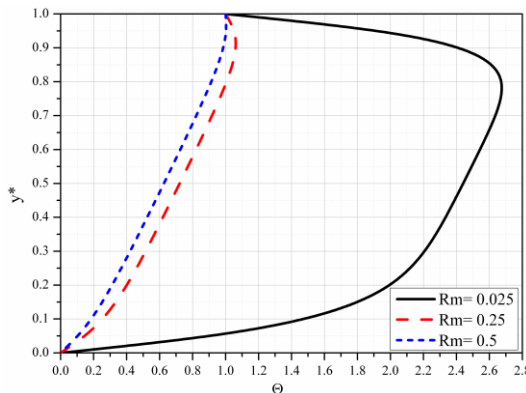
Na slikama 5.41, 5.42 i 5.43 predstavljeni su rasporedi bezdimenzijsne uzdužne brzine, bezdimenzijsne magnetne indukcije i bezdimenzijsne temperature u kanalu za različite vrednosti  $Rm$  broja, respektivno.



Slika 5.41 Bezdimenzijsna uzdužna brzina za različite vrednosti  $Rm$



Slika 5.42 Bezdimenzijsna magnetna indukcija za različite vrednosti  $Rm$



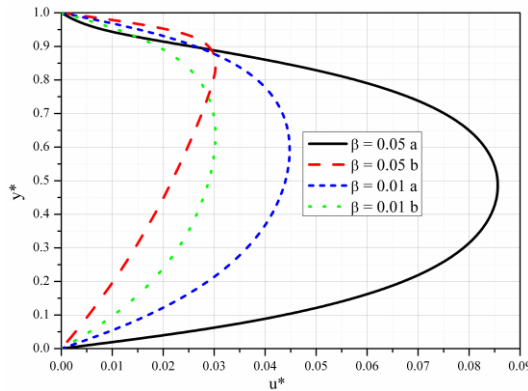
Slika 5.43 Bezdimenziona temperatura  
za različite vrednosti  $R_m$

Sa slike 5.41 se zaključuje da većim vrednostima  $R_m$  broja odgovaraju manje brzine u kanalu u većem delu poprečnog preseka kanala, a dolazi i do "poravnjanja" profila brzine u poprečnom preseku kanala. Maksimalne brzine su u gornjoj polovini kanala za sve vrednosti  $R_m$  broja. Uzrok ovome je postojanje izvora na donjem zidu kanala, a ponora na gornjem zidu.

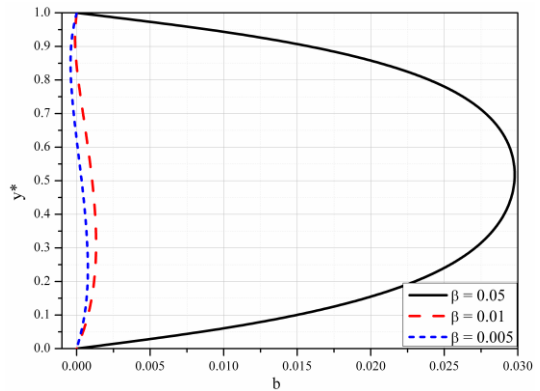
Sa slike 5.42 se zaključuje da većim vrednostima  $R_m$  broja odgovaraju jača indukovana magnetna polja. Indukovano magnetno polje menja svoj smer. Mesto promene smera indukovanih magnetnih polja je bliže donjem zidu kanala za veće vrednosti  $R_m$  broja. U okolini donjeg zida indukovano magnetno polje ima isti smer sa smerom uzdužne brzine u kanalu.

Sa slike 5.43 se zaključuje da većim vrednostima  $R_m$  broja odgovaraju niže temperature u kanalu i manje količine toplote transportovane sa tečnosti na gornji zid kanala. Za veće vrednosti  $R_m$  broja u većem delu poprečnog preseka kanala prenos toplote je uglavnom kondukциjom. Maksimalne temperature su u gornjoj polovini kanala za sve vrednosti  $R_m$  broja.

Na slikama 5.44, 5.45 i 5.46 predstavljeni su rasporedi bezdimenziione uzdužne brzine, bezdimenziione magnetne indukcije indukovanih magnetnih polja i bezdimenziione temperature u kanalu za različite vrednosti veličine  $\beta$ , respektivno.

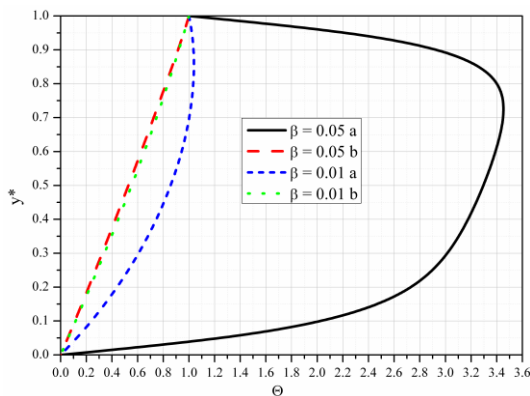


Slika 5.44 Bezdimenziona uzdužna brzina za različite vrednosti  $\beta$



Slika 5.45 Bezdimenziona magnetna indukcija za različite vrednosti  $\beta$

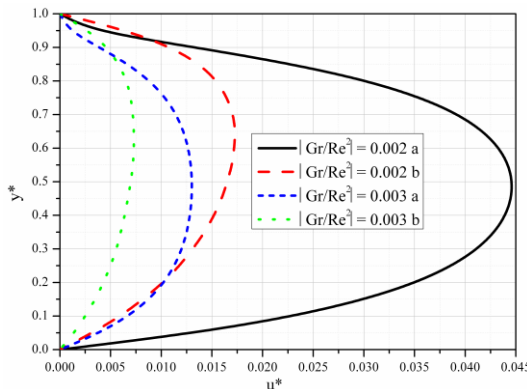
Sa slike 5.44 se zaključuje da je za istu vrednost  $\beta$  brzina u kanalu veća u većem delu kanala za slučaj kada se razmatra uticaj indukovanih magnetnih polja u poređenju sa odgovarajućom brzinom kada tog uticaja nema. Za slučaj koji se, u ovom poglavlju, izučava većim vrednostima  $\beta$  odgovaraju veće brzine, što je posledica jakih indukovanih magnetnih polja tj. smanjenog uticaja spoljašnjeg primjenjenog polja.



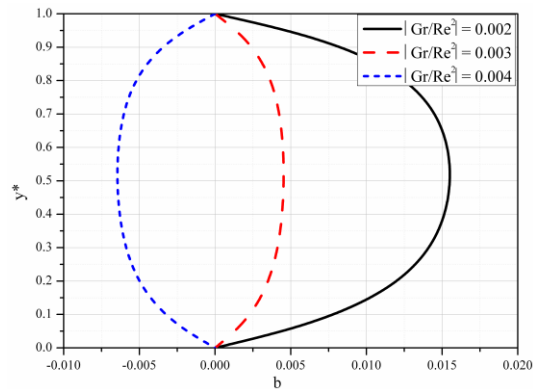
Slika 5.46 Bezdimenziona temperatura za različite vrednosti  $\beta$

Sa slike 5.45 se zaključuje da većim vrednostima veličine  $\beta$  odgovara indukcija većeg intenziteta. Za  $\beta = 0.05$  ovo magnetno polje ima isti smer sa smerom brzine u celom poprečnom preseku kanala, a njegov intenzitet je višestruko veći od intenziteta za druge dve vrednosti veličine  $\beta$ . Za  $\beta = 0.01$  i  $\beta = 0.005$  dolazi i do promene smera indukovanih magnetnih polja. Mesto promene smera je bliže donjem zidu za manju vrednost  $\beta$ . U okolini donjeg zida smer indukovanih magnetnih polja je isti sa smerom brzine za sve ovde razmatrane vrednosti  $\beta$ .

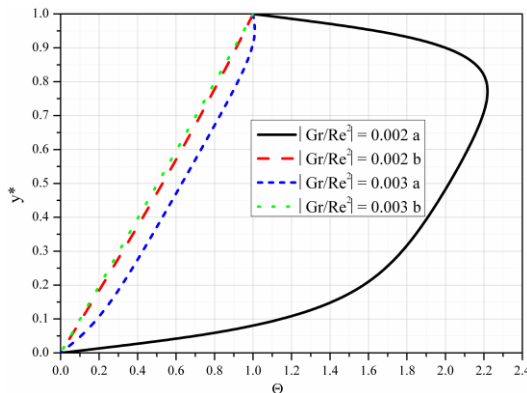
Sa slike 5.46 se zaključuje da je za istu vrednost  $\beta$  temperatura u kanalu viša za slučaj kada se uzima u obzir uticaj indukovanih magnetnih polja od odgovarajuće temperature kada se taj uticaj zanemaruje. U slučaju koji se ovde izučava većim vrednostima  $\beta$  odgovaraju više temperature u kanalu i veće količine toplote transportovane sa tečnosti na gornji zid kanala. Maksimalne temperature su u gornjoj polovini kanala.



Slika 5.47 Bezdimenziona uzdužna brzina za različite vrednosti  $Gr/Re^2$



Slika 5.48 Bezdimenziona magnetna indukcija za različite vrednosti  $Gr/Re^2$



Slika 5.49 Bezdimenziona temperature  
za različite vrednosti  $\text{Gr}/\text{Re}^2$

Na slikama 5.47, 5.48 i 5.49 predstavljeni su rasporedi bezdimenziione uzdužne brzine, bezdimenziione magnetne indukcije i bezdimenziione temperature u kanalu za različite vrednosti odnosa Grashof-ovog i kvadrata Reynolds-ovog broja, respektivno.

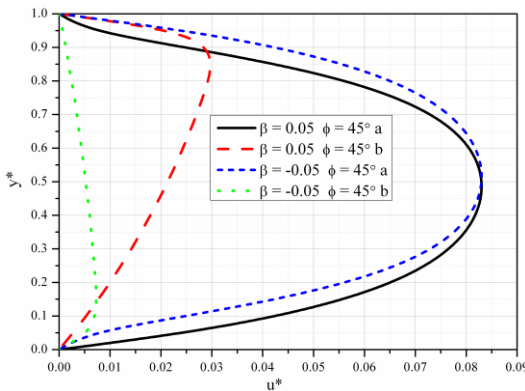
Sa slike 5.47 se zaključuje da je za istu vrednost ovog odnosa uzdužna brzina u kanalu veća u većem delu poprečnog preseka za slučaj kada se uzima u obzir i uticaj indukovanih magnetnih polja od odgovarajuće brzine kada se ovaj uticaj zanemaruje. Za slučaj koji se ovde razmatra većoj vrednosti ovog odnosa odgovara manja brzina u kanalu i manji tangencijalni naponi na zidovima kanala.

Sa slike 5.48 se zaključuje da su za odnose 0.002 i 0.003 indukovana magnetna polja, u celom poprečnom preseku kanala, istog smera sa smerom brzine u kanalu i da većoj vrednosti odnosa odgovara slabije indukovano magnetno polje. Za vrednost odnosa 0.004 indukovano magnetno polje je u celom poprečnom preseku kanala, suprotnog smera od smera brzine u kanalu. Ovaj odnos polako menja smer strujanja kako raste tj. on najpre smanjuje indukovano polje, a kasnije bi ga povećavao po absolutnoj vrednosti.

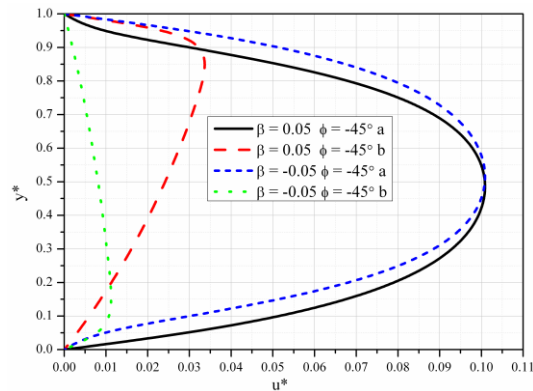
Sa slike 5.49 se zaključuje da je za istu vrednost ovog odnosa temperatura u kanalu viša kada je od uticaja i indukovano magnetno polje od odgovarajuće temperature kada ovog uticaja nema. U slučaju koji se ovde izučava većim

vrednostima odnosa odgovaraju niže temperature u kanalu i manje količine toplote transportovane sa tečnosti na gornji zid kanala. Maksimalne temperature su u gornjoj polovini kanala.

Na slikama 5.50 i 5.51 prikazani su rasporedi bezdimenziione uzdužne brzine u kanalu za različite vrednosti  $\beta$ , a za  $\phi = 45^\circ$  i  $\phi = -45^\circ$ , respektivno. Na slici 5.52 prikazana je bezdimenziona magnetna indukcija indukovanih magnetnih polja za različite vrednosti  $\beta$  i  $\phi$ . Na slikama 5.53 i 5.54 su prikazani rasporedi bezdimenziione temperature za različite vrednosti  $\beta$ , a za  $\phi = 45^\circ$  i  $\phi = -45^\circ$ .



Slika 5.50 Bezdimenziiona uzdužna brzina za različite vrednosti  $\beta$  i  $\phi = 45^\circ$



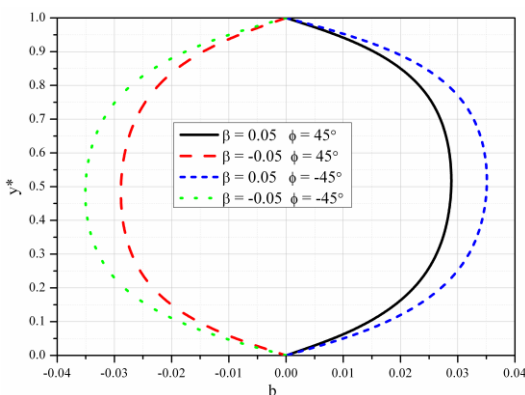
Slika 5.51 Bezdimenziiona uzdužna brzina za različite vrednosti  $\beta$  i  $\phi = -45^\circ$

Sa slike 5.50 se zaključuje da je za istu vrednost veličine  $\beta$  uzdužna brzina u kanalu veća u većem delu poprečnog preseka kada se uzima i uticaj indukovanih magnetnih polja od odgovarajuće brzine kada ovog uticaja nema. Za slučaj kada postoji uticaj indukovanih magnetnih polja onda je brzina u donjem delu kanala manja za  $\beta = -0.05$ , dok je u gornjoj polovini ona veća od brzine za  $\beta = 0.05$ . Ovi zaključci se odnose na kanal koji je "iznad" horizontalne ravni pod uglom od  $45^\circ$ , a i na kanal koji se nalazi "ispod" horizontalne ravni pod uglom od  $45^\circ$ , za koji su

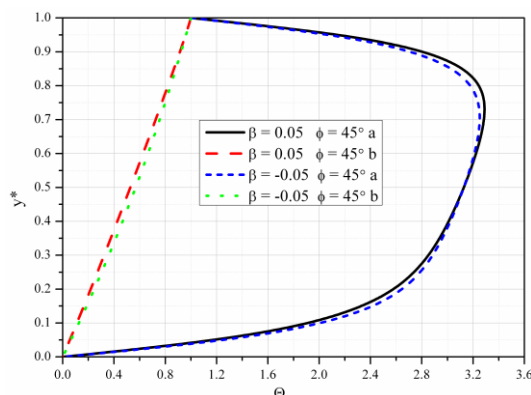
rasporedi prikazani na slici 5.51. Brzine su veće kada je kanal “ispod” horizontalne ravni od brzina kada je kanal pod istim uglom, ali “iznad” horizontalne ravni.

Sa slike 5.52 se zaključuje da je za  $\beta = 0.05$ , a za oba nagiba kanala indukovano magnetno polje, u celom poprečnom preseku, istog smera sa smerom uzdužne brzine u kanalu. Ovo polje je intenzivnije kada je kanal “ispod” horizontalne ravni. Za vrednost  $\beta = -0.05$  indukovano magnetno polje, u celom poprečnom preseku, je suprotnog smera od smera uzdužne brzine u kanalu. Indukovano magnetno polje je jače za slučaj kada je kanal “ispod” horizontalne ravni.

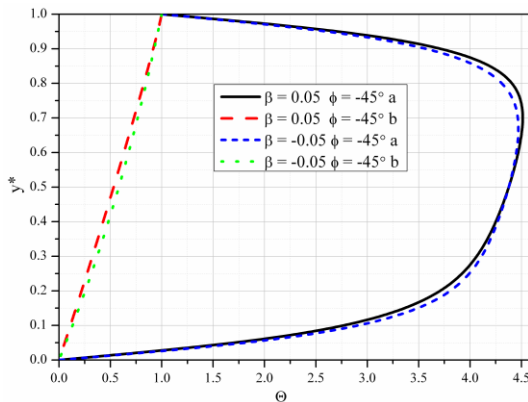
Sa slike 5.53 se zaključuje da je, za istu vrednost  $\beta$ , temperatura u kanalu viša za slučaj kada se uzima i uticaj indukovanih magnetnih polja od odgovarajuće temperature kada se ovaj uticaj zanemaruje. Za slučaj kada se uzima i uticaj indukovanih magnetnih polja temperatura je za  $\beta = -0.05$  u donjoj polovini kanala viša, a u gornjoj polovini kanala niža od temperature kada je  $\beta = 0.05$ . Maksimalne temperature su u gornjoj polovini kanala. Ovi zaključci odnose se na slučaj kada je kanal pod istim uglom “ispod” horizontalne ravni za koji su rezultati prikazani na slici 5.54. Temperature u kanalu su više za slučaj kada je on pod istim uglom “ispod” horizontalne ravni.



Slika 5.52 Bezdimenzionalno indukovano polje za različite vrednosti  $\beta$  i  $\phi$

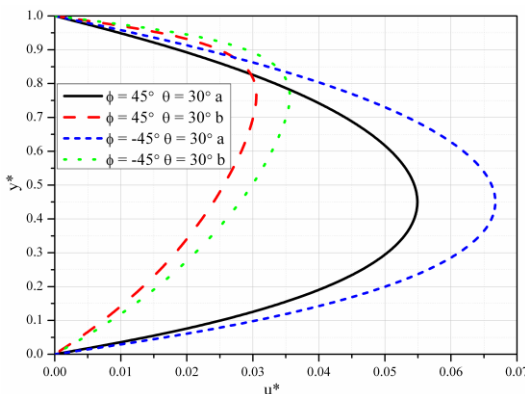


Slika 5.53 Bezdimenziona temperatura za različite vrednosti  $\beta$  i  $\phi = 45^\circ$

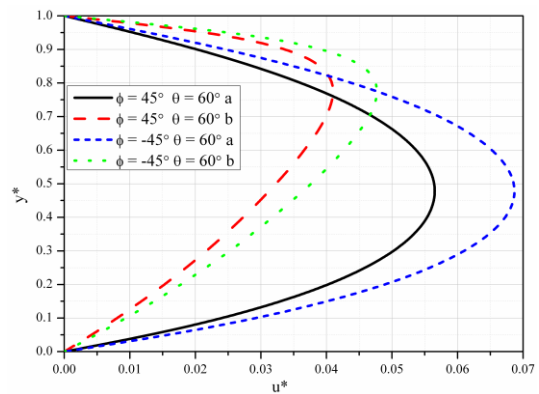


Slika 5.54 Bezdimenziona temperaturna

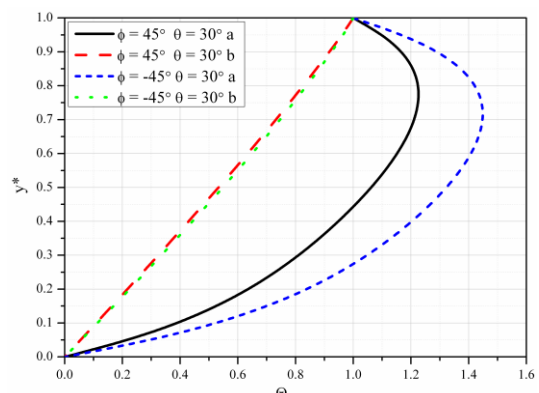
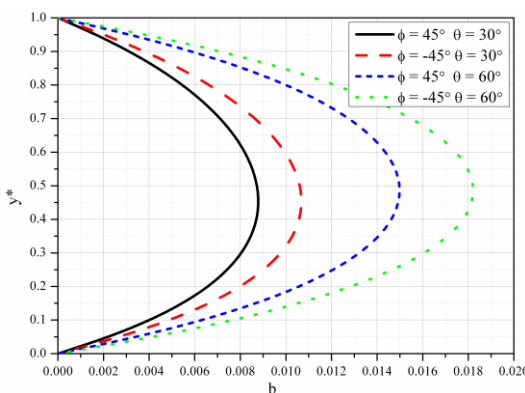
za različite vrednosti  $\beta$  i  $\phi = -45^\circ$



Slika 5.55 Bezdimenziona uzdužna brzina za različite vrednosti  $\phi$  i  $\theta = 30^\circ$

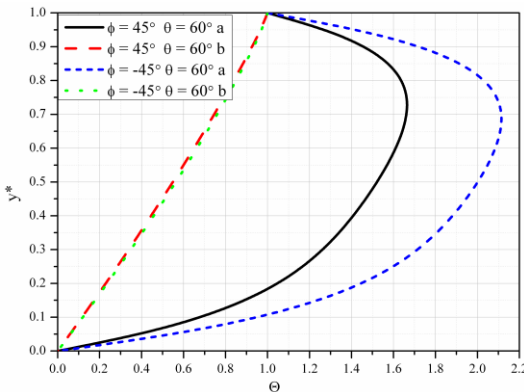


Slika 5.56 Bezdimenziona uzdužna brzina za različite vrednosti  $\phi$  i  $\theta = 60^\circ$



Slika 5.57 Bezdimenziona magnetna indukcija za različite vrednosti  $\phi$  i  $\theta$

Slika 5.58 Bezdimenziona temperatura za različite vrednosti  $\phi$  i  $\theta = 30^\circ$



Slika 5.59 Bezdimenziona temperatura za različite vrednosti  $\phi$  i  $\theta = 60^\circ$

Na slikama 5.55 i 5.56 predstavljeni su rasporedi bezdimenzijsne uzdužne brzine za različite vrednosti ugla  $\phi$ , a za  $\theta = 30^\circ$  i  $\theta = 60^\circ$ , respektivno. Na slici 5.57 predstavljeni su rasporedi bezdimenzijsne indukcije indukovanih magnetnih polja za različite vrednosti uglova  $\phi$  i  $\theta$ . Na slikama 5.58 i 5.59 predstavljeni su rasporedi bezdimenzijsne temperature za različite vrednosti ugla  $\phi$ , a za  $\theta = 30^\circ$  i  $\theta = 60^\circ$ .

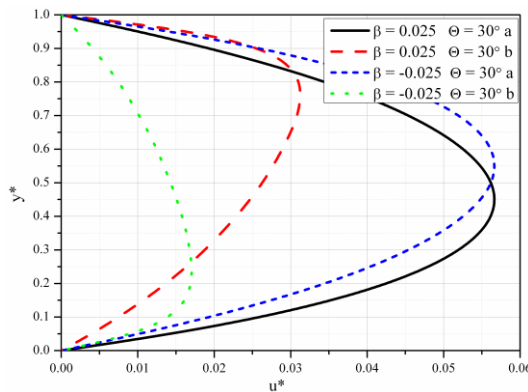
Sa slike 5.55 se zaključuje da je za istu vrednost ugla  $\phi$  i  $\theta = 30^\circ$  brzina u kanalu, za slučaj kada se uzima i uticaj indukovanih magnetnih polja, veća od odgovarajuće brzine kada se ovaj uticaj zanemaruje. Za slučaj kada se uzima uticaj indukovanih magnetnih polja brzina u kanalu je veća kada je on “ispod” horizontalne ravni od brzine u kanalu kada je on “iznad” horizontalne ravni pod istim uglom. Tangencijalni naponi na zidovima su, u ovom slučaju, takođe veći. Maksimalne brzine su u donjoj polovini kanala jer su na donjem zidu ponori, a na gornjem izvori. Ovi zaključci su validni i za slučaj  $\theta = 60^\circ$  za koji su rezultati prikazani na slici 5.56.

Sa slike 5.57 se zaključuje da je, za isti nagib kanala tj. za istu vrednost ugla  $\phi$  magnetna indukcija indukovanih magnetnih polja veća za veću vrednost ugla  $\theta$

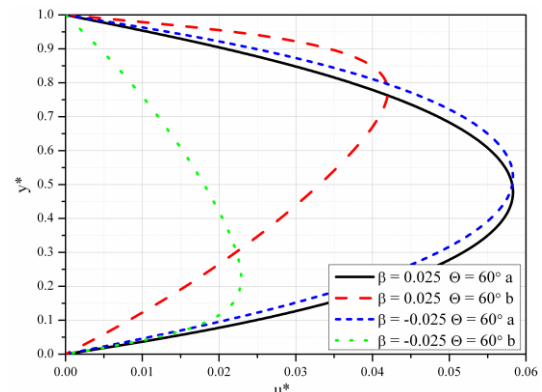
tj. ovde za  $\theta = 60^\circ$ . Za istu vrednost ugla  $\theta$ , tj. za isti nagib primjenjenog spoljašnjeg magnetnog polja, indukovano magnetno polje je intenzivnije za slučaj kada je kanal "ispod" horizontale od indukovanog magnetnog polja kada je kanal "iznad" horizontale pod istim uglom. Indukovano magnetno polje je, u celom poprečnom preseku, za ovde date rezultate, istog smera sa smerom uzdužne brzine u kanalu.

Sa slike 5.58 se zaključuje da je za isti nagib kanala i iste uglove  $\theta$  temperatura u kanalu viša kada se uzima uticaj indukovanih magnetnih polja od odgovarajuće temperature kada se ovaj uticaj zanemaruje. Ako se uzima uticaj indukovanih magnetnih polja onda je za isti ugao  $\theta$  temperatura viša u kanalu koji je "ispod" horizontalne ravni od odgovarajuće temperature u kanalu koji je "iznad" horizontalne ravni pod istim uglom. Temperature su maksimalne u gornjoj polovini kanala. Količina topote koja se transportuje sa tečnosti na gornji zid veća je kada je kanal "ispod" horizontalne ravni. Ovi zaključci su validni i za slučaj kada je ugao  $\theta = 60^\circ$  za koji su rezultati prikazani na slici 5.59.

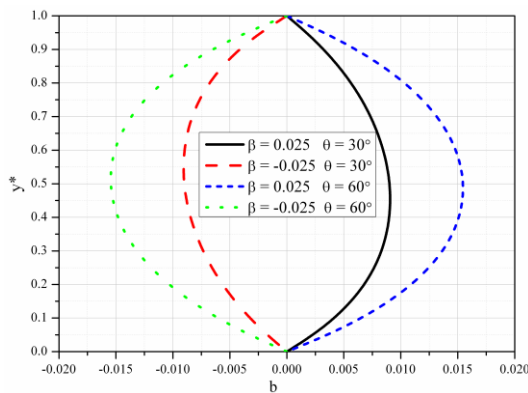
Na slikama 5.60 i 5.61 predstavljeni su rasporedi bezdimenziione uzdužne brzine u kanalu za različite vrednosti  $\beta$ , a za  $\theta = 30^\circ$  i  $\theta = 60^\circ$ , respektivno. Kao i do sada, oznaka "a" odnosi se na slučaj kada se uzima uticaj indukovanih magnetnih polja, a oznaka "b" kada se ovaj uticaj zanemaruje. Na slici 5.62 prikazana je bezdimenziona magnetna indukcija indukovanih magnetnih polja za različite vrednosti  $\beta$  i  $\theta$ . Na slikama 5.63 i 5.64 predstavljeni su rasporedi bezdimenziione temperature za različite vrednosti  $\beta$ , a za  $\theta = 30^\circ$  i  $\theta = 60^\circ$ , respektivno.



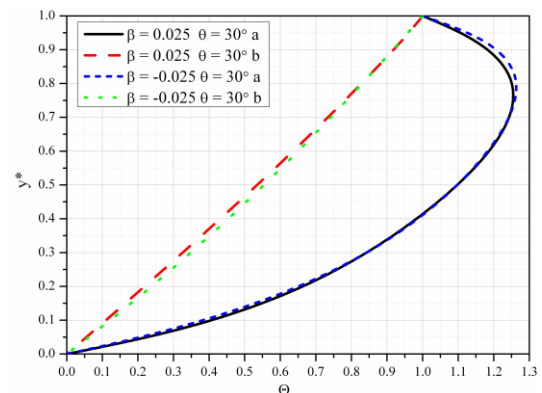
Slika 5.60 Bezdimenzionalna uzdužna brzina za različite vrednosti  $\beta$  i  $\theta = 30^\circ$



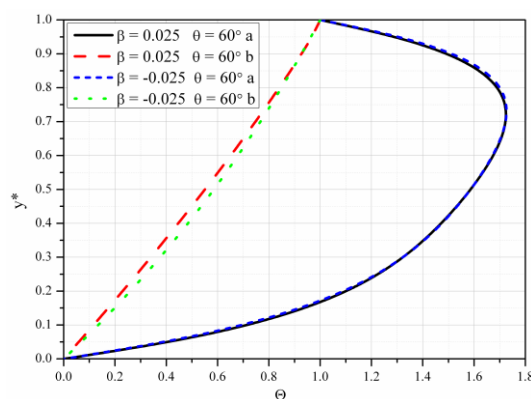
Slika 5.61 Bezdimenzionalna uzdužna brzina za različite vrednosti  $\beta$  i  $\theta = 60^\circ$



Slika 5.62 Bezdimenzionalna magnetna indukcija za različite vrednosti  $\beta$  i  $\theta$



Slika 5.63 Bezdimenzionalna temperatura za različite vrednosti  $\beta$  i  $\theta = 30^\circ$



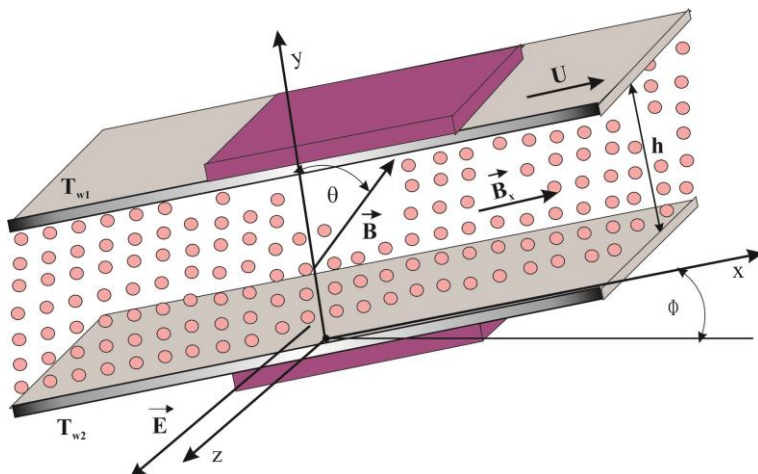
Slika 5.64 Bezdimenzionalna temperatura za različite vrednosti  $\beta$  i  $\theta = 60^\circ$

Sa slike 5.60 se zaključuje da je za istu vrednost  $\beta$  i iste vrednosti  $\theta = 30^\circ$  uzdužna brzina u kanalu veća za slučaj kada se uzima uticaj indukovanih magnetnih polja od odgovarajuće brzine kada se ovaj uticaj zanemari. Za slučaj  $\beta = -0.025$ , a kada se uzima uticaj indukovanih magnetnih polja uzdužna brzina je u donjoj polovini kanala manja, a u gornjoj polovini kanala veća od odgovarajuće brzine za  $\beta = 0.025$ . Ovi zaključci su validni i za  $\theta = 60^\circ$  čiji su rezultati prikazani na slici 5.61. Rezultati su za kanal koji je "iznad" horizontalne ravni i sa njom gradi ugao od  $30^\circ$ .

Sa slike 5.62 se zaključuje da je za istu vrednost  $\theta$ , indukovano magnetno polje istog smera sa smerom uzdužne brzine za  $\beta = 0.025$ , a suprotnog smera za  $\beta = -0.025$ . Za istu vrednost  $\beta$  indukovano magnetno polje je intenzivnije za veću vrednost  $\theta$ , ovde za  $\theta = 60^\circ$ . Maksimalni intenziteti indukovanih magnetnih polja su u okolini sredine kanala.

Sa slike 5.63 i slike 5.64 se zaključuje da je za iste vrednosti  $\beta$  i iste vrednosti  $\theta$  temperatura u kanalu viša za slučaj kada se uzima uticaj indukovanih magnetnih polja od odgovarajuće temperature kada se ovaj uticaj zanemaruje. Rasporedi temperature kada se uzima uticaj indukovanih magnetnih polja za  $\beta = -0.025$  i  $\beta = 0.025$  skoro se poklapaju, male razlike se zapažaju u okolini zidova kanala i veće su za manju vrednost ugla  $\theta$ . Maksimalne temperature su u gornjoj polovini kanala.

## 5.4 Kombinovano konvektivno MHD strujanje u poroznoj sredini između nagnutih paralelnih ploča od kojih je gornja pokretna sa indukovanim magnetnim poljem



Slika 5d Fizički model strujanja

U ovom poglavlju se razmatra MHD strujanje i prenos topline u poroznoj sredini ograničenoj pločama koje sa horizontalnom ravni grade ugao  $\phi$  (videti sliku). Zidovi kanala su paralelni i nalaze se na međusobnom rastojanju  $h$ . Donji zid je nepokretan, a gornji se kreće konstantnom brzinom čiji je intenzitet  $U$ . Zidovi kanala su elektroneprovodni. Primjeno spoljašnje magnetno polje je homogeno, nalazi se u ravni uzdužnog preseka kanala i gradi ugao  $\theta$  sa normalom na zidove kanala. Intenzitet spoljašnjeg magnetnog polja je  $B_0$ . Zidovi kanala su na stalnim temperaturama,  $T_{w2}$  donji i  $T_{w1}$  gornji. Usled kretanja fluida indukuje se

magnetno polje u uzdužnoj ravni kanala paralelno njegovim zidovima. Pad pritiska u kanalu je u smeru ose x, odabranog koordinatnog sistema.

### 5.4.1 Matematički model

Zapaža se da se ovaj fizički model razlikuje od fizičkog modela izučenog u prethodnom poglavlju samo u tome što je kod njega gornji zid kanala pokretan. Imajući to u vidu, za očekivati je, da će pri formiranju odgovarajućeg matematičkog modela moći da se koriste mnogi izrazi do kojih se došlo u prethodnom poglavlju. To će se ovde, u cilju skraćenja postupka, maksimalno i koristiti.

Sprovodeći postupak i uprošćenja kako je to urađeno u prethodnom modelu dolazi se do zaključka da matematički model ovog strujanja predstavljaju jednačine (5.3.8), (5.3.9), (5.3.10), (5.3.11) i granični uslovi:

$$\begin{aligned} u(0) &= 0, \quad u(h) = U, \\ B_x(0) &= 0, \quad B_x(h) = 0, \\ T(0) &= T_{w2}, \quad T(h) = T_{w1}. \end{aligned} \tag{5.4.1}$$

Dakle, jednačine su iste sa jednačinama kod prethodnog modela, a granični uslovi se razlikuju samo u graničnom uslovu za brzinu na gornjem zidu kanala. Ovde je brzina tečnosti na gornjem zidu kanala jednaka brzini kretanja tog zida.

Za dalje istraživanje ovog problema, kako je to i do sada činjeno, formira se odgovarajući matematički model u bezdimenzionom obliku. U tom cilju se uvode bezdimenziione veličine date izrazima (3.3.9) u kojima je  $U$  intenzitet brzine kretanja gornjeg zida. Koristeći uvedene bezdimenziione veličine jednačina (5.3.8) se transformiše na bezdimenzionu jednačinu:

$$\frac{d^2 u^*}{dy^{*2}} - \beta Re \frac{du^*}{dy^*} - \Lambda u^* + \lambda \frac{Ha^2}{Rm} \frac{db}{dy^*} + G + \frac{Gr}{Re} \sin \phi = 0, \tag{5.4.2}$$

gde je uvedena oznaka:

$$G = \frac{Ph^2}{\mu U}, \quad (5.4.3)$$

a jednačine (5.3.10), (5.3.11) i (5.3.9) su svedene na bezdimenziione jednačine (5.3.15), (5.3.16) i (5.3.17), respektivno. Granični uslovi (5.4.1) se transformišu na bezdimenziione granične uslove:

$$\begin{aligned} u^*(0) &= 0, \quad u^*(1) = 1, \\ b(0) &= 0, \quad b(1) = 0, \\ \Theta(0) &= 0, \quad \Theta(1) = 1. \end{aligned} \quad (5.4.4)$$

Jednačine (5.4.2), (5.3.15), (5.3.16), (5.3.17) i granični uslovi (5.4.4) pretstavljaju matematički model u bezdimenzionom obliku ovde opisanog problema.

Zapaža se da se ovaj bezdimenziioni matematički model razlikuje od odgovarajućeg matematičkog modela problema u prethodnom poglavlju. Razlika je u jednačinama impulsa i u graničnim uslovima.

## **5.4.2 Rasporedi bezdimenziione uzdužne brzine, magnetne indukcije indukovanih magnetnih polja, temperature i pritiska**

U cilju određivanja ovih bezdimenziionih veličina prvo se iz jednačine (5.4.2) određuje:

$$\frac{db}{dy^*} = \frac{Rm}{\lambda Ha^2} \left[ \beta Re \frac{du^*}{dy^*} + \Lambda u^* - \frac{d^2 u^*}{dy^{*2}} - \left( G + \frac{Gr}{Re} \sin \phi \right) \right], \quad (5.4.5)$$

a zatim i izvod tog izraza po  $y^*$  i onda se jednačina (5.3.15) transformiše na jednačinu:

$$\frac{d^3 u^*}{dy^{*3}} - a_1 \frac{d^2 u^*}{dy^{*2}} + a_2 \frac{du^*}{dy^*} + a_3 u^* = \beta Rm \left( G + \frac{Gr}{Re} \sin \phi \right), \quad (5.4.6)$$

gde su oznake  $a_1$  i  $a_3$  date izrazima (3.3.21), a  $a_2$  izrazom (5.3.21).

Partikularno rešenje poslednje jednačine ima reprezentaciju:

$$u_p^*(y^*) = \frac{1}{\Lambda} \left( G + \frac{Gr}{Re} \sin \phi \right). \quad (5.4.7)$$

Za određivanje rešenja odgovarajuće homogene jednačine (5.4.6) sprovodi se postupak kao u poglavlju 3.3.2 i dobija se da ono zavisi od izraza:

$$D = \frac{n^2}{4} + \frac{m^3}{27}, \quad (5.4.8)$$

u kome su  $m$  i  $n$  dati relacijama (3.3.25).

U slučaju I, tj. za  $D > 0$  opšte rešenje jednačine (5.4.6) dano je izrazom:

$$\begin{aligned} u^*(y^*) = & A_1 \exp(r_i y^*) + \\ & + [A_2 \cos(c_2 y^*) + A_3 \sin(c_2 y^*)] \exp(c_1 y^*) + \\ & + \frac{1}{\Lambda} \left( G + \frac{Gr}{Re} \sin \phi \right), \end{aligned} \quad (5.4.9)$$

gde su  $A_1$ ,  $A_2$  i  $A_3$  integracione konstante, a poslednji član glasi:

$$\frac{1}{\Lambda^*} = \frac{1}{\Lambda} \left( G + \frac{Gr}{Re} \sin \phi \right), \quad (5.4.10)$$

dok su veličine  $c_1$  i  $c_2$  date su izrazima (3.3.32).

U slučaju II, kada je  $D = 0$ , opšte rešenje jednačine (5.4.6) dano je izrazom:

$$\begin{aligned} u^*(y^*) = & B_1 \exp(m_1 y^*) + B_2 \exp(m_2 y^*) + \\ & + B_3 y^* \exp(m_2 y^*) + \frac{1}{\Lambda^*}, \end{aligned} \quad (5.4.11)$$

u kome su  $m_1$  i  $m_2$  dati izrazima (3.3.36), a  $B_1$ ,  $B_2$  i  $B_3$  su integracione konstante.

U slučaju III, za  $D < 0$ , rešenje ove jednačine je dano izrazom:

$$\begin{aligned} u^*(y^*) = & C_1 \exp(n_1 y^*) + C_2 \exp(n_2 y^*) + \\ & + C_3 \exp(n_3 y^*) + \frac{1}{\Lambda^*}, \end{aligned} \quad (5.4.12)$$

u kome su  $n_1$ ,  $n_2$  i  $n_3$  dati izrazima (3.3.38), a  $C_1$ ,  $C_2$  i  $C_3$  su integracione konstante.

Zamenom izraza (5.4.9) u jednačini (5.4.5) i njenim rešavanjem, dobija se da je, u slučaju I, bezdimenziona magnetna indukcija indukovanih magnetnih polja data izrazom:

$$\begin{aligned} b(y^*) = & \frac{Rm}{\lambda Ha^2} \{ A_1 L_1 \exp(r_1 y^*) + \\ & + [(L_2 A_2 - L_3 A_3) \cos(c_2 y^*) + \\ & + (L_2 A_3 + L_3 A_2) \sin(c_2 y^*)] \exp(c_1 y^*) + \\ & + \frac{\beta Re}{\Lambda^*} + A_4 \}, \end{aligned} \quad (5.4.13)$$

gde su uvedene oznake  $L_1$ ,  $L_2$  i  $L_3$  date izrazima (3.3.42), a  $A_4$  je integraciona konstanta.

Konstante integracije  $A_i$  određuju se korišćenjem graničnih uslova (5.4.4) i dobija se da su date izrazima:

$$\begin{aligned} A_2 &= \frac{L_{16} - L_5 L_{17} - L_{10} L_{16}}{L_9 L_{16} + L_5 L_{15}}, \quad A_1 = -A_2 - \frac{1}{\Lambda^*}, \\ A_3 &= \frac{1}{L_{16}} (L_{15} A_2 + L_{17}), \quad A_4 = -L_{13} A_2 - L_8 A_3 - L_{14}, \end{aligned} \quad (5.4.14)$$

u kojima su:

$$\begin{aligned} L_{10} &= \frac{1}{\Lambda^*} [1 - \exp(r_1)], \quad L_{12} = \frac{1}{\Lambda^*} (\beta Re - L_1), \\ L_{14} &= \frac{1}{\Lambda^*} (\beta Re - L_6), \end{aligned} \quad (5.4.15)$$

a ostale oznake su date izrazima (3.3.44). Za dalje istraživanje, za veličinu  $b$ , koristiće se sledeća reprezentacija:

$$b(y^*) = \frac{Rm}{\lambda Ha^2} \{ L_{18} \exp(r_l y^*) + [L_{19} \cos(c_2 y^*) + L_{20} \sin(c_2 y^*)] \exp(c_1 y^*) + L_{21} \}, \quad (5.4.15)$$

gde su, zbog kraćeg zapisa, uvedene oznake  $L_{18}$ ,  $L_{19}$  i  $L_{20}$  date izrazima (3.3.46) i oznaka  $L_{21}$  data izrazom:

$$L_{21} = \frac{\beta Re}{\Lambda^*} + A_4. \quad (5.4.16)$$

Ovim su, u slučaju I, određeni raspored bezdimenziione uzdužne brzine i raspored bezdimenziione magnetne indukcije indukovanih magnetnih polja.

Za slučaj II, zamenom izraza (5.4.11) u jednačini (5.4.5) i njenim rešavanjem dobija se da je:

$$b(y^*) = \frac{Rm}{\lambda Ha^2} [L_{22}B_1 \exp(m_1 y^*) + (L_{23}B_2 - L_{24}B_3) \exp(m_2 y^*) + + L_{23}B_3 y^* \exp(m_2 y^*) + \frac{\beta Re}{\Lambda^*} + B_4], \quad (5.4.17)$$

gde su korišćene oznake (3.3.48), a  $B_4$  je integraciona konstanta. Korišćenjem graničnih uslova (5.4.4) dobija se da su integracione konstante  $B_i$  ( $i = 1, 2, 3, 4$ ) date izrazima:

$$\begin{aligned} B_1 &= \frac{1}{L_{31} - L_{32}} + \frac{1}{\Lambda^*} \frac{L_{32} - 1}{L_{31} - L_{32}}, \\ B_2 &= -B_1 - \frac{1}{\Lambda^*}, \\ B_3 &= \frac{1}{L_{30}} (L_{28}B_1 + L_{29}B_2), \\ B_4 &= -L_{25}B_1 - L_{26}B_2 - L_{27}B_3 - \frac{\beta Re}{\Lambda^*}, \end{aligned} \quad (5.4.18)$$

gde su korišćene oznake date izrazima (3.3.50).

Za slučaj III, zamenom izraza (5.4.12) u jednačini (5.4.5) i njenim rešavanjem dobija se da je:

$$\begin{aligned} b(y^*) = & \frac{Rm}{\lambda Ha^2} [L_{33}C_1 \exp(n_1 y^*) + \\ & + L_{34}C_2 \exp(n_2 y^*) + L_{35}C_3 \exp(n_3 y^*) + \\ & + \frac{\beta Re}{\Lambda^*} + C_4], \end{aligned} \quad (5.4.19)$$

gde su korišćene oznake (3.3.52), a  $C_4$  je integraciona konstanta. Za određivanje integracionih konstanti  $C_i$  ( $i = 1, 2, 3, 4$ ) koriste se granični uslovi (5.4.4) i dobija se da su date izrazima:

$$\begin{aligned} C_1 &= \frac{L_{45}}{L_{42}L_{45} - L_{43}L_{44}} + \frac{1}{\Lambda^*} \frac{L_{43} - L_{45}}{L_{42}L_{45} - L_{43}L_{44}}, \\ C_2 &= -\frac{1}{L_{45}} \left( \frac{1}{\Lambda^*} + L_{44}C_1 \right), \\ C_3 &= -\frac{1}{L_{41}} (L_{39}C_1 + L_{40}C_2), \\ C_4 &= -L_{33}C_1 - L_{34}C_2 - L_{35}C_3 - \frac{\beta Re}{\Lambda^*}, \end{aligned} \quad (5.4.20)$$

u kojima su korišćene oznake (3.3.54).

Ovim su, u sva tri slučaja, određeni rasporedi bezdimenziione uzdužne brzine i bezdimenziione indukcije indukovanih magnetnih polja u kanalu.

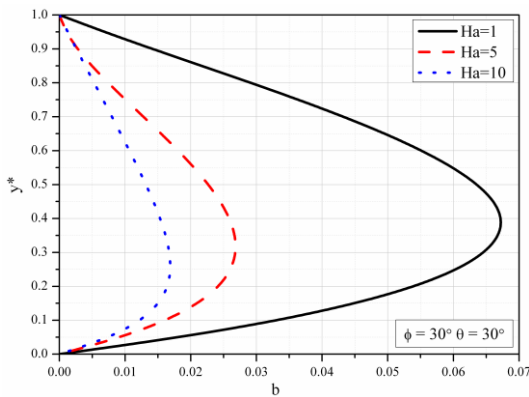
Za određivanje bezdimenziione temperature u kanalu treba, u sva tri slučaja, rešiti jednačinu (5.3.11). Kako je ova jednačina ista i za ovaj model strujanja i za model opisan u prethodnom poglavlju to će i rešenja biti ista.

Dakle, biće data izrazima (5.3.37), (5.3.41) i (5.3.45) za slučajeve I, II i III respektivno. Naravno, za konstante  $A_i$ ,  $B_i$  i  $C_i$  treba koristiti izraze date u ovom poglavlju.

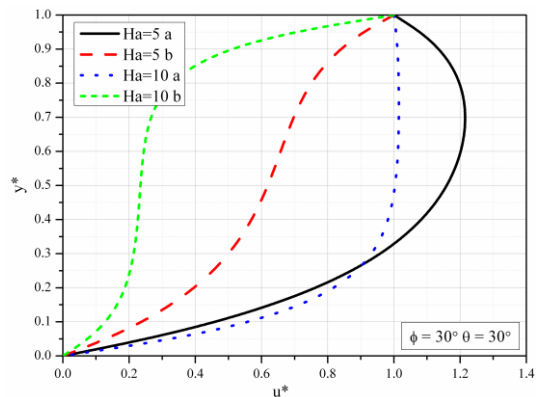
Jednačina za određivanje rasporeda pritiska (5.3.17) ista je za oba modela strujanja te će i rešenja imati iste reprezentacije (5.3.51).

### 5.4.3 Analiza rezultata

Deo dobijenih rezultata, radi preglednosti i jednostavnije analize, predstavljen je na slikama koje slede. Krive sa oznakom "a" odnose se na rezultate dobijene u ovom poglavlju, a krive sa oznakom "b" odnose se na rezultate dobijene u poglavlju 5.2 tj. za slučaj kada se zanemaruje uticaj indukovanih magnetnih polja. Ovi rezultati su dati, da bi se donekle mogla vršiti njihova poređenja.



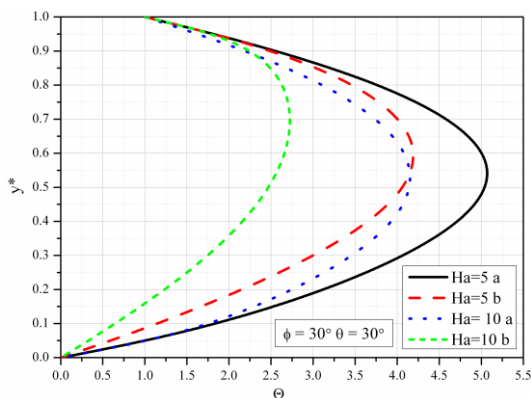
Slika 5.65 Indukovano magnetno polje za različite vrednosti Ha broja,  $\phi = 30^\circ$ ,  $\theta = 30^\circ$



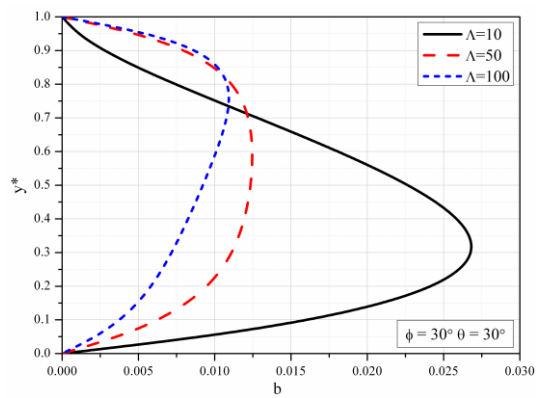
Slika 5.66 Bezdimenziona uzdužna brzina za različite vrednosti Ha broja,  $\phi = 30^\circ$ ,  $\theta = 30^\circ$

Na slici 5.65 predstavljen je raspored intenziteta magnetne indukcije indukovanih magnetnih polja za različite vrednosti Hartmann-ovog broja, a za nagib kanala  $\phi = 30^\circ$  i nagib spoljašnjeg primjenjenog magnetnog polja  $\theta = 30^\circ$ . Rezultati se odnose na slučaj kada su na donjem zidu izvori, a na gornjem pokretnom zidu ponori i to za  $\beta = 0.005$ . Sa slike se zaključuje da većim vrednostima Hartmann-ovog broja tj. jačim spoljašnjim magnetnim poljima odgovaraju slabija indukovana magnetna polja, a njihovi maksimalni intenziteti su bliže donjem zidu kanala. Za sve vrednosti Hartmann-ovog broja indukovano magnetno polje je istog smera sa smerom uzdužne brzine u kanalu.

Na slici 5.66 prikazani su rasporedi bezdimenzijske uzdužne brzine tečnosti u kanalu za različite vrednosti Hartmann-ovog broja, a za nagib kanala  $\phi = 30^\circ$  i nagib spoljašnjeg primjenjenog magnetnog polja  $\theta = 30^\circ$  i to za slučaj "a" kada se uzima uticaj indukovanih magnetnih polja i za slučaj "b" kada se taj uticaj zanemaruje. Zaključuje se, sa ove slike, da je za obe vrednosti Hartmann-ovog broja uzdužna brzina u kanalu veća, a posledično i protok kada se uzima u obzir i uticaj indukovanih magnetnih polja. Ovaj zaključak se može objasniti dodatnom Lorentz-ovom silom koja potiče od indukovanih magnetnih polja i koja, u ovom slučaju, povećava uzdužnu brzinu strujanja jer je istog pravca i smera kao i ona. Tangencijalni napon na donjem zidu kanala je veći za slučaj "a" od odgovarajućeg napona za slučaj "b". Za slučaj koji se izučava u ovom poglavljiju, u većem delu poprečnog preseka kanala, većoj vrednosti Hartmann-ovog broja odgovara manja uzdužna brzina.



Slika 5.67 Bezdimenziona temperature za različite vrednosti Ha broja,  $\phi = 30^\circ$ ,  $\theta = 30^\circ$

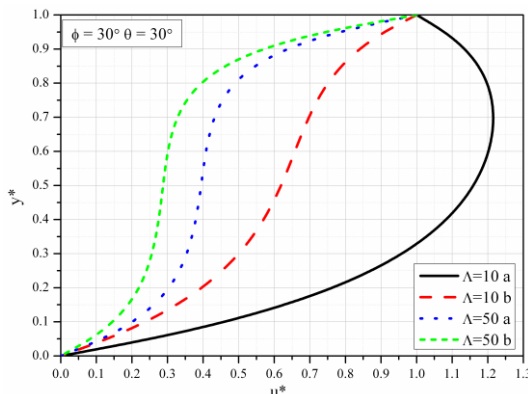


Slika 5.68 Bezdimenziono magnetno polje za različite vrednosti  $\Lambda$ ,  $\phi = 30^\circ$ ,  $\theta = 30^\circ$

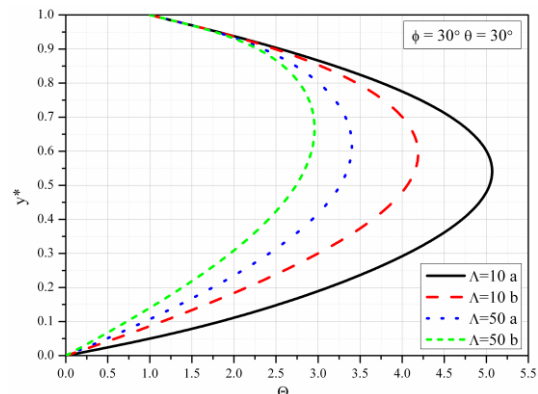
Na slici 5.67 prikazani su rasporedi bezdimenzijske temperature za različite vrednosti Hartmann-ovog broja, za nagib kanala  $\phi = 30^\circ$  i nagib spoljašnjeg primjenjenog magnetnog polja  $\theta = 30^\circ$  a za slučajeve "a" i "b". Sa ove slike se zaključuje da je za iste vrednosti Hartmann-ovog broja temperatura u poprečnom preseku kanala viša za slučaj "a" od temperature za slučaj "b". Maksimalne

vrednosti temperature za slučaj "a" su bliže donjem zidu kanala, za obe vrednosti Hartmann-ovog broja. Za slučaj koji se izučava u ovom poglavlju ("a") većim vrednostima Hartmann-ovog broja odgovaraju niže temperature u poprečnom preseku kanala. Ovaj zaključak je validan i za slučaj "b".

Sa slike 5.68 se zaključuje da u većem delu poprečnog preseka kanala, bliže donjem zidu, većim vrednostima faktora poroznosti odgovaraju slabija indukovana magnetna polja. U manjem delu poprečnog preseka kanala, koji je pored gornjeg pokretnog zida kanala većim vrednostima faktora poroznosti odgovaraju jača indukovana magnetna polja. Za sve vrednosti faktora poroznosti indukovano magnetno polje je pravca i smera uzdužne brzine tečnosti u kanalu. Sa porastom vrednosti faktora poroznosti položaj maksimalne vrednosti intenziteta magnetne indukcije indukovanih magnetnih polja se pomera ka gornjem pokretnom zidu kanala.



Slika 5.69 Bezdimenziona brzina za različite vrednosti  $\Lambda$ ,  $\phi = 30^\circ$ ,  $\theta = 30^\circ$

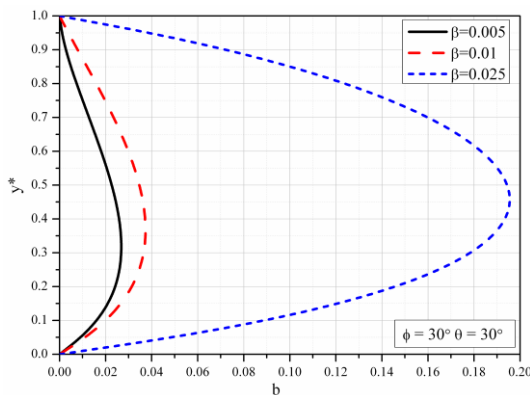


Slika 5.70 Bezdimenziona temperatura za različite vrednosti  $\Lambda$ ,  $\phi = 30^\circ$ ,  $\theta = 30^\circ$

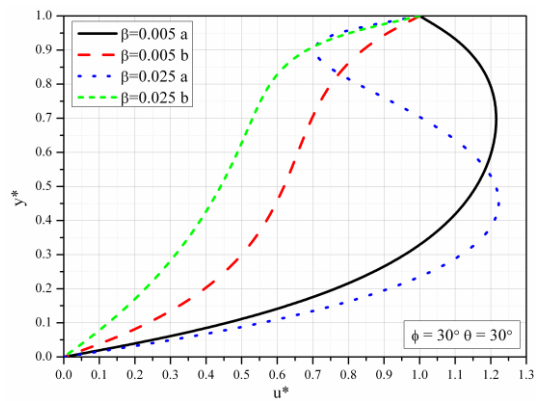
Sa slike 5.69 se zaključuje da za ovde razmatran slučaj većim vrednostima faktora poroznosti odgovaraju manje uzdužne brzine u kanalu. Ovaj zaključak je validan i za slučaj "b" koji je istražen u poglavlju 5.2. Za iste vrednosti faktora poroznosti uzdužne brzine u poprečnom preseku kanala su veće za ovde razmatrani slučaj u odnosu od uzdužnih brzina u kanalu za slučaj "b". Uzrok ovog povećanja

uzdužne brzine je indukovano magnetno polje. Za sve vrednosti faktora poroznosti i za slučaj "a" i za slučaj "b" brzine su veće u gornjoj polovini kanala od brzina u donjoj polovini kanala.

Rasporedi bezdimenzijsne temperature u kanalu prikazani na slici 5.70 dovode do zaključka da je za veću vrednost faktora poroznosti temperaturna u kanalu niža za slučaj koji se izučava u ovom poglavlju. Isti zaključak važi i za slučaj "b" koji se odnosi na poglavlje 5.2. Za iste vrednosti faktora poroznosti temperaturna u kanalu je niža za slučaj "b" od temperature za slučaj "a". Za istu vrednost  $\Lambda$  maksimalna temperaturna u kanalu je bliže donjem zidu u slučaju "a". Za slučaj "a", za veće vrednosti  $\Lambda$ , maksimalna temperaturna u kanalu je bliže gornjem zidu kanala. U oba slučaja količina topline koja se transportuje sa tečnosti na gornji zid veća je za manje vrednosti faktora poroznosti. Za iste vrednosti  $\Lambda$  količina topline koja se transportuje sa tečnosti na gornji zid veća je u slučaju "a".



Slika 5.71 Bezdimenzionalno magnetno polje za različite vrednosti  $\beta$ ,  $\phi = 30^\circ$ ,  $\theta = 30^\circ$

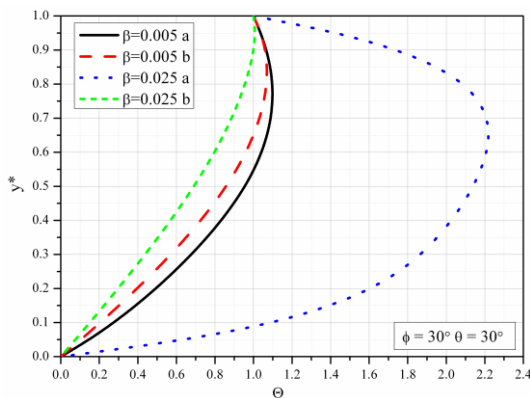


Slika 5.72 Bezdimenziona brzina za različite vrednosti  $\beta$ ,  $\phi = 30^\circ$ ,  $\theta = 30^\circ$

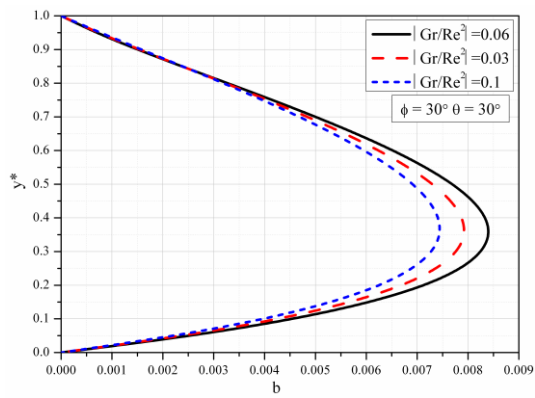
Sa slike 5.71 se zaključuje da za kanal koji sa horizontalnom ravni gradi ugao od  $30^\circ$ , dok primenjeno spoljašnje magnetno polje sa normalom na zidove kanala gradi isti ugao, a leži u vertikalnoj ravni, pri čemu se na donjem zidu kanala nalaze izvori, a na gornjem ponori, većim vrednostima veličine  $\beta$  odgovaraju indukovana magnetna polja većeg intenziteta. Sa povećanjem vrednosti  $\beta$  položaj

maksimalnog intenziteta magnetne indukcije indukovanih magnetnih polja je bliži gornjem pokretnom zidu kanala. Za sve vrednosti  $\beta$  indukovano magnetno polje je istog pravca i smera kao i uzdužna brzina.

Sa slike 5.72 se zaključuje da je za istu vrednost  $\beta$ , uzdužna brzina u kanalu veća za slučaj "a" od uzdužne brzine za slučaj "b". Za ovde razmatrani slučaj položaj maksimalne uzdužne brzine u kanalu je bliži donjem zidu za veće vrednosti veličine  $\beta$ .



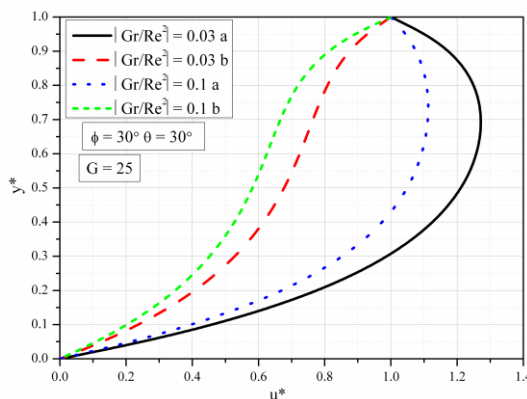
Slika 5.73 Bezdimenziona temperaturna raspodjeljiva u kanalu za različite vrednosti  $\beta$ ,  $\phi = 30^\circ$ ,  $\theta = 30^\circ$



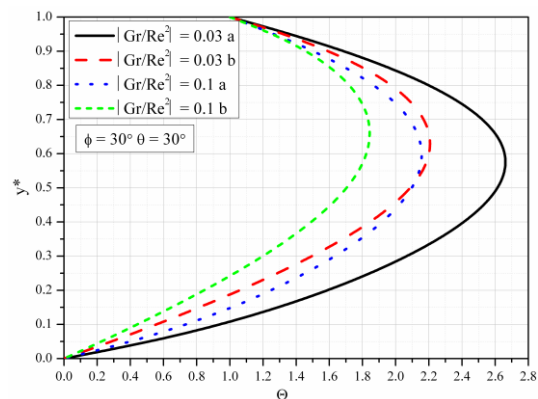
Slika 5.74 Bezdimenzionalno magnetno polje za različite vrednosti  $Gr/Re^2$ ,  $\phi = 30^\circ$ ,  $\theta = 30^\circ$

Sa slike 5.73 se zaključuje da za ovde posmatrani slučaj većim vrednostima veličine  $\beta$  odgovaraju više temperature u kanalu i veće količine transportovane topline sa tečnosti na gornji zid kanala. Za istu vrednost  $\beta$  temperatura u kanalu je viša, a količina transportovane topline sa tečnosti na gornji zid kanala je veća za slučaj "a".

Sa slike 5.74 se zaključuje da većim vrednostima odnosa  $Gr/Re^2$  odgovaraju slabija indukovana magnetna polja, a za sve vrednosti ovog odnosa imaju isti pravac i smer kao i uzdužna brzina u kanalu. Sa promenom vrednosti ovog odnosa položaj maksimalne indukcije indukovanih magnetnih polja skoro da se ne menja.



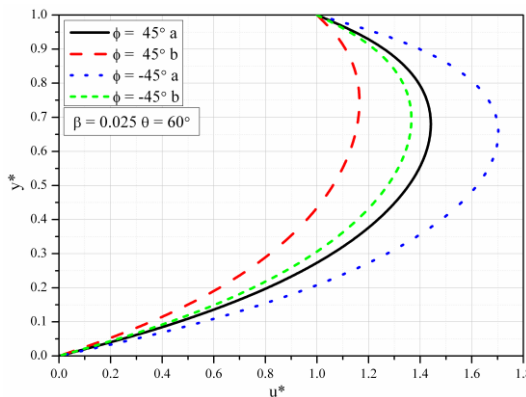
Slika 5.75 Bezdimenziona brzina za različite vrednosti  $\text{Gr}/\text{Re}^2$ ,  $\phi = 30^\circ$ ,  $\theta = 30^\circ$



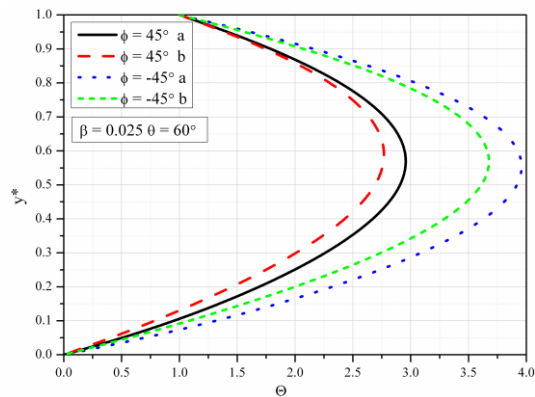
Slika 5.76 Bezdimenziona temperatura za različite vrednosti  $\text{Gr}/\text{Re}^2$ ,  $\phi = 30^\circ$ ,  $\theta = 30^\circ$

Sa slike 5.75 se zaključuje da za ovde posmatrani slučaj tj. slučaj "a" većim vrednostima odnosa  $\text{Gr}/\text{Re}^2$  odgovaraju manje uzdužne brzine u kanalu i manji tangencijalni naponi na gornjem pokretnom zidu kanala tj. sila potiska ima sada veći uticaj. Maksimalne uzdužne brzine u kanalu, u ovom slučaju, su veće od brzine kretanja gornjeg zida. Za iste vrednosti ovog odnosa veće su uzdužne brzine u kanalu za slučaj "a". Uzrok ovome je indukovano magnetno polje koje prouzrokuje dodatnu Lorentz-ovu силу koja povećava brzinu. Za slučaj "b" uzdužne brzine u kanalu su manje od brzine kretanja gornjeg zida kanala, za sve vrednosti odnosa  $\text{Gr}/\text{Re}^2$ .

Sa slike 5.76 se zaključuje da za slučaj "a" većim vrednostima odnosa  $\text{Gr}/\text{Re}^2$  odgovaraju niže temperature u kanalu i manje količine topline transportovane sa tečnosti na gornji zid kanala. Ovi zaključci su validni i za slučaj "b". Maksimalne temperature su u gornjoj polovini poprečnog preseka kanala u oba slučaja. Za iste vrednosti ovog odnosa temperatura u kanalu je viša, a količina transportovane topline od tečnosti na gornji zid kanala veća za slučaj "a".



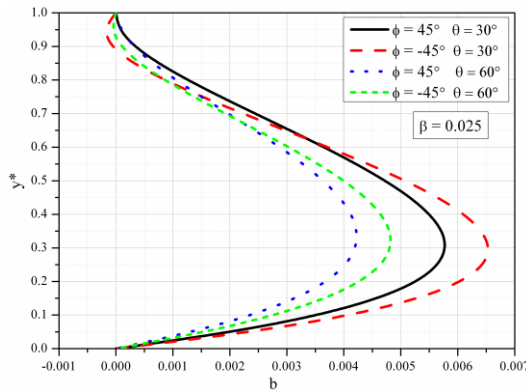
Slika 5.77 Bezdimenziona brzina za različite vrednosti  $\phi$



Slika 5.78 Bezdimenziona temperatura za različite vrednosti  $\phi$

Na slici 5.77 prikazani su rasporedi bezdimenziione uzdužne brzine u kanalu kada je kanal pod uglom od  $45^\circ$  iznad horizontalne ravni i kada je pod istim uglom, ali ispod horizontalne ravni i to za slučaj "a" i za slučaj "b". Prostije rečeno, kada je strujanje uz kanal slučaj "a" i niz kanal slučaj "b". Sa ove slike se zaključuje da su uzdužna brzina u kanalu i tangencijalni napon na gornjem zidu veći kada je kanal "ispod" horizontalne ravni i u slučaju "a" i u slučaju "b". Za istu vrednost ugla  $\phi$  uzdužna brzina u kanalu i tangencijalni napon na gornjem pokretnom zidu kanala su veći u slučaju "a". Maksimalne uzdužne brzine su u gornjoj polovini poprečnog preseka kanala za obe vrednosti ugla  $\phi$  i za oba slučaja.

Sa slike 5.78 se zaključuje da su temperature u kanalu više, a količine transportovane toplote sa tečnosti na gornji zid kanala veće kada je strujanje niz kanal tj. kada se gornji zid kanala kreće naniže i to i u slučaju "a" i u slučaju "b". Za iste vrednosti ugla  $\phi$  temperatura u kanalu je viša, a količina transportovane toplote sa tečnosti na gornji zid kanala veća za slučaj "a". Maksimalne temperature su u gornjoj polovini kanala za obe vrednosti ugla  $\phi$  i oba slučaja.



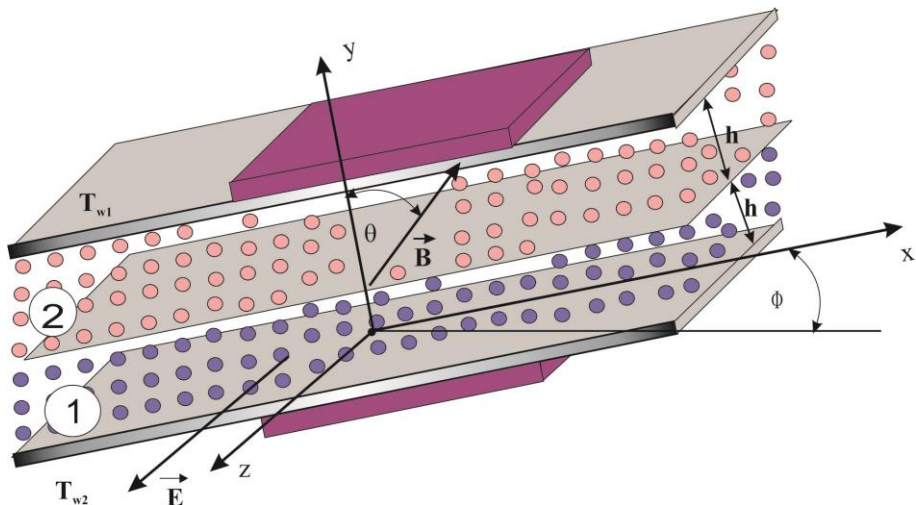
Slika 5.79 Bezdimenziono indukovano polje  
za različite vrednosti  $\phi$

Sa slike 5.79 se zaključuje da je za istu vrednost  $\phi$  indukovano magnetno polje intenzivnije za manju vrednost ugla  $\theta$ , osim u okolini gornjeg zida gde može biti i suprotnog smera od smera brzine kretanja gornjeg zida. Za sve vrednosti uglova  $\phi$  i  $\theta$  indukovana magnetna polja imaju maksimalne jačine u donjoj polovini poprečnog preseka kanala.

# 6. Kombinovano konvektivno MHD strujanje dva fluida u poroznoj sredini

## 6.1 Kombinovano konvektivno MHD strujanje dva fluida u poroznoj sredini između nagnutih paralelnih ploča

U ovom delu rada se izučava strujanje dva fluida koji se ne mešaju i prenos topline u kanalu koji je nagnut, pod uglom  $\phi$ , u odnosu na horizontalnu ravan. Zidovi kanala su ravni i međusobno paralelni, a nalaze se na stalnim temperaturama,  $T_{w1}$  gornji i  $T_{w2}$  donji. Zidovi kanala su elektroneprovodni tj. izolovani. Kanal se nalazi u homogenom magnetnom polju koje se nalazi u  $xOy$  ravni i gradi ugao  $\theta$  sa  $y$  osom koja je normalna na zidove kanala.



Slika 6a Fizički model strujanja

Primenjeno spoljašnje električno polje je homogeno i pravca je z ose odabranog koordinatnog sistema (vidi sliku). Sredina je, u opštem slučaju, porozna i to tako da polovine kanala imaju različite poroznosti, može jedna polovina da bude porozna, a jedna “slobodna”, a može i ceo kanal da bude iste poroznosti ili “slobodan”. Dakle razmatra se jedan opšti problem koji dozvoljava više mogućnosti i što se tiče samog kanala, a i fluida koji struje u njemu. Problem se razmatra sa zanemarivanjem uticaja indukovanih magnetnih polja i kada na zidovima kanala nema izvora/ponora fluida.

### 6.1.1 Matematički model

Imajući u vidu prethodno rečeno o primjenom spoljašnjem magnetnom i električnom polju ista, za izabrani koordinatni sistem, imaju sledeće reprezentacije:

$$\vec{B} = B \sin \theta \vec{i} + B \cos \theta \vec{j}, \quad \vec{E} = E \vec{k}. \quad (6.1.1)$$

Postupajući, na dalje, kako je to učinjeno u poglavlju 5.1.1 dolazi se do matematičkog modela, koga reprezentuju jednačine:

$$-\frac{\partial p_i}{\partial x} + \mu_i \frac{d^2 u_i}{dy^2} - \epsilon_i \frac{\mu_i}{K_i^*} u_i - \lambda \sigma_i B (E + \lambda B u_i) -$$

$$-g \rho_i \beta_{T_i} (T_{w2} - T_i) \sin \phi = 0, \quad (6.1.2)$$

$$\frac{\partial p_i}{\partial y} - \sigma_i B \sqrt{1 - \lambda^2} (E + \lambda B u_i) + g \rho_i \beta_{T_i} (T_{w2} - T_i) \cos \phi = 0, \quad (6.1.3)$$

$$k_i \frac{d^2 T_i}{dy^2} + \mu_i \left( \frac{du_i}{dy} \right)^2 + \epsilon_i \frac{\mu_i}{K_i^*} u_i^2 + \sigma_i (E + \lambda B u_i)^2 = 0, \quad (6.1.4)$$

u kojima su uvedene označke:

$$\lambda = \cos \theta,$$

$$\epsilon_i = 1 \text{ za poroznu sredinu,}$$

$$\epsilon_i = 0 \text{ za slobodnu sredinu,} \quad (6.1.4-a)$$

i granični uslovi:

$$u(-h) = 0, \quad u_1(0) = u_2(0), \quad u_2(h) = 0,$$

$$\mu_1 \frac{du_1}{dy} = \mu_2 \frac{du_2}{dy} \quad \text{za } y = 0,$$

$$T_1(-h) = T_{w2}, \quad T_1(0) = T_2(0), \quad T_2(h) = T_{w1},$$

$$k_1 \frac{dT_1}{dy} = k_2 \frac{dT_2}{dy} \quad \text{za } y = 0. \quad (6.1.5)$$

Prepostavlja se dalje da su padovi pritiska po jedinici dužine konstantni i jednaki:

$$-\frac{\partial p_i}{\partial x} = P = \text{const}, \quad (6.1.6)$$

gde je  $P$  poznata konstanta.

Za dalje izučavanje ovog modela MHD strujanja i prenosa topline, kako je to i do sada činjeno, ovaj matematički model se transformiše na bezdimenzionalni oblik. U tom cilju se uvode bezdimenzione veličine date izrazima (4.1.6), gde je veličina  $U$  data izrazom (4.1.7). Korišćenjem uvedenih bezdimenzionalnih veličina jednačina (6.1.2) se transformiše na bezdimenzionalni oblik:

$$\frac{d^2 u_i^*}{dy^{*2}} - \omega_i^2 u_i^* + \gamma_i - \lambda K H a_i^2 + \frac{Gr_i}{Re_i} \sin \phi = 0, \quad (6.1.7)$$

u kome su uvedene oznake:

$$\begin{aligned} \Lambda_i &= \frac{h^2}{K_i^*}, \quad Ha_i = Bh \sqrt{\frac{\sigma_i}{\mu_i}}, \\ K &= \frac{E}{BU}, \quad \gamma_i = \frac{\mu_1}{\mu_i}, \quad Re_i = \frac{Uh}{v_i}, \\ Gr_i &= g \beta_{Ti} h^3 \frac{T_i - T_{w2}}{v_i^2}. \end{aligned} \quad (6.1.8)$$

Isto tako se jednačina (6.1.4) transformiše na jednačinu:

$$\frac{d^2 \Theta_i}{dy^{*2}} + Pr_i Ec_i \left[ \left( \frac{du_i^*}{dy^*} \right)^2 + \varepsilon_i \Lambda_i u_i^{*2} + Ha_i^2 (K + \lambda u_i^*)^2 \right] = 0, \quad (6.1.9)$$

gde su  $Pr_i$  i  $Ec_i$  dati izrazima (4.1.10). Jednačina (6.1.3) se transformiše na jednačinu:

(6.1.10)

Granični uslovi (6.1.5) transformišu se na oblik (4.1.12).

Jednačine (6.1.7), (6.1.9), (6.1.10) i granični uslovi (4.1.12) predstavljaju matematički model u bezdimenzionom obliku za ovde opisani fizički model MHD strujanja i prenosa topote.

## 6.1.2 Rasporedi brzine, temperature i pritiska u kanalu

Za određivanje rasporeda bezdimenzione uzdužne brzine, bezdimenzione temperature i bezdimenzionog pritiska u kanalu treba rešiti jednačine (6.1.7), (6.1.9) i (6.1.10) sa graničnim uslovima (4.1.12).

U tom cilju, prvo jednačinu (6.1.7) pišemo u obliku:

$$\frac{d^2 u_i^*}{dy^{*2}} - \omega_i^2 u_i^* = \lambda K H a_i^2 - \gamma_i - \frac{Gr_i}{Re_i} \sin \phi. \quad (6.1.11)$$

Opšte rešenje jednačine (6.1.11) je dato izrazom:

$$u_i^*(y^*) = A_i \exp(\omega_i y^*) + B_i \exp(-\omega_i y^*) + \Omega_i, \quad (6.1.12)$$

gde su partikularna rešenja oblika:

$$\Omega_i = \frac{1}{\omega_i^2} \left( \gamma_i - \lambda K H a_i^2 + \frac{Gr_i}{Re_i} \sin \phi \right), \quad (6.1.13)$$

a  $A_i$  i  $B_i$  su integracione konstante. Treba imati u vidu da je za brzinu u donjoj polovini kanala tj. za  $i=1$ ,  $-1 \leq y^* \leq 0$ , a za gornju polovinu kanala tj.  $i=2$ ,  $0 \leq y^* \leq 1$ .

Korišćenjem graničnih uslova (4.1.12), za bezdimenzionu uzdužnu brzinu, određuju se integracione konstante  $A_1$ ,  $A_2$ ,  $B_1$  i  $B_2$  i one imaju reprezentacije

(4.1.18). Naravno, treba imati u vidu da se sada veličine  $\Omega_i$  i  $\Omega_2$  dobijaju iz izraza (6.1.13) stavljajući  $i=1$  i  $i=2$  respektivno i da se razlikuju od odgovarajućih veličina kod modela analiziranog u poglavlju 4.1.

Iz jednačina (6.1.9) dobija se da njihova rešenja imaju reprezentacije (4.1.20) u kojima su ovde, za razliku od 4.1, veličine  $L_i$ ,  $M_i$  i  $N_i$  date izrazima:

$$\begin{aligned} L_i &= \frac{2}{\omega_i^2} (\Omega_i \omega_i^2 + \lambda K H a_i^2) A_i, \\ M_i &= \frac{2}{\omega_i^2} (\Omega_i \omega_i^2 + \lambda K H a_i^2) B_i, \\ N_i &= \frac{1}{2} [\Omega_i (\Omega_i \omega_i^2 + 2\lambda K H a_i^2) + K^2 H a_i^2]. \end{aligned} \quad (6.1.14)$$

Integracione konstante  $C_i$  i  $D_i$  imaju iste reprezentacije kao i u 4.1 i date su izrazima (4.1.22), s tim što treba obratiti pažnju da su  $L_i$ ,  $M_i$  i  $N_i$  različite veličine ovde i kod modela u poglavlju 4.1.

Integracijom jednačine (6.1.10) dobija se da su rasporedi pritiska u donjoj i gornjoj polovini kanala dati izrazima:

$$\frac{p_i}{hP} = \frac{\lambda \beta_i}{\omega_i} [A_i \exp(\omega_i y^*) - B_i \exp(-\omega_i y^*)] + P_i y^* - \frac{x}{h} + E_i, \quad (6.1.15)$$

u kojima su, radi kraćeg zapisa, uvedene oznake:

$$\begin{aligned} P_i &= \lambda \beta_i \Omega_i + \beta_i K - \frac{G_r}{\gamma_i R_e} \cos \phi, \\ \beta_i &= \frac{H a_i^2}{\gamma_i} \sqrt{1 - \lambda^2}, \end{aligned} \quad (6.1.16)$$

a  $E_i$  su integracione konstante.

Ako je na primer u tački ( $x=0, y=-h$ ) pritisak poznat i iznosi  $p_A$  onda su integracione konstante  $E_1$  i  $E_2$  date izrazima:

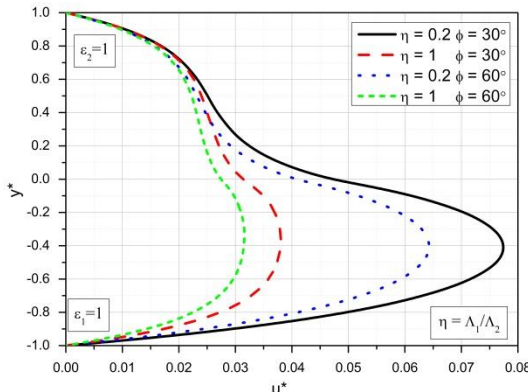
$$E_1 = \frac{p_A}{hP} + P_1 - \frac{\lambda \beta_1}{\omega_1} [A_1 \exp(-\omega_1) - B_1 \exp(\omega_1)],$$

$$E_2 = E_1 + \frac{\lambda\beta_1}{\omega_1}(A_1 - B_1) - \frac{\lambda\beta_2}{\omega_2}(A_2 - B_2). \quad (6.1.17)$$

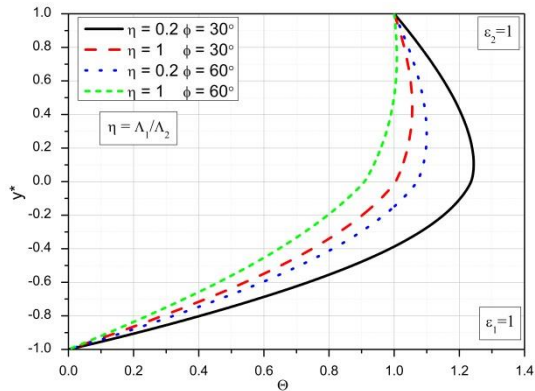
Ovim su određeni rasporedi bezdimenzionih uzdužnih brzina, bezdimenzionih temperatura i pritisaka u kanalu.

### 6.1.3 Analiza rezultata

Deo dobijenih rezultata, radi preglednosti i jednostavnije analize, prikazan je na slikama koje slede. Tako su na slici 6.1 i slici 6.2 prikazani rasporedi bezdimenzione uzdužne brzine i bezdimenzione temperature u kanalu za različite vrednosti odnosa faktora poroznosti  $\eta = \Lambda_1/\Lambda_2$  i ugla nagiba kanala, respektivno. U ovom slučaju je fluid u gornjoj polovini kanala viskozniji od fluida u donjoj polovini kanala, a  $Ha_2 > Ha_1$ . Prilikom analize menjana je propustljivost donje polovine kanala.



Slika 6.1 Bezdimenziona uzdužna brzina za različite vrednosti  $\eta$  i  $\phi$

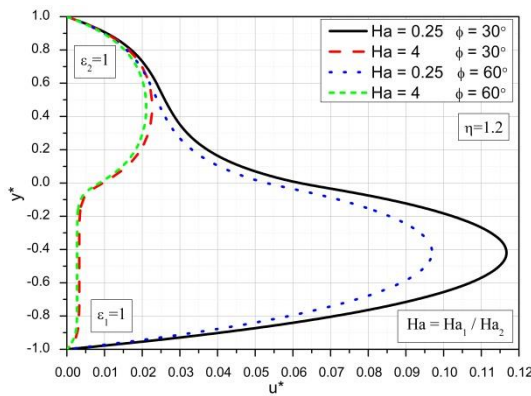


Slika 6.2 Bezdimenziona temperatura za različite vrednosti  $\eta$  i  $\phi$

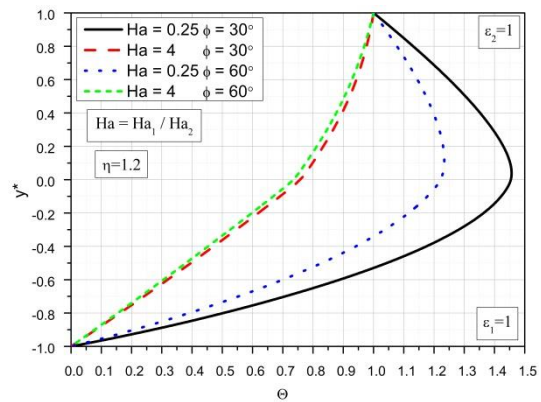
Sa slike 6.1 se zaključuje da se za isti ugao nagiba kanala uzdužna brzina tečnosti u donjoj polovini kanala smanjuje za veće vrednosti veličine  $\eta$  tj. za manju propustljivost donje polovine kanala. Ova promena brzine u donjem delu kanala

izaziva manju promenu u gornjoj polovini kanala. Maksimalni intenziteti uzdužne brzine su u donjoj polovini kanala. Za iste vrednosti odnosa faktora poroznosti, većim vrednostima ugla nagiba kanala odgovaraju manji intenziteti uzdužne brzine u celom poprečnom preseku kanala. U svim prikazanim slučajevima uzdužne brzine su veće u donjoj polovini kanala.

Sa slike 6.2 se vidi da je za isti ugao nagiba kanala temperatura u kanalu niža za veće vrednosti odnosa faktora poroznosti  $\eta$ . Za iste vrednosti odnosa faktora poroznosti temperature tečnosti u kanalu su niže za veće vrednosti ugla nagiba kanala. Za slučajeve prikazane na slici postoji transport toplote sa tečnosti na gornji zid kanala. Temperature su više u gornjoj polovini kanala za sve slučajeve.



Slika 6.3 Bezdimentziona uzdužna brzina za različite vrednosti  $Ha$  i  $\phi$



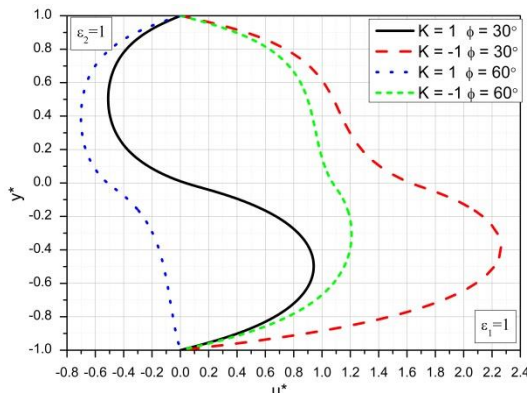
Slika 6.4 Bezdimentziona temperatura za različite vrednosti  $Ha$  i  $\phi$

Na slici 6.3 i slici 6.4 prikazani su rasporedi bezdimentzionate uzdužne brzine i bezdimentzionate temperature tečnosti u kanalu za različite vrednosti odnosa  $Ha = Ha_1 / Ha_2$  i različite vrednosti ugla  $\phi$  nagiba kanala. Na slikama su dati rezultati za slučaj kada je ugao  $\theta = 0$ , gornja polovina kanala propustljivija od donje, a tečnost u gornjoj polovini viskoznija.

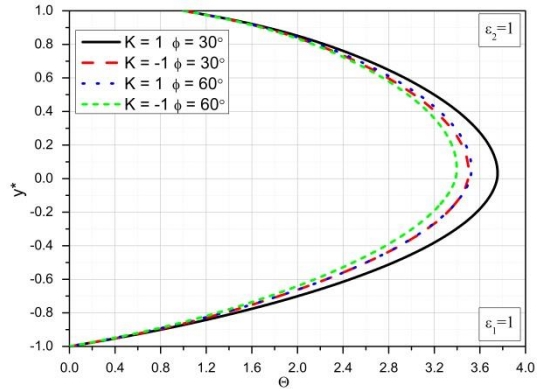
Sa slike 6.3 se zaključuje da, za slučaj kada je donja polovina kanala manje propustljivosti od njegove gornje polovine, pri istim vrednostima ugla nagiba kanala većim vrednostima odnosa  $Ha$  odgovaraju manje uzdužne brzine u kanalu. Ovo smanjenje je mnogo izraženije u donjoj polovini kanala jer je ona manje propustljivosti što dodatno utiče na smanjenje uzdužne brzine. Povećanje odnosa  $Ha$  dovodi i do značajnog “poravnanja” profila uzdužne brzine u donjoj polovini kanala. Povećanje odnosa  $Ha$  moglo bi da dovede do zaustavljanja (prekida) strujanja fluida u velikom delu donje polovine poprečnog preseka kanala. Povećanje odnosa  $Ha$  dovodi i do smanjenja tangencijalnih naponi na zidovima kanala. Za iste vrednosti odnosa  $Ha$  većim vrednostima ugla nagiba kanala odgovaraju manje uzdužne brzine u kanalu i manji tangencijalni naponi na zidovima kanala. Za male vrednosti odnosa  $Ha$  maksimalne brzine su u donjoj polovini kanala.

Na slici 6.4 su prikazani rasporedi bezdimenzione temperature za kanal i veličine kao na slici 6.3. Sa ove slike se zaključuje da je za iste vrednosti ugla nagiba kanala temperatura tečnosti u kanalu niža za veće vrednosti odnosa  $Ha$ . Isto tako se zaključuje da za male vrednosti  $Ha$  postoji transport topote sa tečnosti na gornji zid kanala, dok za velike vrednosti  $Ha$  tog transporta nema. U donjoj polovini je prenos topote uglavnom kondukcijom čemu doprinosi njena mala propustljivost. Za male vrednosti  $Ha$  maksimalne temperature su u okolini sredine kanala. Za iste vrednosti odnosa  $Ha$  većim vrednostima ugla nagiba kanala odgovaraju niže temperature u kanalu.

## Poglavlje 6



Slika 6.5 Bezdimentziona uzdužna brzina za različite vrednosti  $K$  i  $\phi$



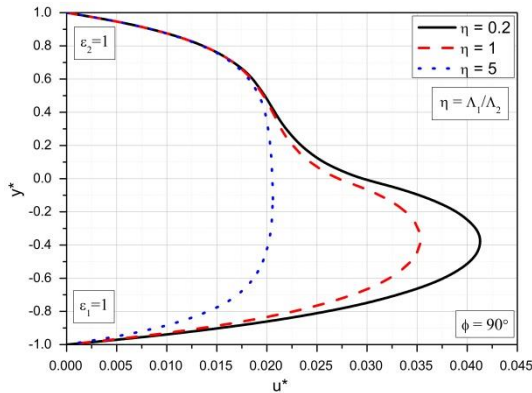
Slika 6.6 Bezdimentziona temperatura za različite vrednosti  $K$  i  $\phi$

Na slikama 6.5 i 6.6 predstavljeni su, za različite vrednosti faktora spoljašnjeg električnog opterećenja i različite vrednosti ugla nagiba kanala, rasporedi bezdimentzionate uzdužne brzine i bezdimentzionate temperature u kanalu, respektivno. Gornja polovina kanala je poroznija od donje, a u njoj je tečnost koja je veće viskoznosti, veće elektroprovodnosti i veće toplotne provodnosti od tečnosti u donjoj polovini kanala.

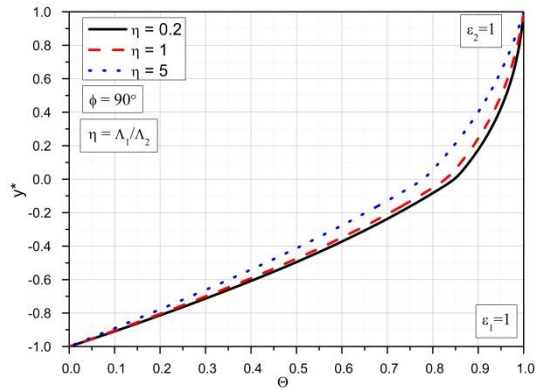
Sa slike 6.5 se zaključuje da je za  $K=1$  i za  $\phi=30^\circ$  brzina u donjoj polovini kanala "smera" pada pritiska, dok je u gornjoj polovini suprotnog smera. U ovom slučaju intenziteti brzine su veći u donjoj polovini kanala. Za  $K=1$  i  $\phi=60^\circ$  uzdužna brzina u kanalu je u celom poprečnom preseku suprotnog smera od "smera" pada pritiska. Za  $K=-1$  brzine su i za  $\phi=30^\circ$  i za  $\phi=60^\circ$  istog smera sa "smerom" pada pritiska u kanalu. Brzina je veća za manje vrednosti ugla nagiba kanala a maksimalne brzine su u donjoj polovini kanala. Za slučaj  $K=-1$  tangencijalni naponi na zidovima kanala su manji za veći ugao nagiba kanala. Iako je gornja polovina kanala veće propustljivosti brzine su manje jer su uticaji viskoznosti i elektroprovodnosti dominantniji.

Sa slike 6.6 se zaključuje da je za iste vrednosti  $K$  temperatura tečnosti u kanalu niža za veće vrednosti ugla nagiba kanala. Za iste vrednosti ugla nagiba kanala temperatura tečnosti u kanalu je niža za  $K=-1$  od temperature za slučaj

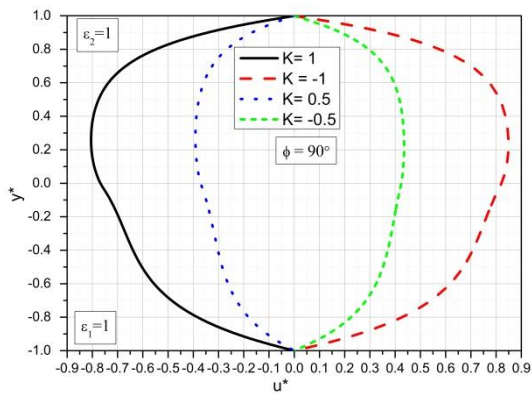
kada je  $K = 1$ . Temperature su maksimalne u okolini sredine poprečnog preseka kanala. U donjoj polovini kanala je dominantan prenos toplote kondukcijom.



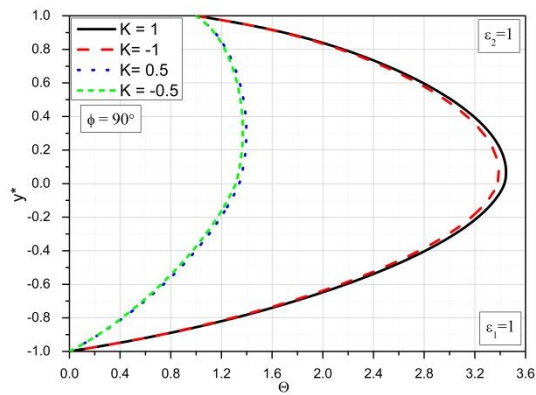
Slika 6.7 Bezdimenziona uzdužna brzina za različite vrednosti  $\eta$  i  $\phi = 90^\circ$



Slika 6.8 Bezdimenziona temperatura za različite vrednosti  $\eta$  i  $\phi = 90^\circ$



Slika 6.9 Bezdimenziona uzdužna brzina za različite vrednosti  $K$  i  $\phi = 90^\circ$



Slika 6.10 Bezdimenziona temperatura za različite vrednosti  $K$  i  $\phi = 90^\circ$

Na slikama 6.7 i 6.8 predstavljeni su rasporedi bezdimenziione uzdužne brzine i bezdimenziione temperature tečnosti u kanalu, respektivno za slučaj kada je kanal vertikalni, a pad pritiska suprotnog "smera" od smera gravitacionog polja, dok su na slikama 6.9 i 6.10 dati rasporedi za različite vrednosti veličine  $K$ .

Sa slike 6.7 se zaključuje da promena propustljivosti donje polovine kanala uz zadržavanje nepromenjene propustljivosti gornje polovine kanala dovodi do značajnih promena brzine u donjoj polovini kanala i manjih promena iste u gornjoj

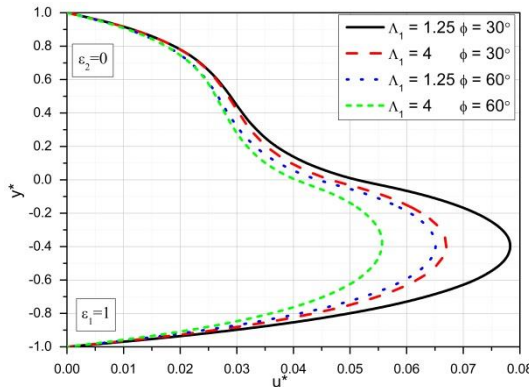
polovini kanala. Sa smanjenjem propustljivosti donje polovine kanala smanjuje se brzina u kanalu s tim što je to smanjenje u donjoj polovini kanala značajno, dok je u okolini gornjeg zida kanala zanemarljivo. Ovo smanjenje propustljivosti dovodi i do smanjenja tangencijalnog napona na donjem zidu kanala. Za  $\eta = 0.2$  propustljivost donje polovine kanala je pet puta veća od propustljivosti gornje polovine kanala dok su za  $\eta = 1$  ove propustljivosti jednake, a brzine u donjoj polovini kanala su veće čemu doprinose i manje viskoznosti i elektroprovodnosti tečnosti u donjoj polovini kanala.

Sa slike 6.8 se zaključuje da je za vertikalni kanal, za koji su rezultati za brzinu dati na prethodnoj slici, temperatura u kanalu niža za manje propustljivosti donje polovine kanala i da je prenos toploće u donjoj polovini kanala uglavnom kondukcijom. U sva tri prikazana slučaja postoji transport toploće sa tečnosti na gornji zid kanala. Ova transportovana količina toploće je manja za manju propustljivost donje polovine kanala.

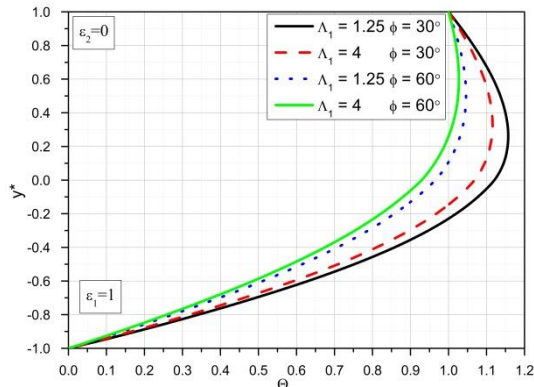
Sa slike 6.9 se zaključuje da su za  $K = -0.5$  i  $K = -1$  uzdužne brzine u kanalu suprotnog smera od smera gravitacionog polja u celom poprečnom preseku kanala dok su za  $K = 0.5$  i  $K = 1$  istog smera sa smerom gravitacionog polja. Većim apsolutnim vrednostima veličine  $K$  odgovaraju veće uzdužne brzine tečnosti u kanalu i veći tangencijalni naponi na zidovima kanala.

Sa slike 6.10 se zaključuje da se temperature za  $K = -0.5$  i  $K = -1$  malo razlikuju što je i trebalo očekivati s obzirom da je razlika samo u smeru spoljašnjeg primjenjenog električnog polja.

Na slikama koje slede prikazani su rezultati za kanale čija je donja polovina porozna, a gornja "slobodna".



Slika 6.11 Bezdimenziona uzdužna brzina za različite vrednosti  $\Lambda_1$  i  $\phi$



Slika 6.12 Bezdimenziona temperatura za različite vrednosti  $\Lambda_1$  i  $\phi$

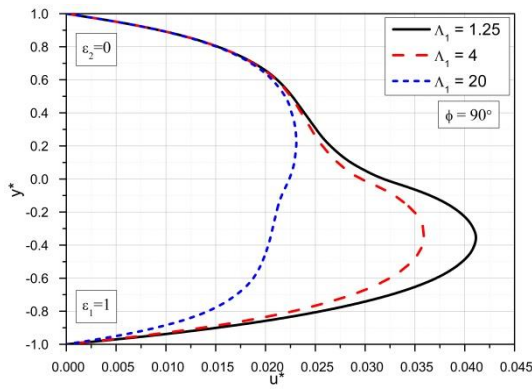
Tako su na slici 6.11 i slici 6.12 prikazani rasporedi bezdimenziione uzdužne brzine i bezdimenziione temperature tečnosti u kanalu za različite vrednosti faktora poroznosti  $\Lambda_1$  i različite vrednosti ugla nagiba kanala  $\phi$ . Rezultati su dati za slučajeve kada je odnos Hartmann-ovih brojeva  $Ha = 0,707$ .

Sa slike 6.11 se zaključuje da je za iste vrednosti ugla nagiba kanala brzina u kanalu manja za veće vrednosti faktora poroznosti donje polovine kanala. Manji su i tangencijalni naponi na zidovima kanala. Maksimalne brzine tečnosti su u donjoj polovini kanala jer je uticaj Hartmann-ovog broja na smanjenje brzine u gornjoj polovini kanala veći od uticaja  $Ha_1$  broja i poroznosti na smanjenje brzine u donjoj polovini kanala. Za iste vrednosti faktora poroznosti donje polovine kanala brzina tečnosti u kanalu je manja za veće vrednosti ugla nagiba kanala kao i tangencijalni naponi na zidovima kanala.

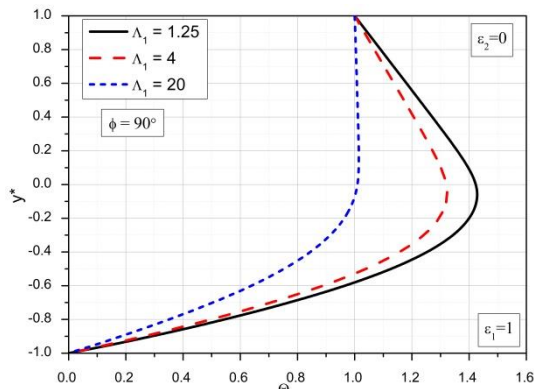
Sa slike 6.12 se zaključuje da su za iste vrednosti ugla nagiba kanala temperature u kanalu niže za veće vrednosti faktora poroznosti, a manje su i količine toplote koje se transportuju sa tečnosti na gornji zid kanala. Za iste vrednosti faktora poroznosti, većim vrednostima ugla nagiba kanala odgovaraju niže temperature u kanalu i manje količine toplote koje se transportuju sa tečnosti na gornji zid kanala. Prenos toplote u donjoj polovini kanala je uglavnom kondukcijom. Maksimalne temperature tečnosti su u gornjoj polovini kanala, a

## Poglavlje 6

bliže gornjem zidu kanala za veći nagib kanala i za veće vrednosti faktora poroznosti.



Slika 6.13 Bezdimenziona uzdužna brzina za različite vrednosti  $\Lambda_1$  i  $\phi = 90^\circ$

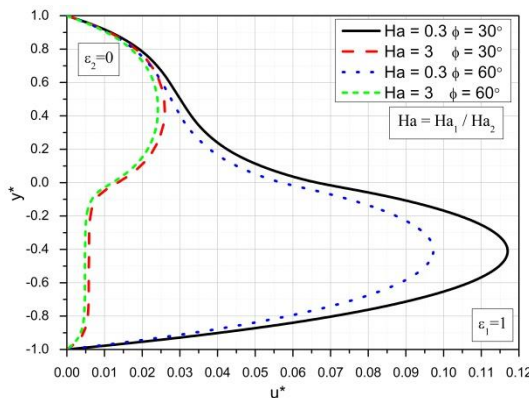


Slika 6.14 Bezdimenziona temperatura za različite vrednosti  $\Lambda_1$  i  $\phi = 90^\circ$

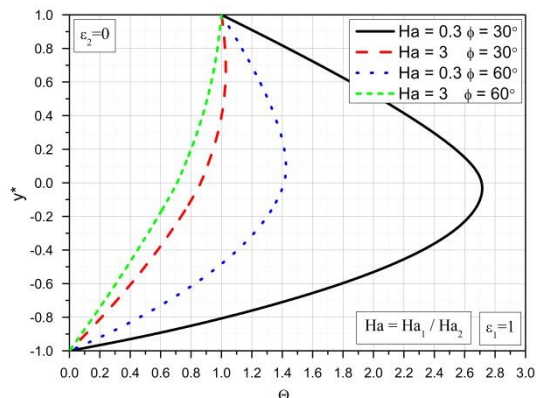
Rasporedi bezdimenzijsne uzdužne brzine i bezdimenzijsne temperature tečnosti u kanalu za različite vrednosti faktora poroznosti  $\Lambda_1$  i za  $\phi = 90^\circ$  tj. za vertikalni kanal prikazani su na slici 6.13 i 6.14 respektivno. Pad pritiska u kanalu je suprotnog smera od smera gravitacionog polja tj. on izaziva kretanje tečnosti uz kanal. Desna polovina kanala je porozna, a leva je "slobodna". Na ovim slikama, u njihovom donjem delu, prikazani su rezultati za desnu polovinu kanala, a u gornjem delu za levu polovinu kanala. Zaključci o uticaju faktora poroznosti  $\Lambda_1$  na raspored brzine i temperature za nagnuti kanal u važnosti su i ovde tj. za vertikalni kanal. Ono što se ovde još može zaključiti to je da je prenos topline u levom "slobodnom" delu kanala uglavnom kondukcijom i da je za veliku vrednost  $\Lambda_1 = 20$  temperatura tečnosti u levoj polovini kanala skoro konstantna i jednaka temperaturi levog zida kanala. U tom slučaju nema transporta topline sa tečnosti na levi zid kanala, a smanjenje brzine u desnoj polovini kanala je značajno kao i tangencijalnih napona na desnom zidu kanala. Srednja brzina u desnom delu kanala je manja od srednje brzine u levom "slobodnom" delu kanala. Ovo je izazvala mala

## Poglavlje 6

propustljivost desne polovine kanala. Naravno, brzine u vertikalnom kanalu, kod ostalih istih veličina, manje su od brzina u nagnutom kanalu.



Slika 6.15 Bezdimenziona uzdužna brzina za različite vrednosti  $Ha$  i  $\phi$



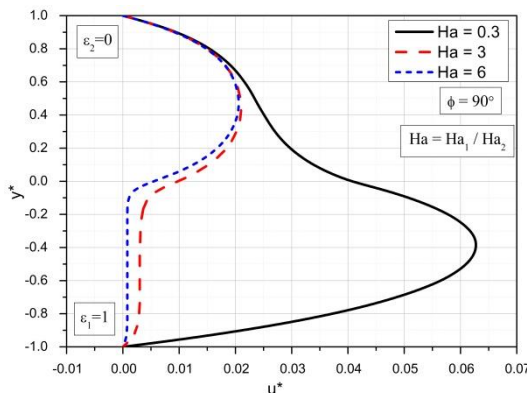
Slika 6.16 Bezdimenziona temperatura za različite vrednosti  $Ha$  i  $\phi$

Na slici 6.15 i slici 6.16 prikazani su rasporedi bezdimenziione brzine i bezdimenziione temperature za različite vrednosti odnosa Hartmann-ovih brojeva i različite uglove nagiba kanala. Donja polovina kanala je porozna a gornja "slobodna". Za promenu odnosa  $Ha$  menjana je elektroprovodnost fluida u donjoj polovini kanala a time i  $Ha_1$ .

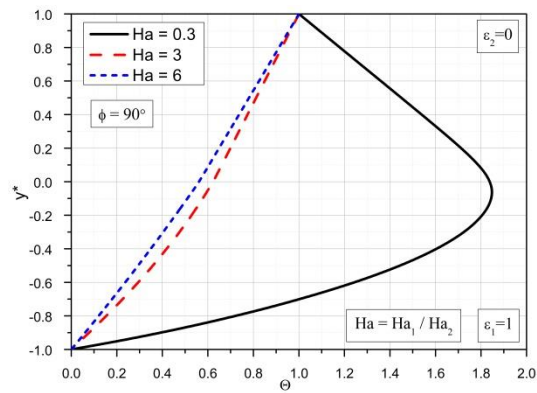
Posmatranjem rasporeda brzina prikazanih na slici 6.15 zaključuje se da se za iste uglove nagiba kanala brzina u donjoj polovini kanala smanjuje sa povećanjem odnosa  $Ha$  tj. sa povećanjem  $Ha_1$ . Ova promena brzine dovodi i do manje promene brzine u gornjoj polovini kanala. Većim vrednostima odnosa  $Ha$  odgovaraju manji tangencijalni naponi na zidovima kanala, a posebno na donjem zidu kanala. Za odnose  $Ha < 1$  maksimalne brzine u kanalu su u njegovoj donjoj polovini, a za  $Ha > 1$  u njegovoj gornjoj polovini. Za iste vrednosti odnosa  $Ha$  brzine u kanalu su manje za veće uglove nagiba kanala, a to je slučaj i sa tangencijalnim naponima na zidovima kanala.

Sa slike 6.16 se zaključuje da je za iste uglove nagiba kanala temperatura tečnosti niža, u celom poprečnom preseku kanala, za veće vrednosti odnosa  $Ha$ .

Količina transportovane topline sa tečnosti na gornji zid kanala je manja za veće vrednosti odnosa  $Ha$ , a za  $Ha = 3$  i  $\phi = 60^\circ$  i ne postoji. Za vrednost  $Ha = 0.3$  temperature su maksimalne u okolini sredine poprečnog preseka. Za iste vrednosti odnosa  $Ha$  temperature u kanalu su niže za veće uglove nagiba kanala, a količina transportovane topline sa tečnosti na gornji zid kanala je manja.



Slika 6.17 Bezdimenziona uzdužna brzina za različite vrednosti  $Ha$  i  $\phi = 90^\circ$

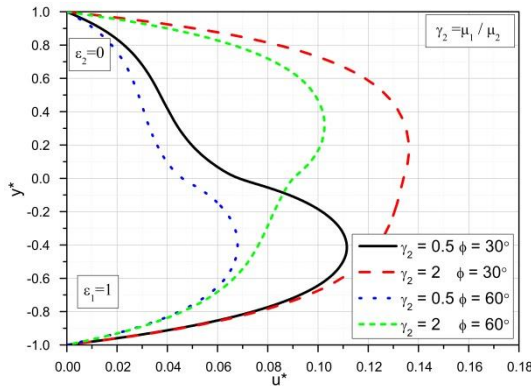


Slika 6.18 Bezdimenziona temperatura za različite vrednosti  $Ha$  i  $\phi = 90^\circ$

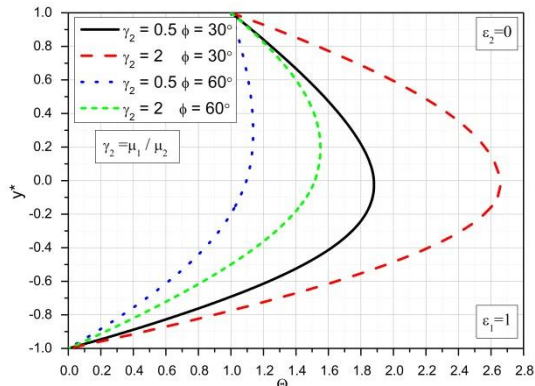
Rasporedi bezdimenziione brzine i bezdimenziione temperature tečnosti u kanalu za različite odnose  $Ha$ , a za vertikalni kanal predstavljeni su na slikama 6.17 i 6.18.

Sa slike 6.17 se zaključuje da sa povećanjem vrednosti odnosa  $Ha$  brzina u kanalu opada u celom poprečnom preseku kanala. Posebno je izraženo opadanje brzine u desnoj polovini kanala jer je u njoj izražen i uticaj Hartmann-ovog broja i smanjenje propustljivosti ovog dela kanala. Tangencijalni naponi na zidovima kanala se takođe smanjuju. Za odnos  $Ha = 6$  brzina u desnoj polovini poprečnog preseka kanala je gotovo jednaka nuli. Za vrednosti odnosa  $Ha < 1$  maksimalne brzine su u desnoj polovini kanala, a za  $Ha > 1$  one su maksimalne u levoj polovini kanala.

Sa slike 6.18 se zaključuje da sa porastom odnosa Ha temperatura u celom poprečnom preseku kanala opada. Srednja temperatura je najviša za vrednost odnosa  $\text{Ha} = 0.3$ .



Slika 6.19 Bezdimenziona uzdužna brzina za različite vrednosti  $\gamma_2$  i  $\phi$



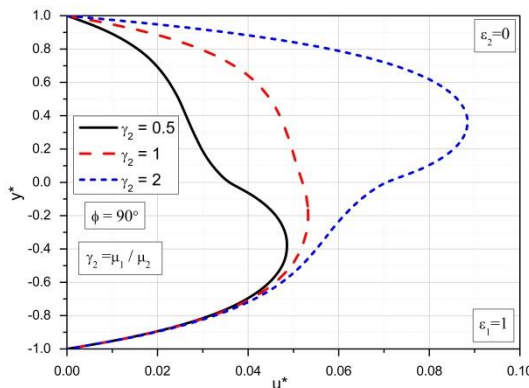
Slika 6.20 Bezdimenziona temperatura za različite vrednosti  $\gamma_2$  i  $\phi$

Na slikama 6.19 i 6.20 prikazani su rasporedi bezdimenziione brzine i bezdimenziione temperature za različite vrednosti odnosa viskoznosti tečnosti u donjoj i gornjoj polovini kanala i za različite uglove nagiba kanala, respektivno. Rezultati su dati za slučaj kada se menjala tečnost u gornjoj polovini kanala, dok je u donjoj polovini bila ista tečnost.

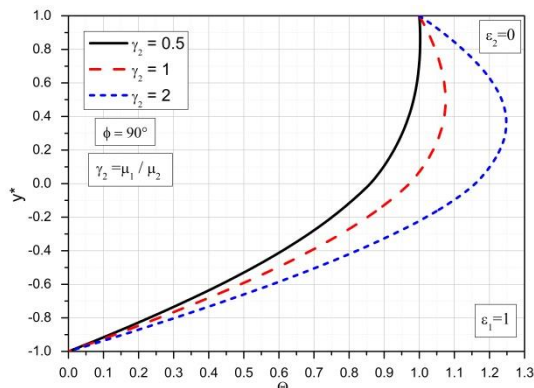
Sa slike 6.19 se zaključuje da su za iste uglove nagiba kanala brzine tečnosti u celom poprečnom preseku kanala veće za veće vrednosti odnosa  $\gamma_2$  tj. za manje dinamičke viskoznosti u gornjoj polovini kanala. Veći su i tangencijalni naponi na gornjem zidu kanala, dok su na donjem skoro nepromenjeni. U okolini donjeg zida brzina se vrlo malo menja, dok je u ostalom delu poprečnog preseka kanala ova promena značajna. Brzine su maksimalne u gornjoj polovini kanala za  $\gamma_2 = 2$ , a u donjoj polovini kanala za  $\gamma_2 = 0.5$  jer je u tom slučaju u gornjoj polovini kanala tečnost dva puta veće dinamičke viskoznosti od dinamičke viskoznosti u donjoj polovini kanala. U slučaju da je u gornjoj polovini kanala tečnost velikog

koeficijenta dinamičke viskoznosti moglo bi njen kretanje značajno da se uspori. Za iste vrednosti veličine  $\gamma_2$  većim nagibnim uglovima kanala odgovaraju manje brzine tečnosti u kanalu i manji tangencijalni naponi na zidovima kanala.

Sa slike 6.20 se zaključuje da su za iste nagibne uglove kanala temperature tečnosti u kanalu niže za manje vrednosti veličine  $\gamma_2$ , a količine transportovane toplota sa tečnosti na gornji zid kanala manje. Za iste vrednosti veličine  $\gamma_2$  temperature tečnosti u kanalu su niže za veće uglove nagiba kanala, a količine transportovane toplota sa tečnosti na gornji zid manje.



Slika 6.21 Bezdimenziona uzdužna brzina za različite vrednosti  $\gamma_2$  i  $\phi = 90^\circ$



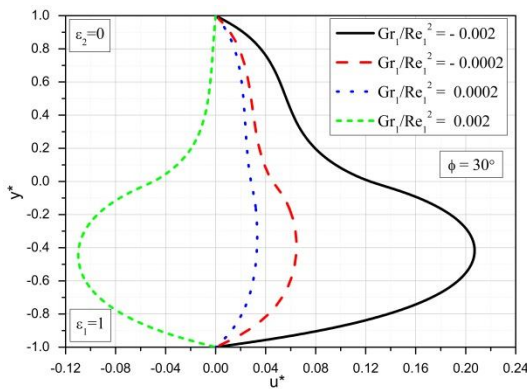
Slika 6.22 Bezdimenziona temperatura za različite vrednosti  $\gamma_2$  i  $\phi = 90^\circ$

Na slikama 6.21 i 6.22 prikazani su rasporedi bezdimenziione brzine i bezdimenziione temperature za vertikalni kanal, a za različite vrednosti veličine  $\gamma_2$  respektivno. Desna polovina kanala je porozna, a leva "slobodna". U desnoj polovini kanala je tečnost stalne viskoznosti, a u levoj polovini se menja tečnost pa samim tim i viskoznost. Rezultati su dati za slučaj kada je Hartmann-ov broj za tečnost u levoj polovini kanala veći od Hartmann-ovog broja u desnoj polovini kanala.

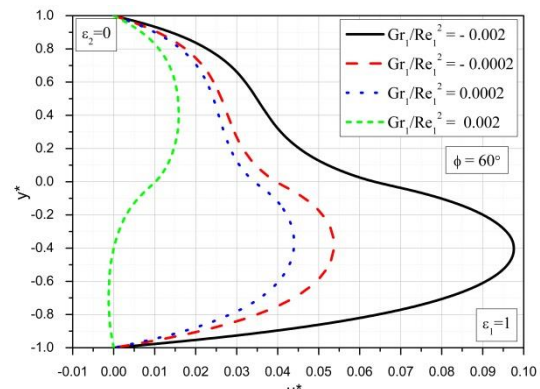
Sa slike 6.21 se zaključuje da većim vrednostima veličine  $\gamma_2$  tj. manjim viskoznostima tečnosti u levom delu kanala odgovaraju veće brzine u celom

poprečnom preseku kanala, veći tangencijalni naponi na levom zidu kanala dok su tangencijalni naponi na desnom zidu kanala gotovo nepromjenjeni. Za  $\gamma_2 = 2$  maksimalna brzina je u levoj polovini kanala, dok su za  $\gamma_2 = 1$  i  $\gamma_2 = 0,5$  maksimalne brzine su u desnoj polovini kanala. U okolini desnog zida kanala brzine se za različito  $\gamma_2$  malo razlikuju dok su u ostalom delu poprečnog preseka razlike značajne. Kako je i očekivano brzine tečnosti u vertikalnom kanalu su manje od brzina tečnosti u nagnutom kanalu, ako su ostali uslovi (veličine) isti.

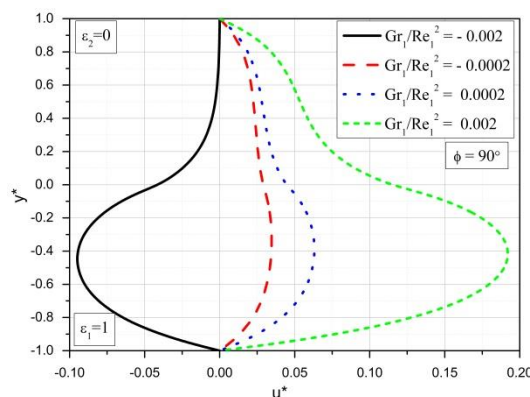
Sa slike 6.22 se zaključuje da većim vrednostima  $\gamma_2$  odgovaraju više temperature u kanalu i veće količine topline transportovane sa tečnosti na levi zid kanala. Maksimalne temperature su u levoj polovini kanala.



Slika 6.23 Bezdimenziona uzdužna brzina za različite vrednosti  $Gr_i/Re_i^2$  i  $\phi = 30^\circ$



Slika 6.24 Bezdimenziona brzina za različite vrednosti  $Gr_i/Re_i^2$  i  $\phi = 60^\circ$



Slika 6.25 Bezdimenziona uzdužna brzina

## Poglavlje 6

---

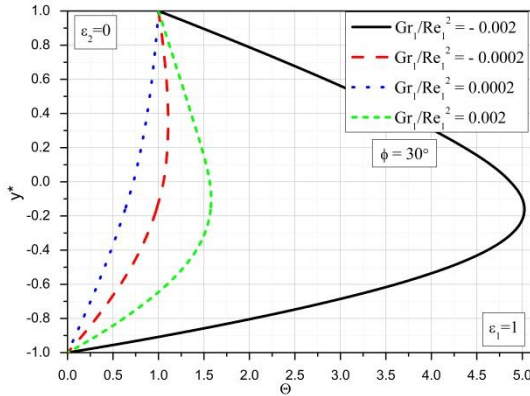
za različite vrednosti  $Gr_l/Re_l^2$  i  $\phi = 90^\circ$

Na slikama 6.23, 6.24 i 6.25 prikazani su rasporedi bezdimenziione brzine za različite vrednosti odnosa  $Gr_l/Re_l^2$  i uglove nagiba kanala u odnosu na horizontalnu ravan od  $30^\circ, 60^\circ$  i  $90^\circ$ , respektivno. Donja polovina kanala, odnosno desna polovina kanala kod vertikanog kanala, je porozna, a gornja polovina odnosno leva polovina kod vertikalnog kanala je "slobodna". U donjoj polovini kanala je fluid manje viskoznosti i manje elektroprovodnosti u odnosu na fluid u gornjoj polovini kanala.

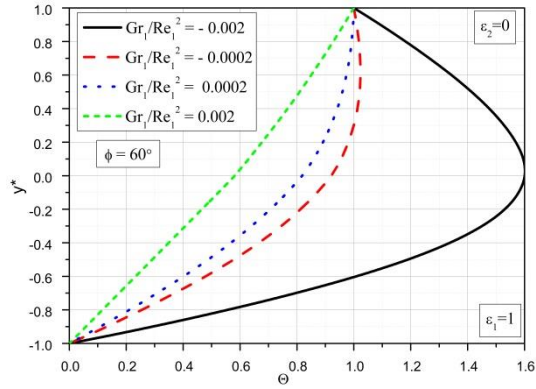
Sa ovih slika se zaključuje da je za slučajeve nagnutih kanala brzina najveća za najveću pozitivnu vrednost navedenog odnosa i opada kako ovaj odnos opada. Za negativnu vrednost odnosa -0,0002 ova brzina je, još uvek, smjer Ox ose, dok je za vrednost -0,002 ona suprotnog smera od Ox ose za  $\phi = 30^\circ$ , a suprotnog smera u delu donje polovine kanala i istog smera kao Ox osa u većem delu kanala za  $\phi = 60^\circ$ . Razlog ovome je veći intenzitet i promjenjen smer uzgonske sile. Za pozitivne vrednosti i malu apsolutnu vrednost negativnog odnosa brzine su maksimalne u donjoj polovini kanala što je posledica manje viskoznosti fluida i manje vrednosti Hartmann-ovog broja u odnosu na fluid u gornjoj polovini kanala.

Za slučaj vertikalnog kanala, slika 6.25, za negativne vrednosti odnosa  $Gr_l/Re_l^2$  i malu pozitivnu vrednost brzine su smjer suprotnog smeru gravitacionog polja, a za velike pozitivne vrednosti one su smjer kao i gravitaciono polje. Maksimalne brzine su u poroznom delu kanala tj. u njegovoj desnoj polovini. Razlog ovome je manja gustina fluida i manji Hartmann-ov broj u ovoj polovini kanala.

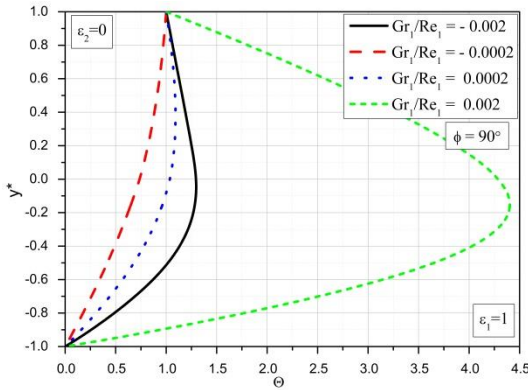
## Poglavlje 6



Slika 6.26 Bezdimentziona temperatura za razlicite vrednosti  $Gr_l/Re_l^2$  i  $\phi = 30^\circ$



Slika 6.27 Bezdimentziona temperatura za razlicite vrednosti  $Gr_l/Re_l^2$  i  $\phi = 60^\circ$



Slika 6.28 Bezdimentziona temperatura za razlicite vrednosti  $Gr_l/Re_l^2$  i  $\phi = 90^\circ$

На slikama 6.26, 6.27 i 6.28 prikazani su rasporedi bezdimenzione temperature za razlicite vrednosti odnosa  $Gr_l/Re_l^2$  i razlicite uglove nagiba kanala.

Sa slike 6.26 i 6.27 se zaključuje da je temperatura u kanalu maksimalna za vrednost odnosa 0,002 i to za  $\phi = 30^\circ$  u donjoj polovini kanala, a za  $\phi = 60^\circ$  u okolini sredine kanala. Ovo se objasjava činjenicom da su u ovom delu kanala i za ovu vrednost odnosa i brzine maksimalne pa je i kolicina toplote koja se oslobađa zbog poroznosti sredine dominantna. Za slučaj vertikalnog kanala na slici 6.28 maksimalna temperatura je u donjoj polovini kanala za vrednost odnosa -0,002, a minimalna za vrednost odnosa 0,0002 što se objasjava kolicinama toplote zbog

## Poglavlje 6

---

poroznosti sredine koje su proporcionalne kvadratima brzina. Maksimalna količina topline koja se transportuje sa tečnosti na levi zid kanala za vrednost odnosa - 0,002, dok za vrednost 0,0002 i ne postoji.

# 7. Numeričke simulacije

## 7.1 Izbor softvera za simulacije

Savremeni razvoj tehničkih nauka tesno je povezan sa širokom primenom računara. Računari daju mogućnost brzog i tačnog računanja, praćenja i čuvanja velike količine informacija, realizaciju dugih i komplikovanih izračunavanja bez učešća čoveka. To je omogućilo istraživačima da se posvete detaljnem matematičkom modeliranju, čime se skraćuje, a u nekim slučajevima čak i isključuje potrebu laboratorijskih ispitanja. Može se govoriti o prelasku od fizičkog ka numeričkom eksperimentu.

Numeričke simulacije koriste se za rešavanje različitih kompleksnih zadataka. Njihova primena oslanja se na korišćenje složenih algoritama na osnovu kojih se sastavljaju različiti programi za računare. Danas postoji veliki broj već napravljenih programa koji su dostupni istraživačima. Najčešće korišćen program od strane inženjera koji sadrži alate za simuliranje strujanja fluida i analizu dobijenih rezulata je Ansys CFX.

Za ovaj deo rada izabran je Ansys CFX softver za izvođenje numeričkih simulacija strujanja (ICEM-CFD, CFX-Pre, CFX-Solver i CFX-Post). Ansys CFX softver bazira se na metodi konačnih zapremina [198]. To znači da se domen u kome je strujanje deli na male podregione i za svaki od njih se jednačine diskretizuju i rešavaju iterativno. Numerička procedura kod CFX softvera je takva da se najpre rešavaju impulsne jednačine. Posebnu pažnju treba obratiti pri modeliranju porozne sredine jer model porozne sredine dodaje pad impulsa u glavne impulsne jednačine. Takođe model porozne sredine u Ansys CFX softveru prepostavlja da je poroznost izotropna i da može da varira sa mestom i vremenom. Hidrodinamičke jednačine (za brzinu i pritisak) se rešavaju kao samostalni sistem.

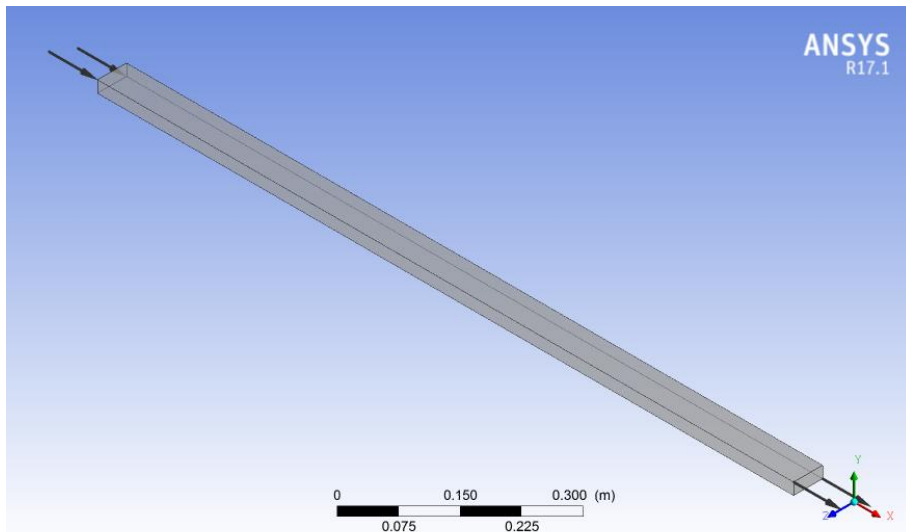
Proces izvođenja simulacija se sastoji od formiranja geometrije i mreže, definisanja početnih i graničnih uslova i osobina fluida, numeričkog rešavanja formiranih jednačina u definisaom domenu i post-procesiranja rezultata simulacije.

Složenost modeliranja poroznih sredina u bilo kom programu je veoma velika jer je modeliranje i povezivaje hiljada mikro pora teško i dugotrajno. U softveru Ansys CFX je pomoću zapreminskog osrednjavanja svojstva mikro skale porozne sredine (veličine i geometrije pora) rešavanje polja protoka zamenjeno ekvivalentnim kontinuumom u većoj skali i opisan novim svojstvima kao što su poroznost, permeabilnost, relativna propustljivost. Ovaj koncept reprezentativne elementarne zapremine (REV) je fundamentalan za matematički opis protoka fluida i transporta u poroznim sredinama. S jedne strane REV mora biti dovoljno veliki da izbegne neželjene fluktuacije prosečnih svojstava, a sa druge strane mora biti dovoljno mali da bi pružio prostornu zavisnost ovih veličina. Prema tome polje protoka se izračunava za porozni domen u REV skali sa novim prosečnim veličinama.

## 7.2 Formiranje modela i mreže za simulacije

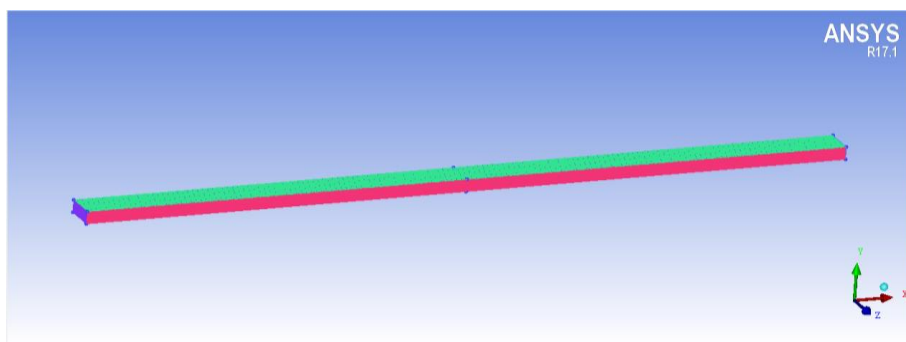
Model kanala u kome će se razmatrati strujanje je dimenzija 1200 mm x 50 mm x 20 mm i definisani su granični uslovi na ulazu, zidovima i izlazu. Na ulazu je konstantna brzina strujanja fluida, na izlazu iz strujnog domena konstantan atmosferski pritisak, dok na zidovima važi uslov da nema klizanja. Najpre se vrši analiza uticaja gustine mreže kod laminarnog strujanja bez uticaja magnetnog polja, a zatim i za veće vrednosti Hartmann-ovog broja. Na ovaj način se sprovodi test "nezavisnosti" mreže i utvrđuje minimalna dužina domena strujanja tako da se postigne potpuno razvijeno strujanje. Ovo se radi kako bi se definisala dovoljna ali ne i prevelika gustina mreže koja obezbeđuje slaganje sa laminarnim profilom brzine pri strujanju fluida između paralelnih ploča, jer za ovaj slučaj strujanja

postoji analitičko rešenje. Drugi razlog je tačno utvrđivanje dužine domena u pravcu strujanja kako je već ranije rečeno, koji je neophodan da se od uniformne brzine na ulazu postigne profil potpuno razvijenog strujanja [199].



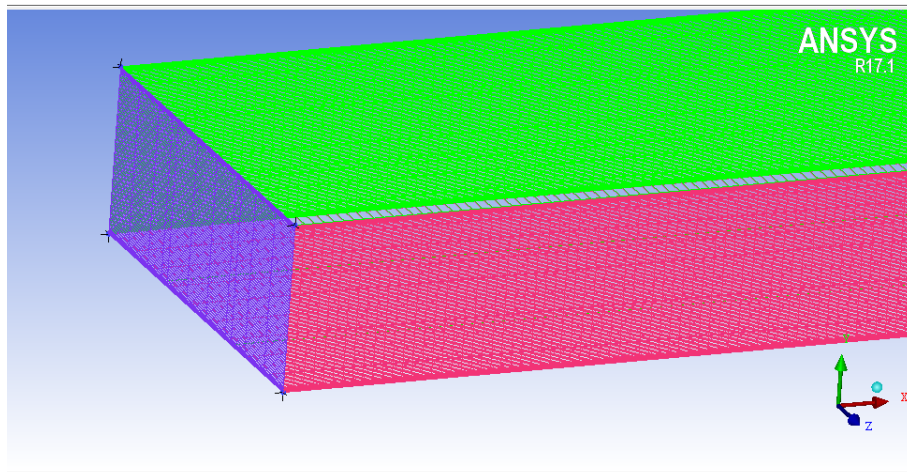
Slika 7.1 Model kanala u CFX-u

Za ovako definisan model sprovedene su simulacije strujanja i nakon dosta analiza utvrđena je mreža koja je dala dobro slaganje sa laminarnim profilom brzine.



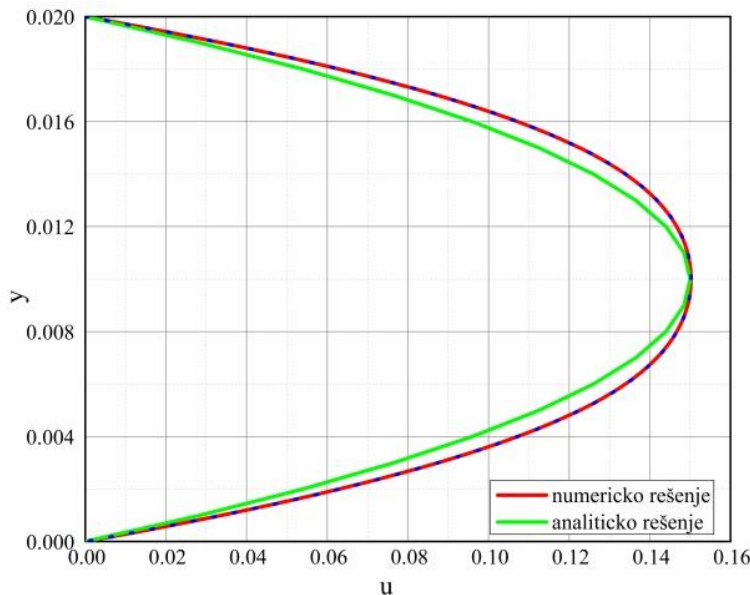
Slika 7.2 Mreža korišćena za simulacije

Mreža u pravcu upravnog na ploče ima 150 čvorova. Prvi element ima visinu 0.015 mm, a geometrijski red je progresije 1.2. Maksimalna visina kontrolne zapremine iznosi 0.15 mm. U pravcu strujanja mreža ima 1000 čvorova, uniformnog je tipa i svaka kontrolna zapremina je dužine 1.2 mm. U y pravcu ima 150 celija. Prva celija je 0.015 mm sa geometrijskom progresijom 1.2 a maksimalno rastojanje 0.15 mm. U z pravcu ima 10 celija, i sve su uniformne po 5.55 mm. Prikaz ove mreže dat je na slici 7.3



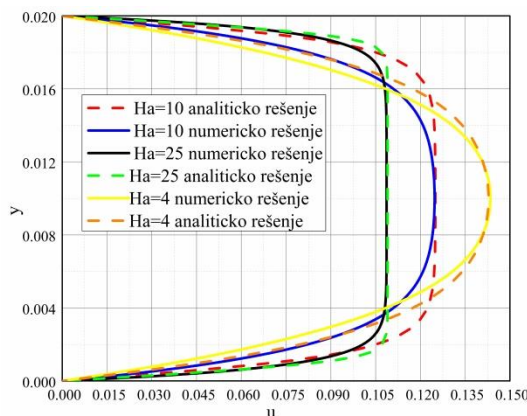
Slika 7.3 Detalj domena strujanja

Provera mreže izvršena je poređenjem numeričkih i analitičkih rešenja i prikazana je na slici 7.4



Slika 7.4 Poređenje analitičkog i numeričkog rešenja za laminarno strujanje

Za ovako definisan model urađene su i simulacije strujanja za različite intenzitete magnetnog polja i rezultati su prikazani na slici 7.5. Poređenjem i ovih rešenja dobijeni su zadovoljavajući rezultati sa veoma malim, gotovo zanemarljivim greškama.



Slika 7.5 Poređenje analitičkog i numeričkog rešenja za različite vrednosti Hartmann-ovog broja

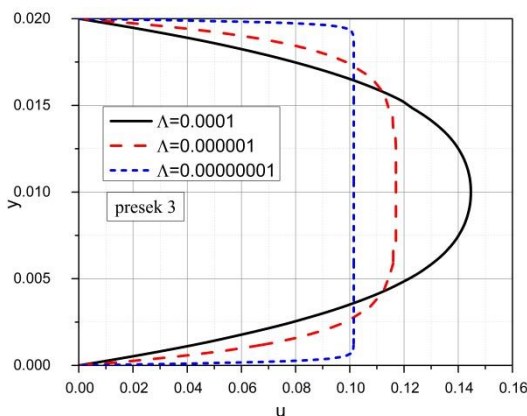
Razvijen model koji je dao odgovarajuće rezultate se ne menja i koristi se za dalje analize.

Poređenjem analitičkih i numeričkih rezultata i testom "nezavisnosti" mreže utvrđeno je da dalje povećavanje broja elemenata ne poboljšava kvalitet rezultata tj. ne smanjuje značajno ionako već malu numeričku grešku. Ovde je potrebno napomenuti da se simulacije vrše u realnom 3D domenu dok su analitička rešenja ravanskih problema.

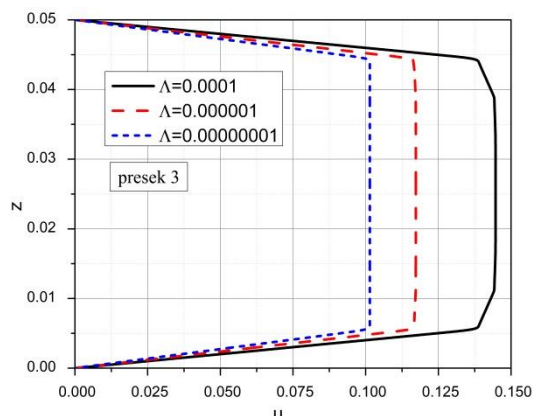
Kako su modeli laminarnog strujanja i Hartmann-ovog strujanja pokazali dobra poklapanja sa analitičkim rezultatima ovakav model sa definisanim numeričkom mrežom i početnim i graničnim uslovima se dalje u radu razvija i koristi za probleme analize MHD strujanja u poroznoj sredini.

### 7.3 Rezultati numeričkih simulacija za horizontalni porozni kanal

Deo rezultata dobijenih simulacija za horizontatalni porozni kanal dat je na slikama u vidu grafika koje slede u nastavku.



Slika 7.6 Bezdimenziona uzdužna brzina za različite vrednosti poroznosti

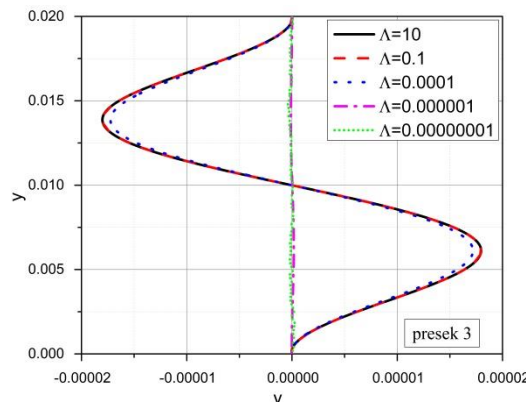


Slika 7.7 Bezdimenziona brzina за разлиčite вредности poroznosti

Na slikama 7.6 i 7.7 data je uzdužna brzina tj. brzina u pravcu x ose kanala za različite vrednosti poroznosti u jednom poprečnom preseku kanala (za fiksnu vrednost koordinate x). Na slici 7.6 fiksirana je i vrednost koordinate z, a na slici 7.7 fiksirana je i vrednost koordinate y. Tako na slici 7.6 imamo promenu uzdužne brzine u odabranom fiksnom preseku u funkciji koordinate y, a na slici 7.7 u funkciji koordinate z. Ovde se simulacije rade za stalno polje brzine tj. za konstantan protok, a kod analitičkih rešenja za  $\partial p / \partial x = \text{const.}$

Treba se podsetiti da je kod određivanja analitičkog rešenja zbog uvedenih aproksimacija ova brzina zavisila samo od koordinate y.

Na slici 7.6 se zapaža da se sa smanjenjem poroznosti smanjuje i uzdužna brzina što pokazuje i analitičko rešenje ovog problema. Sa slike 7.7 se zapaža da se uzdužna brzina po širini kanala gotovo ne menja tj. skoro da ne zavisi od koordinate z što opravdava uvodenje aproksimacija prilikom određivanja analitičkog rešenja.



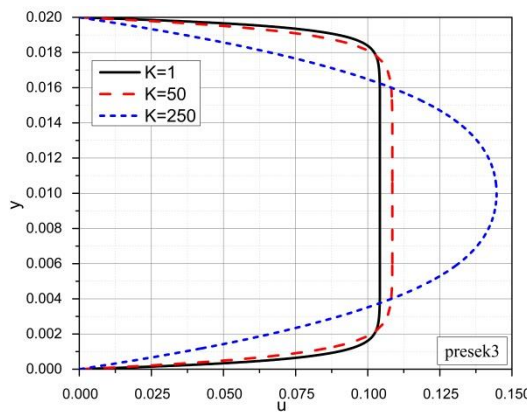
Slika 7.8 Bezdimentziona poprečna brzina za različite vrednosti poroznosti

Na slici 7.8 predstavljena je bezdimenziona poprečna brzina u jednom poprečnom preseku kanala u funkciji koordinate y za različite vrednosti poroznosti.

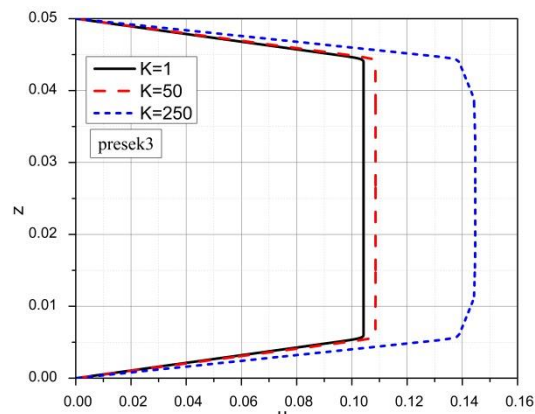
Zidovi kanala su nepropustljivi i na njima ne postoje izvori/ponori. Sa slike se zapaža da za male vrednosti poroznosti nema promene ove brzine dok su za veće vrednosti poroznosti ove promene vrlo male, manje od 1%, tako da se može smatrati da je ova brzina konstantna u poprečnom preseku kanala što je dobijeno i analitičkim rešenjem. Dakle ova slika opravdava naše analitičke modele. Brzina v se zanemaruje jer je 10000 puta manja od brzine u pragu ose x.

Na slikama 7.9 i 7.10 prikazana je bezdimenziona uzdužna brzina u poprečnom preseku kanala za različite vrednosti faktora otpora sredine. Na slici 7.9 je fiksirana i vrednost koordinate z a na slici 7.10 je fiksirana i vrednost koordinate y.

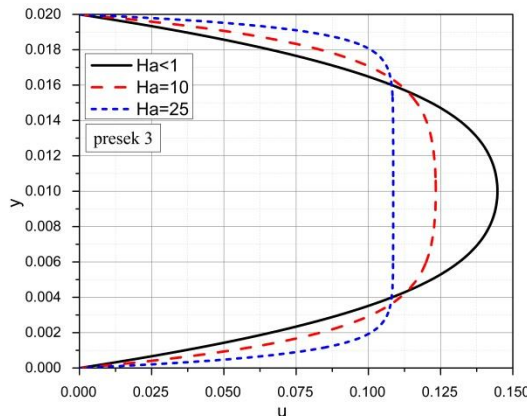
Sa slike 7.9 se zapaža da sa povećanjem ovog faktora brzina u poprečnom preseku kanala raste, a sa slike 7.10 se vidi da ova brzina skoro da ne zavisi od koordinate z.



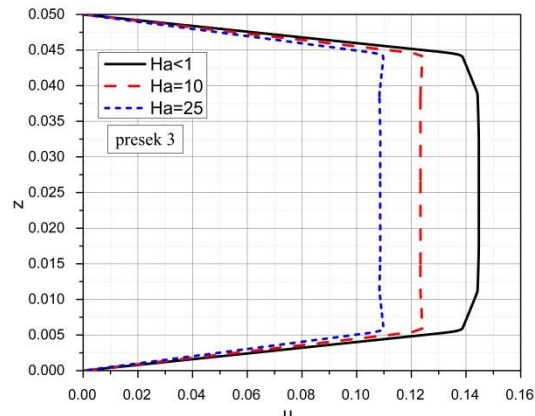
Slika 7.9 Bezdimenziona uzdužna brzina za različite vrednosti faktora otpora sredine



Slika 7.10 Bezdimenziona uzdužna brzina za različite vrednosti faktora otpora sredine



Slika 7.11 Bezdimenziona uzdužna brzina za različite vrednosti Hartmann-ovog broja

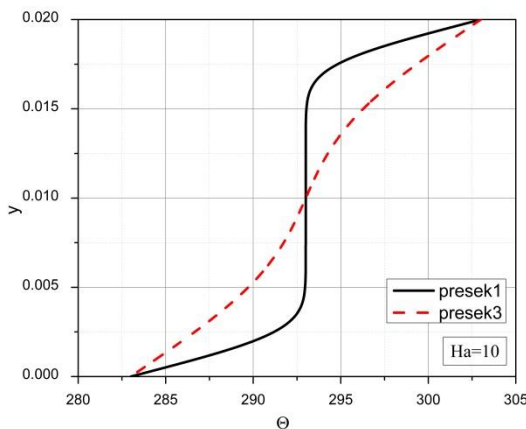


Slika 7.12 Bezdimenziona uzdužna brzina za različite vrednosti Hartmann-ovog broja

Na slikama 7.11 i 7.12 data je bezdimenziona uzdužna brzina u jednom poprečnom preseku kanala za različite vrednosti Hartmann-ovog broja. Na slici 7.11 fiksirana je i vrednost koordinate  $z$ , a na slici 7.12 fiksirana je i vrednost koordinate  $y$ .

Sa slike 7.11 se zapaža da povećanjem vrednosti Hartmann-ovog broja se poravnava profil uzdužne brzine što je dobijeno i analitičkim rešenjem. Sa slike 7.12 se zapaža da za sve vrednosti Hartmann-ovog broja ova brzina skoro da ne zavisi od koordinate  $z$  što opravdava uvedene prepostavke pri određivanju analitičkog rešenja.

I ovde je neophodno naglasiti da su simulacije vršene za konstantan protok što je uobičajeno. U slučaju zadavanja pritiska na ulazu i izlazu iz domena, rešenja su manje tačnosti zbog problema osrednjavanja pritiska u svim kontrolnim zapreminama na ulazu i izlazu iz domena uz promenu brzine u ovim presecima.



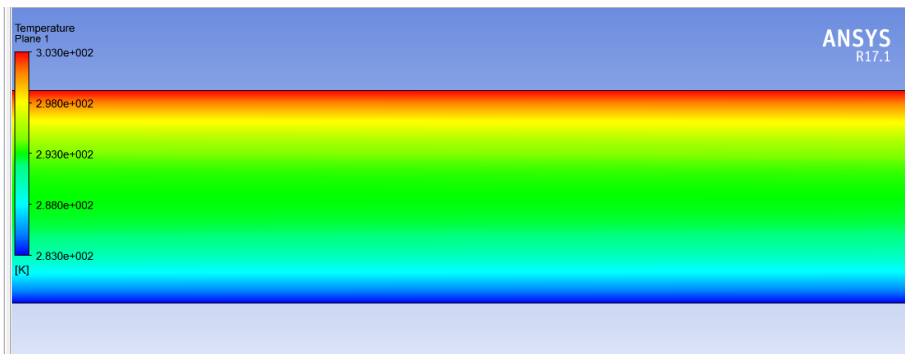
Slika 7.13 Temperatura u različitim presecima kanala

Na slici 7.13 data je bezdimenziona temperatura za dva različita preseka od kojih je presek 1 blizu ulaza u kanal, a presek 3 blizu izlaza kanala. U donjoj polovini poprečnog preseka kanala ova temperatura je viša na ulazu u kanal u preseku 1 od temperature u preseku 3, dok je u gornjoj polovini poprečnog preseka kanala obrnuto.

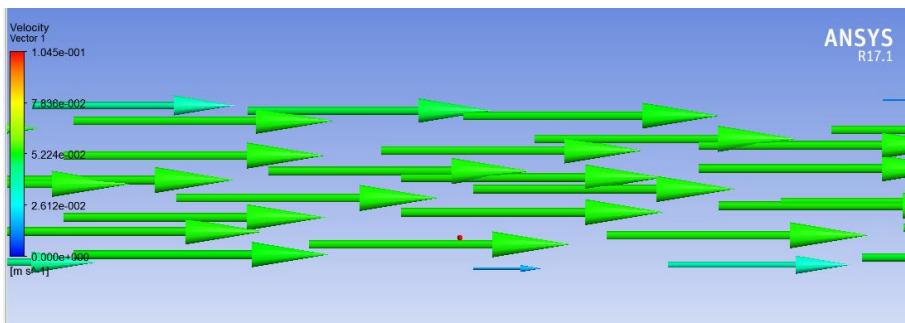
Neki od dobijenih rezultata biće prikazani i slikama u boji.



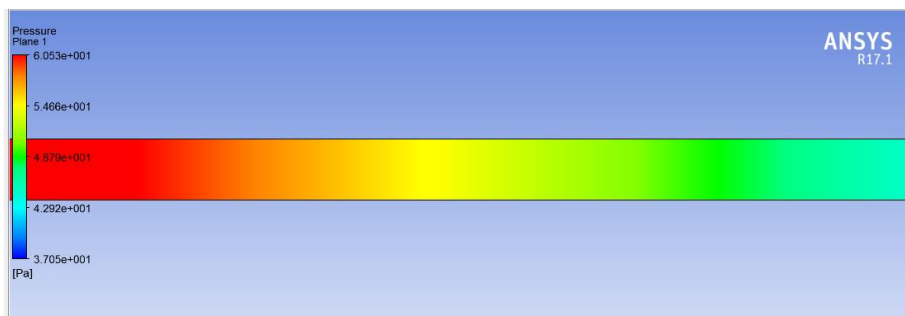
Slika 7.14 Polje brzine na ulazu u kanal



Slika 7.15 Polje temperature u kanalu



Slika 7.16 Vektorski prikaz brzine

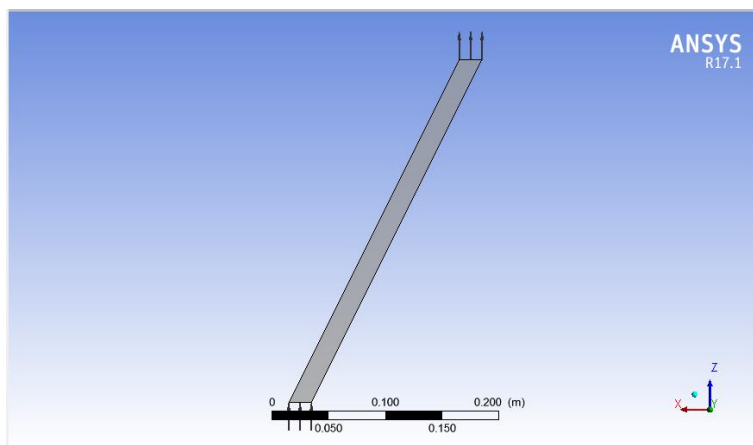


Slika 7.17 Polje pritiska u kanalu

## 7.4 Rezultati numeričkih simulacija za kos i porozni kanal

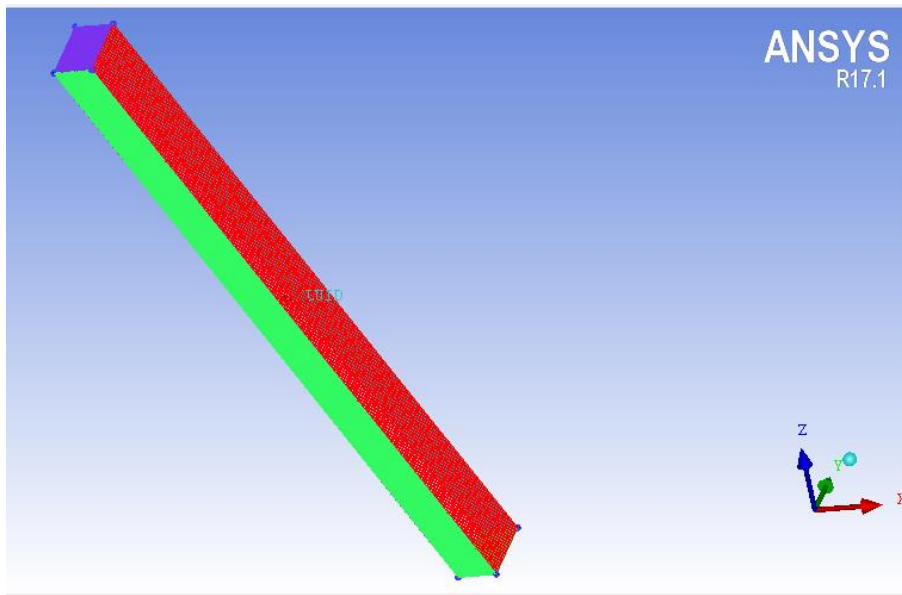
U ovom delu rada izvršena je numerička simulacija strujanja fluida u kosom kanalu između ploča koje su na konstantnim, a različitim temperaturama. Prisutno spoljašnje magnetno polje je homogeno i upravno na ploče. Sredina između ploča je porozna.

Postavljeni granični uslovi na ulazu su konstantne komponente  $u$  i  $w$ , dok je komponenta  $u$  u  $y$  pravcu jednaka nuli. Posledica ovog graničnog uslova je konstantni protok u kanalu. Kao granični uslov na izlazu iz kanala zadat je konstantan atmosferski pritisak. Strujanje u kanalu odvija se uz prisustvo sile potiska. Sila gravitacije je suprotna smeru  $z$  ose. Na svim zidovima definisani su uslovi da nema klizanja. Levi zid je na višoj temperaturi, dok je desni zid na nižoj. Druga dva zida paralelna ravni  $zx$  su na konstantnim temperaturama koja je jednakata temperaturi fluida na ulazu.

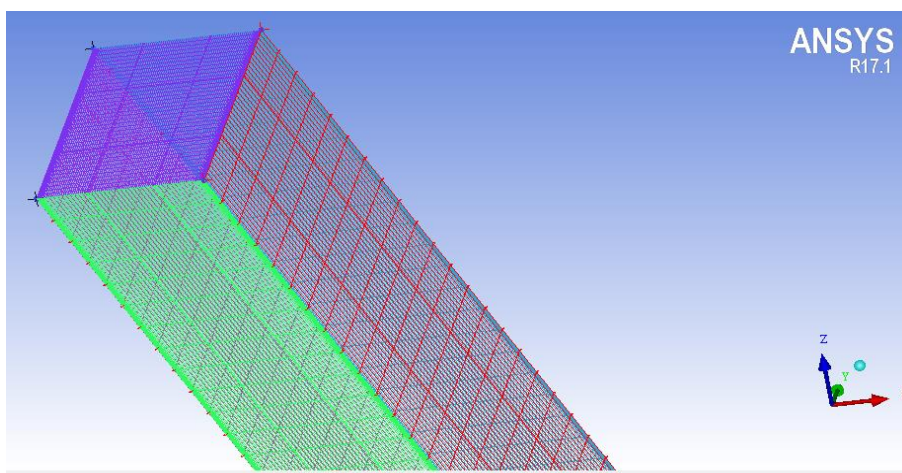


Slika 7.18. Model kosog kanala u ICEM-CFD-u

Mreža za kosi kanal formirana je na sledeći način: u x pravcu ima 100 čvorova, prva ćelija je veličine 0.02 mm sa faktorom progresije 0.02 mm na oba zida i maksimalna veličina ćelije je 0.248 mm. U y pravcu ima 40 čvorova i sve ćelije su uniformne po 1.28 mm. U z pravcu ima 100 čvorova i takođe su uniformne po 3.38 mm. Formirana mreža prikazana je na slici 7.20

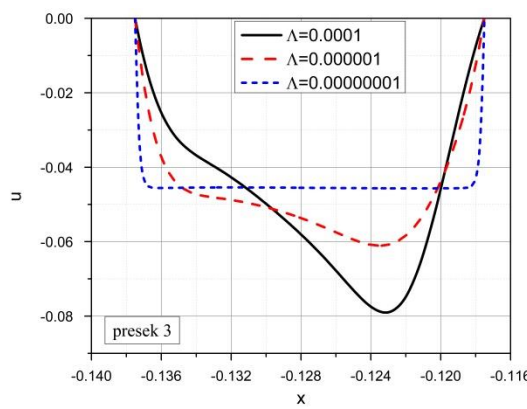


Slika 7.19. Domen strujanja u kosom kanalu

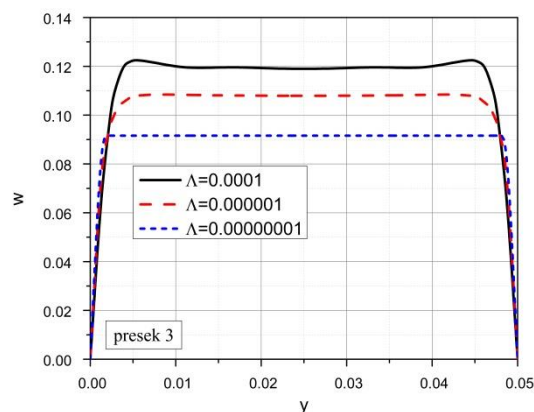


Slika 7.20 Detalj domena strujanja u kosom kanalu

Rezultati dobijeni u Ansys CFX-u mogu se prikazati na više načina. Deo rezultata dobijenih numeričkim simulacijama prikazan je na sledećim slikama u formi grafika.



Slika 7.21 Uticaj faktora poroznosti na komponentu brzine u x pravcu

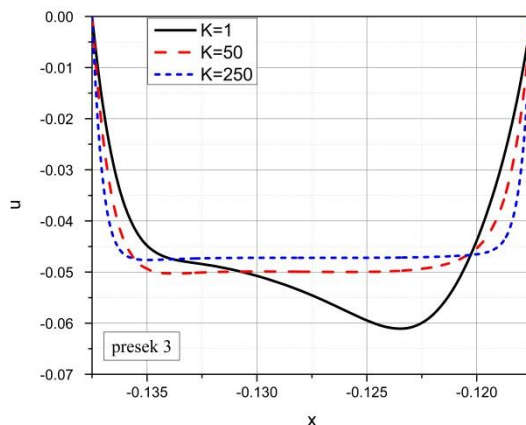


Slika 7.22 Uticaj faktora poroznosti na komponentu brzine u z pravcu

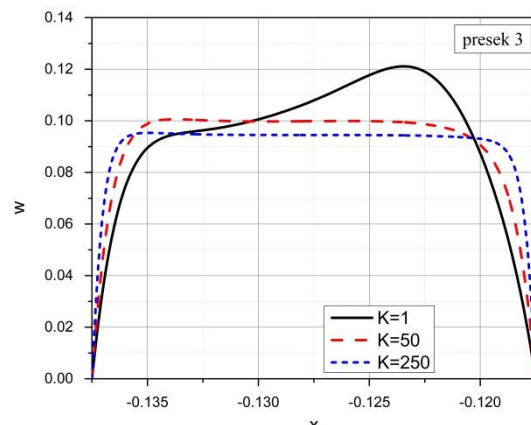
Tako je na slici 7.21 predstavljena projekcija brzine na osu x u preseku koji se nalazi blizu izlaza kanala (presek 3), a na slici 7.22 je predstavljena projekcija ove brzine na osu z.

Sa ovih slika se zapaža da je brzina manja za manje vrednosti poroznosti. Profil projekcije brzine na osu x, za najmanju datu vrednost poroznosti, je poravnat u preseku kanala, dok je profil projekcije brzine na osu z poravnat za sve vrednosti poroznosti u celom poprečnom preseku kanala.

## Poglavlje 7



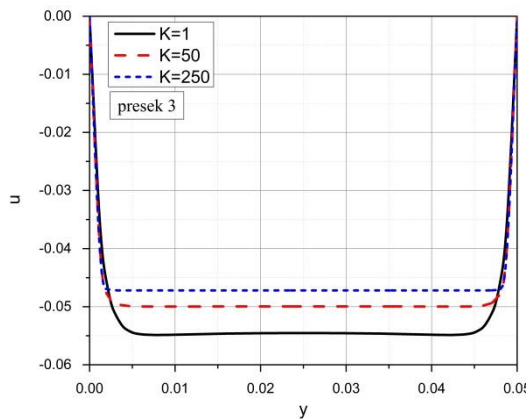
Slika 7.23 Uticaj faktora otpora sredine na komponentu brzine u x pravcu



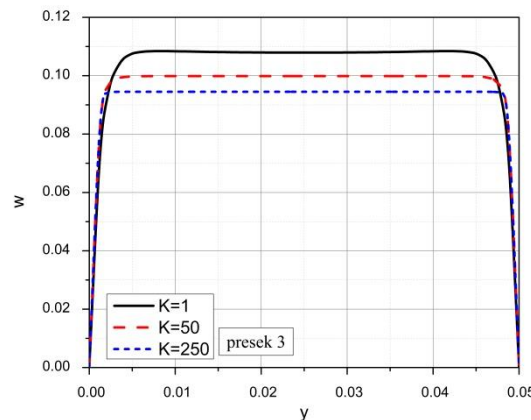
Slika 7.24 Uticaj faktora otpora sredine na komponentu brzine u z pravcu

U Ansys CFX softveru moguće je pored poroznosti definisati i dopunski faktor otpora sredine koji karakteriše materijal ispune. Ove analize predstavljene su na slikama 7.23 i 7.24.

Na slici 7.23 prikazana je projekcija brzine u istom preseku, blizu izlaza kanala, na osu x za različite vrednosti faktora otpora sredine K. Na slici 7.24 je profil projekcije ove brzine na osu z. Zapaža se poravnanje profila i jedne i druge projekcije brzine sa porastom vrednosti faktora otpora sredine.

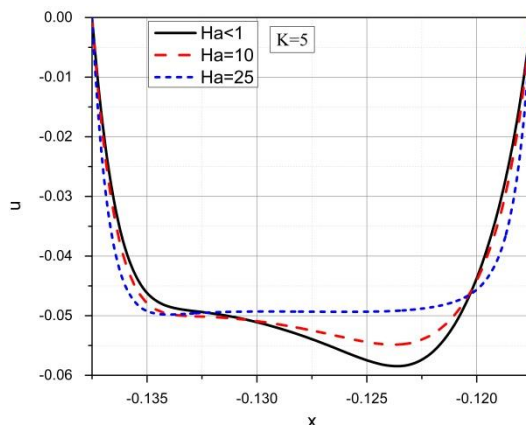


Slika 7.25 Uticaj faktora otpora sredine na komponentu brzine u x pravcu

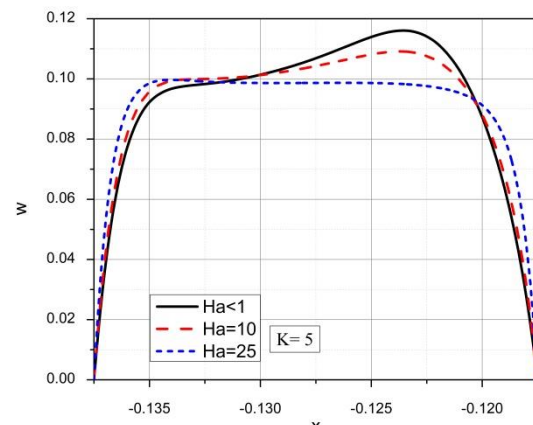


Slika 7.26 Uticaj faktora otpora sredine na komponentu brzine u z pravcu

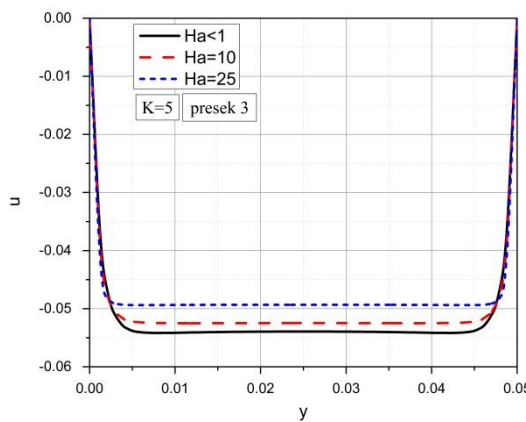
## Poglavlje 7



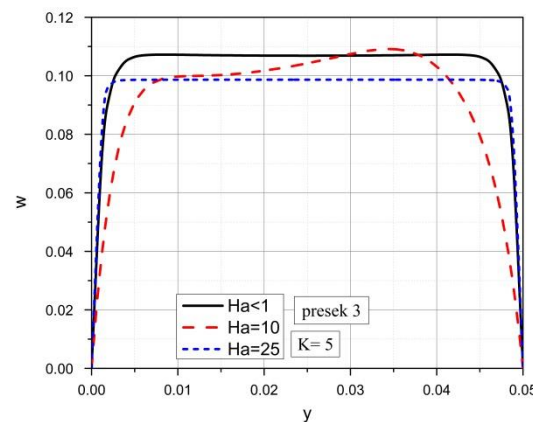
Slika 7.27 Uticaj Hartmann-ovog broja na komponentu brzine u x pravcu



Slika 7.28 Uticaj Hartmann-ovog broja na komponentu brzine u z pravcu



Slika 7.29 Uticaj Hartmann-ovog broja na komponentu brzine u x pravcu



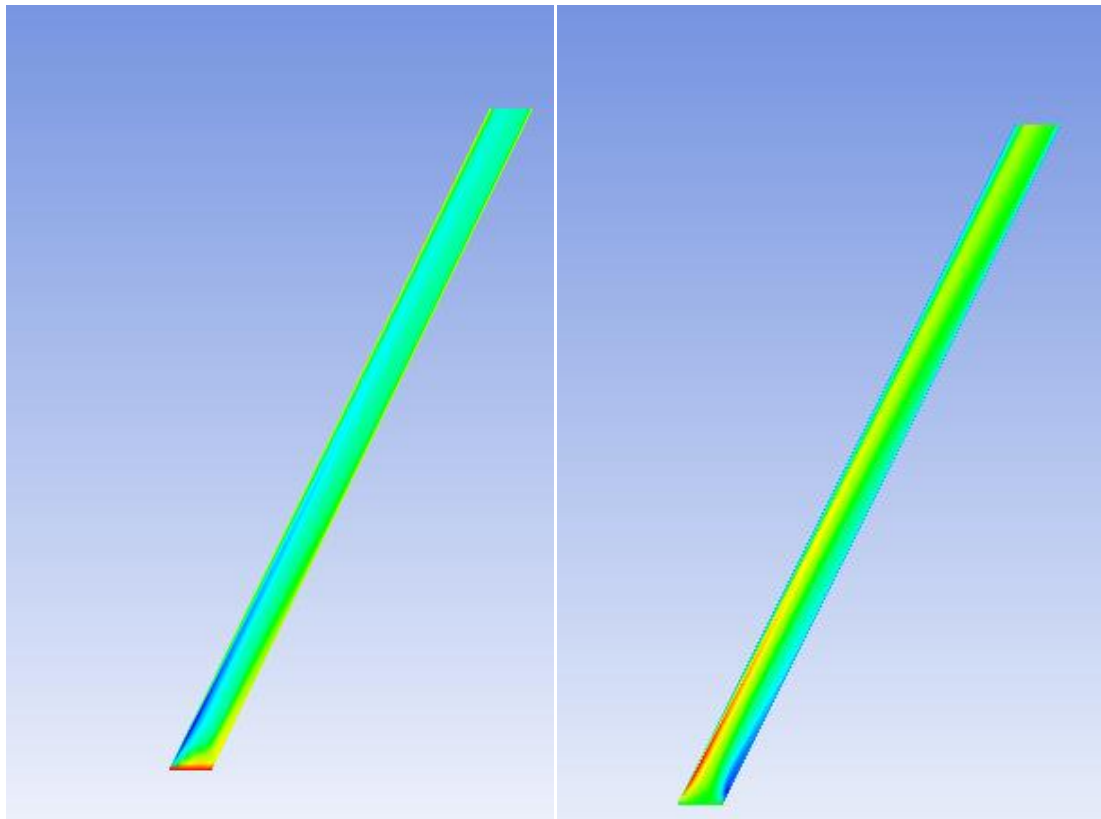
Slika 7.30 Uticaj Hartmann-ovog broja na komponentu brzine u z pravcu

Na slikama 7.25 i 7.26 predstavljene su projekcije brzine na osu x i z u funkciji koordinate y. I sa ovih slika se dolazi do istog zaključka tj. da povećanje faktor otpora sredine poravnava profile ovih projekcija.

Na slikama 7.27 i 7.28 predstavljene su projekcije brzine u istom preseku na ose x i z u funkciji koordinate x za različite vrednosti Hartmann-ovog broja, a na slikama 7.29 i 7.30 u funkciji koordinate y. Sa ovih slika se zapaža da porast

Hartmann-ovog broja dovodi do poravnanja profila ovih projekcija brzine u celom poprečnom preseku kanala.

Ansys CFX pruža mogućnost prikaza dobijenih rezultata i na druge načine. Na slikama koje slede prethodno dobijeni rezultati prikazani su u boji.

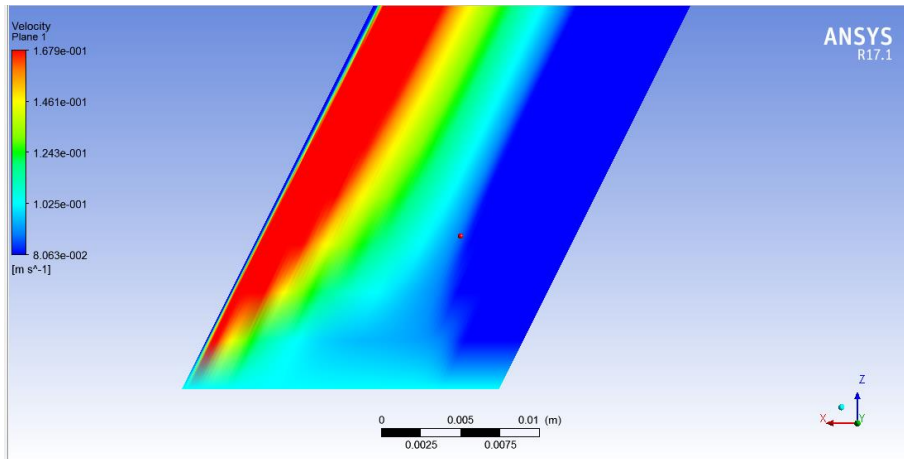


Slika 7.31 Komponenta brzine u u kosom kanalu

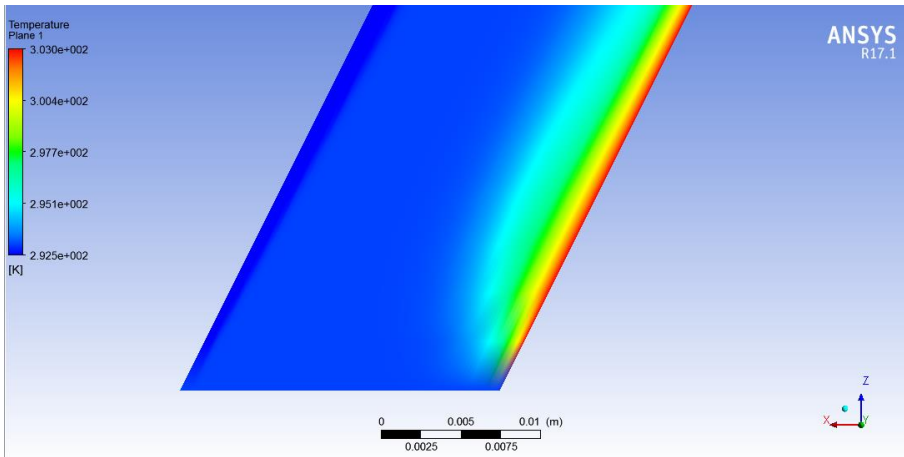
Slika 7.32 Komponenta brzine w u kosom

kanalu

Na slikama 7.33 i 7.34 prikazana su polja ukupne brzine odnosno temperature u kanalu.

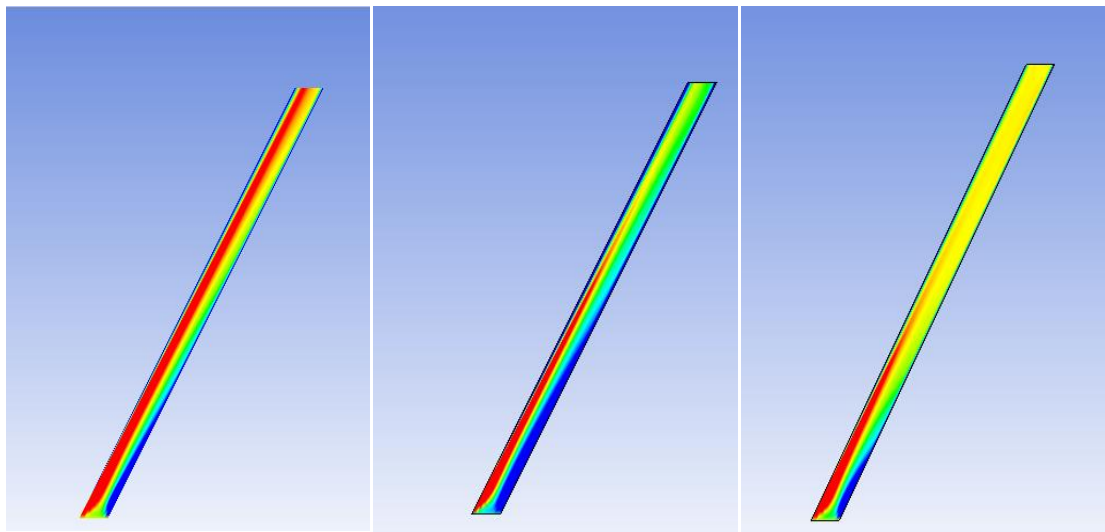


Slika 7.33 Polje ukupne brzine u kosom kanalu



Slika 7.34 Polje temperature u kosom kanalu

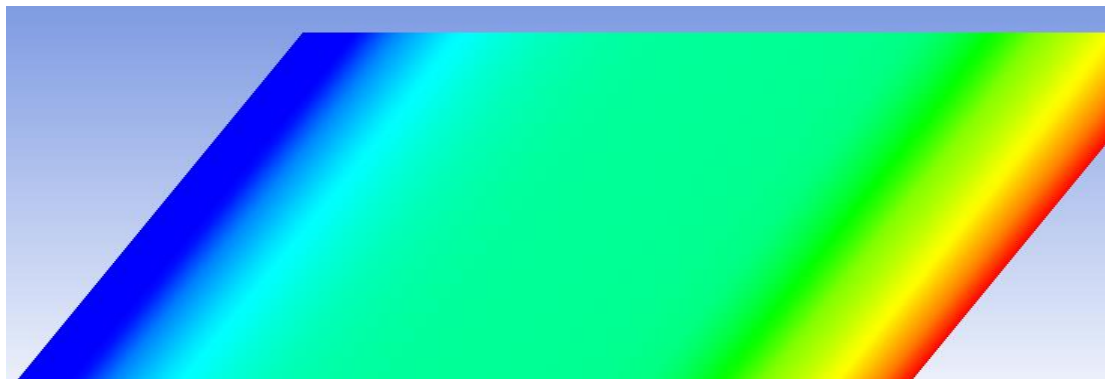
Na slikama 7.35, 7.36 i 7.37 prikazan je uticaj Hartmann-ovih brojeva na polje brzine. Rezultati su prikazani za slučaj kada je  $K = 5$  i  $\Lambda = 0.000001$ .



Slika 7.35 Polje brzine  $Ha < 1$

Slika 7.36 Polje brzine  $Ha = 10$

Slika 7.37 Polje brzine  $Ha = 25$



Slika 7.38 Polje temperature  $Ha < 1$



Slika 7.39 Polje temperature  $Ha=10$



Slika 7.40 Polje temperature  $Ha=25$

## **8. Zaključak**

Ova disertacija obuhvatila je analizu strujanja fluida i prenosa topote u poroznoj sredini između horizontalnih nepokretnih i pokretnih ploča, Poiseuille-ovo i Poiseuille-Couette-ovo strujanje sa uticajem indukovanih magnetnih polja za slučajeve kada su ploče neprovodne ali i elektroprovodne, zatim je analizirano MHD strujanje dva fluida, kombinovano konvektivno MHD strujanje između nagnutih paralelnih ploča sa i bez uticaja indukovanih magnetnih polja, data su rešenja prethodnih problema i za slučajeve kada je jedna od ploča pokretna, analiziran je i problem strujanja dva fluida u poroznoj sredini takođe između nagnutih paralelnih ploča i odradene su numeričke simulacije za horizontalni i kosi porozni kanal. Dati su matematički modeli i njihova analitička rešenja. Vršene su analize uticaja Hartmann-ovog broja, parametra poroznosti, faktora otpora sredine, faktora  $\beta$ , veličine  $G$ , promenljive elektroprovodnosti ploča, uticaj nagiba ploča. Numerički modeli dali su rezultate koji imaju iste tendencije kao i dobijena analitička rešenja. Za svaki od analiziranih problema u disertaciji u okviru odgovarajućeg poglavљa izvedeni su zaključci o uticaju različitih parametara na strujanje i prenos topote u poroznim sredinama.

### **8.1 Zaključak poglavlja 3**

Prvi deo zaključka odnosi se na kanal elektroneprovodnih zidova i probleme razmatrane u bezindukcionej aproksimaciji. U ovom delu daju se prvo zaključci kada su zidovi kanala nepokretni, a zatim kada je gornji zid kanala pokretan.

Zapaža se da povećanje intenziteta primjenjenog magnetnog polja dovodi do smanjenja brzine strujanja tečnosti, a samim tim i do smanjenja protoka u kanalu.

Povećanje intenziteta spoljašnjeg magnetnog polja smanjuje tangencijalne napone na zidovima kanala. Temperatura u kanalu se intenzivnije menja u okolini njegovih zidova za slabija spoljašnja polja. Temperatura u kanalu i specifični toplotni fluks na njegovim zidovima opadaju sa povećanjem jačine spoljašnjeg polja.

Položaj izvora odnosno ponora na zidovima utiče na raspored brzine u kanalu. U okolini zida na kome su ponori intenzivnija je promena brzine, a samim tim veći tangencijalni napon na tom zidu. Veće vrednosti faktora  $\beta$  dovode do sniženja temperature u kanalu.

Veće vrednosti faktora poroznosti kanala dovode do smanjenja brzine i sniženja temperature u kanalu, smanjenja tangencijalnih napona i specifičnog toplotnog fluksa na zidovima kanala.

Promena smera primjenjenog električnog polja može dovesti do promene smera strujanja u kanalu. Raspored temperature u kanalu je, za režim kratkog spoja linearna funkcija rastojanja od zida, za slučaj praznog hoda temperatura u kanalu je viša od temperature u slučaju kratkog spoja.

Kada je gornji zid kanala pokretan, većim vrednostima Hartmann-ovog broja odgovaraju manje brzine i protoci, a više temperature u kanalu, manji tangencijalni naponi na nepokretnom zidu, a veći na pokretnom zidu, i veći specifični toplotni fluksevi na pokretnom zidu, a manji na nepokretnom zidu.

Većim vrednostima faktora  $\beta$  odgovaraju manje brzine, a više temperature u kanalu, veći tangencijalni naponi i specifični toplotni fluksevi na pokretnom zidu, a manji na nepokretnom zidu za slučaj da su na nepokretnom zidu izvori. Za slučaj kada su na pokretnom zidu izvori onda je situacija obrnuta.

Većim vrednostima faktora poroznosti odgovaraju manje brzine i niže temperature u kanalu, veći tangencijalni naponi i specifični toplotni fluksevi na pokretnom zidu, a manji na nepokretnom zidu.

Za režim praznog hoda i kratkog spoja brzine imaju isti smer sa smerom brzine pokretnog zida, dok je za vrednost faktora opterećenja  $K = 1$  smer brzine na delu kanala isti sa smerom brzine pokretnog zida, a na delu suprotan. Temperatura

u kanalu je najniža za režim kratkog spoja, a najviša za režim praznog hoda i za  $K = 1$ .

Zaključci koji dalje slede odnose se na strujanje tečnosti u kanalu kada se u razmatranje uzima i indukovano magnetno polje. U početku se daju zaključci za kanal nepokretnih zidova. Rast Hartmann-ovog broja dovodi do smanjenja uzdužne brzine tečnosti u kanalu i do "poravnjanja" profila brzine, smanjenja tangencijalnih naponi na zidovima kanala, sniženja temperature u kanalu i slabljenja magnetne indukcije indukovanih magnetnih polja u kanalu. Da ne bi bilo zabune, naglašava se da manji tangencijalni naponi i manje brzine odgovaraju slučaju kada je  $\partial p / \partial x$  isto tj. ne održava se isti protok u kanalu.

Rast faktora poroznosti dovodi do smanjenja uzdužne brzine tečnosti u kanalu i do "poravnjanja" profila brzine, smanjenja tangencijalnih naponi na zidovima kanala, sniženja temperature u kanalu, smanjenja specifičnog toplotnog fluksa na zidovima kanala, smanjenja magnetne indukcije indukovanih magnetnih polja.

Rast  $R_m$  broja dovodi do povećanja uzdužne brzine u kanalu i tangencijalnih naponi na zidovima kanala, viših temperatura u kanalu i većim toplotnim fluksevima na zidovima kanala, povećanja intenziteta magnetne indukcije indukovanih magnetnih polja.

Sa rastom apsolutne vrednosti faktora  $\beta$  rastu intenzitet uzdužne brzine u kanalu, temperatura u kanalu i intenzitet magnetne indukcije indukovanih magnetnih polja.

Zaključci koji slede odnose se na kanal čiji je gornji zid pokretan.

Većim vrednostima  $H_a$  broja odgovaraju, u većem delu poprečnog preseka kanala, veći intenziteti uzdužne brzine tečnosti u kanalu, više temperature za  $\beta > 0$  i u većem delu niže temperature za  $\beta < 0$  i manji intenziteti magnetne indukcije indukovanih magnetnih polja.

Sa povećanjem faktora poroznosti smanjuje se brzina tečnosti u kanalu, opada temperatura, u većem delu kanala, smanjuje se intenzitet indukcije

indukovanog magnetnog polja za  $\beta > 0$ , dok za  $\beta < 0$  indukovano magnetno polje može da menja svoj smer za maje vrednosti  $\Lambda$ , a za veće vrednosti  $\Lambda$  je istog smera kao i u slučaju  $\beta > 0$ .

Većim vrednostima  $Rm$  broja odgovaraju veće uzdužne brzine tečnosti u kanalu, tangencijalni naponi na zidovima su skoro nepromenjeni, više su temperature tečnosti u kanalu i veći intenziteti magnetne indukcije indukovanih magnetnih polja.

Većim vrednostima veličine  $G$  tj. kada je dominantno Poiseuille-ovo strujanje, odgovaraju veće vrednosti uzdužne brzine u kanalu, više temperature tečnosti u kanalu, i intenzivnija indukovana magnetna polja u većem delu poprečnog preseka kanala.

Za slučaj  $\beta > 0$  većim vrednostima  $\beta$  odgovaraju manje brzine u kanalu, jača magnetna polja i niže temperature tečnosti u kanalu. Za slučaj  $\beta < 0$  većim apsolutnim vrednostima  $\beta$  odgovaraju veće uzdužne brzine tečnosti u kanalu, jača magnetna polja i više temperature tečnosti u kanalu.

Zaključci koji slede odnose se na kanal nepokretnih elektroprovodnih zidova. Razmatrani su zidovi vrlo male elektroprovodnosti tj. skoro neprovodni, zatim zidovi konačne elektroprovodnosti i na kraju, zidovi vrlo velike elektroprovodnosti odnosno idealne elektroprovodnosti.

Kod kanala čiji su zidovi male elektroprovodnosti (neprovodni) brzina tečnosti je najveća, temperatura srednja i indukovano magnetno polje najslabije u većem delu poprečnog preseka kanala. Za kanal velike elektroprovodnosti (idealno provodnih) zidova brzina tečnosti je srednja, temperatura najniža, a indukovano magnetno polje najjače. Za kanal zidova konačne elektroprovodnosti brzina tečnosti je najmanja, temperatura tečnosti u kanalu najviša, a indukovano magnetno polje srednje u većem delu poprečnog preseka kanala.

## 8.2 Zaključak poglavlja 4

Prvi deo zaključka odnosi se na slučajeve koji su u poglavljima 4.1 i 4.2. Kanal je u režimu kratkog spoja, a propustljivosti njegove gornje i donje polovine mogu biti jednake ili različite.

Zaključuje se da i u slučaju kada su zidovi kanala nepokretni i u slučaju kada je gornji zid pokretan brzina u kanalu opada sa porastom odnosa propustljivosti gornje i donje polovine kanala. Temperatura u kanalu takođe opada čime i količina toplote transportovane sa tečnosti na gornji zid kanala.

Većim vrednostima odnosa Hartmann-ovih brojeva u donjoj i gornjoj polovini kanala odgovaraju manje brzine u kanalu, manji tangencijalni naponi na zidovima kanala i niže temperature u kanalu. U slučaju pokretnog zida manje su količine toplote transportovane od tečnosti na gornji zid, dok u slučaju nepokretnih zidova ovog transporta toplote i nema.

Promena spoljašnjeg električnog opterećenja  $K$  ima značajan uticaj na ove probleme MHD strujanja tečnosti i transporta toplote. Za  $K > 0$ , za njegove veće vrednosti brzina je u kanalu sa nepokretnim zidovima veća i suprotnog je smera od smera pada pritiska u kanalu. U kanalu sa pokretnim gornjim zidom uzdužna brzina je manja i ima smer isti sa smerovima pada pritiska i brzine kretanja gornjeg zida. Za  $K < 0$ , većim vrednostima  $|K|$  odgovaraju veće brzine koje imaju smer pada pritiska, u oba slučaja. Većim vrednostima  $K$  odgovaraju više temperature u kanalu.

Većim vrednostima odnosa dinamičkih viskoznosti tečnosti u donjoj i gornjoj polovini kanala odgovaraju veće brzine i više temperature u kanalu, kao i veće količine toplote transportovane sa tečnosti na gornji zid kanala.

Sledeći deo zaključaka odnosi se na slučajeve 4.1 i 4.2, ali kada je donja polovina kanala porozna, a gornja "slobodna".

Zaključuje se da većim vrednostima odnosa Hartmann-ovih brojeva u donjoj i gornjoj polovini kanala odgovaraju manje brzine u kanalu i manji tangencijalni naponi na zidovima kanala. Istovremeno su i temperature u kanalu niže, a količina toplote transportovana sa tečnosti na gornji zid je manja, s tim što kod kanala sa nepokretnim zidovima može i da je nema u ovom smeru.

Za kanal u režimu praznog hoda, u slučaju 4.1, brzina je suprotnog smera u celom preseku kanala, dok je u slučaju 4.2 ona suprotnog smera od smera pada pritiska i smera brzine gornjeg zida do visine  $y^* \approx 1.05$ , a odatle pa do gornjeg zida ona je smera brzine gornjeg zida. Kada je kanal u režimu generatora onda i u jednom i u drugom slučaju dolazi do promene smera brzine u poprečnom preseku kanala. Za  $K < 0$  većim vrednostima  $|K|$  odgovaraju veće brzine u kanalu i one u oba slučaja imaju smer pada pritiska. Temperatura u kanalu raste sa porastom veličine  $K$  kao i količina toplote transportovana sa tečnosti na gornji zid kanala.

### 8.3 Zaključak poglavља 5

Na osnovu analiza rezultata sprovedenih u poglavljima 5.1.3, 5.2.3, 5.3.4 i 5.4.3 ovde će se ukratko dati osnovni dobijeni zaključci.

Zaključuje se da većim vrednostima Hartmann-ovog broja odgovaraju manje uzdužne brzine tečnosti u kanalu, ravniji profili brzine u poprečnom preseku kanala ili delu poprečnog preseka kanala, a temperatura u kanalu je niža. Ovi zaključci se odnose na sve slučajeve tj. kada je gornji zid kanala pokretan ili nepokretan i kada se uzima u obzir uticaj indukovanih magnetnih polja i kada se on zanemaruje. Kada se uzima u obzir i uticaj indukovanih magnetnih polja uzdužna brzina u kanalu je veća, a temperatura viša nego u slučajevima kada se ovaj uticaj zanemaruje.

Većim vrednostima faktora poroznosti odgovaraju manje uzdužne brzine tečnosti u kanalu, ravniji profili, manji tangencijalni naponi na zidovima kanala i

niža temperatura tečnosti u kanalu. Ovi zaključci se odnose na sva četiri razmatrana modela, vodeći pri tome računa da su analizirani slučajevi kada je pad pritiska konstantan, a protok promenljiv. Većim vrednostima  $\Lambda$  odgovaraju slabija indukovana magnetna polja u većem delu poprečnog preseka kanala. Za istu vrednost  $\Lambda$  uzdužna brzina u kanalu je veća, a temperatura viša kada se uzima u obzir i uticaj indukovanog magnetnog polja. Rast apsolutne vrednosti odnosa  $Gr/Re^2$  dovodi do smanjenja uzdužne brzine tečnosti u kanalu i do sniženja temperature tečnosti u kanalu za sva četiri posmatrana modela strujanja i prenosa toplote. Rast ovog odnosa dovodi do smanjenja intenziteta indukovanog magnetnog polja. Za istu vrednost ovog odnosa uzdužna brzina tečnosti u kanalu je veća, a temperatura viša u slučajevima kada se uzima u obzir uticaj indukovanog magnetnog polja.

Sa porastom vrednosti  $\beta$ , u slučajevima kada se zanemaruje uticaj indukovanog magnetnog polja, uzdužna brzina tečnosti u kanalu i temperatura u kanalu opadaju. U slučajevima kada se uzima u obzir i uticaj indukovanog magnetnog polja, većim vrednostima veličine  $\beta$  odgovaraju veće brzine tečnosti u celom ili većem delu kanala i više temperature u kanalu. Za pozitivne vrednosti  $\beta$  indukovano magnetno polje je smera brzine u kanalu, a za negativne vrednosti  $\beta$  ono može, u delu poprečnog preseka, biti i suprotnog smera. Za iste vrednosti  $\beta$ , uzdužna brzina je veća, a temperatura viša, u celom ili većem delu poprečnog preseka kanala, kada se uzima u obzir i uticaj indukovanog magnetnog polja.

Kod kanala koji grade iste uglove sa horizontalnom ravni, većim uglovima koje gradi spoljašnje primenjeno magnetno polje sa normalom na zidove kanala, odgovaraju veće brzine u kanalu i više temperature, i to u slučajevima kada je uticaj indukovanog magnetnog polja zanemaren i u slučajevima kada se uticaj indukovanog magnetnog polja uzima u obzir. Za iste vrednosti  $\phi$  i iste vrednosti ugla  $\theta$  uzdužne brzine u kanalu su veće, a temperature u kanalu više u celom poprečnom preseku ili većem delu poprečnog preseka kanala, kada se uzima u obzir i uticaj indukovanog magnetnog polja.

## 8.4 Zaključak poglavlja 6

Ovde se daju osnovni dobijeni zaključci za bezindukciono MHD strujanje dve tečnosti, koje se ne mešaju, u nagnutom kanalu. Zaključuje se da, za isti nagibni ugao kanala, brzina u kanalu opada, a temperatura se snižava za veće vrednosti odnosa faktora poroznosti kanala. Za iste odnose faktora poroznosti brzina u kanalu je manja, a temperatura niža za veće uglove nagiba kanala. Ovi zaključci važe i za slučaj vertikalnog kanala.

Za iste uglove nagiba kanala, brzina tečnosti u kanalu je manja, a temperatura niža za veću vrednost odnosa Hartmann-ovih brojeva. Za iste vrednosti odnosa Hartmann-ovih brojeva brzina je manja, a temperatura niža za veće uglove nagiba kanala. Ovi zaključci važe i za vertikalni kanal.

Promena znaka faktora spoljašnjeg električnog opterećenja dovodi do promene smera brzine tečnosti u kanalu. Većim apsolutnim vrednostima ovog faktora odgovaraju veće brzine i više temperature tečnosti u kanalu. Ovi zaključci se odnose na vertikalni kanal. Kod nagnutog kanala, za ugao nagiba  $30^\circ$  brzina ima smer x-ose za  $K = -1$  u celom poprečnom preseku kanala, a za  $K=1$  samo u delu poprečnog preseka kanala. Za ugao nagiba kanala  $60^\circ$  za  $K = -1$  brzina, u celom poprečnom preseku kanala, ima smer kao i x-osa, dok za  $K=1$  ima suprotan smer.

Većim odnosima dinamičkih viskoznosti odgovaraju veće brzine i više temperature tečnosti u kanalu. Deo ovih zaključaka odnosi se i na vertikalni kanal.

Zaključci koji slede odnose se na nagnuti kanal čija je jedna polovina porozna, a druga "slobodna".

Većim vrednostima faktora poroznosti  $\Lambda_1$  odgovaraju manje brzine i niže temperature tečnosti u kanalu, dok je za istu vrednost  $\Lambda_1$  brzina manja, a temperatura tečnosti u kanalu niža za veći ugao nagiba kanala. Ovi zaključci se odnose na prvi slučaj, a i na vertikalni kanal u tom slučaju.

U drugom slučaju, većim vrednostima  $\Lambda_1$  odgovaraju manje brzine u celom poprečnom preseku kanala i više temperature u većem delu poprečnog preseka kanala. U vertikalnom kanalu su brzine manje, a temperature niže za veće vrednosti  $\Lambda_1$  u celom poprečnom preseku kanala.

Za pozitivne vrednosti odnosa  $Gr_1/Re_1^2$  brzina u kanalu ima “smer” pada pritiska u kanalu. Za veće negativne vrednosti ovog odnosa brzina može imati suprotan smer od “smera” pada pritiska, u celom poprečnom preseku kanala ili jednom njegovom delu. Temperatura tečnosti u kanalu je najviša za najveću pozitivnu vrednost ovog odnosa. Ovi zaključci se odnose na oba razmatrana slučaja.

Zaključci o uticaju odnosa Hartmann-ovih brojeva, odnosa koeficijenata dinamičkih viskoznosti i spoljašnjeg električnog opterećenja isti su sa zaključcima kada su obe polovine kanala porozne.

## 8.5 Zaključak poglavља 7

Na osnovu prethodno izloženih rezultata simulacija strujanja ovde će se ukratko dati zaključci dobijeni u sedmom poglavlju ove disertacije. Rezultati dobijeni za horizontalni porozni kanal pokazuju da se smanjenjem poroznosti smanjuje i uzdužna brzina u kanalu. Ovo je dobijeno i analitičkim rešenjem. Zaključuje se takođe da uzdužna brzina skoro da uopšte ne zavisi od z koordinate te je opravdano uvođenje aproksimacija prilikom određivanja analitičkog rešenja. Povećanjem vrednosti faktora otpora sredine uzdužna brzina u poprečnom preseku kanala raste. Analize uticaja Hartmann-ovog broja takođe su pokazale iste tendencije kao i analitička rešenja. Povećanjem Hartmann-ovog broja profil uzdužne brzine se poravnava. Na osnovu dobijenih rezultata za kosi porozni kanal može se zaključiti da se sa smanjenjem poroznosti smanjuje i brzina u kosom kanalu. Što se tiče faktora otpora sredine zaključuje se da povećanje njegove

vrednosti dovodi do poravnjanja profila brzine za sve projekcije. Isti zaključci važe i za porast Hartmann-ovog broja. Na kraju se može reći i da je Ansys CFX bio dobar izbor softvera za simulacije strujanja u poroznim sredinama. Softver pruža dobro definisanje geometrijskog modela i daje široku paletu prikaza dobijenih rezultata.

Cilj ove disertacije je bio da obezbedi detaljniji uvid u MHD probleme strujanja i prenosa toplove u poroznim sredinama. Izvršeno matematičko modeliranje opisanih problema za jedan i dva fluida, analitički i numerički dobijena rešenja, analize i zaključci mogu se koristiti kao baza za dalja naučna istraživanja ali se mogu primeniti i u hidrologiji, zaštiti životne sredine, skladišnom inženjerstvu, mnogim tehnološkim i biološkim procesima itd.

# Literatura

- [1] Henry Darcy, Fontainespubliques de la ville de Dijon, Librairie des Corps Imperianx des Pontset Chausses et des Mines, 1856.
- [2] Zhengwen Zeng and Reid Grigg, A Criterion for Non-Darcy Flow in Porous Media, Transport in Porous Media (2006) 63:57-69 DOI 10.1007/S 11242-005-2720-3
- [3] Massond Kaviany, Principles of Heat Transfer in Porous Media, Second Edition, Springer, 1995
- [4] Emmanuel Defay and IlyaRomanovich Prigogine, Surface Tension and Adsorption, J.Wiley, 1996.
- [5] Hermann Schlichting, Boundary-layer Theory, McGraw-Hill, 1968.
- [6] Robert Stephen Cunningham and John Williams, Diffusion in Gases and Porous Media, Plenum, 1980.
- [7] AntoliyMyshkis, N.D.Kopachevskii and V.G.Babskii, Low-Gravity Fluid Mechanics: Mathematical Theory of Capillary, Springer-Verlang, 1987
- [8] George Keith Batchelor, G.K. and O'Brien, R.W, 1977, Thermal or Electrical Conduction Through a Granual Material, Proceeding of the Royal Society of London, A355, 313-333
- [9] Reynolds, O. An experimental investigation of the circumstances which determine whether the motion of water shall be direct or sinuous and the law of resistance in parallelchannes, Proceedings of the Royal Society of London 35, 84-89 (1883.)
- [10] Prandtl L., ÜberFlüssigkeitsbewenungbeisehrkleinerReibung, Verhandl. d. III Intern. Mathem. Kongress, Heidelberg, 1904.
- [11] Martin Knudsen, Die Molekularstromung der GasedurchOffnungen under die Effusion, Annalen der Physik, Volume 333, Issue 5, 1909.

- [12] Taylor, G. I., Dispersion of Soluble Matter in Solvent Flowing Slowly Through a Tube, Proceedings of the Royal Society of London, A219, 186-203, 1953.
  - [13] S. J. Gregg, K. S.W. Sing, Adsorption, Surface Area and Porosity, Berichte der Bunsengesellschaft fur physikalische Chemie, Volume 86, Issue 10, 1982. <https://doi.org/10.1002/bbpc.19820861019>
  - [14] P. C. Carman, Flow of Gases Through Porous Media, Academic, 1956
  - [15] Morris Muskat, The Flow of Homogeneous Fluids through Porous Media, International Human Resources Development, 1937.
  - [16] Leverett, M. C., 1941, Capillary Behavior in Porous Solids, Trans. AIME, 142, 152-169
  - [17] Buckley, S. E. and Leverret, M. C., 1942, Mechanism of Fluid Displacement in Sands, Trans. AIME, 146, 107-116
  - [18] Brinkman, H. C. , 1947., A Calculation of the Viscous Force Exerted by a Flowing Fluid on a Dense Swarm of Particles, Appl. Sci. Res., A1, 27-34
  - [19] Brinkman, H. C., 1948., On the Permeability of Media Consisting of Closely Packed Porous Particles, Appl. Sci. Res., A1, 81-86
  - [20] Ergun S., 1952, Fluid Flow Through Packed Column, Chemical engineering progress, 48, 89-94
  - [21] Grootenhuis P., Powel R. W and Tye R. P., 1952, Thermal and Electrical Conductivity of Porous Metals Made by Powder Metallurgy Method, Proceeding of the Physical Society, 502-511
  - [22] Baron T., 1952, Generalized Graphic Method for the Design of Fixed Bed Catalytic Reactors, Chemical Engineering Progress, 48, 118-124
  - [23] Scheidegger, A. E., 1954, Statistical Hydrodynamics in Porous Media, J. Appl. Phys., 25, 994-1001
  - [24] Taylor, G. I., 1953, Dispersion of Soluble Matter in Solvent Flowing Slowly Through a Tube, Proc. Roy. Soc. London, A219, 186-203
  - [25] Aris, R., 1956, On the Dispersion of a Solute in a Fluid Flowing Through a Tube, Proc. Roy. Soc. London, A235, 67-77
-

- [26] De Josselin De Jong, G., 1958, Longitudinal and Transverse Diffusion in Granular Deposits, *Trans. Amer. Geophys. Union*, 39, 67-74
- [27] Saffman, P. G., 1959, A Theory of Dispersion in a Porous Medium, *J. Fluid Mech.*, 6, 321-349
- [28] Luikov A. V., Heat and Mass Transfer in Capillary-Porous Bodies, Pergamon, 1966.
- [29] Chen J. C. and Churchill S. W., 1963, Radiant Heat Transfer in Paced Beds, *AICHE J.*, 9, 35-41
- [30] Weekman V.W. and Meyers J.E., 1965, Heat Transfer Characteristics of Cocurrent Gas-Liquid Flow in Packed Beds, *AICHE J.*, 11, 13-17
- [31] Beavers G. S. and Joseph D. D., 1967, Boundary Condition at a Naturally Permeable Wall, *J. Fluid Mech.*, 30, 197-207
- [32] Mason E. A., 1967, Flow and Diffusion of Gases in Porous Media, *J. Chemical Physics* 46, 3139
- [33] Slattery J. C., 1970. Two-Phase Flow through Porous Media, *J. ChemicalPhysics* 46, 3199
- [34] Horn F. J. M., 1971, Calculation of Dispersion Coefficient by Means of Moments, *AICHE J.*, 17, 613-620
- [35] Whitaker S., 1973, The Transport Equations for Multi-Phase Systems, *Chem. Engng. Sci.*, 28, 139-147
- [36] Sondergeld C. H. and Turcotte D. L., 1977, AnExperimental Study of Two-Phase Convection in a Porous Media with Applications to Geological Problems, *J.Geophys. Res.*, 82, 2045-2052
- [37] Brenner H., 1980, Dispersion Resulting from Flow Through Spatially Periodic Porous Media, *Phil. Trans. Roy. Soc. (London)*, 297, 81-133
- [38] Brewster M.Q. and Tien C. L., 1982, Examination of the Two-Flux Model for Radiative Transfer in Particulate Systems, *Int. J. Heat Mass Transfer*, 12, 1905-1907

- [39] Carbonell R. G. and Whitaker S., 1984, Heat and Mass Transfer in Porous Media, in Fundamentals of Transport Phenomena in Porous Media, Bear and Corapcioglu, eds., MartinusNijhoff Publishers, 121-198
- [40] Koch D. L. and Brady J., 1985, Dispersion in Fixed Beds, *J. Fluid Mech.*, 154, 399-427
- [41] Koch D. L., Cox R. G., Brenner H. and Brady J., 1989, The Efect of Order on Disperzion in Porous Media, *J. Fluid Mech.* 200, 173-188
- [42] Singh B. P. and Kaviany M., 1991, Independent Theory versus Direct Simulation of Radiation Heat Transfer in Packed Beds, *Int. J. Heat Mass Transfer*, 34, 2869-2881
- [43] Kambiz Vafai, Handbook of Porous Media, Second Edition, Taylor and Francis Group, Boca Raton London New York Singapore, 2005.
- [44] Nield D. A., 1991, The Limitations of the Brinkman-Forchheimer equation in modeling flow in a saturated porous medium and at an interface, *International Journal of Heat and Fluid Flow*, Volume 12, Issue 3, pp. 269-272
- [45] Fogler H. S., 1992, Elements of Chemical Reaction , Engineering Englewood Clifs, NJ: Prentice Hall
- [46] J. alberto Ochoa-Tapia, J. Antonio Del Rio P. and Stephen Whitaker, 1993, Bulk and surface diffusion in porous media: An aplication of the surface- a veraging theorem, *Chemical Engineering Science*, Vol 48, No. 11, pp. 2061-2082, Printed in Great Britain
- [47] Michel Quintard and Stephen Whitaker, 1994, Convection, dispersion and interfacial transport of contaminants: Homogeneous porous media, *Advances in Water Resources* 17, 221-239
- [48] KambizVafai, S. J. Kim, 1995, On the Limitations of the Brinkman-Forchheimer-Extended Darcy Equations, *International of Heat and Fluid Flow*, 16(1):11-15

- [49] H. Khallouf, G. Z. Gershuni and A. Mojtabi, 1996, Some properties of convective oscillations in porous medium, J.Numerical Heat Computation and Methodology, Volume 30, Issue 6, 605-618
- [50] M. S. Malashetty and V. Padmavathi, 1997, Effect of gravity modulation on the onset of convection in a fluid and porous layer, International Journal of Engineering Science, Volume 35, Issue 9, pp. 829-840
- [51] Drian D. Wood, Stephen Whitaker, 1998, Diffusion and reaction in biofilms, Chemical Engineering Science, Volume 53, Issue 3, pp. 397-425
- [52] O. A. Nield, D. C. Porneala and J. L. Lage, 1999, A Theoretical Study, with Experimental Verification, of the Temperature – Dependent Viscosity Effect on the Forced Convection Through a Porous Medium Channel, J. Heat Transfer 121(2), 500-503
- [53] Bourhan Tashtoush, 2000, Analytical Solution for the Effect of Viscous Dissipation on Mixed Convection in Saturated Porous Media, 41, pp. 197-209
- [54] A. V. Kuznetsov, D. A. Nield, 2001, Effects of heterogeneity in forced convection in a porous medium: Triple layer or conjugate problem, Numerical Heat Transfer, Part A, An International Journal of Computation and Methodology, Volume 40, Issue 4, pp. 363-385
- [55] M. Celli, D. A. S. Rees, A. Barletta, 2002, The effect of Local Thermal Non-Equilibrium on forced convection boundary layer flow from a heated surface in porous media, Int. J. Heat Mass Transfer 45, pp. 4949-4955
- [56] D. A. Nield, A. V. Kuznetsov, Ming Xiong, 2003, Thermally developing forced convection in a porous medium: parallel plate channel with walls at uniform temperature, with axial conduction and viscous dissipation, International Journal of Heat and Mass Transfer, Volume 46, Issue 4, pp. 643-651
- [57] F. Duval, F. Fichot, M. Quintard, 2004, A local thermal non-equilibrium model for two-phase flows with phase change in porous media,

International Journal of Heat and Mass Transfer, Volume 47, Issue 3, pp. 613-639

- [58] A. Nouri-Borujerdi and M. Nazari, 2005, Heat Transfer and Fluid Flow in Porous Media with Two Equations Non-Darcian Model, ASME, Fluids Engineering Division Summer Meeting, Volume 2, pp. 637-640
- [59] A. W. Aregba, P. Sebastian, J. P. Nadean, 2006, Stationary deep-bed drying: A comparasion study between logaritmic model and a non-equilibrium model, Journal of Food Engineering, Volume 77, pp.27-40
- [60] G. Brihercz, J. Beke, 2006, Semi-Empirical model of convective drying with wide range layer depth validity, Drying Tehnology, Vol. 24, pp. 1165-1172
- [61] A. W. Aregba, J. P. Nadeau, 2007, Comparison of two non-equlibrium models for static grain deep-bed drying by numerical simulations, Journal of Food Engineering, Vol. 78, pp. 1174-1187
- [62] L. Bennaman and A. Belhamri, 2008, Study of Heat and Mass Transfer in Porous Media: Application to Packed-Bed Drying, FDMP, Vol. 4, pp. 221-230
- [63] J. C. Umavati, A. J. Chamkha, A. Mateen, A. Al-Mudhaf, 2009, Unsteady Oscillatory Flow and Heat Transfer in Horizontal Composite Porous Medium Channel, Nonlinear Analysis: Modeling and Control, Vol. 14, No. 3, 397-415
- [64] M. S. Astanina, Mikhailovich Sheremet, J. C. Umavahi, 2015, Unsteady natural convection with temperature-dependent viscosity in a square cavity filled with a porous medium, Transport in Porous Media, Volume 110, Issue 1, pp. 113-126
- [65] R. Suresh Babu, B. Rushi Kumar and P. A. Dinesh, 2018, Effects of variable fluid properties on a double diffusive mixed convection viscous fluid over a semi infinite vertical surface in a sparsely packed medium, Frontiers in Heat and Mass Transfer (FHMT), 10,3 , DOI:10.5098/hmt.10.3  
[www.ThermalFluidsCentral.org](http://www.ThermalFluidsCentral.org)

- [66] M. H. Hamdan and M. T. Kamel, 2011, Flow through Variable Permeability Porous Layers, *Adv. Theor. Mech.*, Vol. 4, No. 3, 135-145
- [67] D. A. S. Rees and I. Pop, 2000, Vertical free convection in a porous medium with variable permeability effects, *International Journal of Heat and Mass Transfer*, 43, 2565-2571
- [68] Z. Alloni, R. Bennacer and P. Vasseur, 2009, Variable permeability effect on convection in binary mixtures saturating a porous layer, *Heat and Mass Transfer*, 45, 1175-1127
- [69] I. A. Hassanien, A. A. Salama and A. M. Elaiw, 2003, Variable permeability effect on vortex instability of mixed convection flow in a semi-infinite porous medium bounded by a horizontal surface, *Applied Math. Comput.*, 146, 829-847
- [70] D. A. Nield and A. V. Kuznetsov, 2009, The effect of a transition layer between a fluid and a porous medium: shear flow in a channel, *Transport Porous Media*, 78, 477-487
- [71] M. S. Abu Zaytoon, T. L. Alderson, M. H. Hamdan, 2016, Flow over a Darcy Porous Layer of Variable Permeability, *Journal of Applied Mathematics and Physics*, 4, 86-99
- [72] T. W. Lathem, 1996, Fluid motion in a peristaltic pump, Master's thesis, Massachusetts, MIT, Cambridge
- [73] M. H. Haroun, 2007, Non-linear peristaltic flow of a fourth grade fluid in a inclined asymmetric channel, *Computational Material Science*, Volume 39, Issue 2, pp. 324-333
- [74] T. Hayat, Q. Hussain and N. Ali, 2008, Influence of partial slip on the peristaltic flow in a porous medium, *Physica A: Statistical Mechanics and its Applications*, Vol. 387, Issue 14, 3399-3409
- [75] Kh. S. Mekheimer and Y. AbdElmabond, 2008, Peristaltic Flow through a Porous Medium in an Annulus: Application of an Endoscope, *Applied Mathematics and Information Sciences*, 2(1), 103-121

- [76] K. Vajraveln, S. Sreenadh, P. Lakshminarayana, G.Sucharitha and M.M. Rashidi, 2016, Peristaltic Flow of Phan-Thein-Tanner Fluid in an Asymmetric Channel with Porous Medium, Journal of Applied Fluid Mechanics, Vol. 9, No. 4, pp. 1615- 1625
- [77] C. K. Selvi, C. Haseena, A. N. S. Srinivas and S. Sreenadh, 2017, The effect of heat transfer on peristaltic flow of Jeffrey fluid in an inclined porous stratum, 14<sup>th</sup> ICSET-2017, IOP Conf. Series: Materials Science and Engineering 263, 062027 doi: 10.1088/1757-899X/263/6/062027
- [78] A. R. A. Khaled, K. Vafai, 2003, The role of porous media in modeling flow and heat transfer in biological tissues, International Journal of Heat and Mass Transfer, 46, 4989-5003
- [79] Song Fu-quan, Xu You-sheng, Li Hua-mei, 2007, Blood flow in capillaries by using porous media model, Journal of Central University of Technology, Volume 14, Supplement 1, pp. 46-49
- [80] Obaid Ullah Mehmod, Norzeiha Mustapha, Sharidan Snafie, 2012, Unsteady Two – Dimensional Blood Flow in Porous Artery with Multi-irregular Stenoses, Transp. Porous Med., 92, pp. 259-275
- [81] D. S. Sankar and Atulya K. Nagar, 2013, Mathematical Analysis of Blood Flow in Porous Tubes: A Comparative Study, Hindawi Publishing Corporation Advances in Mechanical Engineering, Volume 2013, Article ID 287954, 12 pages
- [82] Myriam Peyrounette, Yohan Davit, Michel Quintard, Sylvie Lorthois, 2018, Multiscale modeling of blood flow in cerebral microcirculation: Details at capillary scale control accuracy at the level of the cortex, Published: January 11, 2018; <https://doi.org/10.1371/journal.pone.0189474>
- [83] A. Raptis and N. Kafoisis, 1982, Magnetohydrodynamic free convective flow and mass transfer through a porous medium bounded by an infinite vertical porous plate with constant heat flux, Canadian Journal of Physics, 60(12), pp. 1725-1729

- [84] A. Raptis and C. Perdikis, 1983, MHD unsteady free convective flow through a porous medium, Energy Research, Volume 7, Issue 4, pp. 391-395
- [85] A. A. Raptis, 1986, Flow through a porous medium in a presence of a magnetic field, Int. J. Energy Res., Volume 10, pp. 97-100
- [86] Basant Kumar Iha and Ravindra Prasad, 1989, Effect of magnetic field on the free-convection and mass transfer flow through a porous medium, Astrophysics and Space Science 161(2), pp. 195-200
- [87] R. C. Ram and R. K. Jain, 1990, MHD free convective flow through a porous medium in a rotating fluid, International Journal of Energy Research, Volume 14, Issue 9, pp. 933-939
- [88] B. K. Iha, 1991, MHD free convection and mass transfer flow through a porous medium, Astrophys. Space Sci. 175, pp. 283-289
- [89] T. K. Aldoss, M. A. Al-Nimr, M. A. Jarrah and B. J. Al-Sha'er, 1995, Magnetohydrodynamic mixed convection from a vertical plate embedded in a porous medium, Numerical Heat Transfer Part A: Applications An International of Computation and Methodology, Volume 28, Issue 5, pp. 635-645
- [90] Ali J. Chamkha, 1996, Non-Darcy hidromagnetic free convection from a cone and a wedge in porous media, Int. Comm. Heat Mass Transfer, Vol. 23, No. 6, 875-887
- [91] W. Bian, P. Vasseur, E. Bilgen, F. Meng, 1996, Effect of an electromagnetic field on natural convection in a inclined porous layer, International Journal of Heat and Fluid Flow, Volume 17, Issue 1, pp. 36-44
- [92] Ali J. Chamkha, 1997, MHD-free convection from a vertical plate embedded in a thermally stratified porous medium with Hall effects, Appl. Math. Modelling, Volume 21, pp. 603-609
- [93] K. D. Alagoa, G. Tay, T. M. Abbey, 1998, Radiative and Free Convective Effects of a MHD Flow Through a Porous Medium Between Infinite

- Parallel Plates with Time-depended Suction, Astrophysics and Space Science, Volume 26, Issue 4, pp. 455-488
- [94] A. J. Chamkha and A. R. A. Khaled, 2000, Hydro-magnetic combined heat and mass transfer by natural convection from permeable surface embedded in a fluidsaturated porous medium, Int. J. Numer. Methods Heat Fluid Flow, 10, pp. 455-477
- [95] C. Geindrean and J. L. Auriault, 2002, Magnetohydrodynamic flows in porous media, J. Fluid Mech., Vol. 466, pp. 343-363
- [96] R. N. Jat and Anuj K. Jhankal, 2003, MHD viscous flow through a porous medium past an oscillating plate in a rotating system, Indian Journal of Engineering and Materials Sciences, Vol. 10, pp. 37-40
- [97] M. F. El-Amin, 2003, Combined effect of viscous dissipation and Joule heating on MHD forced convection over a nonisothermal horizontal cylinder embedded in a fluid saturated porous medium, Journal of Magnetism and Magnetic Materials, Volume 263, Issue 3, pp. 337-343
- [98] Ali J. Chamkha, 2004, Unsteady MHD convective heat and mass transfer past a semi-infinite vertical permeable moving plate with heat absorption, International Journal of Engineering Science, 42, pp. 217-230
- [99] Youn J. Kim, 2004, Heat and Mass Transfer in MHD Micropolar Flow Over a Vertical Moving Porous Plate in a Porous Medium, Transport in Porous Media, Volume 56, Issue 1, pp. 17-37
- [100] Adrian Postelnicu, 2004, Influence of a Magnetic Field on Heat and Mass Transfer by Natural Convection From Vertical Surfaces in Porous Media Considering Soret and Dufour Effects, International Journal of Heat and Mass Transfer, 47(6-7), pp. 1467-1472
- [101] A. F. Khadrawi, M. O. Odat, Mohammed Qassaim Al-Odat, 2005, Transient MHD free convection flow over a permeable vertical moving plate embedded in porous medium with uniform suction, International Journal of Heat and Tehnology, 23(1), pp. 81-87

- [102] M. S. Alam, M. M. Rahman, M.A. Samad, 2006, Dufour and Soret Effects on Unsteady MHD Free Convection and Mass Transfer Flow past a Vertical Porous Plate in a Porous Medium, Nonlinear Analysis: Modelling and Control, Vol. 11, No. 3, pp. 217-226
- [103] Bhupendra Kumar Sharma, Abhay Kumar Jha, R. C. Chaudhary, 2007, Hall effect on MHD mixed convective flow of a viscous incompressible fluid past a vertical porous plate immersed in porous medium with heat source/sink, Rom. Journ. Ohys., Vol. 52, Nos. 5-7, pp. 487-503
- [104] R. C. Chaudhary, Arpita Jain, 2007, Combined heat and mass transfer effects on MHD free convection flow past an oscillating plate embedded in porous medium, Rom. Journ. Phys. Vol. 52, Nos. 5-7, pp. 505-524
- [105] M. A. Mansaur, N. F. El-Anssary, A. M. Aly,, 2008, Effects of chemical reaction and thermal stratification on MHD free convective heat and mass transfer over a vertical stretching surface embedded in a porous media considering Sorent and Dufour numbers, Chemical Engineering Journal, Volume 145, Issue 2, pp. 340-345
- [106] S. P. Anjali Devi, B. Ganga, 2009, Effects of Viscous and Joules Dissipation on MHD Flow, Heat and Mass Transfer past a Stretching Porous Surface Embedded in a Porous Medium, Nonlinear Analysis: Modelling and Control, Vol. 14, No. 3, pp. 303-314
- [107] K. Das and G. S. Saha, 2009, Arterial MHD pulsatile flow of blood under periodic body acceleration, Bull. Soc. Math. Banja Luka, Vol. 16, pp. 21-42
- [108] F. G. Shehadeh and H. M. Duwari, 2009, MHD natural convection in porous media filled enclosures, Applied Mathematics and Mechanics, 30(9), pp. 1113-1120
- [109] S. Srinivas, M. Kothandapani, 2009, The influence of heat and mass transfer on MHD peristaltic flow through a porous space with compliant walls, Applied Mathematics and Computation, Volume 213, Issue 1, pp. 197-208

- [110] M. A. Mansour, A. J. Chamkha, R. A. Mohamed, M. M. Abd-El-Aziz, S. E. Ahmed, 2010, MHD natural convection in an inclined cavity filled with a fluid saturated porous medium with heat source in the solid phase, Nonlinear Analysis: Modeling and Control, Vol. 15, No. 1, pp. 55-70
- [111] N. Ahmed, H. Kalita and D. P. Barna, 2010, Unsteady MHD free convective flow past a vertical porous plate immersed in a porous medium with Hall current, thermal diffusion and heat source, International Journal of Engineering Science and Technology, Vol. 2, No. 6, pp. 59-74
- [112] HemantPoonia, R. C. Chaudhary, 2010, MHD free convection and mass transfer flow over an infinite vertical porous plate with viscous disipation, Theoret. Appl. Mech., Vol. 2, No. 6, pp. 59-74
- [113] T. Hayat, Z. Abbas, I. Pop, S. Asghar, 2010, Effects of radiation and magnetic field on the mixed convection stagnation-point flow over a vertical stretching sheet in a porous medium, International Journal of Thermal Sciences, Volume 49, Issue 9, pp. 1813-1820
- [114] O. D. Makinde, A. Aziz, 2010, MHD mixed convection from a vertical plate embedded in a porous medium with a convective boundary condition, International Journal of Thermal Sciences, Volume 49, Issue 9, pp. 1813-1820
- [115] PareshVyas, AstutoshRanjan, 2010, Dissipative MHD Boundary-Layer Flow in a Porous Medium over a Sheet Stretching Nonlinearity in the Presence of Radiation, Applied Mathematical Sciences, Vol. 4, No. 63, pp. 3133-3142
- [116] S. Srinivis and R. Muthuraj, 2010, Effects of thermal radiation and space porosity on MHD mixed convection flow in a vertical channel using homotopy analysis method, Communications in Nonlinear Science and Numerical Simulation, Volume 15, Issue 8, pp. 2098-2108
- [117] D. Ch. Kesavaiah, P. V. Satyanarayana, S. Venkataramana, 2011, Effects of the chemical reaction and radiation absorption on an unsteady MHD convective heat and mass transfer flow past a semi-infinite vertical

- permeable moving plate embedded in a porous medium with heat source and suction, Int. J. of Appl. Math. and Mech., Vol. 7(1), pp. 52-69
- [118] P. V. SatyaNarayana, G. Ramireddy and S. Venkataramana, 2011, Hall Current Effects on free convection MHD flow past a porous plate, International Journal of Automotive and Mechanical Engineering (IJAME), Volume 3, pp. 350-363
- [119] Ariful Islam, Md. Haider Ali Biswas, Md. Rizaul Islam, S. M. Mohiuddin, 2011, MHD micropolar fluid flow through vertical porous medium, Academic Research International, Volume 1, Issue 3, pp. 381-393
- [120] T. Hayat, R. Sajjad, Z. Abbas, M. Sajid and Awatif A Hendi, 2011, Radiation effects on MHD flow of Maxwell fluid in a channel with porous medium, International Journal of Heat and Mass Transfer, Volume 54, Issue 4, pp. 854-862
- [121] M. M. Rashidi, M. Keimanesh, O. Anwar Beg and T. H. Hung, 2011, Magnetohydrodynamicbiorheological transport phenomena in a porous medium: A simulation of magnetic blood flow control and filtration, International Journal for Numerical Methods in Biomedical Engineering, Volume 27, Issue 6, pp. 805-821
- [122] Mohammed Mehdi Rashidi and EsmaeelErfani, 2011, A new analytical study of MHD stagnation-point flow in porous media with heat transfer, Computers and Fluids, Volume 40, Issue 1, pp. 172-178
- [123] R. N. Barik, G. C. Dash and P. K. Rath, 2012, Heat and mass transfer on MHD flow through a porous medium over a stretching surface with heat source, Mathematical Theory and Modeling, ISSN 2224-5804 (Paper), ISSN 2225-0522 (online), Volume 2, No. 7
- [124] TavvaSudhakar Reddy, O. Siva Prasad Reddy, M. C. Rajn and S. V. K. Varma, 2012, MHD free convection heat and mass transfer flow through a porous medium bounded by a vertical surface in presence off hall current, Pelagia Research Library Advances in Applied Science Research, 3(6), pp. 3482-3490

- [125] K. Chand, R. Kumar and S. Sharma, 2012, Hydromagnetic oscillatory flow through a porous medium bounded by two vertical porous plates with heat source and soret effect, Pelagia Research Library Advances in Applied Science Research, 3(4), pp. 2169-2178
- [126] Md. ZiaulHaque, Md. Mahmud Alam, M. Ferdows and A. Postelnicu, 2012, Micropolar fluid behaviors on steady MHD free convection and mass transfer flow with constant heat and mass flues, joule heating and viscous disipation, Journal of King Sand University-Engineering Sciences, 24, pp. 71-84
- [127] Noura S. Al-sudais, 2012, Thermal Radiation Effects on MHD Fluid Flow Near Stagnation Point of Linear Stretching Sheet with Variable Thermal Conductivity, International Mathematical Forum, Vol. 7, No. 51, pp. 2525-2544
- [128] Dileep Singh Chauhan and PriyankaRastogi, 2012, Heat Transfer Effects on Rotating MHD Couette Flow in a Channel Partially Filled by a Porous Medium with Hall Current, Journal of Applied Science and Engineering, Vol. 15, No. 3, pp. 281-290
- [129] M. Ferdows, Md. Shakhaouth Khan, Md. Mahmud Alam and Shuyn Sun, 2012, MHD Mixed Convective Boundary Layer Flow through a Porous Medium due to an Exponentially Stretching Sheet, Hyndawi, Mathematical Problems in Engineering, Volume 2012, Article ID 408528, 21 pages
- [130] M. M. Rashidi, S. A. Mohimanian Pour, T. Hayat and S. Obaidat, 2012, Analitic approximate solutions for steady flow over a rotating disk in porous medium with heat transfer by homotopy analysis method, Elsevier, Computers and Fluids, Volume54, pp 1-9
- [131] T. Hayat, S. A. Shehzad, M. Qasim and S. Obaidat, 2012, Radiative flow of Jeffery fluid in a porous medium with power law heat flux and heat source, Elsevier, Nuclear Engineering and Design, Volume 243, pp 15-19
- [132] B. MadhusundanaRao, G. Viswanatha Reddy, M. C. Raju and S. V. K. Varma, 2013, Unsteady MHD Free Convective Heat and Mass Transffer

Flow Past a Semi-Infinite Vertical Permeable Moving Plate with Heat Absorption, Radiation, Chemical Reaction and Soret Effects, International Journal of Engineering Sciences and Emerging Technologies, Volume 6, Issue 2, pp 241-257

- [133] Nalinakshi N., Dinesh P. A. and Chandrashekhar D. V., 2013, Effects of Variable Fluid Properties and MHD on Mixed Convection Heat Transfer from a Vertical Heated Plate Embedded in a Sparsely Packed Porous Medium, IOSR Journal of Mathematicich, Volume 7, Issue 1, pp 20-31
- [134] Aarti Manglesh and M. G. Gorla, 2013, MHD free convective flow through porous medium in the presence of hall current, radiation and thermal diffusion, Indian Journal of Pure and Applied Mathematics, Volume 44, Issue 6, pp 743-756
- [135] Rita Choudhury and HillolKantiBattacharjee, 2013, MHD Unsteady Free Convective Visco-Elastic Fluid Flow over a Radiative Vertical Porous Plate with Dufour Effects in Presence of Chemical Reaction, International Journal of Computer Applications, Volume 81, No. 2, pp 19-25
- [136] R. Choudhury and S. Kumar Das, 2013, Visco-Elastic MHD Free Convective Flow through Porous Media in Presence of Radiation and Chemical Reaction with Heat and Mass Transfer, Journal od Applied Fluid Mechanics, Vol. 7, No. 4, pp 603-609
- [137] B. Devika, P. V. SatayaNarayana and S. Venkataramana, 2013, MHD Ocsillatory Flow of a Visco Elastic Fluid in a Porous Channel with Chemical Reaction, International Journal of Engineering Science Invention, Volume 2, Issue 2, pp 26-35
- [138] S. Nadeem, RizwanUlHaq, Noreen Sher Akbar and Z. H. Khan, 2013, MHD three-dimensional Casson fluid flow past a porous linearly stretching sheet, Alexandria Engineering Journal, Volume 52, pp 577-582
- [139] M. Turkyilmazoglu, 2013, The analitical solution of mixed convection heat transfer and fluid flow of a MHD viscoelastic fluid over a permeable

- stretching surface, Elsevier, International Journal of Mechanical Sciences, Volume 77, pp 263-268
- [140] M. Sheikholeslami, M. Hatami and D. D. Ganji, 2013, Analitical Investigation of MHD nanofluid flow in a semi-porous channel, Elsevier, Powder Technology, Volume 246, pp 327-336
- [141] K. V. S. Raju, T. Sudhakar Reddy, M.C.Raju, P. V. SatyaNarayana and S. Venkataramana, 2014, MHD convective flow through porous medium in a horizontal channel with insulated and impermeable bottom wall in the presence of viscous dissipation and Joule heating, Ain Shams Engineering Journal, Volume 5, Issue 2, pp 543-551
- [142] HunegnawDessie and NaikatiKishan, 2014, MHD effects on heat transfer over stretching sheet embedded in porous medium with variable viscosity, viscous dissipation and heat source/sink, Ain Shams Engineering Journal, Volume 5, pp 967-977
- [143] Nidhish Kumar Mishra, Vineet Kumar Sharma and Debangana Rajput, 2014, Unsteady Viscous Fluid Flow with Porous Medium in the Presence of Radiation and Chemical Reaction, Chinese Journal of Physics, Volume 52, No. 1-I, pp 185-191
- [144] Neetu Srivastava, 2014, Analysis of Flow Characteristics of the Blood Flowing through an Inclined Tapered Porous Artery with Mild Stenosis under the Infuence of an Inclined Magnetic Field, Hindawi Publishing Corporation, Journal of Biophysics, Volume 2014, Article ID 797142, 9 pages
- [145] B. Lavanya and A. LeelaRatnam, 2014, Dufour and soret effects on steady MHD free convective flow past a vertical porous plate embedded in a porous medium with chemical reaction, radiation, heat generation and viscous dissipation, Pelagia Research Library, Advances in Applied Science Research, Volume 5(1), pp 127-142
- [146] L. Sreekala, E. Keasava Reddy, 2014, Steady MHD Couette Flow of an Incompressible Viscous Fluid Through a Porous Medium Between Two

Infinite Parallel Plates Under Effect Of Inclined Magnetic Field, The International Journal of Engineering and Science, Volume 3, Issue 9, pp 18-37

- [147] B. VidyaSagar, M. C. Raju, S. V. K. Varma and S. Venkataramana, 2014, Unsteady MHD free convection boundary layer flow of radiation absorbing Kuvshinski fluid through porous medium, Review of Advances in Physics and Applications, Volume 1, Isssue 3, pp 48-62
- [148] Rabi Narayan Barik, GourangaCharam Dash and MaheswarKar, 2014, Unsteady free convective MHD flow and mass transfer through porous medium in a rotating system with fluctuating heat source/sink and chemical reaction, Journal of Applied Analysis and Computation, Volume 4, Number 3, pp 231-244
- [149] BhimSen Kala, Madan Singh and Ashok Kumar, 2014, Steady MHD free convective flow and heat transfer over nonlinearly stretching sheet embedded in an extend-Darcy-Forcheimmer porous medium with viscous dissipation, Journal of Global Research in Mathematical Archives, Volume 2, No. 4, pp 1-15
- [150] Hitesh Kumar, 2014, Mixed-convective-magneto-hydrodynamic flow of a micropolar fluid with ohmic heating, radiation and viscous dissipation over a chemically reacting porous plate subjected to a constanheat flux and concentration gradient, Journal of the Serbian Chemical Society, 79(4), pp 469-480
- [151] Md. Sharif Uddin, 2015, Viscous and Joules Dissipation on Mhd Flow past a Stretching Porous Surface Embedded in a Porous Medium, Journal of Applied Mathematics and Physics, Volume 3, pp 1710-1725
- [152] T. S. Chauhan, I. S. Chauhan and Shikha, 2015, Flow of a viscous fluid through a porous circular pipe in presence of magnetic field, MathematicaAeterna, Vol. 5, No. 2, pp 395-402
- [153] K. Javaherdeh, MehrzadMirzaeiNejad and M. Moslemi, 2015, Natural convection heat and mass transfer in MHD fluid flow past a moving vertical

plate with variable surface temperature and concentration in a porous medium, Engineering Science and Technology, an International Journal, Volume 18, pp 423-431

- [154] K. Jhansi Rani, G. V. Ramana Reddy, Ch. V. Ramana Murthy and M. V. Ramana Murthy, 2015, Heat and mass transffer effects on MHD free convection flow over an inclined plate embedded in a porous medium, Int.J.Chem.Sci., 13(4), pp 1998-2016
- [155] Muondwe Samuel, Matheu Kinyanjui, David Theuri and KangetheGiterere, 2015, Investigation of MHD flow Stokes problem past a porous contracting surface with heat transfer, International Journal of Pure and Applied Mathematics, Volume 99, No. 4, pp 385-398
- [156] Om Prakash, O. D. Makinde, Devendra Kumar and Y. K. Dwivedi, 2015, Heat transfer to MHD oscillatory dusty fluid flow in a channel filled with a porous medium, Sadhana, Indian Academy of Sciences, Vol. 40, Part 4, pp 1273-1282
- [157] Bagh Ali, Farooq Ahmad, SajjadHussain and UzmaRasheed, 2015, MHD flow and heat transfer through porous medium over an exponentially shrinking permeable surface, Sci.Int.(Lahort), 27(5), pp 3961-3964
- [158] Shalini Jain, RakeshChoudhary, 2015, Effects of MHD on Boundary Layer Flow in Porous Medium due to Exponentially Shrinking Sheet with Slip, Procedia Engineering, Volume 127, pp 1203- 1210
- [159] Y. Yirga and B. Shankar, 2015, MHD Flow and Heat Transfer of Nanofluids through a Porous Media Due to a Stretching Sheet with Viscous Dissipation and Chemical Reaction Effects, International Journal for Computational Methods in Engineering Science and Mechanics, Volume 16, Issue 5, pp 275-284
- [160] Asma Khalid, Ilyas Khan, Arshad Khan, SharidanShafie, 2015, Unsteady MHD free convection flow of Casson fluid past over an oscillating vertical plate embedded in a porous medium, Engineering Science and Technology, an International Journal, Volume 18, Issue 3, pp 309-317

- [161] Santosh Chaudhary and Mohan Kumar Choudhary, 2016, Heat and mass transfer by MHD flow near the stagnation point over a stretching or shrinking sheet in a porous medium, Indian Journal of Pure and Applied Physics, Vol. 54, pp 209-217
- [162] S. Ravi Kumar, 2016, MHD Peristaltic Transportation of a Conducting Blood Flow with Porous Medium through Inclined Coaxial Vertical Channel, International Journal of Bio-Science and Bio-Technology, Vol. 8, No. 1, pp 11-26
- [163] Kjay Kumar, R. S. Chandel, Rajesh Shrivastava, KeertyShrivastava and Sanjeet Kumar, 2016, Mathematical modeling of blood flow in an inclined tapered artery under MHD effect through porous medium, International Journal of Pure and Applied Mathematical Sciences, Volume 9, Number 1, pp 75-88
- [164] G. S. Seth, R. Sharma and B. Kumbhakar, 2016, Heat and Mass Transfer Effects on Unsteady MHD Natural Convection Flow of a Chemically Reactive and Radiating Fluid through a Porous Medium Past a Moving Vertical Plate with Arbitrary Ramped Temperature, Journal of Applied Fluid Mechanics, Vol. 9, No. 1, pp 103-117
- [165] j. C. Misra and S. D. Adhikary, 2016, MHD oscillatory channel flow, heat and mass transfer in a physiological fluid in presence of chemical reaction, Elsevier, Alexandria Engineering Journal, Vol. 55, pp 287-297
- [166] Iftikhar Ahmad, Manzoor Ahmad and Muhammad Sajid, 2016, Heat transfer analysis of MHD flow due to unsteady bi-directional stretching sheet through porous space, Thermal Science, Vol. 20, No. 6, pp 1913-1925
- [167] Shehzad, S.A., Hayat, T., Alsaedi, A., 2016, Three-Dimensional MHD Flow of Casson Fluid in Porous Medium with Heat Generation, Journal of Applied Fluid Mechanics, Vol. 9, Issue 1, pp 215-223
- [168] B. J. Gireesha, B. Mahanthesh, Rama Subba Reddy Gorla and P. T. Manjunatha, 2016, Thermal radiation and Hall effects on boundary layer flow past a non-isothermal stretching surface embedded in porous medium

- with non-uniform heat source/sink and fluid-particle suspension, Heat and Mass Transfer, Volume 52, Issue 4, pp 897-911
- [169] Kiran Kumari and Mamta Gonala, 2017, Viscous Dissipation and Mass Transfer Effects on MHD Oscillatory Flow in a Vertical Channel with Porous Medium, Advances in Dynamical Systems and Applications, Volume 12, Number 2, pp 205-216
- [170] Noura Slsedais, 2017, Heat Generation and Radiation Effects on MHD Casson Fluid Flow Over a Stretching Surface Through Porous Medium, European Journal of Advances in Engineering and Technology, 4(11), pp 850-857
- [171] Jeeshan Khan, Muhammad Altaf Khan, Saeed Islam, Bilal Jan, FawadHussain, Haroon Ur Rasheed and Waris Khan, 2017, Analysis of Magnetohydrodynamics Flow and Heat Transfer of a Viscoelastic Fluid through Porous Medium in Wire Coating Analysis, MDPI Mathematics, 5(2), 27, pp 1-12
- [172] D. Dastagiri Babu, S. Venkateswarly and E. Keshava, 2017, Heat and Mass Transfer on MHD Free convective flow of Second grade fluid through Porous medium over an infinite vertical plate, ICMAEM-2017, IOP Publishing, IOP Conf.Series: Materials Science and Engineering, 225, 012267, doi: 10.1088/1757-899X/225/1/012267.
- [173] A. Sinha, N. Ahmed and S. Agarwalla, 2017, MHD Free Convective Flow through a Porous Medium Past a Vertical Plate with Ramped Wall Temperature, Applied Mathematical Sciences, Vol. 11, No. 20, pp 963-974
- [174] Y. Hari Krishna, G. Kamala, M.V. Ramana Murthy and D. Bhagyaa, 2017, MHD Free Convective Flow Past a Vertical Porous Plate in a Porous Medium in the Presence of Soret and Dufour Effects, International Journal of Emerging Research in Management and Technology, Volume 6, Issue 8, pp 1-18

- [175] BhavyaTripathi and Bhupendra Kumar Sharma, 2017, MHD Blood flow and Heat transfer through an inclined porous stenosed artery with variable viscosity, arXiv: 1610.03470V2 (physics.flu-dyn) 28, pp 1-15
- [176] R. Latha and B. Rushi Kumar, 2017, Unsteady MHD blood flow through porous medium in a parallel plate channel, 14<sup>th</sup> ICSET-2017, IOP Publishing, IOP Conf. Series:Materials Science and Engineering 263, 062020, doi: 10.1088/1757-899X/263/6/062020
- [177] Prashant G. Metri, 2017, Mathematical analysis of convective flow due to stretching sheet and instabilities of natural convective flow, Malardalen University Press Dissertations, No. 226
- [178] Marina S. Astanina, Mikhail A. Sheremet, Hakan F. Oztop and Nidal Abu-Hamdel, 2018, MHD natural convection and entropy generation of ferrofluid in an open trapezoidal cavity partially filled with a porous medium, Elsevier, International Journal of Mechanical Sciences, Volume 136, pp 493-502
- [179] M. Sheikholeslami and S. A. Shehzad, 2018, CVFEM simulation for nanofluid migration in a porous medium using Darcy model, Elsevier, International Journal of Heat and Mass Transfer, Volume 122, pp 1264-1271
- [180] M. Sheikholeslami and Houman B. Rokni, 2018, Numerical simulation for impact of Coulomb force on nanofluid heat transfer in a porous enclosure in presence of thermal radiation, Elsevier, International Journal of Heat and Mass Transfer, Volume 118, pp 823-831
- [181] Asma Khalid, Ilyas Khan, Arshad Khan and SharidanShafie, 2018, Case study of MHD Blood Flow in a Porous Medium with CNTS and Thermal Analysis, Elsevier, Case Studies in Thermal Engineering, In Press, Accepted Manuscript
- [182] Agoor B.M., 2018, Slip Flow in Porous Medium of Micropolar Fluid in a Rectangular Microchannel under the Effect of a Magnetic Field, J. Appl. Mech. Eng. 7 (1):298, doi: 10.4172/2168-9873.1000298

- [183] Živojin M. Stamenković, 2013, Magnetno-hidrodinamička (MHD) strujanja jednog i dva fluida u kanalima, doktorska disertacija, Univerzitet u Nišu, Mašinski fakultet u Nišu
- [184] Ž. M. Stamenković, J. D. Petrović, M. M. Kocić and M.D. Nikodijević, 2016, Control of Fluid Flow and Heat Transfer in Porous Medium, XIII International Conference on Systems, Automatic Control and Measurements Niš, Serbia, Proceedings, pp 199-203
- [185] Jelena D. Petrović, Živojin M. Stamenković, Miloš M. Kocić and Milica D. Nikodijević, 2016, Porous Medium Magnetohydrodynamic Flow and Heat Transfer of Two Immiscible Fluids, Thermal Science, Vol. 20, Suppl 5, pp S1405-S1417, ISSN 0354-9836
- [186] Jelena D. Petrović, Živojin M. Stamenković, Miloš M. Kocić, Jasmina Bogdanović-Jovanović and Milica D. Nikodijević, 2017, MHD flow and heat transfer in the porous medium under the influence of an externally applied magnetic field and induced magnetic field, 6<sup>th</sup> International Congress of Serbian Society of Mechanics, Mountain Tara, Serbia, ISBN 978-86-909973-6-7 radS3f
- [187] Jelena Petrović, Živojin Stamenković, Miloš Kocić, Milica Nikodijević, Jasmina Bogdanović-Jovanović, 2017, MHD flow and heat transfer in porous medium with induced magnetic field effects, 13<sup>th</sup> International Conference on Accomplishments in Mechanical and Industrial Engineering, Banja Luka, University of Banja Luka, Faculty of Mechanical Engineering, ISBN 978-99938-39-73-6 (COBIS.RS-ID 6522904) Proceedings, pp 291-297
- [188] Jelena Petrović, Živojin Stamenković, Miloš Kocić, Jasmina Bogdanović-Jovanović and Milica Nikodijević, 2018, MHD Flow and Heat Transfer in the Porous Medium Between Stationary and Moving Plate, 4<sup>th</sup> International Conference Mechanical Engineering in XXI Century, University of Niš, Faculty of Mechanical Engineering in Niš, ISBN 978-86-6055-103-2 COBISS.SR-ID 261069580, Proceedings 99-104

- [189] Slattery, J. C., 1969, Single phase Flow Through Porous Media, AICHE J., 15, pp 866-872
- [190] Whitaker, S., 1999, The Method of Volume Averaging, Dordrecht: Kluwer Academic Press
- [191] Gradimir Ilić, Nenad Radojković, Ivan Stojanović, 1996, Termodinamika II, osnove prostiranja toplote, Niš, Mašinski fakultet- Univerzitet u Nišu
- [192] Cvetko Crnojević, 2014, Mehanika fluida, Mašinski fakultet Univerziteta u Beogradu
- [193] C. T. Hsu and P. Cheng, 1990, Thermal dispersion in porous medium, International Journal of Heat and Mass Transfer, Volume 33, Issue 8, pp 1587-1597
- [194] Nozad I., Carbonell R. G. and Whitaker S., 1985, Heat Conduction in Multi-Phase Systems I: Theory and Experiments for Two-Phase Systems, Chem.Eng.Sci. 40, pp 843-855
- [195] A. B. Vatažin, G. A. Ljubimov, S. A. Regirer, 1970, Magnetnohidrodinamičkastrujanja u kanalima, izdanje "Nauka", Moskva
- [196] Dr Djuro Kurepa, 1965, Viša Algebra, knjigaprva, izdavačkopreduzećeŠkolskaknjiga, Zagreb
- [197] D. S. Mitrović, D. Mihailović, P. M. Vasić, 1968, Linearna algebra, polinomi, analitičkageometrija, IzdavačkopreduzećeGrđevinskaknjiga, Beograd
- [198] ANSYS Fluent Tutorial Guide, (2016), ANSYS, Inc. Release 17.0
- [199] ANSYS Modeling and Meshing Guide, (2005), ANSYS, Inc. Release 10.0

## Biografija autora

Jelena D. Petrović rođena je 05. decembra 1985. godine u Nišu. Pohađala je i završila Osnovnu školu "Filip Filipović" u Nišu. Dobitnica je nagrade "Vuk Karadžić" za osnovno obrazovanje. Pohađala je i završila Gimnaziju "Svetozar Marković" u Nišu, smer prirodno-matematički (2000-2004).

Upisala je Mašinski fakultet u Nišu 2004. godine. Na trećoj godini fakulteta opredelila se za profil Energetika i procesna tehnika. Diplomirala je na istom fakultetu 2010. godine, sa prosečnom ocenom 9.52 i ocenom 10 na diplomskom radu iz predmeta Teorija turbomašina pod nazivom "Proučavanje dozvučnog strujanja stišljivog fluida kroz radijalno kolo kompresorske rešetke". U toku studiranja dobila je nekoliko nagrada: za najboljeg studenta prve godine, za najboljeg studenta druge godine i za postignute sportske rezultate u Univerzitetskoj ligi i na Mašinijadi. Bila je stipendista Fondacije za razvoj naučnog i umetničkog podmlatka Republike Srbije.

Studije trećeg stepena-doktorske akademske studije, smer Energetika i procesna tehnika, na Mašinskom fakultetu u Nišu upisala je 2010. godine. U toku doktorskih sudija, pohađala je "International Workshop for Laser Flow Measurements" 2011. godine na Mašinskom fakultetu u Beogradu. Učestvovala je na savetovanju o Malim hidroelektranama "MHE za gravitacione sisteme" takođe 2011. godine u Vučju.

Od 2013. godine zaposlena je na Mašinskom fakultetu u Nišu u zvanju asistent. Angažovana je na izvođenju vežbi iz predmeta: Mehanika fluida, Osnove turbomašina, Elementi uljne hidraulike i pneumatike, Tehnička fizika, Male hidroelektrane i vetrogeneratori, Obnovljivi izvori energije, Projektovanje energetskih elemenata i sistema primenom računara, Hidropneumatski elementi u mehatronici. Učestvuje u realizaciji naučno-istraživačkih projekata Ministarstva za naučni i tehnološki razvoj: "Istraživanje magnetno-hidrodinamičkih (MHD)

strujanja u okolini tela, procepima i kanalima i primena u razvoju MHD pumpi" (br. projekta 35016, rukovodilac dr Živojin Stamenković) i "Revitalizacija postojećih i projektovanje novih mikro i mini hidroelektrana (od 100 do 1000 kW), na teritoriji južne i jugoistočne Srbije" (br. projekta 33040, rukovodilac dr Dragica Milenković). Ima objavljenih devet radova u časopisima sa SCI liste, kao i više desetina radova na inostranim i domaćim naučnim skupovima.

## **Изјава 1.**

### **ИЗЈАВА О АУТОРСТВУ**

Изјављујем да је докторска дисертација, под насловом:

#### **„Магнетно-хидродинамичка струјања и пренос топлоте у порозним срединама“**

која је одбрањена на Машинском факултету Универзитета у Нишу:

- резултат сопственог истраживачког рада;
- да ову дисертацију, ни у целини, нити у деловима, нисам пријављивао/ла на другим факултетима, нити универзитетима;
- да нисам повредио/ла ауторска права, нити злоупотребио/ла интелектуалну својину других лица.

Дозвољавам да се објаве моји лични подаци, који су у вези са ауторством и добијањем академског звања доктора наука, као што су име и презиме, година и место рођења и датум одбране рада, и то у каталогу Библиотеке, Дигиталном репозиторијуму Универзитета у Нишу, као и у публикацијама Универзитета у Нишу.

У Нишу, 06.06.2019.

дисертације:

Потпис аутора



---

Петровић Јелена

**Изјава 2.**

**ИЗЈАВА О ИСТОВЕТНОСТИ ЕЛЕКТРОНСКОГ И ШТАМПАНОГ  
ОБЛИКА ДОКТОРСКЕ ДИСЕРТАЦИЈЕ**

Наслов дисертације:

**„Магнетно-хидродинамичка струјања и пренос топлоте у  
порозним срединама“**

Изјављујем да је електронски облик моје докторске дисертације, коју сам предао/ла за уношење у **Дигитални репозиторијум Универзитета у Нишу**, истоветан штампаном облику.

У Нишу, 06.06.2019.

дисертације:

Потпис аутора



---

**Петровић Јелена**

**Изјава 3:**

**ИЗЈАВА О КОРИШЋЕЊУ**

Овлашћујем Универзитетску библиотеку „Никола Тесла“ да у Дигитални репозиторијум Универзитета у Нишу унесе моју докторску дисертацију, под насловом:

**„Магнетно-хидродинамичка струјања и пренос топлоте у порозним срединама“**

Дисертацију са свим прилозима предао/ла сам у електронском облику, погодном за трајно архивирање.

Моју докторску дисертацију, унету у Дигитални репозиторијум Универзитета у Нишу, могу користити сви који поштују одредбе садржане у одабраном типу лиценце Креативне заједнице (Creative Commons), за коју сам се одлучио/ла.

1. Ауторство (**CC BY**)
2. Ауторство – некомерцијално (**CC BY-NC**)
- 3. Ауторство – некомерцијално – без прераде (CC BY-NC-ND)**
4. Ауторство – некомерцијално – делити под истим условима (**CC BY-NC-SA**)
5. Ауторство – без прераде (**CC BY-ND**)
6. Ауторство – делити под истим условима (**CC BY-SA**)

У Нишу, 06.06.2019.

дисертације:

Потпис аутора



---

Петровић Јелена

## ИЗВЕШТАЈ О ОЦЕНИ ДОКТОРСКЕ ДИСЕРТАЦИЈЕ

### ПОДАЦИ О КАНДИДАТУ

Презиме, име једног родитеља и име  
Петровић Драгиша Јелена  
Датум и место рођења  
05.12.1985. Ниш

#### Основне студије

|                   |   |
|-------------------|---|
| Универзитет       | / |
| Факултет          | / |
| Студијски програм | / |
| Звање             | / |
| Година уписа      | / |
| Година завршетка  | / |
| Просечна оцена    | / |

#### Мастер студије, магистарске студије

|                      |   |
|----------------------|---|
| Универзитет          | Универзитет у Нишу  |
| Факултет             | Машински факултет у Нишу  |
| Студијски програм    | Енергетика и процесна техника   |
| Звање                | Мастер инжењер машинства  |
| Година уписа         | 2004.   |
| Година завршетка     | 2010.   |
| Просечна оцена       | 9.52  |
| Научна област        | Теоријска и примењена механика флуида   |
| Наслов завршног рада | Проучавање дозвучног струјања стишљивог флуида кроз радијално коло компресорске решетке |

#### Докторске студије

|                           |                               |
|---------------------------|-------------------------------|
| Универзитет               | Универзитет у Нишу            |
| Факултет                  | Машински факултет у Нишу      |
| Студијски програм         | Енергетика и процесна техника |
| Година уписа              | 2010.                         |
| Остварен број ЕСПБ бодова | 150                           |
| Просечна оцена            | 10.00                         |

### НАСЛОВ ТЕМЕ ДОКТОРСКЕ ДИСЕРТАЦИЈЕ

|   |  |
|---|--|
| Наслов теме докторске дисертације                               | Магнетно хидродинамичка струјања и пренос топлоте у порозним срединама |
| Име и презиме ментора, звање                                    | Живојин М. Стаменковић, доцент   |
| Број и датум добијања сагласности за тему докторске дисертације | Број одлуке: 612-508-8/2015; Датум: 12.11.2015.                        |

### ПРЕГЛЕД ДОКТОРСКЕ ДИСЕРТАЦИЈЕ

|                            |     |                                       |
|----------------------------|-----|---------------------------------------|
| Број страна                | 257 | МАШИНСКИ ФАКУЛТЕТ УНИВЕРЗИТЕТА У НИШУ |
| Број поглавља              | 7   | Датум: 04.3.2019.                     |
| Број слика (шема, графика) | 261 | Број прилога:                         |
| Број табела                | /   | 612-80-46/19                          |
| Број прилога               | /   |                                       |

**ПРИКАЗ НАУЧНИХ И СТРУЧНИХ РАДОВА КАНДИДАТА  
који садрже резултате истраживања у оквиру докторске дисертације**

| P. бр. | Аутор-и, наслов, часопис, година, број томена, странице  | Категорија |
|--------|--|------------|
| 1      | <p><b>Jelena Petrović</b>, Živojin Stamenković, Miloš Kocić, Jasmina Bogdanović-Jovanović, Milica Nikodijević, <i>MHD Flow and Heat Transfer in the Porous Medium Between Stationary and Moving Plate</i>, The 4th INTERNATIONAL CONFERENCE MECHANICAL ENGINEERING IN XXI CENTURY UNIVERSITY OF NIŠ, FACULTY OF MECHANICAL ENGINEERING IN NIŠ, April 19 - 20, 2018 ISBN 978-86-6055-103-2, COBISS.SR-ID 261069580, Proceedings 65-69.</p> <p>У раду је разматрано магнетно-хидродинамичко (МХД) струјање и пренос топлоте вискозног нестишљивог флуида кроз порозну средину. Флуид струји кроз порозну средину између две паралелне непокретне изотермне плоче које се одржавају на различитим константним температурама. Спољашње примењено магнетно поље је хомогено и управно на плочу. Индуковано магнетно поље је смера струјања флуида. Опште једначине које описују разматрани проблем у оквиру усвојених претпоставки своде се на обичне диференцијалне једначине и добијају се решења затвореног облика. Добијена су решења са одговарајућим граничним условима за брзину, индуковано магнетно поље и температуру. Утицај Хартмановог броја, Рейнольдсовог магнетног броја, параметра усисавања и параметра порозности приказан је графички да би се показао њихов утицај на карактеристике струјања и преноса топлоте.</p>   | M33        |
| 2      | <p><b>Jelena Petrović</b>, Živojin Stamenković, Miloš Kocić, Milica Nikodijević, Jasmina Bogdanović-Jovanović, <i>MHD flow and heat transfer in porous medium with induced magnetic field effects</i>, 13TH INTERNATIONAL CONFERENCE ON ACCOMPLISHMENTS IN MECHANICAL AND INDUSTRIAL ENGINEERING, Banja Luka, 26-27 May 2017. University of Banja Luka Faculty of Mechanical Engineering, ISBN 978-99938-39-73-6 (COBIS.RS-ID 6522904) pp. 291-297.</p> <p>Овај рад анализира МХД струјање и пренос топлоте у порозном хоризонталном каналу. Горњи зид се креће константном брзином, док је доњи зид непокретан и оба зида су на константним, али различитим температурама. Спољашње примењено магнетно поље је хомогено, управно на зидове канала и делује у правцу од доњег ка горњем зиду. Индуковано магнетно поље у каналу је паралелно са зидовима канала и његов смер се поклапа са смером кретања горњег зида. Опште једначине које описују разматрани проблем (одржање импулса, општа једначина магнетне индукције и енергијска једначина) сведене су на обичне диференцијалне једначине и добијена су решења са одговарајућим граничним условима. Ефекти Хартмановог броја, Рейнольдсовог магнетног броја, параметра усисавања и параметра порозности приказани су графички да би се показали утицаји на бездимензиону брзину, индуковано магнетно поље и бездимензиону температуру.</p> | M33        |
| 3      | <p><b>Jelena D. Petrović</b>, Živojin M. Stamenković, Miloš M. Kocić, Jasmina B. Jovanović-Bogdanović, Milica D. Nikodijević, <i>MHD flow and heat transfer in the porous medium under the influence of an externally applied magnetic field and induced magnetic field</i>, 6TH INTERNATIONAL CONGRESS OF SERBIAN SOCIETY OF MECHANICS, Mountain Tara, Serbia, June 19-21, 2017 ISBN 978-86-909973-6-7, radS3f.</p> <p>Струјање вискозног, нестишљивог, електро проводног флуида између две бесконачне хоризонталне паралелне порозне плоче под константним градијентом притиска или константним протоком разматрано је у раду. Анализирани су утицаји магнетног поља, усисавања/исисавања и фактора оптерећења како би се контролисао проток, напон смицања и пренос топлоте на плоче. Примењено магнетно поље је управно на плоче, плоче су електро изоловане и кроз плоче се нормално на површину струјања усисава/исисава флуид истих карактеристика као и флуид у каналу. Тачна решења добијена су у затвореном облику. Утицаји сваког од регулационих параметара на проток, смицајне напоне и пренос топлоте дискутују се уз помоћ графика.</p>   | M33        |
| 4      | <p><b>Jelena Petrović</b>, Živojin Stamenković, Miloš Kocić, Milica Nikodijević, <i>Control of flow and heat transfer using suction, magnetic and electric field</i>, FACTA UNIVERSITATIS Series: Automatic Control and Robotics Vol. 16, No 2, 2017, pp. 143 – 156 DOI: 10.22190/FUACR1702143, Print ISSN: 1820-6417 Online ISSN: 1820-6425</p> <p>У раду је истраживано МХД струјање и пренос топлоте два вискозна нестишљива флуида кроз порозну средину. Флуиди струје кроз порозну средину између две паралелне непокретне изотермне плоче у присуству нагнутог магнетног и управног електричног поља. Флуиди су електропроводни, док су плоче канала електро изоловане. Опште једначине које описују разматрани проблем у оквиру усвојених претпоставки своде се на обичне</p>   | M24        |

|   |  |     |
|---|--|-----|
|   | диференцијалне једначине и добијају се решења затвореног облика. Добијена су решења са одговарајућим граничним условима за поља брзине и температуре. Аналитички резултати за различите вредности Хартмановог броја, фактора оптерећења, параметра вискозности и порозности приказани су графички да би се показао њихов утицај на карактеристике струјања и преноса топлоте.  |     |
| 5 | J. Petrović, Ž. Stamenković, M. Kocić, M. Nikodijević, <i>Porous medium magnetohydrodynamic flow and heat transfer of two immiscible fluids</i> , THERMAL SCIENCE, Year 2016, Vol. 20, Suppl. 5 pp. S1405 - S1417, ISSN 0354-9836.   | M22 |
| 6 | У раду се разматра МХД струјање и пренос топлоте вискозног нестишљивог флуида кроз порозну средину. Струјање флуида кроз порозну средину између две паралелне непокретне изотермне плоче у присуству нормалног магнетног и електричног поља. Флуид је електропроводан, док су плоче канала електро изоловане. Опште једначине које описују разматрани проблем своде се на обичне диференцијалне једначине и добијају се решења затвореног облика. Добијена су решења са одговарајућим граничним условима за поља брзине и температуре. Приказан је утицај Хартмановог броја, брзине усисавања, параметра порозности и фактора оптерећења на проток, на смицање, средњу температуру и Нуселтов број како би се показао њихов утицај на карактеристике струјања и преноса топлоте. | M33 |
| 7 | Živojin STAMENKOVIĆ, Jelena PETROVIĆ, Miloš KOĆIĆ, Milica NIKODIJEVIĆ, <i>MHD Flow and Heat Transfer of Two Immiscible Fluids Through Porous Medium</i> , 17. MEĐUNARODNI SIMPOZIJUM TERMIČARA SRBIJE, 20–23. oktobar 2015, Sokobanja, <a href="http://simterm.masfak.ni.ac.rs/index-sr.html">http://simterm.masfak.ni.ac.rs/index-sr.html</a>   | M33 |
| 8 | Овај рад анализира МХД струјање и пренос топлоте у порозној средини. Горњи зид канала се креће константном брзином док је доњи зид непокретан. Температуре зидова су константне, али различите. Спољашње примењено магнетно поље је хомогено, нормално на зидове канала и делује у правцу од доњег ка горњем зиду. Електрично поље је нормално на брзину зида и магнетно поље. Опште једначине које описују разматрани проблем сведене су на обичне диференцијалне једначине и добијена су решења са одговарајућим граничним условима. Ефекти Хартмановог броја, параметра порозности, фактора оптерећења и фактора $\beta$ приказани су графички да би се показали утицаји на бездимензионалну брзину и бездимензионалну температуру.   | M22 |
|   | Miloš Kocić, Živojin Stamenković, Jelena Petrović, Milica Nikodijević, <i>Influence of electrical-conductivity of walls on MHD flow and heat transfer of micropolar fluid</i> , THERMAL SCIENCE, Year 2018, Vol. 22, Suppl. 5, pp. S1591-S1600.<br>(DOI: 10.2298/TISCI18S5591K)  | M22 |
|   | Струјање и пренос топлоте микрополарног флуида између две паралелне плоче, разматра се у овом раду. Горња и доња плоча одржавају се на константним и различитим температурама и док је микрополарни флуид електро проводан, плоче су променљиве електро проводности. Спољашње магнетно поље је управно на правац струјања и разматра се пуни МХД модел струјања. Генералне једначине проблема, уз одговарајуће граничне услове, сведене су на обичне диференцијалне једначине и решене у затвореном облику. Профили поља брзине, микроротације, индукованог магнетног поља и температуре у функцији електро проводности зидова и параметра спрезања, као и параметра микроротације, представљени су графички уз одговарајући анализу.  | M22 |
|   | Živojin Stamenković, Miloš Kocić, Jelena Petrović, Milica Nikodijević, <i>Flow and heat transfer of three immiscible fluids in the presence of electric and inclined magnetic field</i> , THERMAL SCIENCE, Year 2018, Vol. 22, Suppl. 5, pp. S1575-S1589.  | M22 |

|    |   |     |
|----|---|-----|
| 9  | <p>Струјање три флуида који се не мешају у хоризонталном каналу под утицајем спољашњег магнетног и електричног поља, разматра се у овом раду. Сва три флуида су електро проводна, док су зидови канала непроводни. Једначине које описују разматрани проблем, сведене су на обичне диференцијалне једначине и уз одговарајуће граничне услове добијена су решења у затвореном облику за сва три флуида. Утицај Хартмановог броја, угла нагнутости магнетног поља, затим односа вискозности флуида и утицај различите електро проводности флуида, на физичка својства струјања ова три флуида, представљени су графички уз одговарајућу анализу.</p> <p>Živojin Stamenković, Miloš Kocić, Jelena Petrović, <i>The CFD Modeling of Two-Dimensional Turbulent Mhd Channel Flow</i>, THERMAL SCIENCE, Year 2017, Vol. 21 , Suppl. 3, pp. S837-S850, (DOI: 10.2298/TSCI160822093S)</p>   |     |
| 10 | <p>У овом раду се разматра утицај магнетног поља на турбулентне карактеристике дводимензионог струјања. Ово истраживање је урађено са циљем да се разумеју ефекти утицаја магнетног поља на брзину и турбулентне параметре у 2-Д турбулентном струјању у каналу. Разматрано је више случајева. Прво је разматрано ламинарно струјање у каналу и МХД ламинарно струјање у каналу како би се дефинисао утицај магнетног поља на електро проводни флуид. Главни део је посвећен изучавању 2-Д турбулентног струјања у каналу и око равне плоче. Симулације струјања су урађене у ANSYS-овом CFX софтверу. Природа струјања је разматрана кроз анализу брзине, турбулентних флуктација, вртложности, Рейнолдсових напона и турбулентне кинетичке енергије.</p>  | M22 |
| 11 | <p>Dragiša Nikodijević, Živojin Stamenković, Miloš Jovanović, Miloš Kocić and Jelena Nikodijević, <i>Flow and heat transfer of three immiscible fluids in the presence of uniform magnetic field</i>, THERMAL SCIENCE, Year 2014., Vol. 18, No. 3, pp. 1019-1028 (DOI: 10.2298/TSCI1403019N).</p> <p>У раду се анализира магнетно хидродинамичко струјање три флуида који се не мешају у хоризонталном каналу топлотно непроводних зидова у присуству магнетног поља. Сва три флуида су електро проводна, док су зидови канала електро непроводни. Основне једначине које описују разматрани проблем, под усвојеним претпоставкама, су сведене на обичне диференцијалне једначине и добијена су решења у затвореној форми за сва три региона у каналу. Добијена решења, са одговарајућим граничним условима, представљена су аналитички за сваки флуид. Нумерички резултати за различите вредности Хартмановог броја, односа висина слоја флуида и топлотне проводности флуида су графички представљени како би се показао њихов утицај на струјање и пренос топлоте флуида.</p>  | M22 |
| 12 | <p>Živojin Stamenković, Dragiša Nikodijević, Miloš Kocić, Jelena Nikodijević, <i>MHD flow and heat transfer of two immiscible fluids with induced magnetic field effects</i>, THERMAL SCIENCE, Year 2012., Vol. 16, Suppl. 2, pp. S373-S387 (DOI: 10.2298/TSCI).</p> <p>У раду се разматра могућност управљања струјањем и преносом топлоте уз помоћ магнетног поља и исисавања (удувавања) флуида. Анализира се ламинарни нестационарни температурски 2-Д магнетно хидродинамички гранични слој нестишљивог флуида на порозном телу произвољног облика. Спољашње електрично поље је занемарено, Рейнолдсов магнетни број је значајно мањи од јединице, тј. струјање се разматра у безиндукцијској апроксимацији. Физичке карактеристике флуида су константне и претпоставља се да је флуид који се удувава или исисава кроз порозну површину истих карактеристика као и флуид у главном току. Једначине и гранични услови су генерализовани тако да не зависе од партикуларних услова проблема и оваква форма се сматра универзалном. Добијене универзалне једначине су решене нумерички помоћу методе "прогонка". Добијена нумеричка решења за бездимензиону брзину, температуру и тангенцијалне напоне у функцији уведеног параметра су представљена графички и искоришћења за добијање генералних закључака о развоју температурско магнетно хидродинамичког граничног слоја.</p> | M22 |

### ИСПУЊЕНОСТ УСЛОВА ЗА ОДБРАНУ ДОКТОРСКЕ ДИСЕРТАЦИЈЕ

Кандидат испуњава услове за оцену и одбрану докторске дисертације који су предвиђени Законом о високом образовању, Статутом Универзитета и Статутом Факултета.

ДА

Кандидат Јелена Петровић испуњава све критеријуме правилника о поступку припреме и услова за одбрану докторске дисертације. Положила је све испите предвиђене планом и програмом докторских студија из области Енергетика и процесна техника на Машинском факултету у Нишу. Објавила је више од потребног броја радова у часописима са SCI листе из области теме докторског рада. Учествовала је на домаћим и међународним конференцијама на којима је саопштавала добијене резултате истраживања. Одлуком Научно-стручног већа за

техничко-технолошке науке бр. 612-508-8/2015 од 12.11.2015. год. дата је сагласност на тему ове докторске дисертације. Предала је радну верзију докторске дисертације одговарајуће садржине, обима и квалитета, у складу са одобреном темом докторске дисертације.

## ВРЕДНОВАЊЕ ПОЈЕДИНИХ ДЕЛОВА ДОКТОРСКЕ ДИСЕРТАЦИЈЕ

### Кратак опис поједињих делова дисертације (до 500 речи)

На самом почетку докторске дисертације кандидаткиње Јелене Петровић, мастер инжењера машинства, дати су подаци о дисертацији на српском и енглеском језику изложен је садржај дисертације на 3 странице. Из тога следи текст дисертације изложен на 236 страна формата А4 који је подељен на 7 поглавља. На крају дисертације наведена је коришћена литература са 199 библиографских јединица.

У првом поглављу дисертације након прегледа истраживања образложен је мотив и предмет, а затим су дефинисани циљеви истраживања.

У другом поглављу је извршено математичко моделирање проблема МХД струјања, транспорта масе и топлоте. Претходно су дате основне геометријске и струјне карактеристике порозних средина. За математичко моделирање је коришћена метода запреминског осредњавања. Добијен је одговарајући математички модел. То су једначина континуитета, једначина импулса, једначина енергије и основне једначине електромагнетике.

У трећем поглављу се разматрају, прво, случај МХД струјања, преноса масе и топлоте у хоризонталном порозном каналу у коме струји један флуид. Узет је утицај спољашњег хомогеног магнетног поља управног на зидове канала и утицај спољашњег хомогеног електричног поља. Зидови канала су непроводни, а на њима постоје извори/понори флуида. Затим се разматра случај код кога је горњи зид канала покретан. Затим се разматра случај код кога је узет у обзир утицај индукованог магнетног поља. Код следећег проблема горњи зид је покретан. На крају се разматра проблем код кога је за разлику од првог посматраног проблема у овом поглављу узет је у обзир утицај индукованог магнетног поља. Такође зидови су електропроводни.

У четвртом поглављу се разматра струјање два флуида који се не мешају у каналу чији су зидови две хоризонталне изоловане плоче. Први проблем који се истражује је са примењеним спољашњим магнетним пољем које је хомогено и управно на зидове канала и спољашњим хомогеним електричним пољем. На зидовима и у каналу нема извора/понора флуида. Други модел који се разматра у овом поглављу разликује се од претходног у томе што је горњи зид канала покретан.

У петом поглављу разматрају се четири различита модела МХД струјања, транспорта масе и топлоте. Код сва четири модела канал је нагнут у односу на хоризонталну раван. Зидови канала су паралелне плоче које су бесконачне, електроизоловане, а на њима се налазе извори/понори флуида. Спољашње примењено магнетно поље је хомогено и нагнуто у односу на нормалу на зидове канала. Средина у каналу је порозна и кроз њу струји флуид сталних физичких својстава.

У шестом поглављу овог рада истраживано је МХД струјање два флуида и пренос топлоте у каналу нагнутом у односу на хоризонталну раван. Зидови канала су бесконачне непокретне плоче које су електроизоловане и на различитим константним температурама. Средина унутар канала је порозна и кроз њу струје два флуида која се не мешају, а константних су физичких својстава. Својства порозне средине су такође непроменљива. Примењено спољашње магнетно поље је хомогено и нагнуто у односу на нормалу на зидове канала а налази се у вертикалној равни струјања флуида. Узет је и утицај спољашњег примењеног хомогеног електричног поља. У свим поглављима одређивани су распореди брзине, температуре и притиска и то увек у затвореном облику.

У седмом поглављу су урађене нумеричке симулације коришћењем софтвера Ansys CFX. Симулације су дате за два разматрана модела. Први је хоризонтални канал у коме је порозна средина, а затим су дати резултати нумеричких симулација и за коси канал такође са порозном средином.

## ВРЕДНОВАЊЕ РЕЗУЛТАТА ДОКТОРСКЕ ДИСЕРТАЦИЈЕ

### Ниво остваривања постављених циљева из пријаве докторске дисертације (до 200 речи)

План и циљеви предвиђени пријавом докторске дисертације у потпуности су реализовани у оквиру предате дисертације кандидаткиње Јелене Петровић. Дефинисани су одговарајући математички модели којима се описује МХД струјање и пренос топлоте у порозној средини уопштењем класичног Navier-Stokes-овог модела. Дефинисане су опште једначине магнетне хидродинамике за струјање и пренос топлоте у порозној средини са утицајем примењеног магнетног и електричног поља. Ови модели су прво разматрани у безиндукционој апроксимацији, а затим су проширени увођењем индукованог магнетног поља. Разматране су класе Hartmann-Poiseuille-ових струјања и Hartmann-Couette-ових струјања једног флуида у порозној средини. Истражен је и утицај проводности зидова канала. Истражено је МХД струјање и пренос топлоте два флуида који се не мешају при чему они струје кроз средине различитих порозности. Затим је проучено струјање једног и два флуида у нагнутим каналима у безиндукционој апроксимацији и уз разматрање утицаја индукованог магнетног поља. Посматрани су и случајеви када је спољашње магнетно поље нагнуто у односу на основну струју флуида. Сви резултати су дати аналитички и графички. У последњем поглављу урађене су нумеричке симулације предвиђене планом и програмом из пријаве докторске дисертације у софтверу ANSYS-CFX.

### Вредновање значаја и научног доприноса резултата дисертације (до 200 речи)

Обрађена тема докторске дисертације је значајна и актуелна, како у научном смислу, тако и за техничку праксу. Део резултата, непосредно произтеклих из истраживања везаних за ову дисертацију, већ је верификован публиковањем у високо рангираним часописима, као и у зборницима са међународних и домаћих конференција. Посебан допринос дисертације је што је велики број решења дат и у аналитичком облику. Добијени резултати могу се успешно применити у хилологији, заштити животне спелине, склапањитом инжењерству, многим

технолошким процесима, биолошким процесима итд. Резултати добијени у овој докторској дисертацији могу се посебно користи као база за научна истраживања 3Д МХД струјања и преноса топлоте у порозним срединама. Поднета докторска дисертација представља оригиналан и вредан научни и стручни допринос кандидата.

Оцена самосталности научног рада кандидата (до 100 речи)

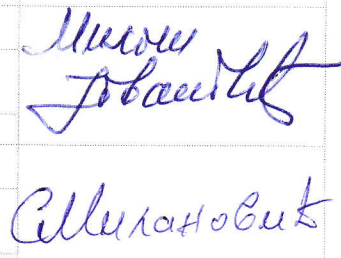
Кандидат је испољио изузетан ниво самосталности у раду, анализе научних сазнања у областима истраживања, иницирање нових истраживања и оригиналност у осмишљавању и креирању нових научних решења. Резултати спроведених истраживања, публиковани и у високо рангираним часописима из уже научне области којој припада тема докторске дисертације, у потпуности потврђују да је кандидат оспособљен за самостални научни рад.

### ЗАКЉУЧАК (до 100 речи)

На основу изложене анализе докторске дисертације и увидом у публиковане научне радове кандидата, чланови Комисије за оцену и одбрану докторске дисертације констатују да поднета докторска дисертација у потпуности одговара теми прихваћеној од стране Наставно-научног већа Машинског факултета у Нишу и Научно-стручног већа за техничко-технолошке науке Универзитета у Нишу и да представља оригиналан и вредан допринос области магнетно хидродинамичких струјања и преноса топлоте у порозним срединама, и са задовољством предлажу Наставно-научном већу Машинског факултета у Нишу да рад кандидаткиње Јелене Петровић, мастер инжењера машинства, под називом „Магнетно хидродинамичка струјања и пренос топлоте у порозним срединама“ прихвати као докторску дисертацију и позове кандидата на усмену јавну одбрану.

### КОМИСИЈА

|                                      |                 |
|--------------------------------------|-----------------|
| Број одлуке ННВ о именовању Комисије | 612-100-10/2019 |
| Датум именовања Комисије             | 25.01.2019.     |

| Р. бр. | Име и презиме, звање  | Потпис   |
|--------|---|--|
| 1.     | др Живојин Стаменковић, доцент<br>Теоријска и примењена механика<br>флуида<br>(Научна област)                               | Председник<br>ментор<br>  |
| 2.     | др Слободан Савић, ред.проф.<br>Примењена механика, примењена<br>информатика и рачунарско<br>инжењерство<br>(Научна област) | члан<br>Универзитет у Крагујевцу<br>Факултет инжењерских наука у Крагујевцу<br>(Установа у којој је запослен)  |
| 3.     | др Драгица Миленковић, ред. проф<br>Теоријска и примењена механика<br>флуида<br>(Научна област)                             | члан<br>Универзитет у Нишу<br>Машински факултет<br>(Установа у којој је запослен)  |
| 4.     | др Милош Јовановић, ванр. проф.<br>Теоријска и примењена механика<br>флуида<br>(Научна област)                              | члан<br>Универзитет у Нишу<br>Машински факултет<br>(Установа у којој је запослен)  |
| 5.     | др Саша Милановић, доцент<br>Теоријска и примењена механика<br>флуида<br>(Научна област)                                    | члан<br>Универзитет у Нишу<br>Машински факултет<br>(Установа у којој је запослен)<br> |

Датум и место:

У Нишу и Крагујевцу, март 2019. године

# ЗАПИСНИК

са усмене одбране докторске дисертације Петровић Јелене, дипломираног инжењера машинства, одржане 31. маја 2019. године на Машинском факултету у Нишу.

Одбрана докторске дисертације почела је у 13<sup>00</sup> часова уводним излагањем Председника Комисије, који је саопштио основне биографске податке о кандидату, ток поступка израде докторске дисертације као и Извештај Комисије за оцену и одбрану докторске дисертације.

Кандидат је приступио излагању докторске дисертације, износећи методологију рада и постигнуте резултате до којих је дошао.

После завршеног усменог излагања кандидата, чланови Комисије су поставили више питања на које је кандидат дао одговоре.

Одбрана је завршена у 14<sup>30</sup> часова.

На основу усмене одбране, одговора кандидата на постављена питања чланова Комисије и на основу Одлуке о усвајању Извештаја Наставно-научног већа Факултета и Научно-стручног већа за техничко-технолошке науке Универзитета у Нишу, чланови Комисије су једногласно донели

## ОДЛУКУ

Петровић Јелена, дипломирани инжењер машинства, одбранила је докторску дисертацију под називом:

„МАГНЕТНО-ХИДРОДИНАМИЧКА СТРУЈАЊА И ПРЕНОС ТОПЛОТЕ У ПОРОЗНИМ СРЕДИНAMA“

и стекла научни назив

ДОКТОР НАУКА – МАШИНСКО ИНЖЕЊЕРСТВО

др Живојин Стаменковић, доцент  
Машинског факултета у Нишу - председник

др Слободан Савић, редовни професор  
Факултета инжењерских наука у Крагујевцу - члан

др Драгица Миленковић, редовни професор  
Машинског факултета у Нишу - члан

др Милош Јовановић, ванредни професор  
Машинског факултета у Нишу - члан

др Саша Милановић, доцент  
Машинског факултета у Нишу - члан